ISSN 0203-493X

HEÑPOXMMMA DBBROPDIPU



HENDOXUMUS LUBURARUSUL

ТОМ 6, ВЫП. 4 ОКТЯБРЬ—ДЕКАБРЬ

Журнал основан в 1982 году Выходит 4 раза в год

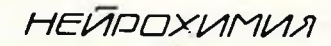
Редакционная коллегия

А. А. ГАЛОЯН-главный редактор

Г. В. АПРИКЯН, А. В. АРУТІОНЯН (зам. главного редактора), А. С. АРУТІОНЯН (отв. секретарь), Я. В. БЕЛИК, Н. Н. ДЕМИН (зам. главного редактора), К. Г. КАРАГЕЗЯН, П. Г. КОСТЮК, А. А. КРИ-ЧЕВСКАЯ, В. К. ЛИШКО, Р. М. НАЛБАНДЯН, М. Ш. ПРОМЫС-ЛОВ, В. И. РОЗЕНГАРТ, Т. М. ТУРПАЕВ, А. Я. ТЯХЕПЫЛД, Г. С. ХАЧАТРЯН

Редакционный совет

Н. Г. АЛЕКСИДЗЕ, С. В. ГАСТЕВА, Р. Н. ГЛЕБОВ, Б. А. КАЗАРЯН, Р. И. КРУГЛИКОВ, В. Г. МХИТАРЯН, В. С. ОГАНЕСЯН, М. И. ПРО-ХОРОВА, А. Д. РЕВА, А. А. СИМОНЯН, А. М. УТЕВСКИЙ, Е. М. ХВАТОВА, Л. С. ЧЕРКАСОВА, Р. Н. ЭТИНГОФ





т. 6, № 4, 1987

СОВЕТСКАЯ НЕЙРОХИМИЯ—К 70-ЛЕТИЮ ВЕЛИКОЙ ОКТЯБРЬСКОЯ СОЦИАЛИСТИЧЕСКОЙ РЕВОЛЮЦИИ

Советский народ и все прогрессивное человечество широко отмечают 70-летие Великой Октябрьской социалистической революции, освободившей угнетенные народы царской России от векового порабощения. Победа революции сыграла важнейшую роль в судьбе как народов СССР, так и всего человечества. Огромное развитие за 70 лет советской власти претерпели все области общественной жизни, в том числе и сфера науки. СССР по ряду направлений современной науки занимает ныне ведущее положение в мире.

В системе биологических наук особое место принадлежит нейробиологии и нейрохимии, развитие которых в нашей стране во многом обуславливалось выдающимися открытиями корифеев отечественной науки—И. М. Сеченова, И. П. Павлова, А. А. Ухтомского, Н. Е. Введенского, А. А. Орбели, С. П. Боткина, А. Ф. Самойлова, В. М. Бехтерева и др., создавших учение о нервизме, высшей нервиой деятельности и объективных методах ее изучения. У истоков советской нейрохимии стоят имена основателя функциональной нейрохимии А. В. Палладина и его сотрудников, впервые начавших плодотворные исследования по белкам и протеолитическим ферментам мозга, Е. М. Крепса, Г. Х. Бунятяна, Г. Е. Владимирова, П. А. Кометнани и др., успешно развивавших различные аспекты биохимии нейропептидов, нейромедиаторов, аминокислотного и энергетического обмена в нервной системе и т. д.

Вместе с тем, за последние 20 лет произошли коренные изменения в проблематике нейрохимических исследований. Советскими учеными создан ряд приоритетных, лидирующих направлений в нейрохимии. К их числу можно отнести фундаментальные исследования по химии и биологии регуляторных пептидов, нейроспецифических белков гипоталамуса—регуляторов различных метаболических процессов, протекающих в мозгу и висцеральных органах и т. д. Исследуется также взаимодействие нейропептидов с «классическими» нейромедиаторными системами. За последние годы начаты серьезные работы в области нейрохимии по экспрессии тенов и теиной инженерии. Большое внимание уделяется изучению молекулярных основ генетических дефектов нервиой системы. Классические методы генетики находят все более широкое применение в нейробиологических исследованиях.

Все большее развитие получают исследования биохимических основ нейрофизиологических процессов. Успешно проводится исследование функциональной организации потенциалзависимых кальциевых каналов в возбудимых мембранах. Применение метода внутриклеточной перфузии позволило установить связь между метаболизмом 3′.5′-сАМР и функционированием кальциевых каналов. Весьма перспективным направлением является изучение свойств ионных каналов, формируемых в искусственных нейрональных мембранах различными биологическими активными соединениями, в частности нейротоксинами.

Серьезные достижения имеются в области изучения нейрохимических аспектов действия циклических нуклеотидов, например, в исследовании механизмов сопряжения аденилатциклазной системы с различными внутриклеточными медиаторами. Отечественными нейрохимиками обнаружен ряд белков—эндогенных регуляторов метаболизма циклических нуклеотидов. Из сетчатки, в частности, изолирован специфический белок—ингибитор фосфодизстеразы циклических нуклеотидов, выработаны к нему моноклональные антитела и исследована его первичная структура.

По-прежнему значительное место в нейрохимических исследованиях, проводимых в нашей стране, занимает всестороннее изучение биохимических основ синаптической передачи. Изучаются региональное распределение и молекулярная организация рецепторов нейромедиаторных систем, принципы их функционирования в нервных клетках в норме и патологии, а также нейрохимические основы действия на рецепторы природных ре-

гуляторов и различных психофармакологических веществ.

На сегодняшний день в СССР существует более 50 лабораторий нейрехимического профиля. Из них 36 занимаются изучением экстремальных состояний: нейрохимией алкоголизма, наркомании, токсикомании,
зимней спячки и глубокой гипотермии, а также различных стрессорных
воздействий на организм. Намечается определенный прогресс в исследованиях по радиационной нейрохимии. Ряд нейрохимических лабораторий
страны занимается изучением метаболизма белков, ферментов и нуклеиновых кислот нервной ткани. Заметны успехи отечественной нейрохимии
в изучении молекулярных основ нейрохимических патологий: метаболизма нервной ткани при черепно-мозговой травме, сосудистых и опухолевых поражениях мозга, роли некоторых эндогенных нейропептидов в патогенезе паркинсонизма и динамике развития и самоустранения эпилептической активности мозга.

В последние годы в нашей стране начаты исследования в области иммунодиагностики повреждений олигодендроглиальных и миелиновых структур у больных с энцефалитом, энцефаломиелитом, менингитом и поражениями спинного мозга. Исследуются также ферменты распада глико- и фосфолипидов в качестве диагностического теста при ряде наследственных заболеваний нервной системы (болезнь Тея-Сакса, Нимана-Пила, Сандхоффа и др.).

Создание в СССР журнала «Нейрохимия» (орган АН СССР и АН АрмССР) сыграло историческую роль в развитии отечественной нейро-

химии, в пропаганде ее достижений в нашей стране и за рубежом. Журнал играет также большую роль в организации нейрохимических исследований в СССР, ареал которых в последнее время заметно расширился. Наряду с признанными нейрохимическими центрами в СССР (Москва, Ленииград, Киев, Ереван, Тбилиси) успешно работают нейрохимические лаборатории в Минске. Горьком, Ростове-на-Дону, Кишиневе, Новосибирске, Харькове, Тарту, Днепропетровске, Махачкале, Нальчике и других городах нашей страны.

В наши дни ленинская Коммунистическая партия проводит огромную работу по перестройке общества развитого социализма. XXVII съезд КПСС и Пленумы ЦК КПСС в апреле 1985 г. и июне 1986 г. поставили перед советскими учеными исключительно важную задачу—занять лидирующее положение в мировой науке. По словам президента АН СССР, академика Г. И. Марчука. «...без глубокой реорганизации, широкой и всесторонней демократизации научной жизни невозможно полностью раскрыть интеллектуальный, научный потенциал социалистического общества и достичь мирового уровня по всем основным направлениям исследований».

Реальная форма такой реорганизации в отечественной нейрохимической науке представляется в усилении координации фундаментальных исследований, имеющих практическое значение для медицины, в различных научных центрах страны, разработке совместных научных программ между учреждениями АН СССР и АМН СССР по таким направлениям, как биохимия нейропептидов, рецепторов, мембраи нервной ткани и молекулярные основы различных нейропатологий. Реализации указанных программ способствовала бы организация в нашей стране Всесоюзных координационных научно-методических центров по химическому синтезу регуляторных пептидов и для широких структурно-функциональных исследований белков, пептидов, нейромедиаторов и других соединеций мозга.

Советская непрохимия, базируясь на богатейших традициях отечественной непробиологической школы, имеет все предпосылки для того, чтобы занять одно из ведущих мест в мире.

РЕДКОЛЛЕГИЯ





т. 6, № 4, 198

У.ДК 577.352+3.612.821.

ИЗМЕНЕНИЕ ПАРАМЕТРОВ СВЯЗЫВАНИЯ [³Н] ДИАЗЕПАМА С СИНАПТИЧЕСКИМИ МЕМБРАНАМИ КОРЫ БОЛЬШИХ ПОЛУШАРИЙ МОЗГА КРЫС ПРИ ОБУЧЕНИИ

КОРОТКОВ К. О., АКСЕНТЬЕВА М. С., ЖУЛИН В. В.

Институт высшей нервной деятельности и испрофизиологии АН СССР, Москва

В экспериментах *in vitro* с помощью анализа по Скатчарду научали влижние эбучения на параметры связывания [3H] дизавлама к сизантическим мембранам неокор текса крыс. Графики Скатчарда для крыс, обученных условному рефлексу двусторошнего избегания, крыс, стрессированных негочетанными электрическими раздражителями, и интактных животных имели нелинейный характер. Мы предлагаем возможные объяснения этого факта. Используя модель двух независимых участков связывания, объяснения этого факта. Используя модель двух независимых участков связывания обученных и стрессированных крыс. Плотность реценторов стрессированных крыс была памного ньше, чем у обученных, в основном, за счет увеличения инэкоаффинной полуляции, при этом аффинности обеих полуляций были практически одинаковы Различи между кривыми в графиках Скатчарда, соответствующими обученным и интактими животным, были пезначительны. Исходя на этого, мы предполагаем, что изменения на уровне беизодизаениновых реценторов соответствуют уровно эмоциозального возбуждения во время обучения.

Принято считать, что фармакологические эффекты бензодиазепинов опосредуются через высокоаффинные участки связывания в мозгу—бензодиазепиновые рецепторы [1, 2]. Большое количество косвенных данных, свидетельствующих об их гетерогенности, частично объясняет чрезвычайно широкий спектр физиологической активности бензодиазепинов [3, 4]. Один из важнейших эффектов этой группы лекарств—анкснолитический—тесно связан с процессами высшей нервной деятельности. Распределение бензодиазепиновых рецепторов в мозгу [5, 6] подтверждает предположение, что они определеным образом включены в высшеи интегративные процессы. Так, показано, что бензодиазепины могут влиять на способность к обучению у человека [7—9]. Известно также, что некоторые формы экспериментального стресса изменяют параметры высокоаффинного связывания бензодиазепинов у крыс [10].

Ранее было установлено, что синаптические мембраны коры больших полушарий мозга крыс, подвергшихся воздействию несочетанных раздражителей—света и электрокожных раздражений (ЭКР)—связы-

вают больше диазепама, чем синаптические мембраны крыс, обученных избеганию. В свою очередь, последние обладали статистически достоверно большим уровнем связывания, чем мембраны интактиых животных [11].

В настоящей работе представлены данные, показывающие, что значительное увеличение связывания [3 H] диазепама при указанных воздействиях обусловлено возрастанием плотности рецепторов синаптических мембран без изменения их аффинности.

Матерналы и методы

Условный рефлекс двустороннего избегания (УРДИ) вырабатывался у самцов белых крыс по общепринятой методике. Обучение продолжали до достижения критерия 5 избеганий подряд. Животных, получавших несочетанные раздражители, соответствующие по количеству раздражителям, примененным для выработки условного рефлекса, использовали как активный контроль (АК), а животных, не подвергавшихся каким-либо воздействиям—как пассивный контроль (ПК). В каждой группе было по 8 крыс.

Через несколько мин после обучения животных декапитировали, отделяли серое вещество больших полушарий, выделенный материал помещали в жидкий азот. После оттаивания материал тщательно гомогенизировали в стеклянном сосуде Поттера в 25 объемах среды выделения (0.32 М сахароза, «Sigma», США: 1 мМ ЭДТА и 50 мМ трис-HCl, «Serva», ФРГ. рН 7.4) при температуре 4°, которую поддерживали на всех стадиях выделения. Гомогенат центрифугировали 10 мин при 1500g. Осадок отбрасывали, а супернатант центрифугировали 20 мин при 20000g. Осадок (фракция Р2) суспендировали в 25 объемах по отношению к исходной ткани 50 мМ трис-HCl, рН 7.4 в стеклянном гомогенизаторе и хранили несколько дней при температуре —20°.

Связывание проводили при температуре 0.5—1°. К 0.4 мл оттаявших и повторно гомогенизированных мембран добавляли 50 мкл [3H] дназелама (87 Ки/ммоль, «Amersham», Англия). Конечные концентрации [3H] дназелама варыновали от 0.3 до 30 иМ. Реакцию останавливали через 60 мин фильтрованием образцов через фильтры GF/В под вакуумом. Фильтры дважды промывали 5 мл ледяного буфера (общее время фильтрования составляло 10—15 с). Радиоактивность фильтров определяли в сцинтилляторе Брея с использованием счетчика «Вескини LC-9000», США. Для определения неспецифического связывания использовали немеченый дназелам в концентрации 5 10 6 М [12]. Белок определяли по Lowry и соавт. [13]. Концентрация белка в опыте составляла 0.2—0.4 мг.

Таким образом, в сумме исследованы 24 препарата синаптических мембран, выделенных от 24 животных. Даниые по связыванию представлены в виде графиков Скэтчарда. Каждая точка на графике соответствует среднему арифметическому всех опытов. При этом по формуле

$$\sum x_i^2 = \frac{(\sum x_i)^2}{n}$$
 вычисляли и откладынали на графике стандарт-

ное отклонение σ_{n-1} . Уровень приближения к линейной регрессии оценивали по критерию I^2 . Разложение экспериментальных точек в соответствии с моделью двух независимых участков связывания (для групп обучения и АК) проводили по Feldman [14] с использованием метода наименьших квадратов. В рамках этого метода определены отклонения для величин K_d и B_{max} . Интерполяционная кривая для группы ПК апроксимирована моделью, предполагающей комбинацию двух популяций рецепторов, одна из которых связывается с лигандом по мономолекулярному механизму. В другая может равно отвечать как варианту положительной кооперативности, так и варианту самоконвертирующихся конформационных форм рецептора.

Обсуждение результатов

Результаты связывания [3H] диазепама синаптическими мембранами представлены на рис. 1 и 2. В противоположность широко распространенным данным, график Скэтчарда для мембран крыс ПК не является прямой линией, он лучше описывается кривой, имеющей максимум и точку перегиба. Если же провести прямую методом линейной

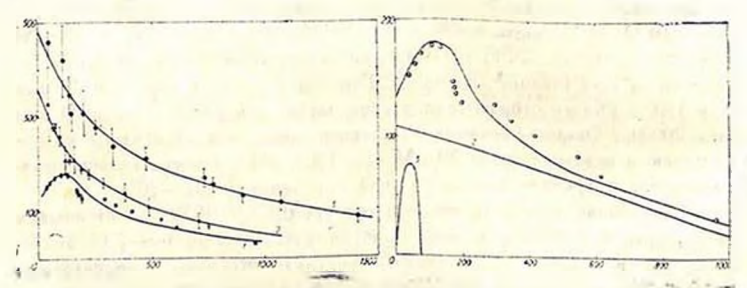


Рис. 1. Графики Скэтчарда для связывания [3H] диззепама с синаптическими мембранами коры больших полушарий мозга крыс. По оси абсцисс—специфическое связывание (фмоль/мг белка), по оси ординат—отношение специфического связывания к концентрации иссвязавшейся метки (фмоль/фмоль мг белка 10-3). 1—группа интактных крыс. 2—обучения УРДИ, 3—активный контроль. Для каждой точки язято среднее значение из 8 опытов

Рис. 2. Разложение экспериментальной кривой Скатчарда для связывания [3H] диазепама с синаптическими мембранами коры больших полушарий мозга интактных крыс. 1—экспериментальная кривая, 2—прямая,
соответствующая простой бимолуулярной реакции лиганд-реценторкого
вааимодействия, 3—парабола, соответствующая модели положительной
кооперативности или комформационных переходов реценторов. Остальныобозначения те же, что на рис. 1

регрессни через точки с R≥300 фмоль/мг белка, то полученные Kd и В (соответственно 3.74 нМ и 1.2 пмоль/мг белка) близки к данным. известным из литературы [15, 16]: R-количество специфически связавшегося рецептора. Проверка такого приближения по методу 12 (включая точки с R < 300 фмоль/мг белка) дает $i^2 = 210$ (n = 2), при этом достоверная вероятность приближения для всех экспериментальных точек оказалась меньше 0,01. Тем не менее, нелинейный характер графика, соответствующего группе ПК, и достоверное наличие максимума в области малых концентраций (0,1—1,0 иМ) [3H] диазепама потребовали дополнительной экспериментальной проверки. Было показано, что изменение условий первого центрифугирования при выделении синаптических мембран, скорости фильтрации и некоторых других экспериментальных процедур влияет на параметры связывания [3H] диазепама, но не является критическим для выявления максимума на графике Скотчарда. Кроме того, для идентификации модели была проведена вспомогательная серня опытов по связыванию, где начальная концентрация белка Ro варыровала от 0,2 до 2,0 мг/мл. Оказалось, что форма максимума не зависит от величины Ro. На основании результатов этого эксперимента отдали предпочтение модели, которая предполагает наличие двух популяций рецепторных молекул, одна из которых (R_I) описывается прямой линией на графике Скэтчарда (${
m K}_{
m d1}{=}24.4$ н ${
m M}$ и $B_{max1} = 2,44$ пмоль/мг белка), а вторая (Re) имеет плотность $B_{max2} =$ 0.1 пмоль/мг белка и соответствующий ей график может быть описан моделью предельной положительной кооперативности с двумя местами связывания (n=2) или моделью конформационного перехода между двумя формами рецептора. Полученное значение В пак для кривой ПК хорошо согласуется с величинами плотности рецепторов со сверхвысоким сродством, выявлениым Ehlert и соавт. [17], в эксперименте по связыванию бензодиазепиновых рецепторов с этиловым эфиром В-карболин-3-карбоновой кислоты.

И для стрессированных (АК), и для обученных крыс форма кривой Скэтчарда соответствует механизму связывания для двух или более независимых подтипов рецептора (максимум на кривой отсутствует). Рансе похожие формы графиков Скэтчарда были продемонстрированы для взаимодеиствия [Н] диазепама с бензодиазепиновыми рецепторами неокортекса необученных кроликов [18], а также для связывания [Н] флунитразепама с синаптическими мембранами, выделенными из различных отделов мозга крыс, в присутствии этилового эфира β-карболин-3-карбоновой кислоты [19]. При расчете термодинамических параметров связывания [Н] флунитразепама и [5H] клоназепама показано, что изменение аффинности связывания по мере изменения температуры не совпадает с термодинамической константой равновесия, характерной для бимолекулярной реакции, поэтому возможность существования двух независимых подтипов бензодиазепинового рецептора разрешает это противоречие [20].

Пока невозможно точно оценить какому типу бензодназелиновых рецепторов отвечает появление перегиба на графике Скэтчарда. Обнаруженные с помощью [3H] 4'-хлордиазепама (R., 05—4864) так называемые рецепторы «периферического» типа локализованы не только в «периферических» органах, но и в ткани мозга [21]. Однако плотность таких рецепторов в неокортексе крыс существенно ниже, чем рецептооов «центрального» типа [22]. «Периферические» рецепторы не спязаны с ГАМК-регулируемыми ионными каналами, опосредующими эффект анксиолитиков и антиконвульсантов бензодиазепиновой природы, которые взаимодействуют с рецепторами «центрального» типа [23]. Согласно последним исследованиям, по субклеточному фракционированию гомогенатов мозга крыс рецепторы «периферического» типа преимущественно локализованы на внешней мембране митохондрий, а их функции, по-видимому, тесно связаны с процессами окислительного фосфорилирования [23, 24]. Разумеется, в нашем эксперименте [3H] диазепам связывался с рецепторами обоих типов, присутствующих во фракции Р2. Тем не менес, принимая во внимание вышеизложенное, участие рецепторов «периферического» типа в процессах высшей нервной деятельности представляется маловероятным. Скорее перегиб на графике Скатчарда отвечает двум неоднородным популяциям рецепторов «центрального» типа.

Разложение экспериментальных кривых связывании [3H] диазепама с синаптическими мембраками коры мозга крыс в соотпетствии с моделью двух неодисродных участков связывания

	Высокоаффинные участки		Низкопффинные участки	
Условия опытов	K _d , nM	В _{ших} , фмоль/мг белка	K _d , nM	В _{шва} , фмоль/мг белка
Обучение Активный контроль	1±0,5 0,85±0,1	150±50 200±50	10±2 10±2	800±100 1500±200*

 Π римсчанис. $^{\circ}\rho_{2-1}$ < 0.05.

Приняв модель двух независимых участков связывания, мы можем разложить экспериментальные кривые на два линейных компонента и определить для них величины Ки и В мах (таблица). Альтернативная интерпретация этих кривых заключается в том, что использованные воздействия не изменяют механизм связывания, но сдвигают параболический конформационный компонент ближе к нулю на оси абсцисс в графике Скэтчарда, вследствие чего график переходит в форму, более соответствующую модели с двумя участками.

Однако исзависимо от интерпретации кривых, рецепторы обученных и стрессированных крыс проявляют качественно близкий способ связывания. График Скатчарда у стрессированных животных проходит гораздо выше, чем у обученных, что может быть объяснено увеличением, в основном, за счет ниэкоаффинной популяции доступных рецеп-

торов, тогда как аффинность обоих популяций остается практически на одном и том же уровне. В то же время плотности участков связывания и аффиниости мембран мозга обученных и необученных животных достаточно близки.

В процессе выработки УРДИ степень эмоционального возбуждения крыс постепенно снижается, в связи с чем, вероятно, наступает относительное понижение плотности участков связывания.

Изменения характеристик связывания с бензодназепиновыми рецепторами, таким образом, в определенной мере соответствуют физиологическим закономерностям обучения. Сходство же в левой части графиков Скэтчарда для обучения и АК, в свою очередь, может быть вызвано менее выражениым проявлением эмоционального стресса у обученных крыс.

LEARNING ALTERS [4H]-DIAZEPAM BINDING TO THE SYNAPTOSOMAL MEMBRANES OF RAT NEOCORTEX

KOROTKOV K. O., AKSENTIEVA M. S., ZHULIN V. V.

Institute of Higher Nervous Activity and Neurophysiology, Academy of Sciences of the USSR. Moscow

The effect of learning on the parameters of [3H] diazepam binding to rat brain synaptosomal membranes has been studied in vitro experiments by Scatchard analysis. Scatchard plots for the rats which were trained to conditional reflex of double-sided avoidance, those stressed by unmatched irritations and intact rats did not represent a straight line. We propose a possible interpretation of this fact. Using the model of two independent binding sites, determination of dissociation constants (K_d) and maximum binding sites (B_{max}) for trained and stressed rats membranes has been made. The receptor density in stressed rats was much higher than in learned ones-mainly due to increase in low-affinity population while affinities were similar in both cases. Furthermore, the differences between the curves of trained and intact rats were not significant. On this ground we suggest that changes in the level of the benzodiazepine receptors are in accordance with the extent of emotional excitation during the training.

AHTEPATYPA

- 1. Muller W. E. Pharmacology, v. 22, p. 153-161, 1981.
- 2. Mennini T., Garattini S. Life Sci., v. 31, p. 2025-2037, 1982.
- 3. Martin I. L., Chloc L. B., Doble A. Life Sci. v. 32, p. 1925 1935, 1983.
- Martin I. L., Chioe E. B., Dotte A. Lite Sci. V. 22, p. 1923-1933, 1963.
 Montaldo S., Serra M., Concas A., Corda M. G., Meleand S., Biggio G. Neurosci. Lett., v. 52, p. 263-268, 1984.
- 5. Young W. S., Kuhar M. J. Nature, v. 280, p. 393-395, 1979.
- Young W. S., Nichoff D. L., Kuhar M. J., Beer B., Lippa A. S. J. Pharmacol. and Exp. Ther., v. 216, p. 425-430, 1981.

- 7. Liljequist R., Mattila M. J. Brit. J. Clin. Pharm., v. 8, suppl. 1, p. 55-56, 1979.
- 8. Lister R. G. Neurosci. Biobehav. Rev., v. 9, p. 87-95, 1985.
- Petersen R. S., Ghonelm M. M. Progress in Neuro-Pharmacol., v. 4, p. 81-90, 1980.
- Lippa A. S., Klepner C. A., Yunger R. L., Sano M. S., Smith W. V., Beer B. Pharmacol. Biochem. Behav., v. 9, p. 853-856, 1978.
- Коротков К. О., Жулин В. В., Кругликов Р. И. Бюл, эксперим. биол. и мед., т. 12. с. 695—696, 1981.
- 12, Baghurst P. A., Nichol L. W. J. Theor. Biol., v. 74, p. 523-535, 1978.
- Lowry O. H., Rosenbrough N. J., Farr A. L., Rundall R. J. J. Biol. Chem., v. 193, p. 265-275, 1951.
- 14. Feldman H. A .- Anal. Biochem., v. 48, p. 317-338, 1972.
- 15. Braestrup C., Squires R. F. Nature, v. 266, p. 732 -734, 1977.
- 16. Mohler H., Ocada T. Life Sci., v. 20, p. 210-222, 1977.
- 17. Ehlert F. J., Roeske W. R., Yamamura H. I. Life Sci., v. 2), p. 235 -248, 1981.
- 18. Yokoi I., Rose S. E., Yanagthara T. Life. Sci., v. 28, p. 1591-1595, 1981.
- 19. Mielson M., Bruestrup C. Nature, v. 286, p. 606-607, 1980.
- Quast U., Mahlmann H., Vollmer K.-O. Mol. Pharmacol., v. 22, p. 20-25, 1982.
- Shoemaker H., Bales R. J., Horst W. D., Yamamura H. I. J. Pharmacol. and Exp. Ther., v. 225, p. 61-67, 1983.
- 22. Richards J. G., Mohler H. Neuropharmacology, v. 23, No 2B. p. 233-242, 1981.
- Maranges P. J., Patel J., Boulenger J.-P., Clark-Rosenberg R. Mol. Pharmacol., v. 22, p. 26-32, 1982.
- 24. Basile A. S., Scolnick P. Neurochem., v. 46, p. 305-309, 1986.

say of a straight

the street is to read the street

4 4 4

Service Co. s

 Anholt R. R. H., Pedersen P. L., D. Souza E. B., Snyder S. H. J. Biol. Chem., v. 261, p. 576-583, 1986.

Поступила 20. Х 1986



HEŪPOXUMUN

т. 6, № 4, 1987

УДК 612.84+547.466.64

ПОСТНАТАЛЬНОЕ РАЗВИТИЕ РЕЦЕПТОРОВ ГЛУТАМАТА. БЕНЗОДИАЗЕПИНА И ГАМК В ЗРИТЕЛЬНОЙ СИСТЕМЕ КРЫСЫ (СРАВНИТЕЛЬНОЕ ИССЛЕДОВАНИЕ)

ШЛИБС Р., РОТЕ Т.

Институт исследований мозга им. Пауля Флексига Университета им. Карла Маркса, Лейпциг, ГДР

С использованием метода связывания лигандов было исследовано постнатальное развитие глутаматимх, бензодназениновых и ГАМК-реценторов в сетчатке, ядре наружного коленчатого тела (ЯНКТ), верхием холмике четверохолмия (ВХЧ) и арительной коре головного мозга крыс. Установлено, что в центральных арительных областях онтогенез мест связывания глутамата опережает развитие рецепторов ГАМК и бензодиззепина. Максимальное связывание глутамата было выявлено уже на 14-м лие постиатального развития .Временная картина развития бензодназепиновых рецепторон в зрительной коре и сетчатке в этих сбластях отставала от развития реценторов ГАМК, тогда как связывание бензоднаренина в ЯНКТ и в ВХЧ опережало свявывание ГАМК. Различия по времени отчетливого проявления глутаматных, бензодиазепиновых и ГАМК-реценторов в эрительных областях указывает, что глутамат- и ГАМК-ергические проводящие пути неодинаково включаются в функциональное созревание арительной системы крыс. Развитие глутаматных рецепторов в центральных эрительных областях, видимо, тесно связано с механизмами избирательной стабилизации синаптических контактов, тогда как онтогенез рецепторов ГАМК и бензодназепина контролируется более сложным образом.

В эрительной системе крыс происходят постнатальные функциональные и структурные изменения. Можно полагать, что опи увязаны с развитием функциональных свойств системы опознавания. Адекватный эрительный поток, видимо, взаимодействует с этим развитием и влияет на конечную настройку функциональных и/или структурных нейронных связей в эрительном пути [1].

Наши сведения о созревании эрительной системы были получены по большей части на основе результатов электрофизиологических и морфологических исследований [2]; меньше данных имеется о развитии нейрохимических параметров эрительной системы крыс. Так как главные нейромедиаторы, участвующие в первичной передаче эрительной информации, все еще неизвестны, мы сосредоточили внимание на постнатальном онтогенезе глутамати ГАМК-ергической передач, которые в головном мозгу рассматривают соответственно как основные возбуж-

дающие и тормозящие системы [3—5]. Нейромедиаториые рецепторы являются одними из решающих звеньев в цепи синаптической обработки информации. Благодаря их способности к адаптации в ответ на изменяющиеся количества иейромедиаторов в зависимости от сдвигов активности нейронов [6], они особенно важны для функционально-адаптивных процессов, которые протекают во время созревания зрительной системы. Поэтому мы изучали развитие глутаматных, беизодиазениновых и ГАМК-рецепторов в эрительных отделах (зрительной области коры больших полушарий, ЯНКТ, ВХЧ и сетчатке) крысы для того, чтобы выяснить, существует ли корреляция между онтогенезом этих рецепторов и созреванием процессов обработки информации в этой хорошо изученной сенсорной системе. Кроме того, мы были заинтересованы в определении величин временных различий в созревании основных возбуждающей и ГАМК-ергической передач, выявляемых при оитогенезе рецепторов в эрительной системе крыс.

Материалы и методы

Коысы линии BD III любого пола находились в условиях 12-часового затемнения в сутки и обычного виварного содержания. Их декапитировали в различном (10-90-дневном) возрасте и под стерсомикроскопом, как было описано ранее [7], выделяли зрительную область коры, ЯНКТ, ВХЧ и сетчатку. Пробы ткани гомогенезировали в инкубанионном буфере и сохраняли при -20. Для количественного определения рецепторов исследуемых агентов использовали метод радиолигандного связывания. После инкубации радиолиганда с мембранной фракцией, полученной из ткани соответствующей области, образованный лиганд-рецепторный комплекс отделяли либо фильтрованием (при определении бензодиазепиновых рецепторов). либо центрифугированием-(в случае рецепторов глутамата и ГАМК). Радиоактивность материала. задержанного на фильтрах или перешедшего в осадок при центрифугировании, измеряли при помощи счета в жидком сцинтилляторе. Для определения различных видов рецепторов применяли следующие раднолиганды: [3H] глутамат—для глутаматных рецепторов [8], [3H] флунитразепам—для бензодиазепиновых [9] и [3H] мусцимол—для рецептооов ГАМК [10]. Величину специфического связывания вычисляли как оазнину между общим связыванием и связыванием, определяемым в присутствии немеченого рецепторного ингибитора (неспецифическое свявывание). В этих опытах использовали радиолиганды и ингибиторы в следующих концентрациях: 3 нМ [3H] глутамата и 1 нМ немеченого L-гаутамата; 1,5 нМ [3H] фаунитразепама и 10 мкМ жаордназепоксида; 2 нМ [3Н] мусцимола и 1 нМ ГАМК. Полученные величины специфического связывания выражали как отношение связанного радиолиганда к содержанию белка в пробе, которое определяли по методу Lowry и: соавт. [11].

Результаты и обсуждение

Для сравнения изменявшихся во времени состояний онтогенеза рецепторов глутамата, бензодназепина и ГАМК в изучаемых эрительных областях временные сдвиги в специфическом связывании выражали в процентах от пеличины максимального связывания, достигавшейся в течение исследуемого периода развития.

В эрительной коре (рисунок, а) связывание глутамата с 10-го по 14-й день постнатального развития поднималось \approx на 31% и достигало максимального уровия, установленного при онтогенезе. К 25-му дню связывание глутамата падало (\approx в 10 раз) и уже в этом возрасте

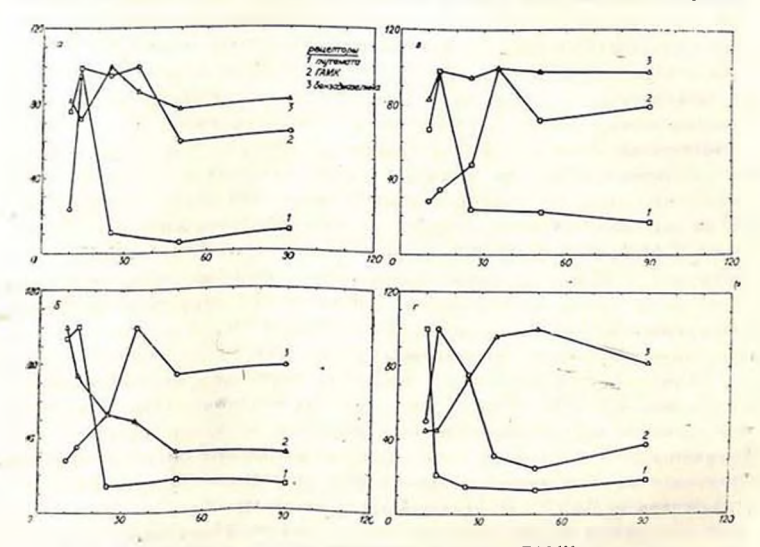


Рис. Постнатальное развитие рецепторов глутамата, ГАМК и бензодназенина в арительной области коры больших полушарий (а), ядре наружного коленчатого тела (б). верхием хелмике четверохомия (а) и сетчатке глаза (г). Величины связывания выражены в % от максимального, принятого за 100%. достигнутого при исследуемом периоде онтогенеза соответствующим видом рецепторов. Абсолютные величины составляли при этем (и пмоль/г белка):

- a) 5020±194 (1), 163±26 (2) H 356±22 (3):
- 6) 14891±1964 (1). 142±17 (2) H 277±12 (3):
- в) 5234±344 (1). 155±10 (2) и 399±28 (3);
- r) 4064±131 (1), 81±5 (2) 141±3 (3).

По оси абецисс-нозраст в лиях, но оси ординат-звязывание.

достигало величины, свойственной вэрослым крысам. Связывание ГАМК с 10-го по 14-й день значительно увеличивалось (приблизительно в 4 раза), поддерживалось на высоком уровне до 35-го дня и уменьшалось на 43% к 50-му дию, достигая величины, наблюдаемой у взрослых

животных. Бензодназепиновое связывание медленно повышалось с 10-го по 25-й день на 22%, достигая максимальной величины, затем оно постепенно снижалось до 50-го дня, когда становилось характерным для взрослых крыс.

В подкорковых областях ЯНКТ и ВХЧ (рисунок, 6, а) онтогенетический профиль глутаматных рецепторов был близким к описанному в случае эрительной коры. После подъема связывания глутамата с 10-го по 14-й день, когда достигалось максимальное связывание, оно стремительно падало, достигая к 25-му дию уровня у вэрослых животных. Связывание ГАМК в ЯНКТ и ВХЧ постепенио увеличивалось от 10-го до 35-го дня, достигая максимальной величины с последующим существенным снижением до 50-го дня когда были отмечены величины, характерные для вэрослых крыс. Бензодиазепиновое связывание в ВХЧ медленно нарастало с 10-го по 14-й день (на 16%) и оставалось на этом уровне до вэрослого состояния (рисунск. в), тогда как в ЯНКТ связывание бензодиазепина с 10-го дня постоянно снижалось до величины, свойствениой вэрослым крысам (рисунок. б).

В сетчатке (рисунок. 1) максимальное связывание глутамата было обнаружено уже у 10-дневных крыс, а затем оно резко снижалось до 25-го дня, достигая к этому сроку уровня у взрослых животных. Связывание ГАМК с 10-го по 14-й день повышалось на 50%, затем снижалось до 35-го дня, достигая наблюдаемого в случае взрослых крыс. Бензодиазепиновое же связывание с 10-го по 37-й день существенно повышалось, находилось на достигнутом уровне до 50-го дня, а потом понемногу опускалось до величины у взрослых.

Сравнение постнатального онтогенеза рецепторов глутамата, бензодиазепина и ГАМК в эрительных областях головного мозга крыс выявило, таким образом, значительные различия в картине развития этих рецепторов. В каждой из исследованных эрительных областей развитие глутаматных рецепторов предшествовало созреванию рецепторов бензодиазепина и ГАМК. В центральных эрительных областях самое высокое связывание глутамата было установлено на 14-е сутки постнатального развития. В сетчатке максимальная величина связывания оказалась в самый первый срок исследования—10-й день.

Глутамат может служить кортикальным нейромедиатором, как на это указывает его Ca²⁺-зависимый выход из эндогенных запасов и специфическое поглощение пирамидными клетками слоя VI эрительной коры [12, 13]. В настоящее время имеются веские доказательства, что нервные волокна, илущие из эрительной коры в ЯНКТ и ВХЧ, используют в качестве нейромедиатора глутамат [14].

Развитие высокоаффинного связывания глутамата, которое можнорассматривать как маркер глутаматергических нервных окончаний, видимо, протекает параллельно с морфологическим созреванием эрительных кортикофугальных и кортико-кортикальных проекций [15]. Период максимального связывания глутамата тесно совпадает с тем, когда созревание глутаматергических нервных окончаний достигает взрослогосостояния. Резкое постнатальное падение глутаматного связывания в центральных зрительных областях с 14-го по 25-й день, таким образом, можно рассматривать как деградацию тех мест связывания глутамата, которые оказались неэффективно вовлеченными в протекающее образование глутаматергических синаптических контактов. Интересно, что у крыс возраст, при котором достигается самое высокое в течение всего постнатального развития связывание глутамата, совпадает с временем прозревания. Следовательно, «включение» эрения, видимо, побуждает окончательное морфофункциональное созревание глутаматергической передачи в центральных эрительных областях. Подобное же резкое снижение числа мест связывания глутамата в сетчатке, возможно, завижение числа мест связывания глутамата в сетчатке.

Временная динамика развития бензодназепиновых рецепторов в зрительной коре и сетчатке отстает от развития рецепторов ГАМК в этих областях, тогда как в ЯНКТ и ВХЧ связывание бензодназепина опережает связывание ГАМК. В некоторых частях головного мозга бензодназепиновые рецепторы, возможно, ассоциированы с рецепторами ГАМК и белками хлорных каналов, образуя некий супрамолекулярный комплекс [16]. Различный ход онтогенеза мест связывания бензодназепина и ГАМК в изученных нами зрительных областях может указывать на неодинаковое развитие в них обоих рецепторов или на зависящие от возраста изменения в функциональных свойствах ГАМК—бензодназепиновый рецептор—хлоридионофорного комплекса.

В арительной системе крыс наблюдали также региональные отличия в типах развития высокоаффинного связывания ГАМК и глутаматлекарбоксилазиой активности, которые считаются маркерами ГАМК-ергических пресинаптических нервных окончаний. В ЯНКТ активность глутаматдекарбоксилазы достигает уровия, характерного для взрослых животных, на 15-й день постнатального развития, тогда как в эрительной коре и в ВХЧ и после 30-го дня эта ферментативная активность оказывается еще не полностью выраженной [15]. Высокоаффинное связывание ГАМК во всех трех изучаемых областях проявляло выраженный пик на 15-й день онтогенеза, несовпадавший с развитием глутаматдекарбоксилазной активности [15]. Таким образом, различные компоненты ГАМК-ергической передачи развиваются по разной схеме.

В ВХЧ и эрительной коре развитие рецепторов ГАМК, видимо, опережает становление активности глутаматдекарбоксилазы. Наоборот, онтогенез мест связывания ГАМК в ЯНКТ отстает от развития этой ферментативной активности в данной области. Сравнение таких фактов указывает, что образование рецепторов ГАМК не требует индукции состороны образования функциональных синапсов, что похоже на результаты онтогенетических исследований и других нейромедиаторных систем [17, 18].

Различное по времени появление рецепторов глутамата, бензодназепина и ГАМК в эрительных областях позволяет допустить, что глутамат- и ГАМК-ергические передачи по-разному вовлекаются в функциональное созревание зрительной системы крыс. Характер развития глутаматных рецепторов в зрительной системе указывает на избирательную стабилизацию синаптических контактов путем устранения избытка рецепторных мест связывания, как это предполагали Changeux и Danchin [19]. Совпадение сокращения связывания глутамата с моментом прозревания подчеркивает важность характера опознавания для установления функционально работоспособной нейронной сети.

На основе данных о типах развития рецепторов ГАМК и бензодназепина нельзя прийти к подобного рода заключениям. Более того, ГАМК-ергическая передача не ограничена лишь одним видом нейропов. Поэтому наблюдаемая картина онтогенеза отражает усредненное влияние различных механизмов развития и может быть к тому же перекрыта эффектами, возникающими под влиянием среды.

Такой же вывод можно сделать и по поводу неодинаковой картины развития рецепторов ГАМК и бензодиазепина. Поэтому явные различия в случае этих двух видов рецепторов в сетчатке и в ЯНКТ на основе современных сведений трудно объяснить.

DEVELOPMENT OF GLUTAMATE, BENZODIAZEPINE, AND GABA BINDING SITES IN RAT VISUAL SYSTEM. A COMPARATIVE STUDY

SCHLIEBS R., ROTHE T.

Paul Flechsig Institute for Brain Research, Department of Neurochemistry, Karl Marx University, Leipzig, G. D. R.

The postnatal development of glutamate, benzodiazepine and GABA receptors has been studied in the retina, lateral geniculate nucleus, superior colliculus and visual cortex of the rat using radioligand binding techniques.

In the central visual regions the ontogeny of glutamate binding sites precedes that of GABA and benzodiazepine receptors. Highest glutamate binding was already detectable on postnatal day 14. The temporal pattern of the development of benzodiazepine receptors in the visual cortex and in the retina lags behind that of GABA receptors in these regions, whereas in the lateral geniculate nucleus and the superior colliculus benzodiazepine binding precedes that of GABA binding.

The temporal distinct appearance of glutamate, benzodiazepine and GABA receptors in the visual regions suggests that the glutamatergic and GABAergic transmission systems are differently involved in the functional maturation of rat visual system. The development of the glutamate receptors in the central visual regions seems to follow closely the mechanisms of selective stabilization of synaptic contacts, whereas the ontogeny of GABA and benzodiazepine receptors is controlled in a more complex fashion.

AHTEPATYPA

1. Singer W .- In: Synorgetics of the Brain (eds. E. Basar, H. Flohr., H. Haken, A. J. Mandell), p. 89-101, Springer, Berlin-West, 1983.

2. Schiller P. H. Vision Res., v. 26, p. 1351-1386, 1986.

- 3. Fonnum F. J. Neurochem., v. 42, p. 1-11, 1984.
- 4. Roberts P. J., Storm-Mathisen J., Johnston G. A. R. Glutamate transmitter in the centra! nervous system, John Wiley & Sons, Chichester, 1981.
- 5. Parnavelus J. G., McDonald J. K .- In: Chemical neuroanatomy (ed. P. C. Em-'son), p. 505-549, Raven Press, New York, 1983.
- Schwartz J. C., Cortes C. L., Rose C., Quach T. T., Pollard H. Progr. Brain, Res., v. 48, p. 117-129, 1983.
- 7. Bigl V., Biesold D., Weisz K. J. Neurochem., v. 22, p. 505-509, 1974.
- 8. Schliebs R., Kunert E., Bigl V. J. Neurochem., v. 43, p. 1490-1493, 1934, 9. Schliebs R., Rothe T., Bigt V. Dev. Brain Res., v. 24, p. 179-185, 1986.
- 10. Schliebs R., Rothe T. Gen. Physiol. Biophys. (submitted), 1987.
- 11. Lowry O. H., Rosebrough N. J., Furr A. L., Randall R. J. J. Biol. Chemv. 193, p. 265-275, 1951.
- 12. Baugham R. W., Gilbert C. D. Nature, v. 287, p. 848-850, 1980.
- 13. Bangham R. W., Gilbert C. D. J. Neurosci., v. 1, p. 427-439, 1981.
- 14. Kvale I., Fonnum F. Dev. Brain Res., v. 11, p. 261-266, 1983,
- 15. Kvale I., Fosse V. M., Fonnum F. Dev. Brain Res., v. 7, p. 137-145, 1983.
- 16. Tallman J. F., Gallager D. W. Ann. Rev. Neurosci., v. 8, p. 21-44, 1985.
- 17. Bylund D. B. Adv. Exp. Med. Biol., v. 16, p. 133-162, 1979.
- 18. Coyle J. T., Yamamura H. I. Brain Res., v. 118, p. 429-440, 1976.
- 19. Changeux J. P., Danchin A. Nature, v. 264, p. 705-712, 1976.

Поступила 14. V 1987

Нейропептилы и поведение. т. І. Действие АКТГ, МСГ и опноидных пептидон на ЦНС. Pergamon Press. 480 с., 1985.

Neuropeptides and Behaviour-v. I. CNS effects of ACTG, MSH. and opioid peptides (ed. by D. De Wied., W. H. Gispen and T. J. B. Van Vimarsma Greidanus). Pergamon Press, Oxford, England, 480 p., 1985.

Этой книгой открывается серия изданий, посвященных нейропептидам и поведению. В настоящем томе описаны нейропептиды, связанные с АКТГ, МСГ, эндорфинами и энкефалинами, а также локализация, распространение и процессинг проопномеланокортина в мозгу и вилочковой железе. Следующие главы рассматривают их функции в качестве нейротрансмиттеров, нейромодуляторов и нейрогормонов, которые выявлены с помощью электрофизиологических, нейрохимических и нейробиологических исследований. Предметом рассмотрения являются также поведенческие эффекты этих соединений. Книга предназначена для фармакологов, нейрохимиков, нейробиологов и электрофизиологов-





УДК 616.894.02:615.711.1

ЗАВИСИМОСТЬ АКТИВНОСТИ АУТОАДРЕНОРЕЦЕПТОРОВ ОТ ИНТЕНСИВНОСТИ СЕКРЕЦИИ НОРАДРЕНАЛИНА

БАЗЯН А. С., КРУГЛИКОВ Р. И.

Институт высшей нервной деятельности и нейрофизиологии АН СССР, Москва

Исследовали зависимость показателя зоны стабильной секреции, заключенной между α- и β-пресинаптическими аутоадренорецепторами, ст интенсивности секреция [3H] норадреналина (НА) в тангенциальных срезах теменной коры мозга крыс. Срезы деполяризовали повышением концентрации КСІ с 4.8 до 20, 30, 60 мМ в присутствии 1.3 и 2.6 мМ СаСІ₂ в инкубзационной среде. У 7—8-месячных животных увеличение концентрации КСІ с 20 до 60 мМ при 1,3 мМ СаСІ₂ усиливает интенсивносто секреции [-Н] НА в 2,87 раза. При этсм активность аутоадренорецепторов меняется так, что концентрация НА, соотнетствующая зоне стабильной секреции, увеличивается в 1000 раз. У 3—4-месячных животных деполяризацию проводили 20 мМ КСІ+1,3 мМ СаСІ₂, 20 мМ КСІ+2,6 мМ СаСІ₂. Интенсивность секреции [3H] НА усиливалась в 1,44, 2,21 и 3,18 раза, а концентрация НА, соответствующая зоне стабильной секреции, увеличивалась соответственно в 10, 25 и 100 раз. Таким образом, обнаружена пропорциональная зависимость между интенсивностью секреции и зоной стабильной секреции. Обсуждаются возможные механизмы данной зависимость.

В предыдущих работах [1—5] было показано, что α - и β -аутоадренорещепторы, активируемые НА, изменяют количество секретируемого медиатора на последующую деполяризацию. Величина и направленность изменений зависит от концентраций НА, активирующих эти рецепторы. Низкие концентрации НА усиливают секрецию, активируя в-аутоадренорецептор. Причем эффект усиления дозозависимо возрастает до определенного предела при увеличении концентрации НА. Дальнейшее увеличение концентрации НА приводит к тому, что усиливающий секрешию меднатора эффект β-аутоадренорецептора, постепенно уменьшаясь. полностью исчезает. При еще большем увеличении концентрации НА наблюдается дозозависимое торможение секреции медиатора вследствие активации и-ауторецепторов. Та концентрация НА, при которой полностью исчезает эффект β-ауторецепторов и еще не проявляется эффект α-ауторецепторов, названа нами зоной стабильной секреции. Зона стабильной секрещин-это тот уровень концентрации НА, при котором стабилизируется концентрация секретируемого на каждый импульс медиатора, стабилизируя амплитуду ВПСП после синаптической депрессии или синаптического облегчения в серии пресинаптической импульсации заданной частеты [1, 2].

Теоретический модельный анализ [3] показал, что в адренергических терминалях усиление секреции медиатора при увеличении частоты импульсации связано с изменением активности α- и β-ауторецепторов и сдвигом зоны стабильной секреции в сторону высоких концентраций НА. Таким образом, модельный анализ предсказывает наличие взаимосвязи между интенсивностью секреции медиатора и концентрации НА, при которой образуется зона стабильной секреции. Чем выше зона стабильной секреции, тем выше интенсивность секреции и наоборот.

Целью данной работы является проверка предсказания модельного анализа путем исследования взаимосвязи между интенсивностью секреции НА, вызванной разной степенью деполяризации и зоны стабильной секреции.

Материалы и методы

Опыты проводили на 7—8-месячных самцах белых беспородных крыс, массой 300—350 г и 3—4-месячных, массой 180—230 г.

4 или 8 тангенциальных срезов теменной коры толщиной 0,3 мм инкубировали в 4 или 8 мл. двухбуферной (1 мМ. Na+-фосфатной и 15 мМ бикарбонатной, рН 7.25 при насыщении карбогеном) среды Кребса-Рингера в течение 15 мин, 37°. Затем в данные объемы инкубационной среды добавляли 10 или 20 мкКи соответственно DL-[3H] НА («Amersham», Англия) с удельной радиоактивностью 10 или 20 Ки/ммоль (конечная концентрация 2,5 · 10-11 моль/мл НА) и инкубировали еще 10 мин. Срезы в отдельности, но одновременно промывали в течение 30 мин посредством параллельного переноса через каждые 2 мин в чистые инкубационные среды. После промывки определяли спонтанную и вызванную секрешню [3Н] НА из каждого среза. Спонтанную секрецию определяли измерением радиоактивности, накопленной в 1 мл нормальной среды Кребса-Рингера, после 2-минутной инкубации в ней среза. Вызванную секрецию определяли после 2-минутной инкубации среза в 1 мл среды, содержащей 20, 60 мМ КСІ, 1,3 мМ СаСІ₂ (7-8-месячные жи-BOTHER), HAH 20 MM KCI, 1,3 MM CaCl2, 20, 30 MM KCI, 2,6 MM CaCl2 (3-4-месячные животные). Интенсивность секреции S1 определяли соотношением вызванной секреции к спонтанной. После деполяризации срезы промывали нормальной средой Кребса-Рингера 30 мин и повторно определяли интенсивность секреции S2. У каждого среза интенсивность секреции определяли 3 или 5 раз (S₁—S₃ или S₁—S₅). У части срезов за 15 мин до повторных исследований интенсивности секреции (S2-S5) в инкубационную среду добавляли 10-11-10-7 М L-НА («Serva», ФРГ). Спонтанную и вызванную секрещии в этих срезах определяли в присутствии данной концентрации экзогенного НА. Из отношения интенсивности секреции в присутствии экзогенного НА к интенсивности секрещии в его отсутствие определяли влияние данцой концентрации НА на интенсивность секреции [3H] НА—коэффициент регуляции секреции С [4]. На основании полученных величин С строили дозозависимую кривую активности аутоадренорецепторов. Точку пересечения этой кривой с осыо абсцисс определяли как зону стабильной секреции [5]. Для статистической обработки полученных результатов использовали критерии Стыодента—Рг. Вилкоксона, для сопряженных пар—Рг и Вилкоксона-Мана-Унтин—Ри.

Результаты исследований

Результаты исследований изменения интенсивности секреции при разной степени деполяризации при двух концентрациях Ca²⁺ представлены в таблице. Увеличение концентрации КCI с 20 до 60 мМ усиливает интенсивность секреции [³H] НА у 7—8-месячных животных в 2,87 раза. Увеличение концентрации CaCl₂ с 1,3 до 2,6 мМ при концентрации КСI 20 мМ повышает интенсивность секреции у 3—4-месячных животных в 1,44 раза. Увеличение концентрации КСI до 30 мМ, при CaCl₂ 2, 6 мМ усиливает интенсивность секреции в этой группе животных в 3,18 раза по отношению к 20 мМ КСI, 1,3 мМ CaCl₂ и в 2,21 раза по отношению к 20 мМ КСI, 2,6 мМ CaCl₂.

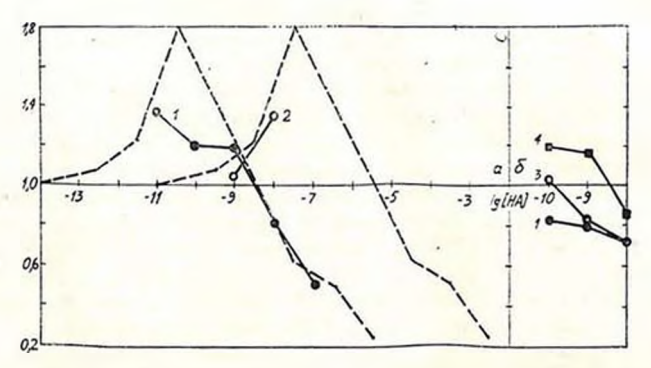


Рис. Зависимость активности аутоадренорецептеров у 7—8-месячных (в) и 3—4-месячных (б) животных от концентрации экзогенного порадреналина при деполяризации срезов коры мозга крыс 20 мМ КСІ, 1,3 мМ СаСІ₂ (1); 60 мМ КСІ, 1,3 мМ СаСІ₂ (2); 20 мМ КСІ, 2.6 мМ СаСІ₂ (3); 30 мМ КСІ, 2.6 мМ СаСІ₂ (4). Пунктирная лимия—тесретическая кривая зависимости активности аутоадренорецепторов от концентрации порадреналина [1—3]. По оси абсцисс—логарифм концентрации порадреналина, по оси ординат—коаффициент регуляции секреции С

У всех пяти групп животных была исследована активность аутоадренорецепторов. Результаты исследований, проведенных на 7—8-месячных животных. представлены на рис., а. График зависимости активности аутоадренорецепторов от концентрации экзогенного НА у этих животных при 20 мМ КСІ, 1,3 мМ СаСІ $_2$ подробно описан в предыдущих работах [4, 5]. При данных условиях эксперимента зона стабильной секреции равна 5,5·10 $^{-9}$ М НА. При увеличении концентрации КСІ до 60 мМ, усиливающей интенсивность секреции [3 H] НА в 2,87 раза, характер зависимости активности ауторецепторов от концентрации экзогенного НА резко меняется. При концентрации 10^{-9} М НА наблюдается незначительное повышение интенсивности секреции [3 H] НА ($C=1.05\pm0.13$) вместо выраженного усиления секреции при 20 мМ КСІ, Концентрация экзогенного НА (10^{-8} М) при 60 мМ КСІ достоверно усиливает интенсивность секреции ($C=1.37\pm0.11$; $P_{11}<0.05$) вместо достовериого уменьшения интенсивности секреции при 20 мМ КСІ. Разница между величинами С в данной точке при 20 и 60 мМ КСІ также достоверна ($P_{11}<0.05$).

Как видно из рис., а, при 20 мМ КСІ зона стабильной секреции образуется на основании обратной зависимости величины С от концентраций экзогенного НА 10-9, 10-8 М. При 60 мМ КСІ эти концентрации НА приводят к дозозависимому возрастанию величины С, которое свойствению β-аутоадренорецептору. Таким образом, зависимость активности аутоадренорецепторов от концентрации НА сдвигается настолько, что концентрации 10-9, 10-8 М НА активируют уже β-аутоадренорецептор. Для наглядности на рис., а пунктирными линиями представили теоретически полученный график [2, 3] так, чтобы он практически совпадал с экспериментальными кривыми (в одном случае — с кривой 1, а в другом—с кривой 2). Из рис., а видно, что при увеличении концентрации КСІ с 20 до 60 мМ, усиливающей интенсивность секреции [3H] НА в 2,87 раза, кривые активности аутоадренорецепторов сдвигаются в сторону высоких концентраций НА, а зона стабильной секреции увеличивается в 1000 раз.

Результаты исследований, проведенных на 3-4-месячных животных. представлены на рис., б. График зависимости активности аутоадренорецепторов от концентрации экзогенного НА у этих групп животных пои 20 мМ КСІ, 1,3 и 2.6 мМ СаСІ2 подробно описаны в предыдущей работе [5]. В присутствии 1,3 мМ СаСІ2 зона стабильной секреции с использованием теоретического графика приравнивается к 2.4 10-11 М НА, а в присутствии 2,6 мМ СаСl2—2,4-10-10 М НА. При деполяризации срезов 30 мМ КСІ, 2,6 мМ СаСІ2 концентрация экзогенного НА $10^{-10}\,\mathrm{M}$ усиливает интенсивность секрении [3H] HA (C=1.18±0.06: Pz=0,01), достоверно отличаясь от того же показателя при 20 мМ КСІ. 1.3 мМ СаСі2 (Pt < 0.05). Концентрация НА 10-9 М также усиливает интенсивность секрешии (C=1.16 \pm 0.06; P_z <0, 05), достоверно отличаясь от того же показателя при 20 мМ КСІ, 1,3 и 2,6 мМ СаСІ (Pt < 0.01). При 10-8 М НА интенсивность секреции уменьшается $(C=0.86\pm0.04; P_z<0.01)$, но незначительно отличается от данного показателя при 20 мМ КСІ. Как видно из рис., б. зона стабильной секрении при 30 мМ КСІ и 2,6 мМ СаСІ соответствует 6 10-9 М НА. Таким образом, проведенные исследования показали пропоршнональную зависимость между изменениями интенсивности секреции НА и зоной 491

стабильной секреции. Чем больше интенсивность секреции, тем выше зона стабильной секреции.

Анализ величин интенсивности секреции [Н] НА показал, что вона стабильной секреции, в отличие от интенсивности секреции, является индивидуальным RAL каждого животного зателем, обладающим достаточно большой вариабельностью. Нагруппе 7-8-месячных животных при 20 мМ КСІ и пример, в 1,3 мМ СаСІ2 коэффициент варнации S равен 14.2%, а коэффициент вариации зоны стабильной секреции равен 135.7%. Вследствии этого изменения зоны стабильной секрении могут выявляться при достаточном изменении степени деполяризации, или, что одно и то же, при достаточном изменении интенсивности секреции. Групповой характер зоны стабильной секреции проявляется в сравнении результатов, полученных при исследовании 7—8- и 3—4-месячных животных. Средние величины интенсивности секреции: [3H] НА в этих группах при 20 мМ КС1 и 1.3 мМ СаСІ2 не отличаются (таблица), а величины С у 7-8-месячных животных достоверно выше, чем у 3-4-месячных пон 10-10 и 10-10 М НА (Р: < 0.01, рис., а и б). Зона стабильной секреции у 7-8-месячных крыс в 230 раз выше, чем у 3-4-месячных при коэффициенте вариации зоны стабильной секреции у 3-4-месячных животных-106.4%. Такой сдвиг зоны стабильной секрешии связан, по-видимому, с возрастными изменениями у животных. Так как зона стабильной секреции определяется как концентрация секретируемого НА, а интенсивность секреции, то есть количество секретируемого НА в этих группах не отличается, то причиной увеличения концентрации, которая создается секретируемым НА, может быть уменьшение свободного межклеточного пространства мозга, вызванисе возрастными морфологическими изменениями, например, ростом и делением глиальных клеток или другими морфологическими изменениями.

Обсуждение результатов

Таким образом, проведенные теоретические [3] и экспериментальные исследования показали прямую зависимость между интенсивностью секреции НА и уровнем зоны стабильной секреции: чем выше интенсивность секреции, тем выше уровень зоны стабильной секреции. Следовательно, увеличение степени деполяризации, повышение внеклеточной концентрации Са²⁺ и увеличение частоты стимуляции, усиливающие секрецию НА, повышают уровень зоны стабильной секреции, сдвигая чувствительность аутоадренорецепторов в сторону высоких концентрации НА. Было, показано [6], что активность «аутоадренорецептора уменьшается при увеличении частоты стимуляции или повышении концентрации Са²⁺. Исследования в основном проводили при одной концентрации лиганда. Полученные нами результаты показывают, что уменьшение активности «ауторецепторов, наблюдаемое в этих работах, в основном, связано со сденгом всей кривой активности рецептора в сторону высоких концентраций НА (рис., б). В дитературе имеется указание [7]

492

на то, что при увеличении интенсивности стимуляции активность β -ауторецептора уменьшается. Эти результаты также получены при одной концентрации агониста. Если бы при исследовании 7—8-месячных животных мы использовали бы только концентрацию 10^{-9} М НА, то на основании полученных результатов при даиной концентрации сделали бы точно такой вывод, как и авторы цитируемой работы.

Таблица Нитенсивность секреции [¹H] норадреналина из срезов коры мозга крыс

Группы животных	Условия деполяризации	Sep	Количество животных	P _t
7—8-месячные животные 3—4-месячные жинотные	20 xM KCI, 1.3 xM CaCI, 60 xM KCI, 1,3 xM CaCI, 20 xM KCI, 1.3 xM CaCI, 20 xM KCI, 2.6 xM CaCI, 30 xM KCI, 2.6 xM CaCI, 30 xM KCI, 2.6 xM CaCI,	2,15±0,09 6,28±0,37 2,18±0,11 3,14±0,26 6,93±0,48	13 5 8 8 11	<0.001 <0.001

На основании полученных данных можно объяснить результаты работ, указывающих на отсутствие активности с-аутоадренорецепторов при чрезмерной интенсивности стимуляции [6] и ее появление при уменьшении концентрации Са²⁺ в инкубационной среде. Чрезмерная интенсивность стимуляции настолько сдвигает чувствительность аутоадренорецепторов, что исследуемые концентрации лигандов оказываются инже чувствительности рецепторов. Уменьшение висклеточной концентрации Са²⁺ снижает уровень зоны стабильной секреции, то есть чувствительность ауторецепторов увеличивается, сдвигаясь вниз по концентрации НА, вследствие чего и исследуемая концентрация лиганда опять попадает в зону чувствительности ауторецептора.

Теоретический анализ предсказал [3], что изменение частоты импульсации, в перпую очередь, влияет на активность аутоадренорецепторов, следствием чего является изменение интенсивности секреции медиатора. Такая последовательность событий определяется как прямая реакция, так как основным способом перекодировки информации в мозгу является частота импульсной активности. Для экспериментального увеличения интенсивности секреции были использованы или высокие концентрации Са^{2-} при одинаковой степени деполяризации, или более интенсивная деполяризация. Данный способ увеличения интенсивности секреции был применен для определения зависимости изменения активности аутоадренорецепторов от изменения интенсивности секреции (обратная связь).

Возможные механизмы сдвига кривых активности аутоадренорецепторов и уровня зоны стабильной секреции при изменении частоты импульсации подробно обсуждены ранее [3]. Пресинаптические адренорецепторы осуществляют регуляцию секреции НА через ряд ферментативных реакций: аутоадренорецептор—аденилатциклаза (АЦ)—сАМР—Са²⁺-канал [6].

Увеличение степени деполяризации или концентрации Ca²⁺ в инкубационной среде приводит. в первую очередь, к повышению Ca²⁺-тока внутрь терминалей. что влияет на регуляцию Са²⁺-зависимых процессов (активности протеникиназной и АЦ-реакции) [8]. Так как количество открываемых Ca^{2+} -каналов определяется содержанием сАМР, осуществляющей протеникиназную реакцию в присутствии Ca^{2+} , то логично предположить, что количество открываемых Ca^{2+} -каналов и активность АЦ находятся в состоянии динамического равновесия. Следовательно, увеличение Ca^{2+} -тока влияет на активность АЦ. Последияя, в свою очередь, аллостерическим механизмом [8] изменяет активность аутоадренорецепторов, что в конечном счете приводит к сдвигу кривых активности аутоадренорецепторов так, как это проявляется в наших исследованиях. Возможно, что обратная реакция (повышение Ca^{2+} -токарувеличение интенсивности секреции—повышение зоны стабильной секреции) осуществляется описанным выше способом.

DEPENDENCE OF AUTOADRENORECEPTORS ACTIVITY FROM THE INTENSIVITY OF NORADRENALINE SECRETION

BAZYAN A. S., KRYGLIKOV R. L.

Institute of Higher Nervous Activity and Neurophysiology,
Academy of Sciences of the USSR, Moscow

Dependence of the index of the zone of stabile secretion (between a and presynaptic adrenoreceptors) from the intensivity of H-NA secretion in tangential slices of rat parietal lobe has been studied. The slices have been depolarized by increasing KCl concentration from 4,8 to 20, 30 and 60 mM in the presence of 1,3 and 2,6 mM C.:Cl2 in the media. In 7-8 months old animals increase of KCl from 20 to 60 mM (CaCl2-1,3 mM) enhances H-HA secretion 2,8-fold and leads to a 1000-fold increase in NA concentration in a stabile secretion zone. In 3-4 months-old animals depolarization was carried out with 20 mM KCl/1,3 mM CaCl2, 20 mM KCl/2,6 mM CaCl2, 30 mM KCl/2,6 mM CaCl2. Intensivity of H-NA secretion enhanced 1,44, 2,21 and 3,18-fold, and NA concentration, corresponding to the zone of stabile secretion, increased 10, 25 and 250-fold, respectively. Thus, a correlation between the intensivity and the zone of secretion has been established. The possible mechanisms of this phenomenon are discussed.

ЛИТЕРАТУРА

- 1. Базян А. С., Биолский Б. А. Биофизика, т. 28. № 5, с. 858-862, 1983.
- 2. Балин А. С. Биофизика, т. 29, No 3, с. 470-472, 1984.
- 3. Болян А. С., Беркинблит М. Б., Бродский Б. Л. Биофизика, т. 29. № 5, с 895—898, 1984.
- 4. Базян А. С., Кругликов Р. И. Нейрохимия, т. 5, № 2, с. 172—179, 1986.
- 5. Базян А. С., Кругликов Р. И. Нейрохимия, т. 5. № 3, с. 231—240, 1986.
- 6. Базян А. С. Успехи соврем. биол., т. 92. № 4. с. 115-126, 1981.
- Celuch S. M., Dubocovich M. L., Langer S. Z. Brit, J. Pharmacol., v. 63, No. 1, p. 97-109, 1978.
- Г. 1с60в Р. Н., Крыжановский Г. Н. Функциональная биохимия синапсов, М., Медицина, 1987.

Поступила 25. VI 1987



HEŪDOXUMUA

т. 6, № 4, 1987

УДК 577.113.3:576.354.46

ДЕЙСТВИЕ NAD* НА ВЫСВОБОЖДЕНИЕ ДОФАМИНА И СЕРОТОНИНА ИЗ СИНАПТОСОМ ГОЛОВНОГО МОЭГА КРЫС

ХААМУРАДОВ А. Г., КУЧМЕРОВСКАЯ Т. М., ПАРХОМЕЦ П. К. Институт биохимия им. А. В. Палладина АН УССР, Киев

Научали действие NAD+ на высвобождение [2-14С] дофамина и [2-14С] сероточина из предварительно обогащенных ими синаптосом головного мозга крыс. Показано, что NAD+ в конечной концентрации 1,1,10-3 М стимулкрует высвобождение [2-14С] дофамина и [2-14С] сероточина из синаптосом канболее выражено через 10 мин инкубации на 38 и 61% соответственно по сравненно со споитанным процессом. По характеру модумирующего действия на синаптическую мембрану NAD+ в обоих случаях напоминает аффект высоких концентраций КСІ (90 мМ)—известного деполяризующего агента. При совместном внесении в среду инкубации стимулирующие эффекты NAD+ и КСІ из высвобождение [2-14С] дофамина из синаптосом не суммируются. Эффект NAD+ на пысвобождение [2-14С] дофамина посит дозозависимый характер и наиболее выражен при концентрации, равной 1,1,10-3 М.

Модулирующее синаптическую мембрану действие NAD+ опогредовано наличием Ca2+ в среде. В бескальциевой среде, как и в присутствии верапамила, стимулирующий эффект NAD+ на высвобождение [2-14C] дофамина и [2-14C] серотонина из синаптосом не реализуется.

По-видимому, нейромодуляторное действие NAD+ осуществляется путем деполяризации мембраны и опосредованной Ca²⁴ стимуляции выспобождения дофамина и серотонина из первных терминалей.

На синаптических мембранах коры головного мозга крыс ранее нами была выявлена высокоспецифическая система взаимодействия NAD+ с двумя участками связывания, характеризующимися высоким ($K_{d1} = 3.3 \cdot 10^{-6} \, \mathrm{M}$) и низким ($K_{d2} = 14.4 \cdot 10^{-6} \, \mathrm{M}$) сродством к рецептору [1]. Были приведены доказательства, что синаптический мембранный рецептор NAD+ является сложным липопротеидным комплексом с углеводным микроокружением, локализованным на наружной стороне мембраны, и для его взаимодействия с лигаидом существеньюе значение имеют SH-группы аминокислотных остатков белкового компонента [2].

Эти данные проливают свет на механизм выявленного в нашей лаборатории концентрационнозависимого сдвига электрических свойств гладкомышечных клеток taenia coli и мечевого пузыря морской свинки при аппликации инкотинамидных иуклеотидов [3, 4]. Не исключена также вероятность, что в основе благоприятного терапевтического эффекта NAD÷ и его предшественников—никотинамида и никотиновой кислоты при лечении шизофрении, эпилепсии и психозов различной этиологии [5—7] лежит взаимодействие перечисленных соединений со специфическими структурами синаптических мембран головного мозга, приводящее к реализации еще окончательно не распознанной последовательности функциональных ответов возбудимых клеток.

С целью выяснения возможного физиологического значения взаимодействия NAD+ с синаптическими мембранами в настоящей работе мы изучили действие NAD+ на высвобождение дофамина и серотонина из предварительно обогащенных этими нейромедиаторами синаптосом головного мозга крыс.

Материалы и методы

Фракцию синаптосом получали из клеток коры больших полушарий, продолговатого и промежуточного отделов головного мозга крыссамцов линии Wistar массой 120—180 г по методу Abita и соавт. [8]. Чистоту и морфологическую нативность выделенных синаптосом контролировали электронно-микроскопическим путем [1].

Синаптосомы обогащали [2-14C] дофамином или [2-14C] серотонином («Атегьнат», Англия) в среде ранее описанного состава [1], содержащей 1·10-5 М ипроимазида—ингибитора МАО, При этом в инкубационную среду (6 мл) вначале вносили белок синаптосом (6 мг) и пробу преинкубировали 5 мин при 37° на водяной бане при постояниом перемешивании. Затем в пробы добавляли 0.26 мкМ [2-14C] дофамина или 1.48 мкМ [2-14C] серотонина и продолжали инкубировать в течение 10 мин при 37°, постоянно перемешивая. По завершении инкубации пробы центрифугировали при 105000g на препаративной ультрацентрифуге VAC 601 (ГДР) в течение 5 мин при 4°. Осадок синаптосом дважды промывали 0,32 М сахарозой. Аликвоту (0,2 мл) надосадочной фракции вносили в сцинтилляционную жидкость ЖС-103 (5 мл) и измеряли не поглощенную синаптосомами радиоактивность на счетчике «Intertechnique SL-30» (Франция).

При изучении характера высвобождения [2-14С] дофамина и [2-14С] серотонина под действием различных агентов обогащенные пробы синаптосом (6 мг белка) вносили в инкубационную среду (6 мл) и тщательно перемешивали при 37° на водяной бане. После этого в пробы в зависимости от специфики эксперимента вносили NAD+ (1,1·10-3 M), КСІ (90 мМ), ЭГТА (3—4 мМ), верапамил (1.7·10-4 М) как в отдельности, так и в сочетании, проводя инкубацию в течение различных интервалов времени при 37°. После инкубации пробы центрифугировали при 105000 g в течение 5 мин при 4°. В аликвотах (0,2 мл) надосадочной жидкости измеряли высвободившуюся из синаптосом радиоактивность. Высвобождение [2-14С] дофамина или [2-14С] серотонина из синаптосом в описанных выше условиях выражали в % и в имп/мин/мг белка. Содержание белка определяли по Lowry и соавт. [9].

Полученные результаты обрабатывали статистически [10]..

Результаты и обсуждение

Типичная динамика спонтанного высвобождения [2-14C] дофамина из предварительно нагруженных им синаптосом головного мозга крыс отображена на рис. 1. 1. Как видно из направленности кривой, начальная скорость спонтанного высвобождения указанного нейромедиатора достаточно высока. В результате этого за 5 и 10 мин инкубации

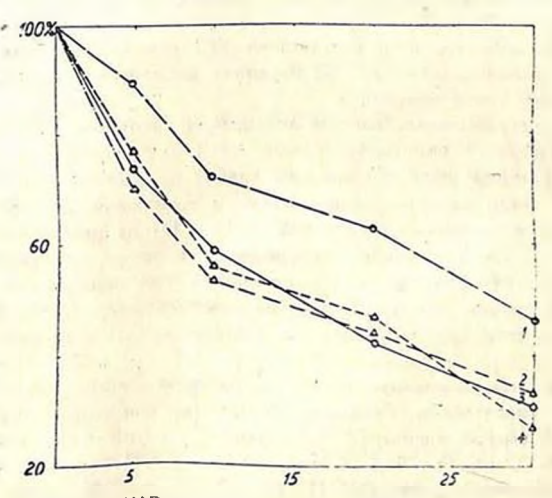


Рис. 1. Действие NAD+ на высвобождение [2-14С] дофамина из синаптосом головного мезга крыс (маждая точка соответствует средним данным
из 7 опытся). По оси абецисс—время инкубации (мия), по оси орди
нат—уровень накопления (%), 1—спомтанное высвобождение; 2—90 мМ
КСІ: 1—1.1 мМ NAD-; 4—1,1 мМ NAD-+90 мМ КСІ

синаптосомы высвобождают соответственно 12 и 28% заключенного в них [2-14С] дофамина. По мере дальнейшего удлинения времени инкубации скорость процесса спонтанного высвобождения нейромедиатора из синаптосом иссколько замедляется, что сказывается на уровне высвобождения, который через 15, 20 и 30 мин составляет соответственно 32, 37 и 52%.

Известно, что высвобождение нейромедиаторов из синаптосом индуцирует ряд факторов, вызывающих деполяризацию мембраны. К нимотносят электрическую стимуляцию, повышение внеклеточной концентрации калия, воздействие вератридином или ядом скорпиона, торможение функционирования натриевого насоса оубанном или путем уменьшения внеклеточной концентрации Na+. Однако вызванная высокой концентрацией К+деполяризация признается более специфичной при изучении скорости высвобождения нейромедиаторов, чем другие факторы, включая электростимуляцию [11]. Поэтому, исходя из вышеизложенного, в своих исследованиях в качестве агента, деполяризующего мембрану синаптосом, мы избрали высокие концентрации КСІ. Из рис. 1, 2, видно, как добавление в инкубационную среду, содержащую обогащенные [2-14С] дофамином синаптосомы, КСІ в концентрации 90 мМ вызывает резкое увеличение скорости высвобождения нейромедиатора. В результате этого через 5, 10, 15, 20 и 30 мин инкубации высвобождение составляло соответственню 25, 43, 51, 56 и 68%. Причем характерно, что, как и в случае спонтанного высвобождения, под действием КСІ наиболее высокая скорость процесса высвобождения [2-14С] дофамина из синаптосом отмечается в в начальные сроки инкубации.

Мы уже упоминали, что при аппликации никотинамидных нуклеотидов на полоски гладкомышечной ткани taenia coli морской свинки в нашей лаборатории были установлены сдвиги их электрической активности [12]. Было сделано предположение о возможном деполяризующем эффекте определенных концентраций NAD+ [13] на мембраны возбудимых клеток, опосредованном высвобождением некоторых нейромедиаторов в синаптическую щель. Правомочность подобного предположения проверяли, изучая действие NAD+ на высвобождение [2-14C] дофамина из предварительно обогащенных им синаптосом клеток головного мозга крыс.

Когда в инкубационную среду, содержащую обогащенные [2-14C] дофамином синаптосомы, вносили NAD+ в конечной концентрации 1,1 · 10-3 М высвобождение [2-14C] дофамина из синаптосом явно усиливалось. За 5, 10, 15, 20 и 30 мин действия NAD+ на высвобождение [2-14C] дофамина составляло 27, 41, 50, 57 и 70% соответственно (рис. 1, 3). Если скорость высвобождения [2-14C] дофамина из синаптосом при действии NAD+ сравнить с таковой, имеющей место при действии КСI, то можно убедиться в существовании параллелизма в действии этих деполяризующих факторов (рис. 1, 2, 3). Иными словами, каждый из них, вызывая деполяризацию мембраны, стимулирует практически одинаковую скорость высвобождения [2-14C] дофамина из синаптосом. Даже при условии сочетанного их действия эффекты двух этих факторов не суммируются (рис. 1, 4).

Представленные данные служат достаточным основанием для отнессения NAD+ к числу агентов, деполяризующих мембрану синаптосом и таким путем регулирующих скорость высвобождения непромедиаторов в синаптическую щель. Разумеется, подобный эффект NAD+ должен носить дозозависимый характер ,как на это указывают результаты электрофизиологических исследований, проведенных в нашей лаборатории [3, 4].

Сказанное подтверждается данными, приведенными на рис. 2: индущируемое действием NAD+ высвобождение [2-14C] дофамина из синаптосом наиболее выражено при концентрации никотинамидного динуклеотида, равной $1.1\cdot10^{-3}$ М, а при концентрации, равной $1\cdot10^{-10}$, $6\cdot10^{-6}$, $5\cdot10^{-5}$ М, стимулирующий высвобождение эффект отсутствует.

Вероятно, при этих концентрациях NAD^{*} вместо деполяризации мембраны происходит ее гиперполяризация, в результате чего высвобождение нейромедиатора в синаптическую щель подавляется. Подобное явление имело место при аппликации высоких концентраций NAD^{*} $(1.1\cdot10^{-5}-1\cdot10^{-3}~M)$ на гладкомышечные клетки taenia coli и мочевого пузыря морских свинок, когда наблюдаемая при концентрациях NAD^{*}, равных $1\cdot10^{-10}-1\cdot10^{-6}~M$, гиперполяризация мембраны сменялась существенной ее деполяризацией [3].

Полученные в настоящей работе данные наводят на мысль о том, что регулирующее высвобождение нейромедиаторов действие никотинамидного динуклеотида в клетках головного мозга крыс распространяется на дофамин и, вероятно, на другие медиаторы.

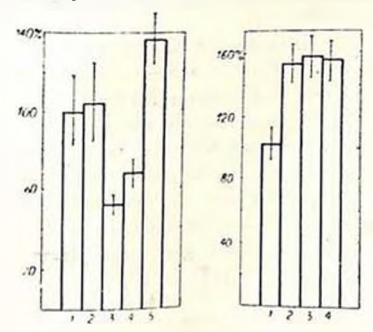


Рис. 2. Зависимость высвобождения [2-14С] дофамина из синаптосом головиого мозга 'крыс в % от концентрации NAD- в среде (каждая точка соответствует средиям дажным из 7 опытов). 1—спонтанное высвобождение: 2—10-10 М NAD+; 3—. 6.10-6 М NAD+; 4—.5.10-5 М NAD+; 5—.1,1.10-3 М NAD+ Рис. 3. Действие NAD+ на высвобождение: [2-14С] серотовина из синаптоссм головного мозга жрыс (в %). 1—спонтанное высвобождение: 2—90 мМ КСІ; 3—1,1 мМ NAD+; 4—1,1 мМ NAD+90 мМ КСІ; 4—1,1 мМ NAD+90 мМ КСІ;

В связи с этим, учитывая биогенетическую общность NAD+ и серотонина в тканях животных, в частности в головном мозгу, нами было изучено действие NAD- на эффективность высвобождения [2-14C] серотонина из синаптосом головного мозга крыс при соблюдении точно тех же условий опыта, что и при изучении высвобождения [2-14C] дофамина. Принимая во знимание, что наиболее высокая скорость высвобождения [2-14C] дофамина из синаптосом под влиянием NAD+ отмечалась через 10 мин после начала инкубации, опыты с [2-14C] серотонином были проведены при таком же отрезке времени.

Из данных, представленных на рис. 3, видно, что если при деполяризации мембраны синаптосом посредством КСІ (90 мМ) высвобожление [2-14C] серотонина увеличивается почти на 60% по сравнению соспоитанным процессом. то точно такой же эффективностью действия на высвобождение [2-14C] серотонина из синаптосом обладает и NAD+ (в конечной концентрации 1,1-10-3 М). Когда же в инкубационную средувносили одновременно КСІ (90 мМ) и NAD+ (1,1-10-3 М), высвобожление [2-12C] серотонина из синаптосом оставалось на том же уровне (57%), что и при раздельном добавлении указанных деполяризующих агентов.

Иными словами, по характеру действия на высвобождение [2-14C]дофамина и [2-14C] серотонина NAD+ напоминает КСІ—широко используемый деполяризующий агент. Отсюда следует, что установленное на-499 ми высокоспецифическое взаимодействие NAD+ с синаптической мембраной [1] в одинаковой мере стимулирует секрецию дофамина и серотонина, вероятно, подобно KCI вызывая деполяризацию мембраны.

Судя по тому, как действие NAD+ на высвобождение указанных нейромеднаторов противоположно направлено эффектам ATP, ADP, AMP, аденозина и аденина ,являющихся отрицательными модуляторами высвобождения AX, катехоламинов и дофамина из пресинаптических окончаний [13—15], можно утверждать действительное наличие на синаптической мембране специфического рецептора NAD+ [2], отличного по топографии и свойствам от известных пуриновых и аденозиновых рецепторов. Вероятно, это объясняется наличием в структуре NAD+, помимо аденозинового, еще и никотинамидмононуклеотидного фрагмента [16].

Известно, что в высвобождении нейромедиаторов важная роль принадлежит ионам кальция. Зависимость от Ca^{2+} —универсальная характеристика активного секреторного процесса как нейромедиаторов, так и гормонов. Фактором сопряжения деполяризации и высвобождения медиаторов является увеличение пассивного поступления Ca^{2+} внутрь нервного окончания. В опытах на гигантском аксоне кальмара с использованием внутриклеточно введенного флуоресцентного белка-маркера (экворина), реагирующего со свободным Ca^{2+} , показана хорошая корреляция между уровнем деполяризации, высвобождением медиатора и концентрацией накопленного в нервном скончании Ca^{2-} [17].

Высвобождение [2-11С] дефамина и [2-14С] серотонина (имп/мин/мг белка, 10 мин) из синаптосом головного мозга крыс под действием некоторых факторов (п=8)

Tab.uua

	Выскойождение		
Условия опыта	[2-14С] дофа-	[2-14C] серо-	
Спонтанное NAD+ (1,1 мМ) KCI (90 мМ) NAD+ (1,1 мМ) + KCI (90 мМ) NAD+ (1,1 мМ) + ЭГТА (3-4 мМ) KCI (90 мМ) + ЭГТА (3-4 мМ) NAD+ (1,1 мМ) + ВГТА (3-4 мМ) мил (1,7-10-4 мМ)	719±61 1051±68* 1006=63* 1011±48* 140±12* 114±10* 264±23* 644±57* 337±29*	995+99 1609+123* 1589+154* 1563+136* 348+33* 236+21* 409+36* 1080+64* 562+43*	

Примечание. $^{\circ}$ различия во всех случаях по отношению к соэтветствующему воздействию достоверны, 0.01 р = 0.001.

С целью выяснения вопроса о том, насколько вызваниме NAD+ деполяризация мембраны и стимуляция высвобождения [2-14C] дофамина и [2-14C] серотонина из синаптосом имеют отношение к Ca²⁺, мы провели серию опытов с использованием агентов, хелатирующих Ca²⁺ (ЭГТА) и препятствующих его транспорту внутрь синаптосом (верапамил).

Результаты этих экспериментов суммированы в таблице, из которой видио, что в среде, свободной от Ca^{2+} , то есть, когда весь Ca^{2+} был связан внесенным в среду ЭГТА (3—4 мМ), индуцированное КСІ высвобождение [2-14C] дофамина и [2-14C] серотонина уменьшалось соответственно на 91 и 86% по сравнению с контролем (действием КСІ в среде без ЭГТА). Примерно то же самое происходило и при действии NAD+ в бескальциевой среде, когда уменьшение высвобождения [2-14C] дофамина и [2-14C] серотонина составляло соответственно 87 и 79% по сравнению с имеющим место при действии NAD+ в среде без ЭГТА.

Уменьшение высвобождения обоих нейромедиаторов из синаптосом было обнаружено нами и при использовании верапамила—известного антагониста Ca²⁺. Так, при внесении в среду инкубации верапамила в концентрации 1,7·10⁻¹ М. высвобождение [2-¹⁴C] дофамина и [2-¹⁴C] серотонина тормозилось на 76 и 75% соответственно в случае деполяризации мембран КСl и на 75 и 62% соответственно при внесении в среду NAD+ в качестве деполяризующего агента. Когда же в среду одновременно вносили КСl, NAD+ и верапамил, высвобождение [2-¹⁴C] дофамина и [2-¹⁴C] серотонина из синаптосом составило 33 и 35% по сравнению с опытами, в которых среда содержала КСl и NAD+ одновременно.

Таким образом, при дюбой постановке эксперимента модулирующее мембрану синаптосом действие NAD+, так же как и в случае KCI, опосредовалось иснами кальция.

Совокупность представленных в настоящей работе данных позволяет заключить, что NAD+ вызывает деполяризацию мембран синаптосом, индуцируя усиление высвобождения дофамина и серотонина из нервных окончаний, и этот процесс опосредован наличием Ca²⁺. Следовательно, физиологическое значение взаимодействия NAD+ с синаптической мембраной заключается в его нейромодуляторных эффектах, посредством которых регулируются процессы высвобождения дофамина и серотонина из нервных окончаний.

Установленные различными авторами благоприятные терапевтические эффекты инкотинамида, никотиновой кислоты и их биологически активной формы—NAD при излечивании шизофрении, эпилепсии и психозов различной этислогии [5—7], вероятно, реализуются посредством изложенных в настоящем исследовании механизмов контроля за секрещией нейромедиаторов.

EFFECT OF NAD ON DOPAMINE AND 5-HYDROXYTRIPTAMINE RELEASE FROM RAT BRAIN SYNAPTOSOMES

KHALMURADOV A. G., KUCHMEROVSKAYA T. M., PARKHOMETS P. K.

A. V. Palladin Institute of Biochemistry, Ukrainian SSR Academy of Sciences, Kiev

The effect of NAD+ on the release of [2-11C] dopamine and [2-11C] service in from preliminarily enriched by these neurotransmitters rat

brain synaptosomes has been studied. It is demonstrated that NAD⁺ (10 min incubation, 1,1 mM) stimulates release from synaptosomes of [2-11°C] dopamine (for 38%) and [2-11°C] serotonin (for 61%) compared to the spontaneous release. The ability of NAD+ to stimulate release of these neurotransmitters from synaptosomes is similiar to the action of high concentration of KCl but simultaneous addition of NAD+ and KCl in the incubation mixture does not lead to the further increase in [2-11°C] dopamine and [2-11°C] serotonin release.

Effect of NAD+ on the release of [2-11C] dopamine depends on the dose of NAD+ and is much more pronounced when 1,1 NAD is used. Modulating effect of NAD+ on the synaptic membranes is realized only in the presense of Ca²⁺: in calcium-free media, as well as in the presence of verapamil, the stimulating effect of NAD+ on the release of dopamine and serotonin from synaptosomes is not observed.

The conclusion is made that neuromodulatory action of NAD+ on Ca2-dependent dopamine and serotonin release is realized by means of synaptic membrane depolarization.

AHTEPATYPA

- Халмуралов А. Г., Пархомен П. К., Кучмеровская Т. М., Чичковская Г. В. Биохимия, т. 48, вып. 8, с. 1287—1292, 1983.
- 2. Кучмеровская Т. М., Пархомец П. К., Чичковская Г. В., Халмуралов А. Г., Рожанская О. П. Нейрохимия, т. 4, № 4, с. 374—379, 1985.
- 3. Романсько А. В. Укр. бнохим, журн., т. 52, № 5, с. 624—627, 1980.
- Халмурадов А. Г., Романсько А. В., Шуба М. Ф. Укр. биохим. жури., т. 53, № 1, с. 79—82, 1981.
- Зылка Б. В.—В кн.: Неврология и психнатрия, с. 167—170, Киев, Наукова думка, 1971.
- Крыжанооский Г. Н., Шанара А. А., Макулькин Р. Ф., Лобасюк Б. А., Годлевский Л. С. Бюл, эксперим. 6иол. и мед., т. 90, № 7, с. 37—41, 1980.
- 7. Пантюхова О. Н. Жури, невропатол. и психнатрии, т. 56, № 4, с. 323—324, 1956.
- Abita J. P., Chicheportiche R., Schweitz H., Lazdunski M. Biochemistry, v. 16, № 9, p. 1838-1864, 1971.
- Lowry O. H., Rosebrough J. N., Farr A. L., Randall R. J. J. Biol. Chem., v. 193, № 1, p. 265-275, 1951.
- 10. Опвин И. А. Жури, патол. физиол. экспер. терап., т. 4, с. 76-85, 1960.
- Segawa T., Murakami H., Inouye A., Tanaka Y. J. Neurochem., v. 30, No 1, p. 175-180, 1978.
- 12. Романсико А. В. Автореферат канд лис., с. 21, Киев, 1981.
- 13. Hedvist P., Fredholm B. B. Arch. Pharm., v. 293, p. 217-223, 1976.
- Verhaeghe R. H., Vanhoutte P. M., Shepard J. T. Circulat Res., v. 40, p. 208-215, 1977.
- Michaelis Mary L., Michaelis E. K., Miers S. L. Life Sci., v. 24, No. 22, p. 2083—2092, 1979.
- Халмуралов А. Г., Кучмеровская Т. М., Пархомец П. К., Клименко А. П., Арутонян А. В., Мооссеян Н. О. Нейрохимия, т. 6, № 1, с. 133—138, 1987.
- 17. Dauglas W. W., Rubin R. P. J. Physial., v. 159, p. 40-57, 1961.



НЕЙРОХИМИЯ

т. 6, № 4, 1987

УДК 612.884:615.212

О РОЛИ ГАМК В ИЗМЕНЕНИИ БОЛЕВОЙ ЧУВСТВИТЕЛЬНОСТИ ПРИ ХРОНИЧЕСКОМ НОЦИЦЕПТИВНОМ ВОЗДЕЙСТВИИ

ИГНАТОВ Ю. Д., АНДРЕЕВ Б. В.

І Медицинский институт им. И. П. Павлова. Ленинград

Изучена взаимосвязь между изменением обмена ГАМК и болевой чувствительностью при хроническом ноцицептивном воздействии. Установлено, что при повреждечин седалишного нерва сначала происходит активация синтера и катаболизма ГАМК в коре больших полушарий, переднем мозгу и стволе, а загем угистение инактивации ГАМК и повышение ее уровия в структурах межуточного мозга. Усиление ГАМК-ергических процессов сопровеждалось синжением болевой чувствительности в тесте отдергивания хвоста, но не в тесте вокализации. Бинукуллин и пикротоксии полностью устраняли проявления гипоальгезии, возникающей через 1 месяц после повреждения седалищного нерва. В эти же сроки достоверно возрастал болутоляющий эффект депакина и ТНІР°, а действие баклофена не изменялось. Через 2 месяца ГАМК-негативные препараты не сказывали влияния на проявления гипоальгезии. тогда как эффект депакина и THIP существенно синжался. В то же воемя анальгезия, вызываемая баклофеном, усиливала в Предполагается, что снижение болевой чувствительности при длительном ноцицентивном воздействии обусловлено вовлечеинем ГАМК-ергических механизмов, причем в зависимости от длительности поцицептивной стимуляции реализация этого процесса осуществляется через различные типы ГАМК-рецепторов.

В последние годы установлено, что при ноцицептивном воздействии происходит активация процессов ГАМК-ергической передачи, которая рассматривается как одна из адаптивных реакций организма, направленных на поддержание нейрохимического и энергетического гомеостаза в ЦНС [1, 2]. ГАМК-ергические механизмы, по-видимому, имеют определенное значение и в модуляции активности антиноцицептивных систем, поскольку ГАМК-негативные препараты уменьшают выраженность анальгезии, возникающей при стимуляции центрального серого вещества среднего мозга и при стрессе [3]. Однако все эти данные получены в условиях кратковременного ноцицептивного раздражения. При длительной ноцицептивной стимуляции характер и направленность нейроменной нейроменность не

диаторной перестройки, а также нейрохимическое обеспечение антиноцицептивных систем имеют определенные различия [4]. Подобная закономерность установлена ,в частности, для опиоидергических процессов [5, 6]. Поэтому целью настоящей работы явилось изучение обмена ГАМК при хроническом ноцицептивном воздействии и выявление возможной взаимосвязи между изменением активности процессов Г.АМК-ергической передачи и показателями болевой чувствительности.

Материалы и методы

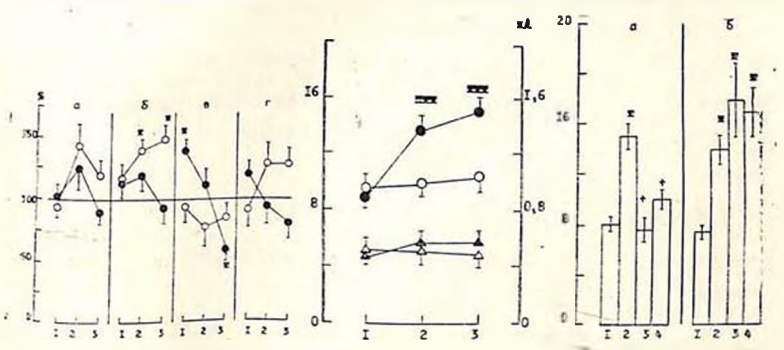
Опыты были выполнены на белых крысах-самцах массой 180— 230 г. содержащихся в режиме свободного доступа к пище и воде. Ноцицептивное воздействие вызывали путем повреждения седалищного нерва [7]. У крыс под нембуталовым наркозом (45 мг/кг) в средней части бедра выделяли седалищный нерв, на который накладывали полихлорвиниловую трубку с диаметром, меньшим диаметра нерва на 1 мм. С помощью нихромовой проволоки нерв ущемляли на протяжении 5 мм и подшивали к мышпам бедра. У всех животных за день до операции и затем еженедельно на протяжении двух месяцев определяли болевуючувствительность с помощью тестов отдергивания хвоста (tail-flick) и вокализации [8, 9]. Часть животных (по 15 комс в каждой подгруппе) через 1 и 2 месяца после повреждения седалищного нерва декапитировали и выделяли кору больших полушарий, передний, межуточный и продолговатый мозг. Уровень ГАМК, активность глутаматдекарбоксилазы (ГДК) и ГАМК-трансаминазы (ГАМК-Т) оценивали с помощью обшепринятых бисхимических методов [10, 11]. В другой группе животных (п=60) в эти же сроки исследовали влияние ГАМК-негативных (бикукуллин, пикротоксия) и ГАМК-позитивных (баклофен, депакии, ТНІР) препаратов на болевую чувствительность. Все вещества вводили внутрибрюшинно: бикукуллин («Sigma», США)-1,5 мг/кг за 7 мин, пикротоксии («Sigma», США)—1.75 мг/кг за 20 мин, депакии («Labaz», Франция)-400 мг/кг за 30 мин, ТНІР (любезно предоставлен проф. P. Krogsgaard-Larsen, Дания) - 10 мг/кг и баклофен («Ciba-Geigy», Швейцария) - 7,5 мг кг за 60 мин до опыта.

Все исследуемые показатели оценивали в одно и то же время суток: с 10 до 11 ч. Контролем служили ложно оперированные животные. Статистическую обработку осуществляли с помощью методов параметрической и непараметрической статистики.

Результаты исследований

Через 1 месяц после повреждения седалищного нерва наблюдалиотчетливое повышение активности ГДК и ГАМК-Т в коре больших полушарий, переднем мозгу и стволовых структурах в среднем до 44% и 44,5% (рис. 1). Содержание ГАМК в этих структурах практическине изменялось. При увеличении продолжительности опыта до 2-х месяцев изменения активности ГДК и ГАМК-Т в большинстве образований мозга были менее отчетливыми (рис. 1). В то же время в межуточном мозгу отмечено достоверное снижение активности ГАМК-Т и повышение уровня ГАМК, тогда как активность ГДК существенно не изменялась.

Длительное ноцицептивное воздействие приводило к достоверному увеличению латентного периода болевой реакции в тесте tail-flick в среднем на 50% через 1 месяц и на 64% через 2 месяца после операции, тогда как в тесте вокализации показатели болевой чувствительности существенно не изменялись на всем протяжении опыта (рис. 2). Бикукуллии и пикротоксин восстанавливали латентный период отдергивания хвоста до исходных величин. Одиако при увеличении длительно-



 $\rho_{\rm HC}$. Л. Наменение обмена ГАМК в коре больших полушарий (а), переднем мозгу (б), межуточном мозгу (в) и стволе (г) при хромическом полицептивном возлействии. По оси ординат: изменение содержания ГАМК, жтивности ГДК и ГАМК-Т в % от контрольного уровия. I—ГАМК, 2—ГДК, 3—ГАМК-Т через 1 месяц после повреждения седалищного обмена ГАМК через 2 месяца после операции: (©), р<0.05

Рис. 2. Наменение показателей болевой чувствительности при хроническом ноцицептивном воэдействии. По левой оси ординат—латентиый период болевой реакции (с) в тесте отдергивания квоста; по правой оси ординат—пороги возникновения вокализации при влектросмимуляции кория квоста в мА). О —контроль. ■ —опыт (латентный период отдергивания квоста в мА). Д—контроль, ▲ —опыт (пороги возникновения вокализации). По оси ибециес: 1—исходиые показатели болевой чувствительности. 2, 3—их изменение через 1 и 2 месяца после повреждения седалищного нерва соот-

Рыс 3. Вамяние бикукуалина и пикротоксина на проявления гипоальгении мерез 1 месяц (4) и 2 месяца (6) после повреждения седалищиого серва. По оси ординат: датентный период отдергивания хвоста (с). 1—месиодные с псказатели болевой мувствительности дерез и 2 месяца после повреждения седалищиого нериа, 3—бикукуалия (1,5 мг/кг), 4—иикротоксии (1,75 мг/кг), р<0,001 (по сравнению с псходным уровнем), тр<0,001 (по сравнению с опытной группой).

ветственно. *** р<0,001

сти эксперимента до 2-х месяцев эти препараты не обладали таким действием и даже несколько увеличивали время болевого реагирования в тесте tail-flick (рис. 3).

Болеутоляющее действие баклофена через 1 месяц после повреждения седалищного нерва было сопоставимо с его эффектом в контрольной группе, а анальгезия, вызываемая в эти же сроки депакином и ТНІР, достоверно увеличивалась (таблица). Однако это наблюдалось

Влияние ГАМК-позитивных препаратов на боленую чувствительность в различные сроки после повреждения седалищного перво

Условия экспери-	Аэтентный период отдерги- вания хвоста (с)		Порог вохализации (мА)			
мента	исходиый	после препа- рата	%	неходный	после препарата	%
	Ба	акл <mark>оф</mark> ен—	-7,5 мг/кг			
Контроль	14.2±0,7	9,6±2,5	138*	0,38±0,09	0,58+0,06	153***
операции перез 1 месяц после	15.0±0.81	9,8+0,8	132°	0.54+0,03	0,82+0.02	152***
Через 2 месяца после операции	15.7±1,12	9,7±0,3	189***	0,50±0.06	1,05±0,05	210***
	A	епакин-	400 MF/RF		4	
Контроль Через 1 месяц после	13.9±1.12	3.6±2.4	170**	0,50±0.03	0,74±0.05	148***
операции Через 2 месяца посм	16,3±0,6	27.0±1.4	166""	0.53±0,06	0.01 +0.11	190***
операции	15.7±1,3	16.8±1,6	107**	0.54±0.02	1,65±0,04	120***
	1	HIP-10	мг/кг			
Контроль	14,0±1,0	25.2±2,3	180**	0.43+0.03	0,70+0,05	1634*
Черта 1 месяц после операция	114.3 ± 0.5	29,6±0.3	207***	0.47+0.03	1,00±0.08	213"
Через 2 месяца посл операции	13,4±0,9	16,3±1.:	122.	0,45±0,05	0.67±0,07	149***

Примечание. Интенсивность термического воздействия у контрольных животных снижали таким образом; чтобы латентный период отдергивания хвоста в опытной и контрольной еруппах существенно не отличался. " $\rho < 0.05$; "° $\rho < 0.01$; "° $\rho < 0.01$ (по сравнению с исходным уровнем); τ $\rho < 0.05$; τ $\rho < 0.01$; " $\rho < 0.001$ (по сравнению с контрольной группой; критерий 1-Стьюдента).

только в тесте вокализации, но не в тесте tail-flick. Введение баклофена через 2 месяца после начала опыта приводило к усилению его болеутоляющего эффекта. Причем в тесте tail-flick латентный период болевой реакции возрастал у большинства животных до 30 с, то есть до максимальной величины. В то же время болеутоляющее действие депакина и ТНІР у крыс с повреждением седалищного нерва было достоверно ниже, чем у контрольных животных (таблица).

Обсуждение результатов

Предполагается, что повреждение периферических нервных стволов у животных приводит к возникновению болевого синдрома, идентичного хроническому болевому синдрому у человека [12, 13]. Однако подобная точка зрения разделяется не всеми авторами [14]. Сопоставление результатов этих экспериментов с данными, полученными ранесе [1, 3], свидетельствует, что ущемление седалищного нерва, как и другие виды болевого раздражения (электрическое, механическое, химическое), вызывает изменение обмена ГАМК и болевой чувствительности. Более того, как при кратковременной болевой стимуляции, так и при повреждении седалищного нерва происходят принципиально однотипные сдвиги метаболизма. ГАМК, проявляющиеся сначала активацией ее синтеза катаболизма, а затем—угнетением ферментативной инактивации и позышением уровня ГАМК. что, как известно, сопровождается увеличением активности процессов ГАМК-ергической передачи [15, 16].

Поскольку одним из факторов, способствующих возникновению хронического болевого синдрома, является недостаточность тормозных механизмов [17, 18], то усиление тормозных ГАМК-ергических процессов как на начальных, так и на последующих этапах болевого воздействия может иметь существенное значение в угнетении ноцицептивной импульсации [17]. По-видимому, этот эффект ГАМК обусловлен всзлечением процессов ГАМК-ергической передачи в деятельность ант 1нопицептивных систем, следствием чего и является возникновение гипоальгезии. Правомочность такого предположения подтверждается нашими экспериментами, а также данными других авторов [5] о способности ГАМК-негативных препаратов ослаблять, а ГАМК-позитивных веществ-усиливать гипоальгезию. В пользу этого свидетельствует и то обстоятельство, что дополнительная активация процессов ГАМК-ергической передачи при введении баклофена, депакина и ТНІР способствовала усилению эндогенных антиноцицептивных влияний, ориентированных на подавление не только перцептивных (тест tail-flick), но и аффективных (тест вокализации) проявлений боли, которые, как известно. не изменяются или даже усиливаются при хроническом ноцицептивном воздействии [19, 20].

Как следует из представленных данных, способность ГАМК-ергических веществ модулировать болевую чувствительность на фоне хронической ноцицептивной стимуляции существенно зависела от длительности воздействия, а также от их влияния на ГАМК или ГАКМ_В -рецепторы. Эти факты, по нашему мнению, могут свидетельствовать о том, что на различных этапах адаптационной перестройки к хроническому болевому воздействию участие отдельных подтипов ГАМК-рецепторов в подавлении боли, а следовательно, и в деятельнусти антиноцицептивных систем неоднозначно. Действительно, бикукулини и пикротоксин, антагонисты исключительно ГАМК -рецепторов [21, 22], устраняли гипоальгезию только через 1 месяц после повреж-

дения седалищного нерва. В эти же сроки депакин и ТНІР: болеутоляющий эффект которых, как предполагается, реализуется через ГАМК д (депакин) или через оба типа (ТНІР) ГАМК 1 рецепторов [3, 23], вызывади более сильную анальгезию. В то же время усиление действия селективного агониста ГАМК 5 - рецепторов баклофена [22] возникало только через 2 месяца после начала болевого воздействия. Весьма вероятно, что одним из факторов, способствующих изменению эффекта ГАМК-ергических препаратов, является возникновение разномодальных сдвигов функциональной активности ГАМК-рецепторов. Правомочность такого заключения подтверждается данными, свидетельствующими о принципиальной возможности разнонаправленного изменения плотности ГАМК д - и ГАМК в -рецепторов при длительной ноциментивной стимуляции [24]. Установлено также, что колебания уровня глюкокортикондов. возникающие в различные периоды хронического болевого синдрома [19], могут приводить как к увеличению, так и к снижению аффинности ГАМК д -рецепторов [25].

GABA PARTICIPATION IN MODULATION OF PAIN SENSITIVITY UNDER THE CONDITIONS OF PROLONGED NOCICEPTIVE INFLUENCES

IGNATOV Yu. D., ANDREEV B. V.

I. P. Pavlov First Leningrad Medical Institute

Correlation between GABA-synthesis, GABA-catabolism and sensitivity to pain was studied under the conditions of prolonged nociceptive influences. Activation of GABA synthesis and GABA catabolism in the cortex, forebrain and brain stem was the first step of GABAsystem reaction on N. ishiadicus alteration and the second step is inhibition of GABA inactivation (increase of GABA level) in mesencephalon. Increase in GABA ergic processes correlates with decrease in pain sensitivity in tail-flick test, but not in vocalisation test. Bicuculline and picrotoxine abolished hypoalgesia produced by alteration of N. ishiadicus (I month after operation). At the same time analgesic effect of depakin and THIP was increased. GABA-negative drugs have no effects on hypoalgesia 2 months after operation, but depakin and THIP effects significantly decreased. Analgesia produced by baklophen was increased. It was considered, that inhibition of pain sensitivity under the conditions of prolonged nociceptive influences is produced by positive GABA-ergic mechanisms. Multiple GABA-ergic receptors are involved in different steps of prolonged nociceptive stimulation.

АНТЕРАТУРА

1. Месерсон Ф. З. Адаптация, стресс и профилактика, М., Наука, 1981.

 Изнатов Ю. Д., Анаросы Б. В.—В ки.: Нейрофармакологические эспекты боли (под ред. Ю. Д. Игнатова), с. 61—81, А., 1 АМИ, 1982.

- 3. Изнатов Ю. Д., Анарсев Б. В., Сытинский И. А. Успехи соврем. 6иол., т. 99, с. 22—37, 1985.
- Abbott F. M., Mclzack R., Samuel Ch. Exper. Neurology, v. 75, p. 664-651, 1982.
- 5. Lewis J. W., Cannon J. T., Liebeskind J. C. Science, v. 208, p. 623-625. 1980.
- 6. Lewis J. M., Sherman J. E. Liebeskind J. C. J. Neurosci., v. 1, p. 358-353, 1981.
- 7. Кривцов В. В. Автореф. кана. анс., Благовещенск, 1961.
- 8. Orgen S. O., Holm A. C. J. Neural Transmission, v. 47, p. 253-271, 1980.
- Анарсса Б. В., Васильсв Ю. Н., Косинский В. П., Марусов И. Б.—В ки.: Нейрофармакологические аспекты эмоционального стресса и лекарственной зависимости (под ред. А. В. Вальдмана), с. 38—48, А., 1 АМН, 1978.
- 10. Sutton I., Simmonds M. A. Biochem. Pharmacol., v. 23, p. 1801-1808, 1974.
- 11. Lowe I. P., Robins E., Eyerman G. S. j. Neurochem. v. 3, p. 8-18, 1958.
- 12. Levitt M., Hevbuch J. P. Pain, v. 10, p. 67-73, 1983.
- 13. Wiesenfeld Z., Hallin R. G. Pain, v. 16, p. 145-153, 1933.
- 14. Rodin B. E., Kruger L. Brain Res., v. 7, p. 213-218, 1981.
- 15. Tapia R. Front. Hormone Res., v. 6, p. 86-103, 1980.
- Krogsgaard-Larsen P. J. Med. Chemistry. v. 24, p. 1377-1383, 1981.
- 17. Крыжановский Г. Н. Вестн. АМН СССР, № 9. с. 33-37. 1980.
- 18. Смолин Л. Н. Автореф. докт. дис., М., 1981.
- 19. Гуляев Г. В. Вести. АМН СССР, № 9, с. 67-69, 1980.
- Лебедева М. Н. Тезисы докл. Всесоюзи. конф. «Фармакологические аспекты обезболипания», с. 133, Л., 1983.
- 21. Olsen R. W. Annu. Rev. Pharmacol. Toxicol., v. 22, p. 247-277, 1982.
- Bowery N. G., Price G. W., Hudson A. L., Hill D. R., Wilkin G. P., Turn-bull M. J. Neuropharmacology, v. 23, p. 219-231, 1984.
- Hill R. C., Maurer R., Buescher H. H., Roemer D. Eur. J. Pharmacol., v. 69, p. 221-224, 1981.
- Макарова Е. П., Андреев Б. В.—В кн.: Нейрофармакологическая регуляция болевой чувствительности (под ред. Ю. Д. Игнатова), с. 80—89, А., 1 АМИ 1984.
- Majewska M. D., Bisserbe J. C., Eskay R. L. Brain Res., v. 33 9, p. 178-182, 1985.

Поступила 14. III 1987

HEŪDOXUMUN



т. 6, № 4, 1987

УДК 577.17

ВЛИЯНИЕ ОСТРОГО СТРЕССОРНОГО ВОЗДЕЙСТВИЯ НА ПОВЕДЕНИЕ И НЕКОТОРЫЕ БИОХИМИЧЕСКИЕ ПОКАЗАТЕЛИ У МЫШЕЙ ИНБРЕДНЫХ ЛИНИЙ С57BL/6 и DBA/2 С РАЗЛИЧНЫМ ПОТРЕБЛЕНИЕМ АЛКОГОЛЯ В УСЛОВИЯХ СВОБОДНОГО ВЫБОРА

ГАМАЛЕЯ Н. Б., ВЕКШИНА Н. Л., ШУМАРГЛОВ Н. Н. ВНИИ общей и судебной психнатрии им. В. П. Сербского, Москва

У мышей линии С57ВL/6 и DBA/2 с различным генетически закрепленным стношением к алкоголю выявлена неодинаковая реакция на 60-минутног электроболевораздражение дан электрическим током частотой 50 Гц. напряжением 10 В. прерывающимся каждую мин. Мыши липии DBA/2 (отвергающие этанол) хорошо адаптировались к стрессорному воздействию, что проявлялось дучшей выживаемостью, меньшим количеством прыжков и менее выраженной реакцией писка, чем у мышей лиини C57BL/6, предпочитающих этапол. Мыши линии DBA/2 карактеризовались в обычных условиях существенно более пысоким Урошнем адреналина и надиочечниках и серотонина в крови, чем мыши линии С57ВЦ/6. При электроболевом раздражении у мышей липии DBA/2 отмечено выраженное повышение уровня дефамина в мозгу и крови, снижение уровия серстонина в крови и адреналния в надиочечниках. Свойства серотониновых рецепторов в моэгу животных изучаемых линий существенно не отамчались в норме и не менялись под ванянием стрессорного воздействия. Аналогич ные результаты получены при изучении уровня эндогенного этакола. Сделано заключение об относительно большей устойчивости мышей линии DEA/2 по сравнению с мышами линии С57ВL/6 к кратковременному стрессорному поздействию, и основе которой может лежать ряд выявленных особенностей обмена биогенных аминов в мозгу и на периферии характеризующих эти линии мышей.

К настоящему времени накоплено много данных в пользу существования генетической предрасположенности к развитию алкоголизма. Одним из доказательств является существование стабильных линий лабораторных животных (мышей и крыс), предпочитающих в условиях свебодного выбора раствор этанола или воду. Примером таких животных являются в частности, мыши линий С57BL/6 и DBA/2, предпочитающие или отвергающие алкоголь соответственно [1], а также крысы линий АА (предпочитающие алкоголь) и АNЛ (отвергающие алкоголь). селехционированные по алкогольному предпочтению из родоначальной линин Long Evans [2]. Изучение биологических особенностей животных, предпочитающих алкоголь, в сравнении с животными, отвергаю-

шими этанол, является одним из путей решения проблемы предрасположенности к развитию алкоголизма, что имеет важное значение для разработки комплексных мер профилактики. В связи с наличием убедительных данных о значительной роли стресса в развитии алкоголизма у людей [3] представляет интерес определение чувствительности к воздействию стрессорных факторов лабораторных животных с генетически закрепленными различиями в характере алкогольной мотивации и выявление возможных биологических коррелятов. Целью настоящей работы явилось изучение влияния острого стрессорного воздействия на поведение и некоторые биохимические показатели у мышей инбредных линий C57BL/6 и DBA/2.

Матерналы и методы

Эксперименты проводили на мышах-самцах линий C57BL/6 и DBA/2 массой 18—20 г. Моделью острого стрессорного воздействия явилось электроболевое раздражение лап в камере с полом из металлических прутьев, на которые подавали переменный ток с частотой 50 Гц и напряжением 10 В. Каждую секунду ток прерывали с помощью прерывателя. Продолжительность стрессорного воздействия составляла 60 мин.

У мышей определяли уровни дофамина (ДА), норадреналина (НА) и серотонина (5-ОТ) в целом моэгу, уровни адреналина (А), НА и ДА в надпочечниках и уровни ДА и 5-ОТ в цельной крови. Биогенные амины определяли спектрофлуорометрическим методом [4]. В целом моэгу определяли также состояние серотониновых рецепторов методом радиорецепторного связывания [5] с использованием [3H]-5-ОТ (У. А. 14.4 Ки/ммоль) в концентрациях от 0,5 до 1 пмоль и немеченого 5-ОТ в концентрации 10 мкмоль, в крови мышей—уровень эндогенного этанола методом газовой хроматографии [6].

Статистическую обработку проводили по t-критерию Стьюдента. о корреляционной связи судили по коэффициенту корреляции г.

Результаты исследования

Для определения уровня потребления алкоголя мышей помещали на 14 дней в индивидуальные клетки со свободным доступом к сухому корму и градупрованным поилкам с водой и 10%-ным раствором этанола. Показатели первых трех дней не учитывали. У мышей линии С57BL/6 среднесуточное потребление 10% этанола составляло 110 ± 4 мл/кг (54-65% от всего объема выпитой жидкости), а у мышей линии DBA/2— $20,0\pm 2,0$ мл/кг (7,1-9,5% от всего объема выпитой жидкости), что соответствует литературным данным [7].

Изучение поведения мышей при наиссении электроболевого раздражения выявило следующие особенности. Мыши линни DBA/2 лучше адаптировались к электроболевому раздражению лап, их поведение было более спокойным, они меньше прыгали и пищали. Подсчет числа прыжков в первые 5 мин электрического раздражения выявил значи-

мые различия: у мышей линии DBA/2 количество прыжков составило 6.8±3.3, а у мышей линии C57BL/6—56.8±6.9 (различие достоверно, р<0.001). В процессе стрессорного воздействия некоторые мыши C57BL/6 погибали. Сравнение общей двигательной активности мышей этих линий до воздействия стресса не выявило различий. Пороги электроболевой чувствительности, о которых судили по появлению писка и прыжков, у мышей указанных линий были сходными.

Таблица 1
Биохимические огобенности линий мышей, предпочитающих или отвергающих алкоголь в уславиях свободного выбора (фоновые ноказатели)

Анния Ткань (ед. измерения)	кань C 57 BL 6 (n=12)		DBA 2 (n=l4)			
Мозг (иг г) Надпочечники (иг мг) Кропь (иг мл)	AA 235±25 A 454±54 AA 213±17	HA 292+42 HA 247+34 5-OT 2062+171 (p<0,01)	5-OT 674±31 AA 5.60±2.20 AA.5-OT 0.11±0.02	AA 181±20 A 601±47 (p<0,05) AA 235±26	HA 275±12 HA 231±29 5-OT 1361±122	5-OT 634+31 AA 6,80+2.50 0,20+0,03 (p<0,05)

Примечание: Здесь и в таба. 2 статистическую обработку проводили по 1-критерию Стьюдента (двусторонняя критическая область). Сравнение показателей (р) проведено между группами исследованных линий мышей. А—адреналии. ДА—дофамии, Н.А—корадраналии, 5-ОТ—теротонии.

Таблица Висхимические особенности линий мышей, предпочитающих или отпергающих алхоголь в условиях свободного выбора, после стрессорного воздействия.

Ткань (сд. измерения) С 57 BL 6 (n=18)		DBA/2 (n 20)				
Мозг (иг/г) Но диочечники (иг/мг) Кровь (иг/мл)	AA 317±36 A39±21 AA 202±25	HA 278±17 HA 234±16 5-OT 1519±285	5-OT 681±33 AA 13.6±3.0 AA 5-OT 0.17±0,04	AA 252±16 A 381±43 AA 442±89 (p<∪,∪5)	HA 238±36 HA 180±21 5-OT 982±115	5-OT 686+24 AA 10,1+3,3 AA:5-OT 0,37+0,06 (p<0,05)

Базальное значение исследованных нейрохимических параметров у мышей представлены в табл. 1, а соответствующие показатели после стрессорного воздействия в табл. 2. Как видно из таблиц, отличительной особенностью мышей линии С57ВL/6, предпочитающих этанол в условиях свободного выбора, является более низкий уровень А в надпочечниках и более высокий уровень 5-ОТ в крови, чем у мышей DBA/2, отвергающих этанол. В ответ на электроболевое раздражение дап у мышей обеих линий отмечены однонаправленные изменения уровней биогенных аминов в целом мозгу, при этом у мышей линии DBA/2 повышение уровня ДА достигало статистической значимости (р<0,01), а стрессорное воздействие вызывало выраженное (на 37%) снижение уровия А в надпочечниках (р<0,01) до уровия, близкого к таковому

у мышей линии C57BL/6, и более вначительное, хотя и не достигающее статистической достоверности, снижение уровня HA в надпочечниках. В крови у мышей линии DBA/2 стресс вызывал достоверное повышение уровня $\mathcal{J}A$ (p<0.05) и снижение уровня 5-ОТ (p<0.05), что определило и существенное повышение показателя $\mathcal{J}A$ /5-ОТ (p<0.05), характеризующего баланс между $\mathcal{J}A$ - и 5-ОТ-ергической системами.

При исследовании свойств серотониновых рецепторов в целом мозгу мышей были выявлены некоторые различия в сродстве рецепторов к 5-ОТ и в уровне общего специфического связывания, не достигавшие, однако, уровня статистической значимости. У мышей C57BL/6 базальные значения K_d составили 3.5 ± 0.7 пмоль, тогда как у мышей DBA/2— 2.5 ± 0.5 пмоль. После стрессорного воздействия эти значения составили 4.3 ± 0.5 и 5.0 ± 0.6 пмоль соответственно. B_{max} (в фмоль/мг белка) у мышей C57BL/6 составляла 222.0 ± 51.0 до стресса и 198.2 ± 46.5 после стресса, а у мышей DBA/2 152.55 ± 20.0 и 218.0 ± 25.6 соответственно.

Определение уровня эндогенного этанола у одних и тех же животных до и после стрессорного воздействия не позволило выявить статистически значимых различий. Средний уровень эндогенного этанола у мышей линии C57BL/6 составил $31.9 \cdot 10^{-4} \pm 1.6 \cdot 10^{-4} \%$ до стресса, а у мышей линии DBA/2—32.8 · $10^{-4} \pm 2.5 \cdot 10^{-4} \%$. После стресса соответствующие эначения были равны $34.8 \cdot 10^{-4} \pm 4.0 \cdot 10^{-4} \%$ и $31.7 \cdot 10^{-4} \pm 2.3 \cdot 10^{-4} \%$.

Обсуждение результатов

Из данных литературы известно, что инбредные линии мышей C57BL/6 и DBA/2 характеризуются рядом биологических особенностей. Одним из отличительных признаков является характер алкогольной мотивации, которому соответствует различная скорость метаболизма этанола и ацетальдегида. Мыши линии C57BL/6 предпочитают этанол в условиях свободного выбора и характеризуются высокой активностью альдегид, и алкогольдегидрогеназ по сравнению с мышами линии DBA/2 [1]. В работе Но и соавт. [8] выявлена еще одна отличительная особенность мышей линии C57BL/6: существенно более высокий уровень АХ в целом мозгу и более низкая активность АХЭ по сравнению с мышами линии DBA/2. Авторам не удалось обнаружить существенных различий у мышей обеих линий по таким нейрохимическим показателям. Как уровни ДА. НА и 5-ОТ в целом мозгу, а также интенсивность захвата [3H]НА и [3H]ДА гомогенатами целого мозга.

В проведенном исследовании мы также не выявили эначимых различий в уровнях биогенных аминов при исследовании целого мозга мышей тех же линий. Однако Ходорова и соавт. [9] установили значимые различия в уровнях 5-ОТ и НА в отдельных областях мозга мышей линии С57ВL/6 и СВА (с низкой алкогольной мотивацией). Полученные нами результаты о высоком уровне А в надпочечниках у мышей линии DBA/2 совпали с данными Ciranello и соавт. [10], ко-

торые отмечали высокую концентрацию А и НА в надпочечниках у мышей этой линии.

Примененная в работе модель острого стрессорного воздействия позволила выявить некоторые различия в поведении мышей линии C57BL/6 и DBA/2. Кратковременное воздействие электрического тока вызывало более выраженные биохимические изменения у мышей линии DBA/2, физиологическое состояние которых в процессе воздействия стресса нарушалось в меньшей степени. У мышей обеих линий был отмечен подъем уровия ДА в целом мозгу, достигший у мышей линии DBA/2 уровия статистической значимости (р<0,01). В литературе мы также находим сведения о том, что кратковременное стрессорное воздействие (иммобилизационный стресс в течение 35 мии) способствовало ускорению синтеза ДА в мезолимбических дофаминовых нейронах у крыс [11], тогда как более длительное и сильное воздействие (иммобилизационный стресс в сочетания с раздражением электрическим током в течение 3 ч) вызывало синжение уровия ДА и НА в среднем мозгу и гипоталамусе крыс [12].

У мышей линии DBA/2 с низкой алкогольной мотивацией стрессорное воздействие вызывало выраженное снижение уровия A (в 1,57 раза, р<0.01) в надпочечниках и существенное повышение (в 1,85 раза, р<0,05) показателя ДА/5-ОТ в крови, связанное как со снижением уровия 5-ОТ, так и с повышением уровия ДА и свидстельствующее о преобладании в крови катехоламинергической активности. У мышей линии C57BL/6 стресс не вызывал существенного изменения исследованных биохимических параметров.

Интересно отметить, что между степенью предпочтения атанола и уровнем ДА в крови мышей после стресса была выявлена существенная отрицательная корреляция (r=-0.44, p<0.05), а между степенью предпочтения этанола и концентрацией 5-ОТ в крови после стресса—положительная корреляция (r=0.392), приближающаяся к уровню статистической достоверности.

В связи с существующей гипотезой, согласно которой важным фактором формирования алкогольной мотивации является низкий уровень эндогенного этанола и повышенная скорость элиминации этанола [13], у мышей линии С57ВL/6 и DBA/2 было проведено определение эндогенного этанола. Нам, однако, не удалось выявить эначимых различий в этом показателе между изучаемыми линиями мышей, хотя Холорова и соавт. [9] отметили повышение у мышей линии С57ВL/6 скороста алиминации тест-дозы этанола из кровяюто русла, тогда как у мышей линии DBA/2 (с низкой алкогольной мотивацией) скорость элиминации этанола из крови была спижена. В нашем исследовании уровень эндогенного этанола в крови мышей после воздействия электроболевого раздражения практически не изменился, так что этот показатель является менее чувствительным, чем уровень биогенных аминов.

Полученные нами данные об относительно большей устойчивости мышей линии DBA/2, отвергающих алкоголь в условиях свободного-

выбора, к кратковременному стрессорному воздействию (электроболевое раздражение лап) и соответственно большей чувствительности мышей линии С57ВL/6 можно сопоставить с данными, представленными в работе Бурова [14] о высокой конкурентоспособности в борьбе за биологически эначимые цели у крыс, потребляющих малые количества алкоголя, а также с данными об увеличении у крыс с исходно высокой алкогольной мотивацией периферического и центрального пула β-эндорфина как показателя стрессорной готовности этой группы животных [15].

На основании проведенных нами исследований можно прийти к выводу, что мыши линий DBA/2 и C57BL/6 наряду с выраженными отличиями в потреблении алкоголя в условиях свободного выбора поразному реагируют на электроболевое раздражение дап, что может быть связано с рядом биологических особенностей, в том числе с базальным уровнем А в надпочечниках и его изменением под влиянием стресса, а также с характером изменения в результате воздействия электроболевого раздражения уровней ДА и 5-ОТ в крови. Нельзя исключить, конечно, и роли других факторов, не исследованных в данной работе, в частности, состояния эндогенной опнатной системы и др. Проведенные нами исследования подтверждают значение генетически детерминированных биодогических особенностей дабораторных животных в обеспечении их устойчивости к стрессорным воздействиям. На возможность генетического контроля реакции катеходаминов плазмы (А. НА) в ответ на воздействие иммобилизационного стресса, а также влияния этанола на характер этой реакции у крыс указали Vogel и Deturck [16]. Для более определенных выводов о причинно-следственных связях между потреблением алкоголя в условиях свободного выбора и характером реакции на стрессорное воздействие, а также рядом нейрохимических особенностей необходимо проведение сравнения линии мышей С57ВL/6 также с другими линиями мышей, отвергающих этанол (например, СВА).

THE INFLUENCE OF ACUTE STRESS ON BEHAVIOR AND SOME BIOCHEMICAL PARAMETERS IN INBRED LINES OF MICE C57 BL/6 AND DBA/2 WITH DIFFERENT FREE CHOICE ** ALCOHOL CONSUMPTION

GAMALEYA N. B., VEKSHINA N. L., SHUMAYLOV I. N. All-Union Institute of General and Forensic Psychiatry, Moscow

Different reaction to acute stress (electric footshock produced by alternating current, 50 Hz, 10 v, interrupted every second, lasting for 60 minutes) was observed in two inbred lines of mice C57 BL/6 and DBA/2 with different genetically determined attitude to alcohol. The DBA/2 mice (rejecting alcohol) adapted well to stress, which was manifested by better survival, fewer jumps and weaker peeping reaction,

than in C57 BL 6 mice (prefering alcohol). The LEA/2 mice were characterized by higher basal levels of epinephrine in adrenals as well as higher levels of serotonin in blood in comparison with the C57 BL/6 mice. In the DBA 2 mice the electric footshock produced a pronounced increase in dopamin levels in the whole brain and blood, a decrease in serotonin levels in blood and epinephrine levels in adrenals. The properties of serotoninergic receptors, in brains of mice of the mentioned lines did not differ significantly before stress nor changed under the influence of stress. The analogous results were obtained when the levels of endogeneous ethanol were studied. It's concluded that the mice of the DBA/2 line are more resistant to acute stress than the mice of the C57 BL/6 line which can be based on some biochemical properties of their biogenic amines metabolism in brain and periphery.

JUTEPATYPA

- Festing M. F. W. Inbred strains in biomedical research. Medical Research Council Laboratory Animals Centre Carshulton, Surrey, U. K., 1979.
- 2. Eriksson K. Ann. Med. exp. Fenn., v. 49, p. 67-72, 1971.
- Linsky A. S., Murray A. S., Colby J. P. J. Stud. Alcohol, v. 46, p. 72-80, 1985.
- 4. Kozan B. M., Henaco H. B. Aab. Jeno, No 5, c. 301-304, 1979.
- 5. Diggory G. L., Buckett W. R. Neuropharmacology, v. 24, p. 275, 1985.
- 6. Кудряюцев Р. В., Ушакова М. М. Судебно-медицинская экспертиза, № 3. М.,... Медгия, 1980.
- 7. Майский А. И., Шошина С. В.—В сб.: Фармакология акспериментального вакоголиама, с. 28—42. М., 1982.
- 8. Ho A. K. S., Tsai C. S., Kissin B. Pharin, Biochem. and Behav., v. 3, p. 1073-1076, 1975.
- Холорова Н. А., Власова Н. В., Майский А. И. Бюл. эксперим. Guoл. и мед., № 9, с. 284—285, 1984.
- 10. Ciranello R. D., Barchus S., Kessler S., Barchus J. D. Life Sci., v. 11, p. 565,
- 11. Watanabe H. Neuropharmacology, v. 23, p. 1335-1338, 1984.
- 12. Станишевская А. В. Мезенцева Л. Н. Фармакология и токсикология. № 1, с. 9—12, 1977.
- Буров Ю. В., Ведерникова Н. Н. Нейрохимия и фармакология алкоголизма, с. е.з. М., Медицина, 1985.
- 14. Биров Ю. В.-В сб.: Биологические основы алкоголизма, с. 149-155, М., 1984.
- Буров Ю. В., Всдерникова Н. Н. Нейрохимия и фармакология алкоголизма с. 124, М., Медицина, 1985.
- Vogel W. H., Deturck K. H.-In: Stress and alcohol use (ed. Pohorecky L. A., Brick J.), p. 429-438, Elsevier Biomed. Press, New York, 1983.

Поступила 15. III 1987

HEÑPOXUMUR



т. 6, № 4, 1987

УДК 612.822.1.015

I+-АТРаза МЕМБРАН СИНАПТИЧЕСКИХ ПУЗЫРЬКОВ МОЗГА: ИДЕНТИФИКАЦИЯ И ХАРАКТЕРНЫЕ СВОЙСТВА СИСТЕМЫ ТРАНСПОРТА_Н⁺

МЕЛЬНИК В. И., ГЛЕБОВ Р. Н.

НИИ общей патологии и натологической физиологии АМН СССР, Москва

Исследовано участие АТРазы мембран синаптических пузырьков мозга крыс в активном транспорте II+, который измеряли с помощью флуоресцентного амина акридинорания. АТР-зависимый транспорт II+ устранялся N-атилмалениидом (NEM), а АТРазная активность разделялась на два компонента, отличающихся по чувствительности к ингибитору.

Основной компонент (74%) чувствителен к NEM и идентифицирован как H+-ATPаза на основании следующих критериев: а) совместная с H+-насосом очистка во время выделения мембран: б) идентичная с ним чувствительность к NEM; в) избирательная стимуляция активности в присутствии СI— или разобщителей: г) близость характеристик к таковым H+-насоса—К_{тн} для Mg-ATP (0,64 мМ) к рН-оитимум (6.0). Найдено, что максимальные градиенты рН генерируются при рН 7.5—8,0, где активность H+-насоса сильно лимитируется имэкой концентрацией П1.

Минорный компонент АТРазной активности полностью устойчив к действию NEM и проявлял $K_{\rm III}$ для Mg-ATP=0,10 мM и широкий рH-оптимум в щелочной области.

Кислая среда внутри синаптических пузырьков (СП) нервной ткани, необходимая для поддержания их нормальных функций (активности ло-кализованных там ферментов, процессов сопряженного транспорта медиаторов и их предшественников), поддерживается мембранным Н+-насосом за счет энергии АТР [1, 2]. Н+-насос СП отличается от Н+-насосов классического митохондриального типа устойчивостью к олигомиции, меньшей чувствительностью к дициклогексилкарбодиимиду и высокой чувствительностью к NEM [1]. Этими свойствами он близок к протонным насосам секреторных гранул и других органелл кислого компартмента клетки: лизосом, эндосом, «одетых» везикул и аппарата Гольджи [3].

Транспорт H+ через мембрану СП является АТР-зависимым, что предполагает участие соответствующей H+-АТРазы. Механизм сопряжения между гидролизом АТР и транслокацией H+ не может быть выясиен без кинетической характеристики обсих активностей—АТРазной

и транслоказной. Однако АТРазная активность СП, особению в неочищенных препаратах [1, 4], явно гетерогенна, а применяемые ингибиторы в большинстве случаев недостаточно специфичны.

В настоящей работе исследовали возможность применения NEM для избирательного выявления активности H+-ATPазы мембран СП. В низких концентрациях NEM полностью блокирует транспорт H+ [1] и частично ингибирует ATPазную активность [5, 6]. Результаты показывают, что в выбранной нами системе измерения NEM проявляет свойства специфического ингибитора H+-ATPазы. Идентификацию NEM-чувствительного компонента в качестве H+-ATPазы подтверждает совместное с активностью H+-насоса обогащение в процессе очистки мембран СП и идентичность их функциональных и кинетических свойств.

Необходимой частью работы было изучение кинетических свойств H^+ -насоса. При этом потребовалось уточнить существующие методические подходы, основанные на использовании проникающих слабых оснований, в частности флуоресцентного амина акридиноранжа (АО). Проведенный кинетический анализ показал, что система транспорта H^+ в СП активируется субстратом транспорта— H^+ , причем максимальная активация наблюдается при рН 6,0. В то же время градиент рН (Δ pH) достигает максимальной величины в физнологической, слабощелочной области рН 7,5—8,0.

Матерналы и методы

Очищенные мембраны СП мозга получали после осмотического шока неочишенной фракции синаптосом, применяя условия центрифугирования, предложенные в работе March, Thornton [7]. Ткань нелого мозга крыс массой 200—250 г промывали в среде выделения (0.32 М сахароза, 10 мМ трис-HCl, pH 7.4 при 4°) и размельчали за 4 «хода» тефлонового пестика в стеклянном гомогенизаторе (зазор 0,2 мм, скорость вращения 500 об/мин) в 6-8 объемах среды. Гомогенат центрифугировали 10 мин при 1000 g, супернатант сливали, а осадки повторио гомогенизировали и центрифугировали. Объединенные супернатанты центрифугировали 10 мин при 10000 g. Полученный осадок исочищенных синаптосом суспендировали в 8 объемах бидистиллированной воды и гомогенизировали в том же гомогенизаторе (3 «хода» 1500 об/мин). Последовательным центрифугированием лизата (55000 g, 60 мин, снова 55000g, 60 мин и 100000g, 75 мин) получали три осадка субклеточных фракций Ф1, Ф2 и Ф3 соответственно. Последняя фракция представляла собой очищенные мембраны СП. Осадки суспендировали в среде выделения до концентрации белка 2-4 мг/мл и хранили небольшими аликвотами при -20° в течение 1-2 недель.

Активность H+-насоса измеряли методом непрерывной регистрации трансмембранного ΔpH с помощью ф.уоресцентного слабого основания AO [1, 8]. Измерения проводили в кварцевых кюветах спектрофлуорометра «Hitachi MPF-4» (Япония) при длинах воли возбуждения и

испускания 491 и 530 нм соответствению. Среда измерения (конечный объем 2 мл) содержала 2 мкМ АО в 150 мМ КСІ, 20 мМ НЕРЕЅ/трис рН 7,4 при 25°. После 4 мин прешнкубации белка (8—15 мкг/мл для Фз) инициировали транспорт Н добавлением 1 мМ Мд-АТР (эквимолярная смесь MgSO4 и трис-АТР, рН 7,4) и после снижения флуоресценции АО до стационарного уровия добавляли 10 мкл 2М (NH4)2SO4 для обращения флуоресцентного ответа (рис. 1). Устраняя лрН, добавление соли аммония позволяет точно определить исходный уровень флуоресценции (Fe) с учетом изменения, вызванного неспецифическим (такой же эффект оказывает АDР) взаимодействием зонда с АТР в момент внесения последнего [1].

Величину У. А. Н⁺-насоса в стандартных условиях измерения выражали из относительной величины изменения флуоресценции АО. Скорость транспорта принимали равной начальной скорости тушения флуоресценции АО (—dF/dt, диапазон линейности—до 25 мкг белка/мл) в мин⁻¹·мг⁻¹, а величину стационарной аккумуляции Н⁺—отношению потушенной флуоресценции зонда к непотушенной (Fo—F)/F, диапазон линейности—до 13 мкг белка/мл) в мг⁻¹. Эти величины пропорциональны изменениям концентрации Н⁺ внутри везикул при поддержании

постоянного рН среды [8].

Измерсние АТРазных и АМРазной активностей. Общую Mg²+-AТРазную активность измеряли при инкубации белка (15—25 мкг/мл) в течение 30 мин в присутствии 2 мМ Mg-ATР в такой же среде, что и аля транспорта H+, только без АО (рН 7,4 при 37°). В части опытов вместо КСІ среда содержала NaCl либо 0,3 М сахарозу. Олигомицинчувствительную АТРазную активность определяли как активность, ингибируемую 0,5 мкг/мл олигомицином, а NEM-чувствительную—как активность, ингибируемую 0,2 мМ NEM. Na+, K+-ATРазную активность определяли как разность в отсутствие и в присутствии 1 мМ уабаина в среде, содержащей 2 мМ Mg-ATР, 130 мМ NaCl. 20 мМ КСl, 20 мМ НЕРЕS/трис (рН 7,4 при 37°).

Активность кислой АМРазы (кислой 5'-нуклеотидазы, маркера лизосом) [9] измеряли при инкубации белка (0,8 мг/мл) в течение 30 мин в присутствии 5 мМ Mg-АТР (эквимолярная смесь MgCl₂ и

Na2AMP) в 0,1 M Na+-ацетатном буфере (рН 5,0 при 37°).

АМР- и АТРазные реакции инициировали добавлением субстратов (конечный объем 1 мл) после 20 мин преинкубации белка в присутствии или в отсутствие ингибиторов и ионофоров. Реакции останавлитали и определяли содержание образовавшегося при гидролизе субстратов Рі добавлением 1 мл свежеприготовленного реактива, состоящего из следующих компонентов: 10%-ный ДДС-Na, 2 М ацетатный буфер, приготовленный титрованием трисом до рН 4,3 0,1 М СиSO4, 2%-ный молибдат аммония и 10%-ная аскорбиновая кислота в соотношении 1:8:0,1:1:0,2. Реактив стабилен на льду 30—40 мин после добавления аскорбата. Через 25 мин при комнатной температуре (или при 37° в тех случаях, когда необходимо предупредить выпадение осад-

ка ДДС-К) измеряли экстинцию проб при 735 им. Содержание P_1 рассчитывали, исходя из прироста экстинции, вызванного присутствием в инкубировавшихся параллельно «холостых» (белок добавляли после остановки реакции) пробах 200 имоль KH_2PO_4 в полной среде инкубации, включающей ATP или AMP, которые, как и KCI, занижают окраску ([10] и собственные данные), обусловленную восстановлением фосфомолибдатного комплекса.

Материалы. Использовали AO, NEM, олигомиции, карбонилцианид т-хлорфенилкарбазон (CI-CCP), валиномиции и сахарозу фирмы «Serva» (ФРГ), неорганические соли квалификации х. ч. Олигомиции, СI-ССР и валиномиции добавляли в пробы из спиртового раствора так, что конечная концентрация этанола составляла 0,5%, и столько же спирта добавляли в контрольные пробы. Трис-АТР получали пропусканием раствора Na2ATP («Reanal», Венгрия) через колонку с катионо-обменником Dowex 50 × 2 в Н форме. Элюат нейтрализовали трисом, и концентрацию АТР определяли спектрофотометрически, принимая значение 8259 = 15400 М ст. см. ст.

Результаты исследования

Флуоресцентные ответы АО, наблюдавшиеся при последовательном добавлении СП и Mg-ATP в среду измерения (рис. 1), были аналогичные тем, которые описаны для неочищенной фракции СП мозга [1]. Отличия сводятся к двум моментам: во-первых, величина У. А. транспорта Н+ в очищенных препаратах в 3-4 раза выше; во-вторых, эндогенный градиент рН (ДрН), который проявляется в тушении флуоресценини АО при добавлении СП (подробнее см. [1]), в очищенных мембранах значительно ниже и в отсутствие АТР полностью рассенвается за 3-4 мин, в отличие от 15 мин для исочищенной фракции. Последнее обстоятельство, очевидно, вызвано длительным пребыванием везикул в гипоосмотической среде в процессе выделения, в чем применяемый нами метод отличается от исходной процедуры Магси. Thorton [7] Вследствие этого наши препараты представляют собой «тени» или мембраны СП с вымытым в процессе выделения содержимым. Такие препараты удобны для исследования транспорта Н+, гак как буферной емкостью внутривезикулярного объема «теней» можно пренебречь, что упрощает интерпретацию такого нараметра, как аккумуляиня Н+,

Для уточнения локализации H^{**} -насоса и оценки чистоты препаратов на всех стадиях очистки, следующих за осмотическим шоком грубой фракции синаптосом, измеряли активности транспорта H^{**} , различных ATPаз и маркерных ферментов наиболее вероятных примесей. Из табл. 1 видно, что маркер митохопдрий—олигомицинчувствительная ATPаза полностью удаляется в процессе очистки. Кроме того, в отсутствие ATP добавление 1 мМ NADH не вызывало подкисления везикул (не показано), что служит дополнительным указанием на отсут-

ствие «вывернутых наизнанку» внутренних мембран митохондрий—субмитохондриальных частиц. Величина У. А. маркера плазмалеммы—Na+, K+-ATPазы значительно снижалась в ходе очистки. Возможно, что неполное удаление плазмалеммы вызвано прогрессирующей везакуляризацией поверхностной мембраны синаптосом при гипотонической обработке. Величина У. А. лизосомного маркера—кислой АМРазы была низкой во всех фракциях порядка на два ниже, чем в очищенных лизосомах [9], а с учетом распределения белка основная часть фермента сосредоточена во фракции крупных частиц Ф1.

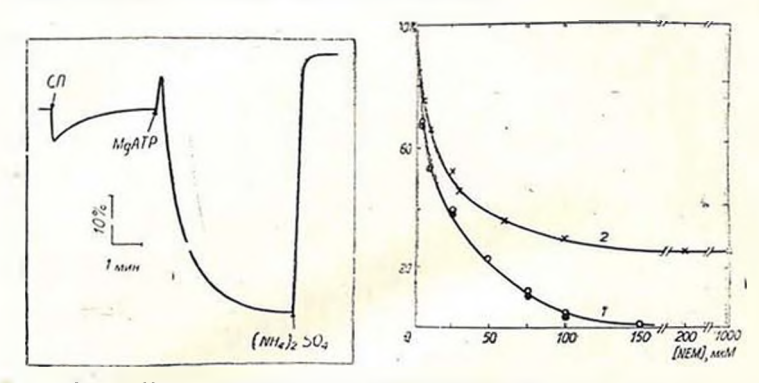


Рис. 1. Изменения флуоресценции акридиноранжа при последовательном добавлении мембран СП и Мg-АТР. Стрелками указаны моменты добавления СП (12.5 мкг белка/мл). Mg-АТР (1.0 мМ) и (NH₄)₂SO₄ (10 мМ)

Рис. 2. Ингибирующее действие NEM на транспорт H+ (1) и АТРазную активность (2) мембран СП и стандартной КСІ-содержащей среде. Кривая 1—общая для скорости транспорта (○) и аккумуляции H+ (●):

В отличие от маркерных ферментов митохондрий, плазмалеммы и дизосом, величина У. А. АТР-зависимого транспорта Н+ резко возрастала в процессе очистки (табл. 1). Это показывает, что Н+-насос действительно является компонентом мембраны СП. В то время как общая АТРазная активность не проявляла корреляции с каким-либо маркерным ферментом, что объясняется ее суммарным характером, наблюдалась положительная корреляция между транспортом Н+ и NEM-чувствительным компонентом АТРазной активности.

На рис. 2 представлены концентрационные зависимости ингибирурощего действия NEM на транспорт H+ и АТРазиую активность мембран СП. Полное ингибирование транспорта H+ и максимальное торможение АТРазной активности (на 74% в КСІ-содержащей среде) наблюдается при 0,2 мМ NEM, и дальнейшее повышение концентрации ингибитора не приводит к дополнительному ингибированию АТРазиой активности: Полумаксимальное торможение транспорта H+ и чувствительного к ингибированию компонента АТР-азной активности наблюдалось при 13 и 12 мкМ NEM соответственно. Такие же результаты были получены при определении АТРазной активности в сахарозной среде. Когда ингибитор добавляли после АТР, степень торможения транспорта Н+ значительно снижалась, достигая максимально 15—20%. Защита субстратом от ингибирования тиоловыми реагентами описана для многих SH-зависимых ферментов. Полученные результаты позволяют предположить, что только основной, NEM-чувствительный компонент АТРазной активности связан с транспортом Н+ и может быть отождествлен с Н*-АТРазой.

Таблица Г Удельная активность маркерных ферментов и транспорта протонов в субилеточных факциях (D. (D.

	Фракция			
Активность	Φ1	Ф:	Φ,	
Общая АТРазная, мкмоль-	43,3±4,5	32,7±2,7	37,8±1,3	
Олигомиципчувствительная АТРаза, мкноль-мг-1-ч-1	21,6±3,9	0,6±1,0	0,0±0,7	
NEM-чувствительная АТРаза, мкмоль-мг-1-ч-1	6.2 <u>+</u> 1.8	16,7±2.4	28,3±1,6	
Na+, K+-АТРаза, мкмоль- мг-1, ч-1 Кислая АМРаза, мкмоль-	58,8+5,4	44,7±5,0	7,1±1,5	
. Mr-1, q-1	0,30±0,10	0,32+0,07	0,22±9,06	
Транспорт H+: скорость, мин-1. мг-1 аккумуляция, мг-1 Выход белка, мг г сырой ткани	3,2+0,7 5,8+0,5 7,15+2,11	14.2±7.6 29.2±11.6 0,38±0.18	45,5±3,1 77,5±2,2 0,20±0,04	

Примсчание. Представлены данные 4—5 опытов. О размерностях величии транспорта H+ см. раздел «Методы исследования».

АТРазная активность мембран СП стимулировалась в присутствии КСІ или NaCl (табл. 2). Очевидно, стимуляция обусловлена СІ-, сопряженный перенос которых обеспечивает электронейтральность транспорта Н+ [1]. В присутствии NEM активация АТРазной активности не наблюдается, следовательно, это свойство присуще только NEM-чувствительному компоненту.

Разобщители устраняют ΔpH либо создавая высокую проводимость для H^+ в мембране (протонофор CI -CCP), либо связывая H^+ при аккумулящии внутри везикул в ответ на ΔpH (проникающие слабые основания). В обоих случаях, нарушая сопряжение между гидролизом ATP и транспортом ионов, разобщители вызывают стимулящию H^+ -ATPаз, работающих в их присутствии «вхолостую». На рис. З показано действие двух разобщителей — протонсфора CI-CCP и валиномицина на транспорт H^+ в мембранах CII. В согласии с предыдущими данными [1], валиномиции, который обычно проявляет свойства K^+ -специфического ионофора, более аффективно устранял транспорт H^+ в присутствии NaCI, чем KCI. Для обоих разобщителей характерио, что

значительно более высокие концентрации требовались для торможения скорости транспорта, чем аккумуляции H^+ . Величины $K_{0.5}$ равиялись для C1 -CCP 0.50 и 0.20 мкМ, а для валиномицина—0,85 и 0,35 мкМ в присутствии KC1 и 0,35 и 0,10 мкМ в присутствии NaC1 соответствени».

Оба ионофора-разобщителя, а также представитель проникающих слабых оснований—NH₃, добавленный в виде раствора (NH₄)₂SO₄, нарушая сопряжение с транспортом H⁺, избирательно стимулировали (табл. 2) NEM-чувствительную АТРазную активность, не влияя на активность, проявляющуюся в присутствии NEM (NEM-резистентный компонент). Стимуляция наблюдалась в сахарозной и в КСІ-содержащей средах, то есть в условиях электрогенного и электронейтрального транспорта H⁺ соответственно.

Изменения АТРазной активности мембран СП при вездействин клоридов и разобщителей в присутствии

и в отсутствие NEM					
V	АТРазная активность, %				
Условия опыта	6ca NEM	+NEM			
сахароза сахароза + CI-CCP сахароза + Валиномиции КСI КСI+СI-ССР КСI+(NH ₁) ₂ SO ₄ КСI+палиномиции NaCI	100 119±5** 134±10** 145±6* 168±9** 170±14** 183±16*> 152±7* 150±14**	36±2 36±3 36±2 36±3 36±3 37±3 36±3 40±4 39±3			

Примечание. Концентрации: 300 мМ сахароза, 150 мМ КСІ, 150 мМ NаСІ, 10 мКМ СІ-ССР, 2 мКМ валиномиции ,10 мМ (NH $_4$) $_2$ SO $_4$, 0,2 мМ NEM, 3a 100% принята активность в сахарозной среде в отсутствие NEM и разобщителей. Представлены данные 6 (с CІ-ССР) или 3 (с сульфатом аммония и вализсмицином) опытов. " ρ <0,005 по сравнению с сахарозной средой, " * $_7$ <0,01 по сравнению с отсутствием разобщителя

Оба компонента АТРазной активности проявляли гиперболические зависимости от концентрации Mg-ATP, а линеаризация в координатах Хейнса-Вулфа (см. [11]) показала, что они сильно отличаются по сродству к субстрату (рис. 4). NEM-чувствительный компонент характеризуется величиной К_{то} 0,64 мМ, а соответствующая величина для NEM-резистентного компонента составляет 0.10 мМ. Исследование подобной зависимости активности H+-насоса с помощью флуоресцептного зонда АО показало, что она описывается кривой сложной, негиперболической формы, причем увеличение концентрации Mg-ATP выше 1 мМ вызывало снижение флуоресцентных ответов. Это вызвано усилением взаимодействия зонда с ATP при увеличении концентрации последнего, поэтому были применены особые методические приемы, которые будут

Таблица 2

описаны в отдельной публикации, с помощью которых установили, что величина K_m H^+ -насоса близка величине K_m NEM-чувствительного компонента.

Исследования рН-зависимостей двух компонентов АТРазной активности показали (рис. 5. а), что NEM-чувствительный компонент проявляет четкий пик активности при рН 6,0. Стимуляция активности в присутствии КСІ наблюдалась во всем исследованном диапазоне рН. В то же время активность NEM-резистентного компонента была максимальной в щелочной области.

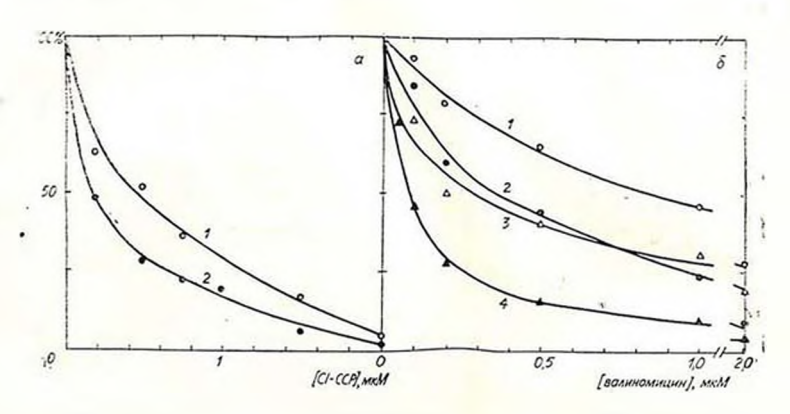


Рис. 3. Влияние протонофора СІ-ССР (а) и валиномицина (б) на транспорт H^+ в мембранах СП (в %). Измерения проводили в присусствии 150 мМ КСІ (1, 2) или NaCl (3, 4). Представлены средние величины скорости транспорта (1, 3) и аккумуляции H^+ (2, 4) из трех опытов

АТР-зависимые флуоресцентные ответы АО, которые отражают транспорт H^+ , проявляли особую зависимость от ρH , будучи максимальными при ρH 7,5—8,0 (рис. 5, 6, кривые 1 и 2). Обычно считается, что эта зависимость тождествениа ρH -зависимости H^+ -насоса. На самом деле, согласно известному уравнению [8, 12], флуоресцентные ответы пропорциональны величине трансмембранного градиента концентрации H^+ :

$$\frac{F_0 - F}{F} = \frac{[H^+]_{in}}{[\dot{H}^+]_{xx}} \cdot \frac{v_{in}}{v_{ex}}, \tag{1}$$

где индексы în и ех относятся к внутри- и вневезикулярному объемам (v) соответственно. Активность H^+ -насоса, конечно, следует выражать не с помощью термодинамического параметра $[H^+]_{in}/[H^+]_{ex}$, а кинетического—количества переносимых через мембрану ионов. Поэтому величина аккумуляции H^+ будет пропорциональна достигаемой в стационарном состоянии концентрации H^+ внутри везикул:

$$[H^+]_{in} \cdot V_{in} = [H^+]_{ex} \cdot V_{ex} \cdot (F_0 - F) F$$
 (2)

Учитывая, что при одинаковой концентрации белка V_{in} и V_{ex} постоянию, удельную величину аккумуляции H^+ можно выразить как

$$[H^{+}]_{in} = const \cdot [H^{-}]_{ex} \cdot (F_{ij} - F)/F$$
 (3).

Такой же подход справедлив и в отношении скорости транспорта H^+ . Дифференцируя уравнение (3) с учетом того, что для начальных изменений флуоресценции $(F_0 - F)/F$ можно заменить на $(F_0 - F)/F_0$, получим:

$$d[H^{\perp}]_{is} dt = -\text{const} [H^{\perp}]_{ex} dF dt$$
 (4).

Таким образом, при варьировании рH среды оба параметра—скорость и величину флусресцентных ответов—следует умножать на концентрацию H^+ в среде измерения.

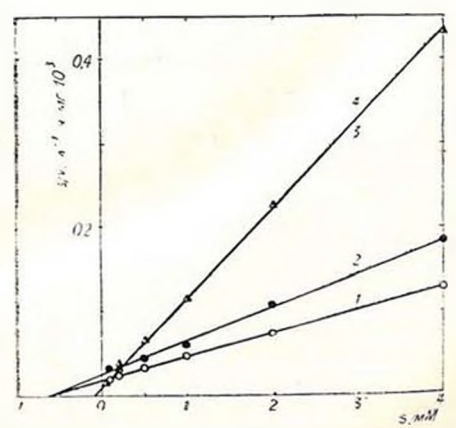


Рис. 4. Зависимости скорости (v) АТРазных реакций от концентрации Мд-АТР (s) в координатах Хейнса-Вулфа. NEM-чузствительную (1, 2) и NEM-резистентную (3, 4) АТРазные активности измеряли в присутствии 150 мМ КСІ (1 и 3.○) или 300 мМ сахарозы. (2, 4. ○). Данные для 3 и 4 представлены одной общей прямой

Чтобы представить данные на одном рисунке, не меняя масштаба, воспользуемся тем, что величина $[H^+]_{ex}$ при изменении pH среды на 0.5 единиц каждый раз изменяется в $10^{0.5}$ раз, то есть в 1 10 раз. Выбрав подходящую экспериментальную точку в качестве начальной для отсчета величины флуоресцентных ответов в остальных точках, отличающихся на $n \cdot 0.5$ единиц pH, достаточно разделить (при повышении pH) или умножить (при снижении pH) на $n \cdot 10$ раз. На рис. 5. 6 приведены полученные таким способом кривые, построенные при выборе pH 6.5 и pH 5,5 для начала отсчета (кривые 4 и 5. из которых видно,

что максимальная аккумуляция H^+ наблюдается при ρH 6.0. Точно такой же результат получен и для скорости транспорта (кривая 3). Таким образом, ρH -зависимости H^+ -насоса и NEM-чувствительной $AT\rho$ азы практически одинаковы ,и их активность в широком диапазоне стимулируется повышением концентрации H^+ в среде.

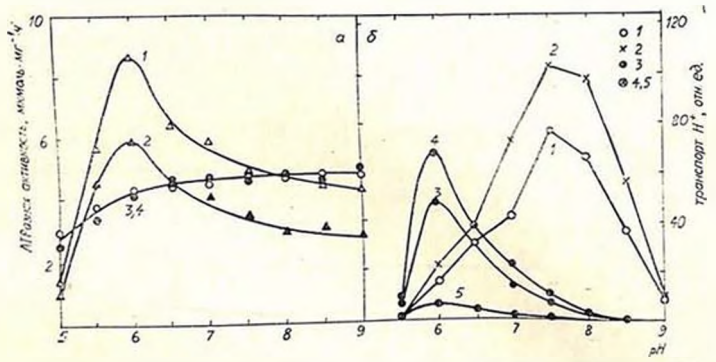


Рис. 5. рН-Зависимости АТРазных активностей (а) в Нт-насост (б) мембран СП: а—NEM-чувствительная (1, 2) в NEM-резивтентная (3, 4) активности в присутствии 150 мМ КСІ (1 и 3. ○) вли 300 мМ сакарозы (2, и 4. ○). Результаты для 3 и 4 представлены одной общей кривой: 6—скерость генерации (1) и величина (2) стационарного гразиента концентрации Нт: скорость (3) и величина (4, 5) стационарного гразиента концентрации Нт в относительных единицах (см. текст) при выборе для начала отсчета точек рН 6,5 (3, 4) или рН 5,5 (5). Измерених проводили при 25°, используя в качестве буферов МЕУ/трис в диапазоне рН 5,0—6,5 и НЕРЕУ/трис в диапазоне рН 7,0—9,0 при суммарной концентрации буферных компонентов 40 мМ

Обсуждение результатов

Анализ распределения маркерных ферментов, проведенный в настояшей работе, подтверждает локализацию Н⁺-насоса в мембране СП мозга. Правда, мы не исследовали распределение «одетых» везикул, однако удельные величины АТРазной активности и транспорта Н⁺ в них на порядок ниже, чем в мембране СП [3]. К тому же было показано, что в использованиом нами режиме центрифугирования «одетые» везикулы, имеющие большие размеры и плотность. Удаляются на промежуточных стадиях выделения СП [7]. Явное отличие в распределениях активности Н⁺-насоса и маркера плазмалеммы, вопреки недавнему утверждению [13], свидетельствует об отсутствии связи Н⁺-насоса с синаптической мембраной.

Отдифференцировать активность АТРазы, ответственной за трансворт Н (без солюбилизации, в нативной мембране СП), можно лишь с помощью специфических ингибиторов. Свойства такого ингибитора

проявляет NEM: активность, не связанная с транспортом H⁺, резистента к его действию, а активности Na⁺, K⁺- и Ca²⁺-транспортной АТРаз, проявляющих к нему известную чувствительность, не могли проявиться без добавления Na⁺ или Ca²⁺ в среду измерения. Ингибирование соответствующей АТРазы полностью объясияет действие NEM на транспорт H⁺, и нет никаких оснований предполагать его косвенное, «разобщающее» действие [14]. Такой вывод подтверждается защитным эффектом АТР и отсутствием расхождений в действии NEM на два параметра активности H⁺-насоса (рис. 2). Действие разобщителей как раз характеризуется такими расхождениями—скорость транспорта более устойчива, чем величина аккумуляции (рис. 3).

Функциональные свойства NEM-чувствительной АТРазы полностью соответствуют идентификации ее в качестве Н[‡]-транспортной АТРазы. Они включают: а) подверженность действию разобщителей: б) стимуляцию активности анионом хлора: в) совпадение кинетических характеристик с таковыми Н[‡]-насоса.

Действие разобщителей не требует особого комментария, за исключением валиномицина. Даже не касаясь отсутствия специфичности этого иопофора в отношении К[†], объяснить его действие стимуляцией электрогенного входа катионов невозможно, так как в присутствии СГ-мембранный потенциал не мог образоваться. К тому же такой потенциал (положительный внутри) должен был привести к торможению АТРазной активности, а наблюдается, наоборот, стимуляция. Так что механизм разобщающего действия валиномицина в наших опытах остается непонятным. Подобные эффекты в отношении АТР-зависимого транспорта АХ наблюдали в интактных, не подвергшихся осмотическому шоку, СП электрического органа ската [15]. Аномальные эффекты валиномицина наблюдали также в других мембранных системах [16].

Стимуляция активности H+-ATРазы хлоридом, впервые отмеченная в хромаффинных гранулах (ХГ) надпочечников [17], наблюдается при всех экспериментальных условиях—во всем исследованном диапазоне рН и концентраций Mg-ATP, в присутствии и в отсутствие разобщителей. Возможно, она отражает более общее свойство H+-ATРазы, чем просто потребность в проникающем анионе для поддержания электронейтральности. Иначе трудно объяснить, почему стимуляция наблюдается в присутствии разобщителей (табл. 2).

Имеющиеся в литературе (на материале секреториых гранул) данные о кинетических свойствах H+-насоса основаны исключительно на изучении генерации мембранного потенциала. Были получены ечень низкие сценки K_m для Mg-ATP [14, 18], тогда как рH-зависимость в ряде работ характеризовалась максимумом в районе рН 6—6,5 [18—20]. Однако применение термодинамических параметров для изучения кинетики в общем случае неприемлемо, о чем свидетельствует анализ поведения термодинамического (Δ pH) и кинетического (активность) параметров при варыровании рН среды. Разработанный нами для этого случая чисто кинетический способ выражения активности H⁺-насоса

из флуоресцентных ответов AO легко распространяется и на другие методы. Например, изотопные, основанные на аккумуляции слабых оснований или слабых кислот, если вместо $(F_0-F)/F$ использовать отношение концентраций C_{in} C_{ex} . Скорость проникновения незаряженной формы AO не лимитирует даже при низких pH, когда ее количество сильно уменьшается, так как изменения флуоресценции быстро обратимы и не наблюдается отличия между pH-профилями скорости и величины аккумуляции.

Найденные таким способом кинетические характеристики Н*-насоса совпадают с таковыми Н*-АТРазы (рН-оптимум 6,0 и К_т для Мд-АТР 0.64 мМ). Это является независимым подтверждением справедливости примененного подхода, а также исключает возможность присутствия более чем одной АТРазы со сходной чувствительностью к NEM. Кинетические характеристики Н*-АТРазы находят подтверждение в ряде работ, где изучали общую АТРазную активность СП мозга [6], ХГ [19, 21] и секреторных гранул нейрогипофиза [20], что обусловлено давно известным для ХГ [22] преобладанием в ней NEM-чувствительного компонента. Правда, иногда сообщали характеристики, близкие таковым NEM-резистентного компонента. Однако в этих работах препараты СП хранили [5] или ХГ подвергали длительной обработке [23] при 4°, а это, как известно [5]. приводит к быстрой инактивации NEM-чувствительной АТРазы.

Различия в проявлении кинетических и термодинамических параметров, отмеченные выше, имеют непосредственное отношение к анализу сопряженных транспортных процессов. Так, жестко сопряженный транслорт H+ и Cl., способный вызвать осмотический лизис и выход содержимого, характеризуется в ХГ оптимумом рН 5,8-6,2 и Ки для Mg-ATP 0.6 мМ [24], а сопутствующие изменения объема-близкой величиной Кан 0.5 мМ [25], что совпадает с описанной выше кинетикой Н+-илсоса. Другая ситуация наблюдается при непрямом сопряжении. когда транспорт Н+ создает движущую силу (в термодинамическом смысле) для сопряженного процесса. АТР-зависимый транспорт катехоламинов [26] и АХ [15] в СП резко возрастает с повышением оН среды и достигает максимума в районе рН 7,5-8,0, повторяя рН-зависимость генерации АрН, отмеченную в настоящей работе. Таким образом, характер рН-зависимости (зависимость от концентратии Мд-АТР не была описана для двух последних процессов) может служить прямым указанием на механизм сопряжения—кинетический (прямой) или термодинамический (косвенный).

Кинетический анализ показывает, что активность как H^+ -насоса, так и H^+ -АТРазы проявляет двухфазиую зависимость от концентрации H^+ . Наблюдаемая при повышении концентрации H^+ до 1 мкМ активация свидетельствует, во-первых, что генерация ΔpH обусловлена транслокацией H^+ внутрь везикул (а не OH^- изнутри) и, во-вторых, что фермент, осуществляющий эту транслокацию, можно классифицировать как H^- -стимулируемую Mg^{2+} -зависимую ATPазу. Активность

фермента в физиологических условиях лимитируется низкой концентрацией H^+ в цитоплазме, зато при этом с минимальными энергетическими затратами поддерживается максимальная величина ΔpH для обеспечения биоэнергетики везикул.

В отличие от NEM-чувствительной, NEM-резистентная ATPаза, по-видимому, является примесным компонентом в препаратах СП, так как се активность снижается в процессе очистки. Похожая ситуация наблюдается при анализе распределения ХГ в градиентах плотности [22]. NEM-резистентная ATPаза может использовать в качестве субстрата Ca^{2+} -ATP (неопубликованные данные), который не поддерживает транспорт H^+ [1]. Кинетические характеристики ее близки к таковым низкоаффинной Ca^{2+}/Mg^{2+} -ATPазы синаптических мембран мозга, что указывает на вероятное происхождение этой активности в препаратах мембран СП.

H+-ATPase OF BRAIN SYNAPTIC VESICLE MEMBRANES. IDENTIFICATION AND CHARACTERIZATION OF AN H+-TRANSPORT SYSTEM

MELNIK V. I., GLEBOV R. N.

Research Institute of General Pathology and Pathophysiology, USSR, Academy of Medical Sciences, Moscow

The involvement of an ATPase of brain synaptic vesicle membranes in the active H*-transport as monitored with a fluorescent weak base, acridine orange, has been studied. The ATP-dependent H*-transport was abolished by N-ethylmaleimide (NEM) while the ATPase activity was resolved into two components differing in their sensitivity to the inhibitor.

A major component (74%) was sensitive to NEM and was identified as an H-ATPase on the basis of the following criteria: a) copurification with the H⁺-pump during isolation of the membranes, b) their identical sensitivities towards NEM, c) selective stimulation of the activity by the presence of Cl⁻ or uncouplers. d) similarity of characteristics to those of the H⁻-pu.np, i. e., K_m for Mg-ATP of 0.64 mM and pH-optimum 6·0. Maximal pH gradients were generated at pH 7,5-8,0, where the activity of the H⁺-pump was found to be severely limited by a low H⁺ concentration.

A minor component of the ATPase activity was completely resistent to NEM and exhibited a $K_{\rm m}$ of 0.10 mM and a broad pH-optimum in the alkaline range.

ЛИТЕРАТУРА

- Мелник В. И., Глебов Р. Н., Крыжановский Г. Н. Бюл. эксперим. биол. и мед., т. 99, № 1, с. 35—38, 1985.
- 2. Stadler H. Tsuktta S. EMBO J., v. 3, No 13, p. 3333-3337, 1984.
- 3. Rudnick G. Annu. Rev. Physiol., v. 48, p. 403-413, 1986.
- Глебов Р. Н., Мельник В. И., Крыжановский Г. Н. Бюл. эксперим. биол. и мед., т. 98. № 11, с. 539—541, 1984.
- Харченко Н. К., Кулинов С. А., Полякова Н. М. Укр. биохим. журп., т. 45, № 5.
 581—586, 1973.
- 6. Tsudzuki T. J. Biochem., v. 55, No 2, p. 567-574, 1979.
- March P. E., Thornton E. R. Biochem. and Biophys. Res. Commun., v. 110, No 3. p. 804-810, 1983.
- 8. Lee H.-C., Forte J. G. Biochim. et hiophys. acta. v. 508, No 2, p. 339-356, 1978.
- 9. Burnside J. Schneider D. L. Biochem. J., v. 204, No. 2, p. 525-534, 1982.
- 10. Walter U. Experientia, v. 37, No 12, p. 1263-1265, 1981.
- 11. Корниш-Боулен Э. Основы ферментативной кинетики, М., Мир. 1979.
- Schaldiner S., Rottenberg H., Avron M. Europ. J. Biochem., v. 25, p. 64-70, 1972.
- Van Dyke R. W., Scharschmidt B. F., Steer C. J. Biochim, et biophys. acta, v. 812, No. 2, p. 423-436, 1985.
- Flatmark T., Gronberg M., Husebye E., Berge S. V. FEBS Lett., v. 149, No 1, p. 71-74, 1982.
- Anderson D. C., King S. C., Parsons S. M. Biochemistry, v. 21, N. 13, p. 3037—3043, 1982.
- Negendank W., Shaller C. Biochim. et biophys. acta, v. 693, No 2, p. 316-322, 1982.
- 17. Pazoles C. J., Creutz C. E., Ramu A., Pollard H. B. J. Biol. Chem., v. 255, No 16, p. 7863-7869, 1980.
- 18. Pollard H. B., Zinder O., Hoffman P. G., Nikodejevic O. J. Biol. Chem.,
- v. 251, № 15, p. 4544-4550, 1976.

 19. Bashford C. L., Radda G. K., Ritchic G. A. FEBS Lett., v. 50, p. 21-24, 1975.
- 20. Russell J. T. J. Biol, Chom., v. 259, 3 15, p. 9496-9507, 1984.
- 21. Winkler H., Hörtnagl H., Hörtnagl H., Smith A. D. Biochem. J., v. 118, No 2, p. 303-310, 1970.
- Kirshner N., Kirhsner A. G., Kamin D. L. Biochim, et biophys, acta, v. 113, No 2, p. 332-335, 1966.
- Johnson R. G., Beers M. F., Scarpa A. J. Biol. Chem., v. 257, No 18, p. 10701— 10707, 1982.
- 24. Pazoles C. J., Pollard H. B. J. Biol. Chem., v. 253, No 11, p. 3962-3969, 1978.
- 25. Phillips J. H., Allison Y. P. Biochem. J., v. 170, No. 3, p. 651-672, 1978.
- Maron R., Kanner B. I., Schuldiner S. FEBS Lett., v. 93, No 2, p. 237-240, 1979.

Поступила 25. VI 1987



HEUDDXNMNN

т. 6, № 4, 1987

УДК 577.354.2

ХАРАКТЕРИСТИКИ И СОДЕРЖАНИЕ ФОСФОДИЭСТЕРАЗЫ ЦИКЛИЧЕСКОГО 3', 5'-ГУАНОЗИНМОНОФОСФАТА В НАРУЖНЫХ СЕГМЕНТАХ ФОТОРЕЦЕПТОРОВ СЕТЧАТКИ СУСЛИКА

КАЛИНИН Е. В., ОРЛОВА Т. Г., ФРЕИДИН А. А., ОРЛОВ Н. Я. Институт биологической физики АН СССР. Пущино

Исследованы свойства фосфодиэстеразы (ФДЭ) циклических пуклеотидов в различных типах препаратов из сетчатки суслика подавляющую частв арительных клеток которой составляют фоторецепторы системы фотопического здрения—колбочки. Общоружено, что данный фермент подобен по всем исследованным характеристикам ФДЭ циклического 3/5'-гуанозинмонофосфата (сGМР) наружных сетментов палочек—фотореценторов скотопического зрения позвоночных. Методом центрифугирования в гралиенте илотности сахарозы показано, что распределение активности ФДЭ совпадает с распределением светочувствительного пигмента, идентифицированиюто как зоительный пигмент колбочек сетчатки суслика. Относительное содержание фермента в сетчатке оценено величиной 4—6 молекул ФДЭ на 100 молекул арительного писмента колбочек. Полученные данные позволяют предположить, что сGMP-специфичная ФДЭ является эндогенным ферментом наружных сегментов фоторецепторов сетчатки суслика и может быть важным элементом системы фототрансдукции в рецепторах фотопического зрения позвоночных.

По современным представлениям [1], уникальная специфичная к сGMP ФДЭ (КФ 3.1.4.1)—ключевой элемент ферментативного каскада усиления светового стимула в наружных сегментах палочек (НСП) сетчатки поэвоночных (система скотопического эрения). Обесцвечивание молекулы эрительного пигмента родопсина, локализованного в мембранах дисков НСП, ведет к активации за 1 с до 1000 молекул ФДЭ и таким образом, индуцирует значительное уменьшение концентрации сGMP [1], который выполняет роль диффузионного медиатора и способен непосредственно контролировать режим работы катионных каналов плазматической мембраны НСП [2]. Посредником в процессе фотоактивации ФДЭ в НСП является GTP-связывающий белок трансдуцин [1].

ФДЭ НСП—периферический белок мембран дисков [1, 3]—легко экстрагируется из них растворами низкой ионной силы и состоит из трех субъединиц ФДЭ, ФДЭ3 и ФДЭ, с $M_r \sim 88.84$ и < 13 кД соот-

ветственно [1, 3]. Ее относительное содержание в НСП велико и составляет \sim 25 молекул фермента на 1000 молекул родопсина [4]; в режиме максимальной активности молекул ФДЭ гидролизует 4000—4500 молекул сGMP в секунду [4, 5]. В темноадаптированных НСП активность ФДЭ значительно подавлена в результате взаимодействия апофермента ФДЭ: ФДЭ3 с субъединицей ФДЭ;, характеризующейся высоким сродством к нему (K, \sim 1010 M-1 [5]) и играющей роль ингибитора его ферментативной активности [5, 6]. Субъединица ФДЭ термостабильна, но легко инактивируется в присутствии трипсина [5, 6].

Результаты педавних работ, выполненных нами [7] и другими авторами [8], дают основания предполагать, что наружные сегменты колбочек (НСК) сетчатки позвоночных (система фотопического зрения) также содержат ФДЭ, специфичную к сСМР. Однако вопросы о функциональной роли этого фермента в НСК и степени подобия систем фототрансдукции палочек и колбочек пока остаются открытыми, а их решение требует ряда дополнительных данных и, в частности, данных о содержании ФДЭ в НСК и ее характеристиках. Исследования в этом направлении ограничены трудностями получения достаточно очищенных препаратов НСК: известные способы фракционирования гомогенатов сетчаток, содержащих как палочки, так и колботли, не позволяют разделить НСП и НСК [9]; животные, обладающие преимущественно колбочковыми сетчатками (суслики, змеи, дневные ящерицы и т. д.), труднодоступны.

В настоящей работе для получения частично очищенных препаратов НСК использевали сетчатки сусликов (Cittelus undulatus). Подавляющая часть (>95%) фоторецепторов этих сетчаток—колбочки [10], содержащие зрительный пигмент с максимумом спектра поглощения ~520 им [11]. Полученные результаты свидетельствуют о том, что в наружных сегментах фоторецепторов сетчатки суслика присутствует сСМР-специфичная ФДЭ, близкая по всем исследованным характеристикам детально изученной ранее ФДЭ НСП сетчатки быка [3]. Согласно выполненным оценкам, содержание ФДЭ в сетчатке суслика составляет 4—6 молекул фермента на 100 молекул зрительного пигмента. Совокупность этих данных не только подтверждает предположение отом, что сСМР-специфичная ФДЭ является эндогенным ферментом НСК, но и показывает, что этот фермент может быть ключевым элементом системы, фотогрансдукции рецепторов фотопического зрения.

Матерналы и методы

Животных декапитировали при слабом комнатном освещении, глаза адаптировали к темноте в течение 2—3 ч при 20°. Последующие операции по препарированию сетчаток и их фракционированию проводили при слабом красном свете (2.>680 нм) и температуре 4° по описаниому рамее методу [7] с некоторыми модификациями. Сетчатки резко встряхивали в течение 4—5 мин в 47% (вес/объем) растворе сахарозы, приго-

товленном на изотоническом буфере А (10 мМ трис-НСІ, рН 7,4, 140 MM NaCl. 3,5 MM KCl, 0,5 MM MgCl2 H 0,1 MM ДИТНОТРЕНТОЛ), P центрифугировали 15 мин при 10000 g. Супернатант (S1) собирали, гомогенизировали в тефлоновом гомогенизаторе, помещали на дно центрифужной пробирки, последовательно наслаивали 40% - и 30%-ный (вес/объем) растворы сахарозы, приготовленные на буфере А, а затем центрифугировали 1 ч при 100000 g. Материал, локализованный после центрифугирования на границе между 30% - и 40% ными растворами сахарозы (препарат НСК) и в стартовом 47%-ном растворе сахарозы (препарат Ф₄₇) собирали, хранили в темноте при 0° и использовали в течение трех дней с момента получения. Выход препарата НСК составлял 100—300 мкг белка на сетчатку и в значительной мере определялся условиями гомогенизации. В качестве экстрактов препаратов НСК использовали супернатанты, полученные в результате гомогенизации препаратов НСК в растворе с низкой ионной силой (10 мМ трис-НСІ, рН 7,4) и последующего центрифугирования (100000 g. 2 ч). Аналотичным образом получали экстракты фракции Ф47.

В ряде опытов были использованы препараты S_{τ} —супернатанты, полученные по несколько отличной от вышеописаниой методике из сетчаток жилотных, адаптированных к темноте в течение 10-12 ч. Декапитацию животных, препарирование сетчаток и все последующие операции проводили в темноте или слабом красном свете. Сетчатки (1—2 шт.) помещали в 1—2 мл буфера А, резко встряхивали и центрифугировали 1 мии при 300 g. Полученный таким образом супернатант S_{\perp} собирали, хранили в темноте при $8-10^{\circ}$ и использовали в работе в течение 20-30 мии после их получения.

НСП и ФДЭ НСП сетчатки быка выделяли, как описано ранее [7]. Препараты ингибиторной субъединицы ФДЭ из НСП сетчатки быка (Ч.НСП) получали по стандартному методу [5] с некоторыми модификациями. Суспензию НСП (концентрация по белку 1—3 мг/мл) в буфере А закисляли до рН 2—3 титрованием 0,1 М НСІ, инкубировали при 100° в течение 5 мин, охлаждали до 20°, защелачивали до рН 7.6—8,0 добавлением 0,1 М NаОН и центрифугировали 30 мин при 10000 g. Супернатант собирали и использовали в качестве препарата И-НСП. Ингибитор ФДЭ из препарата НСК (И-НСК) получали аналогичным образом. Определение концентрации белка выполняли, как очисано ранее [7].

Намерение активности ФДЭ в светоадаптированных препаратах проводили рН-метрическим методом [7]. Закисление среды в ходе реакции гидролиза сАМР или сGMP регистрировали спектрофотометрически по изменению пропускания рН-индикатора крезолового красного при 575 нм [7]. Реакционная среда (объем 1—2 мл) содержала 2—10 мМ трис-НСІ (начальное значение рН 8.0, конечное значение рН ≥7,8), 5 мМ MgCl₂, 25—50 мкМ крезоловый красный, сАМР или сGMP (0 02—15 мМ, «Sigma», США) и исследуемый препарат. За

исключением особо отмеченных случаев ФДЭ в препаратах предварительно активировали трипсином в концентрации 10 мкг/мл в течение 2 мин при 30°. Протеолиз останавливали ингибитором трипсина из сои (40 мкг/мл). Реакции инициировали добавлением циклических нуклеотидов и вели 5—30 мин при 30°. Ингибиторную способность И-НСП и И-НСК определяли, измеряя рН-метрическим способом скорость гидродиза сАМР (2—10 мМ) трипсинизированными препаратами НСП в НСК до и после добавления препаратов ингибиторов. Опыты по изучению влияния видимого света ($\lambda >$ 540 нм) на активность ФДЭ в препаратах S, проводили при температуре 20°, используя в качестве субстоага [14C] cGMP (У. А. 55 мКи/ммоль, «Amersham», Англия). Реакционная смесь содержала (в мМ): трис-HCl—50, pH 7,4, NaCl—140, MgCl₂—5, [¹⁴C] сGMP—2—3 (конечная У. А. 5—20 мКи/ммоль) и указанное количество препарата S .. Количество [4C] GMP и [4C] cGMP в пробах, взятых из реакционного объема в соответствующие моменты времени определяли в результате их разделения методом тонкослойной хроматографии на силикателевых пластинах «Kieselgel 60F254» («Merck», ФРГ) в смеси изопропанол-аммиак-вода в соотношении 7:1:2 по объему с последующей резкой пластин и определением радиоактивности соответствующих зон на счетчике SL-4000 («Intertechnique», Франция) в толуольном сцинтилляторе. Фотолиз препаратов S, и определение содержания обеспвеченного пигмента проводили по стандартной схеме [7. 9. 12].

Спектральные и спектрофотометрические измерения выполняли на спектрофотометре «Specord UV VIS» (ГДР). Для полного обесцвечинания эрительного пигмента в образцах их облучали светом с $\lambda > 540$ им в течение 2 мии.

Гель-фильтрацию экстрактов препаратов НСК и Ф47 проводили на предварительно калиброванной с помощью белков-маркеров и декстрана колонке (55 см×1 см) с сефакрилом S-200 («Pharmacia», Швеция) в 5 мМ трис- HCl, pH 8.0, 500 мМ NaCl, 0.1 мМ MgCl₂ и 0.1 мМ дитиотрентоле при скорости элюнии 5 мл/ч и температуре 4°. В качестве маркеров использовали очишенную ФДЭ НСП [7], димер и мономер сывороточного альбумина быка, овальбумин, миоглобин кашалота и декстран с M_r×10⁻³=180, 134, 67, 45, 18 и 2000 Д соответственно. Поглошение важната при 280 им регистрировали с помощью проточного денситометра «Uvicord S» («LKB», Швеция) при дание оптического пути 0,2 см. Объем собираемых фракций составлял 0,9 мл. ИЭФ экстрактов НСК и Ф47 в градиенте плотности сахарозы в диапазоне рН 3,5—10 проводили при 0° на колонке с рабочим объемом 35 мл при концентрации амфолитов («LKB», Швеция) 0.5% (по объему) и конечных значениях тока и напряжения 0.5 мА и 600 В в течение 24 ч. Объем собираемых фракиий-1 мл.

Центрифугирование препаратов НСК при 100000 g в течение 2 ч в линейном градиенте концентрации сахарозы (25—45%, вес/объем), приготовленном на буфере А. проводили в пробирках с объемом 35 мл

в темноте при 10—15° в роторе со свободно подвешенными стаканами. Препарат НСК, разбавленный в 2,5 раза буфером А (объем 1—1,5 мл. концентрация белка 1—2 мг/мл) наносили на поверхность предварительно сформированного градиента концентрации сахарозы. Нанесение препарата и сбор фракций проводили при слабом красном свете (λ >680 нм). Плотность раствора и концентрацию сахарозы в образцах определяли взвешиванием дозпрованного объема (100 мкл), отобранного из фракций.

Точность определения активности ФДЭ составляла 5—7%. Каждый из описанных в работе экспериментов был выполнен не менее 2—3 раз с практически одинаковыми результатами.

Результаты и обсуждение

Светоиндуцированные изменения спектральных характеристик препаратов НСК. Облучение препаратов НСК светом с $\lambda > 540$ им приводило к уменьшению их поглощения в диапазоне 430-650 им ($\lambda_{\rm M} = 520$ им) и его увеличению при длинах волн < 430 им ($\lambda_{\rm M} = 380-390$ им) (рис. 1). Последующая инкубация образцов в темноте в течение 1-2 ч, а также их дальнейшее облучение не вызывали дополнительных спектральных изменений. Однако спектральные изменения, аналогичные представленным на рис. 1, можно было наблюдать в ре-

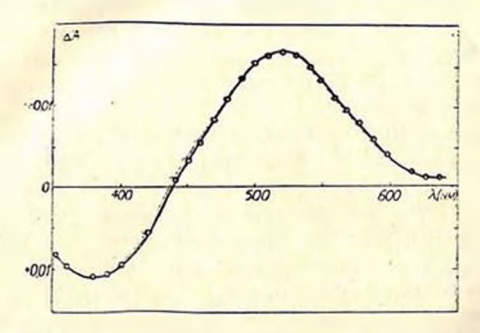


Рис. 1. Дифференциальный спектр, представляющий собой разность оптических плотиостей (ДА) обесцвеченного и темноадаптированного препаратов НСК (концентрация белка 3,6 мг/мл). По оси абсцисс—длина волы д (кМ). Длина оптического пути — 0.5 см.

зультате темновой инкубации светоадаптированных препаратов НСК с 11-цис-ретиналем (но не его транс-формой) и их последующего облучения светом.

Описанное спектральное поведение характерно для зрительных пигментов позвоночных, распадающихся при фотолизе на белковую часть и хромофор ретиналь в полностью-транс-форме ($\lambda_{\rm m}=380-390\,$ км) и восстанавливающих свои спектральные характеристики в ходе темновой реакции с 11-цис-ретиналем [12]. Следовательно, светочувствительный

пигмент препаратов НСК, по-видимому, является эрительным пигментом. Положение максимума его спектра поглощения (?., ~520 нм) указывает на то, что этот пигмент является эрительным пигментом НСК, а не НСП сетчатки суслика [11]. Спектральных изменений, свидетельствующих о присутствии светочувствительных пигментов в других препаратах, полученных при фракционировании сетчаток суслика, не наблюдалось.

Содержание зрительного пигмента колбочек в сетчатке суслика определяли путем измерения величины фотоиидуцированного уменьшения поглощения при 520 им в препаратах НСК, полученных из известного количества сетчаток. Значение молярного коэффициента экстинкции было равно 40000 M^{-1} см $^{-1}$ [12]. По данным 6 определений, выполненных на 4 независимо полученных препаратах НСК, сетчатка суслика содержала 65 ± 18 пмоль эрительного пигмента колбочек.

Близкая всличина получена нами в результате оценки, выполненной иным образом. Известно [12], что концентрации зрительных пигментов в фоторецепторах сумеречного и двевного зрения позвоночных близки и составляют около 3 мМ. Данные электронномикроскопического анализа [13, 14] позволяют рассчитать, что сетчатка суслика содержит 1,2—1,5·106 колбочек, наружные сегменты которых имеют длину ~ 7 мкм и диаметр ~ 2 мкм. Таким образом, их общий объем составляет 0,026—0,033 мкл. Следовательно, содержание зрительного пигмента колбочек в сетчатке суслика должно составлять около 80—100 пмоль. Это дополнительно свидетельствует о том, что присутствующий в препаратах НСК пигмент с $\lambda_{\rm M}$ ~ 520 им действительно является эрительным пигментом колбочек сетчатки суслика.

Характеристики ФДЭ препаратов НСК и Фл. Активность ФДЭ в препаратах S₁ составляла подавляющую часть (>95%) активности гомогената сетчаток и находилась в пределах 0.8—1 мкмоль сGMP в мин на сетчатку. 60—70% ферментативно<mark>й</mark> активности S_I было обусловлено препаратом НСК. При центрифугировании препаратов НСК в линейном градиенте концентрации сахарозы распределение активности ФДЭ и светочувствительного пигмента с $\lambda_{\rm M}$ при 520 им полностью совпадали (рис. 2), при этом пигмент и материал, обладающий активностью ФДЭ, локализовались в зоне с плотностью 1,12—1,13 г/см3 (концентрация сахарозы ~ 31—33%, вес/объем). Полобные значения плавучей плотности характерны для препаратов изолированных наружных сегментов фоторецепторов как палочек, так и колбочек сетчатки позвоночных [9]. Изложенные данные позволили предположить, что активность ФДЭ в препаратах НСК является результатом функционирования эндогенного фермента наружных сегментов фоторецепторов сетчатки суслика. В согласии с этим предположением в сравнительных экспериментах было показано, что ФДЭ в составе препаратов НСК сетчатки суслика подобна фоторецепторной ФДЭ НСП быка по чувствительности к действию трипсина и термостабильности (рис. 3). Высокая чувствительность к действию трипсина позволяет допустить, что в наружных сегментах фоторецепторов может присутствовать протеолитический фермент, участвующий в регуляции активности ФДЭ.

Процессы гидролиза сАМР и сGMP препаратами НСК хорошо описывались кинетикой Михаэлиса. Полученные значения кинетических характеристик представлены в таблице. Преимущественным субстратом реакции всегда являлся сGMP. Преинкубация препаратов НСК с трипсином увеличивала скорость гидролиза циклических нуклеотидов в 8—15 раз и заметно уменьшала всличины К_{т.}. Значения удельных скоростей гидролиза сАМР и сGMP варынровали от препарата к препарату, однако их отношение было постоянной величиной для всех исследованных образцов (см. таблицу). Близкими кинетическими характеристиками описываются и процессы гидролиза циклических нуклеотидов препаратами НСП сетчатки позвоночных [3—5, 8].

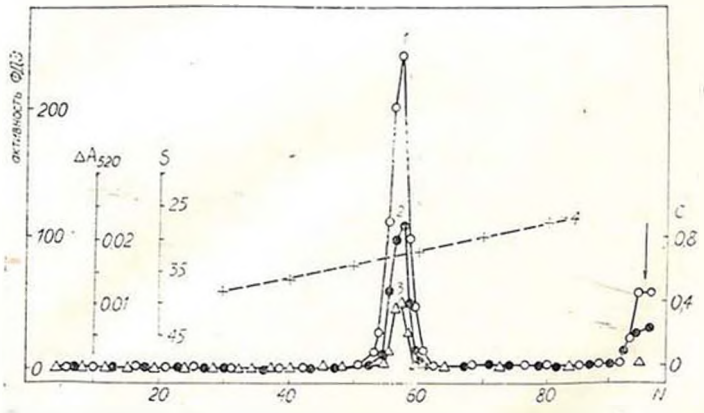


Рис. 2. Анална препаратов НСК методом центрифугирования в линейном градиенте концентрации сахарозы. N-номер фракции. I-активность ФДЭ при использовании в качестве субстрата 5 мМ сАМР (имоль сАМР в мин на фракции»); 2-концентрация белка С (мг/мл) во фракциях; 3-от-носительное содержание светочувствительного питмента с максимумом поглощения при 520 им, измеренное как разность поглощения фракций в кювете с длиной оптического пути 0,5 см при 520 им (ДА₅₂₀) до и после их облучения светом с $\lambda > 540$ им; $\lambda = 0.000$ концептрация сахарозы S (%, вес/объем). Вертинальной стрелкой отмечена яона в которую был внесен препарат НСК. Объем фракций—0,35 мл

Результаты дальнейших экспериментов дали основания считать, что ФДЭ препаратов НСК сетчатки суслика, как и ФДЭ сетчатки позвоночных [1, 3], является водорастворимым ферментом. В самом деле, общая активность ФДЭ в экстрактах НСК, полученных при гомогенизации препаратов НСК в растворе с инзкой ионной силой и последующего центрифугирования, составляла 70—80% общей ферментативной активности исходного препарата НСК. Последующий анализ экстрак-

тов НСК методами гель-фильтрации и ИЭФ показал (рис. 4), что ФДЭ, экстрагированная из препарата НСК, ведет себя как глобулярный белок с $M_{\rm r}$ около 180 кД и характеризуется значением р1 5,3—5,6. Такие результаты дополнительно свидетельствуют о подобии ферменга препаратов НСК и ФДЭ НСП сетчатки позвоночных [3].

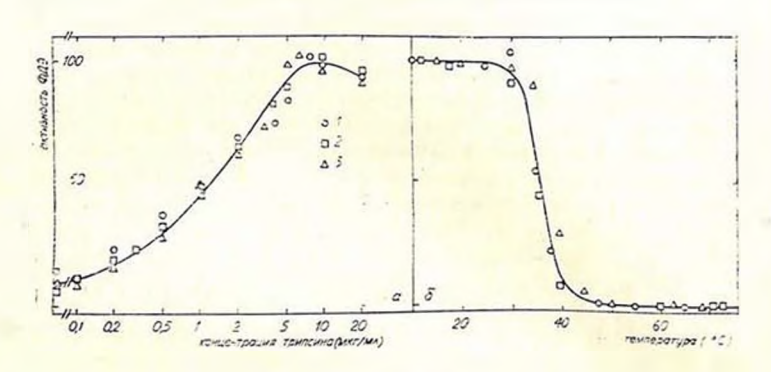


Рис. 3. Зависимости активности ФДЭ (в % от максимального значения) препаратов НСК (1). Ф (2) сетчатки суслика и НСП сетчатки быха (3) от концентрации трипсина (а) и температуры преизкубации (б): а—препараты НСК, Ф и НСП (кончные концентрации по белку 135. 160 и 50 мкг/мл соответственно) преинхубировали с трипсином в указамных концентрациях в течение 2 мин при 30°. Активность ФДЭ измеряли при 8 мМ сАМР (1, 2) или 2 мМ сАМР (3). Уровии ферментативной активности, принятые за 100%, составляли 0.8. 0.115 и 3 мкмоль сАМР в мин на мг белка препаратов НСК. Ф (4) и НСП соответственно: б—препараты преинкубировали в течение 10 мин при указанных температурах и быстро охлаждали до 10°. Значения укаслыюй скорости гидролизз 8 мМ сАМР, принятые за 100%, составляли 0.6. 0.08 и 9 мкмоль сАМР в мин на мг белка препаратов НСК. Ф (4) и НСП соответственно

Заметная часть (25—30%) активности ФДЭ в супернатантах S₁ принадлежала препарату Ф₄₇. Эксперименты показали, что фермент, ответственный за гидролиз сАМР и сGМР препаратами Ф₄₇, подобен ФДЭ препаратов НСК по кинетическим характеристикам (см. таблицу), чувствительности к действию трипсина и термостабильности (рис. 3). Общая активность ФДЭ в экстрактах препаратов Ф₄₇ составляла подавляющую часть общей активности исходного препарата Ф₄₇ (>90%), а поведение элюпрованной формы фермента при гель-фильтрации и ИЭФ не отличалось от поведения ФДЭ, присутствующей в экстрактах препаратов НСК. Таким образом, ферменты препаратов НСК и Ф₄₇, скорее всего, подобны. По-видимому, присутствие ФДЭ в препаратах Ф₄₇ связано с частичной экстракцией фермента из фоторещепторных структур в процессе гомогенизации сетчаток и фракционирования гомогенатов.

Препараты И-НСК подавляли активированный трипсином процесс гидролиза сАМР как в препаратах НСК сетчатки суслика, так и в препаратах НСП сетчатки быка, причем степень ингибирования была примерно пропорциональна количеству И-НСК (рис. 5, а, б.). Предварительная инкубация И-НСК с трипсином (10 мкг/мл) в течение 10 мин при 20° полностью подавляла его ингибирующую способность. Это может означать, что в составе препарата НСК присутствует белковый компонент, близкий по своей термостабильности и функциональной активности субъединице ФДЭ фермента НСП сетчатки позвоночных. В

Кинетические характеристики процессов гидролиза сАМР и сGMP препаратами НСК и Ф., сетчатки суслива

соли препаратами НСК и Ф47 сстчатки суслика				
Параметр	Режим измерения	Препарат		
	ФДЭ-активности	нск	Φ41	
KcA(uM)	без тринския	5.5±1.2	5.0+1,0	
KrG(MM)	бея триненна	0.25±0,10	0.3+0.12	
A.c. A.cy	без трипенна	1,2±0,3	1,3±0,4	
К ^{сА} (мМ)	с трипсином	1.5±0.3	1,2+0,4	
К ^{cG} (мМ)	с трипениом	0.10+0,03	0.11±0.03	
V.G. VCA	е тринениом	2.7±0.7	2,7+0,6	

Примечание. Индексы сА и сG при $K_{\rm in}$ и V означают субстрат (сАМР или сGMP соответственно), при испельзовании которого получены указанные в таблице значения. Каждое из приведенных значений является результатем измерений, выполненных не менее чем на трех исзависимо полученных препаратах.

последующих опытах было показано, что И-НСП подавляет гидролиз циклических нуклеотидов не только в препаратах НСП сетчатки быка, но и в препаратах НСК сетчатки суслика (рис. 5,8, г). Таким образом, субъединица ФДЭ из НСП сетчатки быка. по-видимому, может выступать в роли ингибитора фермента препарата НСК. Совокупность полученных данных хорошо согласуется с предположением о том, что присутствующий в препарате НСК сетчатки суслика фермент близок ФДЭ НСП сетчатки позвоночных.

В целях изучения принципов регуляции сСМР-специфичного фермента сетчатки: суслика мы выполнили ряд опытов с использованием супернатантов S₁, полученных из сетчаток животных, длительно адаптированных к темноте. Кратковременное облучение светом таких препаратов в присутствии 25 мкМ GTP быстро увеличивало скорость гидролиза сСМР (рис. 6, а): активность ФДЭ в образце, содержащем 10% обесцвеченного зрительного пигмента, была близка к активности фермента в полностью обесцвеченном препарате и составляла до 50% от величины активности ФДЭ в трипсинизированном супернатанте S₄ (рис. 6, а). В темноадаптированных супернатантах S₄ добав-

ление GTP не меняло активности cGMP-специфичной $\Phi A\Theta$ (рис. 6, a), однако, в согласии с полученными ранее результатами [7], в светоадаптированных образцах GTP увеличивал скорость гидролиза cGMP в 2—3 раза (рис. 6, б). Совокупность полученных данных позволяет предположить, что cGMP-специфичный фермент сетчатки суслика активируется при обесцвечивании эрительного пигмента, а GTP, как и в НСП сетчатки позвоночных, играет роль кофактора в процессе фотоактивации $\Phi A\Theta$.

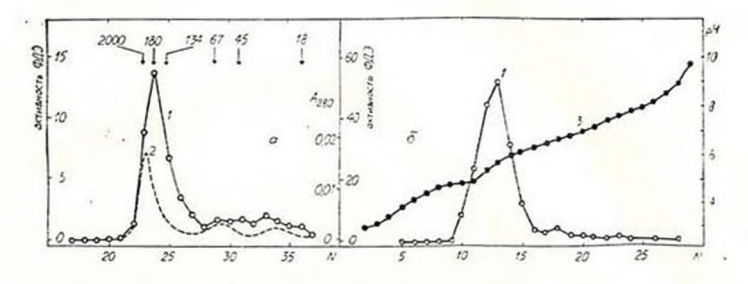


Рис. 4. Гель-фильтрация (а) и НЭФ (б) экстрактов препаратол НСК. Разделению подвергали 100 мкл (а) и 300 мкл (б) экстрактов с концев трацией по белку 0,8 мг/мл и величниой У.А. ФДЭ 1,2 мкмоль сАМР в мин на мг белка (при 8 мМ сАМР). N—момер фракции. Стрелками по казаны фракции. В которых элюмровались белки-маркеры и декстрэн указанных эначений М,×10-3. 1—эктивность ФДЭ (имоль сАМР в мин на фракцию). 2—поглощение элюэта при 280 им (А₂₈₀), 3—значение pH в полученных фракциях.

Известно [4, 5], что максимальная скорость гидролиза сGMP фосфодизстеразой НСП очень велика (~0.25 мкмоль сGMP в мин на пмоль фермента) и практически равна предельному значению V (ограниченному диффузией) для фермента с K_m около 10⁻⁴ М. Согласно данным настоящей работы, сGMP-специфичная ФДЭ фоторецепторов сетчатки суслика подобна ФДЭ НСП сетчатки быка по всем использованным для сравнения характеристикам. Это дает основание считать, что величина максимальной удельной активности фермента фоторецепторов сетчатки суслика не может значительно превышать приведенное выше значение V. Согласно нашим данным, сетчатка суслика способна гидролизовать 0.8—1 мкмоль сGMP в мин. Следовательно, фоторецепторные структуры этой сетчатки содержат не менее 3—4 пмоль ФДЭ.

Количество зрительного пигмента с $\lambda_{\rm M}\sim 520$ нм в сетчатке суслика составляет около 65 пмоль, следовательно на 100 молекул зрительного пигмента колбочек приходится не менее 4—6 молекул ФДЭ. Относительное содержание ФДЭ в НСП сетчатки позвоночных составляет около 2 молекул фермента на 100 молекул родопсина [4], а в сетчатке суслика палочки составляют не более 5% от общего количества фото-

рецепторных клеток [10]. Таким образом, результаты выполненного выше расчета фактически исключают возможность того, что гидролиз циклических нуклеотидов в препаратах сетчатки суслика является результатом функционирования ФДЭ НСП. Следовательно, обнаруженная нами сGMP-специфичная ФДЭ, скорее всего, является эндогенным ферментом колбочек.

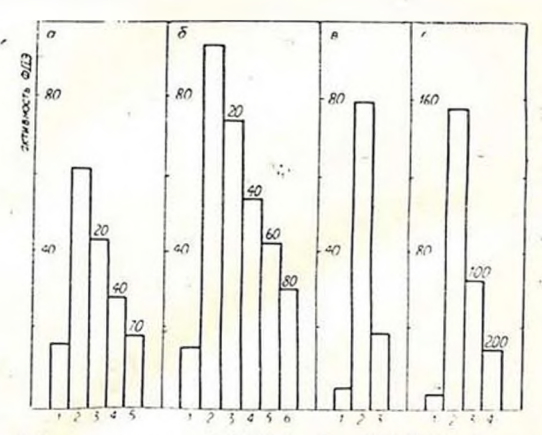


Рис. 5. Влияние препаратов И-НСК (а, 6) и И-НСП (в, 1) на скорость гидролиза 2 мМ сАМР (а, 6) и 10 мМ сАМР (а, 1) препаратами НСК сетчатки суслика (а, в) и НСП сетчатки быка (б, 1), 1, 2—активность ФДЭ (имоль сАМР в мин на пробу) в препаратах НСК и НСП до и после их инкубации с трипсином соответственно, 3, 6—активность ФДЭ в препаратах НСК и НСП после добавления указанных количеств (в мкл) препаратов И-НСК или И-НСП. Объем реакционной смеси—2 мл

Полученные нами данные показывают, что в НСК сетчатки суслика присутствует фермент, подобный ФДЭ НСП по своим кинетическим характеристикам во всех исследованных режимах его функционичувствительности к действию трипсина. термостабильности, поведению при его анализе методом гель-фильтрации, значению р. заметно активироваться в присутствии обесцвеченного врительного пигмента и GTP, а также ингибироваться термостабильным трипсининактивируемым белковым компонентом, функционально подобным субъединице ФДЭ НСП сетчатки быка. Результаты выполненного нами ранее исследования [7] позволяют предполагать, что в состав ФДЭ НСК сетчатки суслика входят субъединицы с Мг около 90 кД. Это хорошо согласуется с данными работы Hurwitz и соавт. [8], в которой было продемонстрировано, что НСК сетчатки позвоночных солержат фермент, иммунологически родственный ФДЭ НСП. Хотя поведение этого фермента при его анализе методом ИОХ несколько отанчалось от поведения ФДЭ НСП, он, как и ФДЭ НСП, обладал

ярко выраженной специфичностью к сGMP, имел в своем составе субъединицы с $M_r \sim 90~\text{к}$ Д и активировался в присутствии трансдуцина НСП и GTP [8]. Совокупность этих результатов, а также полученные нами данные, согласно которым содержание Φ ДЭ в НСК не ниже, чем в НСП, дают веские основания предполагать, что колбочки, как и палочки, содержат ферментативный каскад усиления эрительного стимула, ключевым элементом которого является Φ ДЭ, посредником—GTP-связывающий белок, а Φ играет роль диффузионного медиатора. Это заключение хорошо согласуется с данными о наличии в НСК GTP-связывающего белка [15] (по-видимому, несколько отличающегося от трансдуцина [16]) и высоком содержании в колбочках с Φ MP [17], способного, как и в палочках, управлять катионной проводимостью фоторецепторных мембран [18, 19].

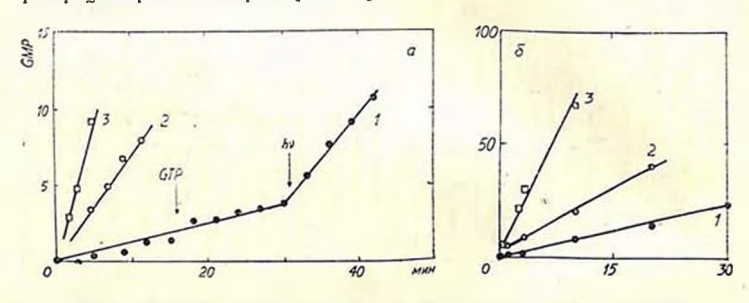


Рис. 6. Действие света (а) и GTP (а. б) на процесс гидролиза [14C] с СМР темиоздантированными (а) и светоздаттированными (б) препаратами супернатантов S, По оси абсинсс-премя реакции (мии). GMP-количество образовавшегося [14С] GMP (имоль) в резкцисниой смеси (объем 30 мкл). Реакции иниципровали добавлением [16] cGMP до конечных концентраций 3 мМ (а) и 2,5 мМ (б). Реакционная смесь содержала 3 мкл (a) и 15 мкл (б) препаратов S_т, полученных в результате двух пезависимых выделений: а-и отмеченные стредками моменты премени п реакционную смесь добавляли GTP до конечной концептрации 25 мкМ и облучали образен в течение 20 с светем с 1>540 им, обезначивав шим ~ 10% зрительного писмента. Кинетики лидослига [ВС] с СМР предварительно полностью обесциеченными и преинкубированными с 25 мкМ GTP препаратами S_т (2) или препаратами S_т , преинкубированными с трипсином в стандартных условиях (3), приведены для сравнения; 6-кинетики гидролиза [14C] cGMP светоздантированными пренаратами S, в отсутствие GTP (1), в присутствии 25 мхМ GTP (2) и после предварительной инкубации препарата 5, с тринсином в стандартных экспориментальных условиях (3)

Хорошо известно [20], что колбочка, в отличие от палочки, характеризуется относительно низкой чувствительностью, но обладает высоким быстродействием и способна работать в широком диапазоне интенсивностей света. Это предполагает наличие некоторых отличий в характеристиках систем фототрансдукции НСП и НСК. Поиску и исследованию таких этличий будет посвящена наша последующая работа.

CYCLIC 3',5'-GUANOSINEMONOPHOSPHATE PHOSPHODIESTERASE PROPERTIES AND CONTENT IN THE GROUND SQUIRREL RETINAL PHOTORECEPTORS OUTER SEGMENTS

KALININ E. V., ORLOVA T. G., FREIDIN A. A., ORLOV N. J.
Institute of Biological Physics of the USSR Academy of Sciences,
Poustehino, Moscow region, USSR

The cyclic nucleotides hydrolysis in the different preparations of cone-dominant ground squirrel retinas has been investigated. Data obtained indicate that this retina contains the cGMP-specific PDE (cGMP-PDE). The characteristics of this enzyme are very similar to those of cGMP-PDE in vertebrate retinal rod outer segments. This enzyme sediments with cone visual pigment containing membranes at sucrose density linear gradient centrifugation. The cGMP-PDE content in the ground squirrel retina has been estimated to be 4—6 copies of enzyme molecules per 100 molecules of cone visual pigment. These results suggest that cGMP-PDE is an endogenous enzyme of cones and may play an important role in phototransduction in vertebrate photopic vision receptor cells.

ЛИТЕРАТУРА

- Stryer L., Hurley J. B., Fung B. K.-K. Trends Biochem. Sci., v. 6, p. 245-247, 1981.
- Fesenko E. E., Kolesnikov S. S., Lyubursky A. L., Nature, v. 313, p. 310-313, 1985.
- Bachr W., Dewlin M. J., Applebury M. L. J. Biol. Chem., v. 254, p. 11669— 11677, 1979.
- Straramayya A., Harkness J., Parkes J. H., Gonzalez-Oliva C., Liebman P. A. Biochemistry, v. 25, p. 651-656, 1986.
- 5. Hurley J. B., Stryer L. J. Biol. Chem., v. 257, p. 11094-11099, 1982.
- 6. Dumler 1. L., Etingoff R. H., Biochim, et biophys. acta, v. 479, p. 474-484, 1976.
 - 7. Орлов Н. Я., Калинин Е. В., Орлова Т. Г., Фрейлин А. А., Иваницкий Г. Р. Докл. AH СССР, т. 286, с. 454—457, 1986.
- Hurwitz R. L., Bant-Milam A. H., Chang M. L., Beavo J. A. J. Biol. Chem., v. 260, p. 568-573, 1985.
- Matsumoto H., Takunaga F., Yoshizawa T. Biochim. et biophys. acta, v. 404, p. 300-308, 1975.
- 10. West R. W., Dowling G. J. J. Comp. Neurol., v. 159, p. 439-460, 1975.
- Jakobs G. H., Neitz J., Croguale M. J. Comp. Physiol., v. A156, p. 503-509, 1985.
- 12. Fein A., Shutz E. Z., Photoreceptors. Their role in vision. Cambridge Univ. Press, Cambridge, UK, 1982.
- 13. Anderson D. H., Fisher S. K. J. Ultrastruct. Res., v. 55, p. 119-141, 1976.
- DeVries G. W., Cohen A. I., Lowry O. H., Ferendelly J. A. Exp. Eye. Res., v. 29, p. 315-321, 1979.
- 15. Fukada Y., Aktno I. Photochem. Photobiophys., v. 11, p. 269-279, 1986.
- Grunwald G. B., Gierschik P., Nirenberg M., Spiegel A. Science, v. 231, p. 856

 859, 1986.
- Ortez R. A., Tamayo A., Johnson C., Sperling H. G. J. Histochem. and Cytochem., v. 31, p. 1305-1311, 1983.
- 18. Haynes L., Yau K .- W. Nature, v. 317, p. 61-64, 1985.
- 19. Cobbs W. H., Barkdoll A. E., Rugh Jr. E. N. Nature, 317, p. 64-66, 1985.
- 20. Paylor D. A., Nunn B. J. Methods Enzymol., v. 81, p. 403-423, 1982.





т. 6. № 4. 1987

УДК 616-908.939.633.2-92;616-008.931;577.152.311

Са²⁺-КАЛЬМОДУЛИНЗАВИСИМАЯ 5'-НУКЛЕОТИДАЗА ГИПОТАЛАМУСА КРУПНОГО РОГАТОГО СКОТА И ЕЕ РЕГУЛЯЦИЯ С-МОДУЛИНОМ

ГАЛОЯН А. А., ГУРВИЦ Б. Я., ШАРОВ<mark>А Н. П., А</mark>ЛЕКСАНЯН С. С. Институт биохимии АН АрмССР, Ереван

5'-нуклеотидаза (5'-НК) была выделена из растворимой фракции гипеталамуса быка с использованием МОХ на ДЭАЭ ТSK, аффинисій хрематеграфии на филил-гефарозе, с которой 5'-ПК сиязыпалась и присутствии Свет и элюнровалась буферох, содержащим ЭГТА да также аффиниой хрематеграфии на конканавалии А-сефарозе. Установлено, что выделенный фермент активируется более чем в б раз пед действием кальмодулина (КМ) в кемплексе с Св²⁺ (10⁻³ М). Полумаксимальный эффект наблюдался при концентрации КМ 5 - 10⁻⁷ М.

Наряду с этим продемонстрирована активация 5'-НК под влиянием термостабильного Са²⁺-неаависимого пентида (С-модулина), обиаруженного в составе фракции, содержащей кардиотронный нейрогормон «С», выделениой ранее на гинсталамуса быка. С-модулии проявлял более высокое сродство к ферменту по сравшению с КМ и активировал 5'-НК в отсутствие Са²⁺,

Высказано предположение о схедстве механизмев регуляции 5'-НК и других К.М-зависимых ферментов.

Согласно современным представлениям, подавляющее число процессов, регулируемых ионами кальция, происходит с участием Са²⁺-связывающих белков [1]. Одним из наиболее известных внутриклеточных рецепторов Са²⁺ является КМ [2]. Связывающие Са²⁺ индуцирует коиформационные изменения молекулы КМ, вызывающие увеличение степени ее гидрофобности. Вследствие этого белок-модулятор приобретает способность взаимодействовать с различными ферментами, белками, пептидами, компонентами мембран и низкомолекулярными соединениями.

В настоящей работе приведены новые данные о взаимодействии 5'-НК (КФ 3.1.3.5) гипоталамуса с Са²⁺ и с КМ. Они свидетельствуют о том, что пути регуляции этого Са²⁺, КМ-зависимого фермента аналогичны механизмам, характерным для других активируемых КМ систем. Наряду с этим продемоистрирована возможность активации 5'-НК под действием термостабильного пептидного фактора, обнаруженного в составе фракции, содержащей кардиотропный нейрогормон С», выделенный ранее из гипоталамуса быка [3]. Этот фактор был назван С-модули-

ном в связи с тем, что он, по всей вероятности, является модулятором кардиотропного действия нейрогормона «С», сопровождая его почти на всех этапах очистки, а также на основании его способности вызывать активацию фосфодиэстеразы ($\Phi \mathcal{A}$) циклических нуклеотидов, подобную КМ по характеру действия на фермент.

Материалы и методы

В работе были использованы следующие реактивы: 5'-АМР, 5'-GMP, ADP, ATP, дитиотрентол (ДТТ) («Reanal», Венгрия); ЭГТА («Calbiochem», США); 3-меркаптоэтанол («Merck», ФРГ); трис («Serva», ФРГ); хроматографические сорбенты: DЭАЭ ТЅК Тоуореагі 650 М, «Тоуо Soda», Япония), фенил-сефароза и конканавалии А-сефароза, а также сефакрил S-200 (Соп А-сефароза) («Pharmacia», Швеция); анионообменная смола Амберлит СС-400, 100-200 меш («Serva, ФРГ); пластины «Силуфол» («Kawalier, ЧССР); 2-метилманноза (2-ММ) была предоставлена сотрудником нашей лаборатории Возным Я. В. ²¹С] 5'-АМР и [¹¹С] 5'-GMP («Chemapol», ЧССР); остальные препараты марок х. ч. и ос. ч. («Союзхимреактив», СССР).

Фермент выделяли из гипоталамуса крупного рогатого скота в соответствии с методом, использованным ранее для очистки ФДЭ шиклических нуклестидов [4], модифицированным [5] на основе афинной хроматографии на фенил-сефарозе [6]. Ткань гомогенизировали в 2,5 мМ трис-HCl буфере, pH 7.0 (1:2.5), содержащем 1 мМ MgCl2, в отсутствие или в присутствии 0.1 мМ ЭГТА. Супернатант, полученный при центрифугировании гомогената (75 000 g, 60 мин) напосили на колонку (4×6 см) с ДЭАЭ ТЅК. Колонку промывали тем же буфером, содержащим 0,05 M NaCl. Элюцию проводили с использованием линейного и ступенчатого градиента NaCl (0,05-0,35 M). Элюат подвергали далее аффинной хроматографии на колонке с фенил-сефарозой (4×6 см). предварительно уравновещенной буфером, содержащим 1 мМ СаСl2. После промывки колонки элюцию осуществляли буфером, содержащим 5-10-1 М ЭГТА и 0.15 М NaCl, а затем тем же буфером с использованием непрерывного обратного граднента NaCl (0,15-0,00 М). Элюат наносили далее на колонку (1,2×1,5 см) с Соп А-сефарозоп, уравновешенную 25 мМ трис-HCl буфером, рН 7.0, содержащим 0.1 М NaCl, 1 мМ MgCl₂, 1 мМ CaCl₂ и 1 мМ MnCl₂. После промывки колонки элюцию проводили буфером, содержащим 0,1 М а-ММ. В некоторых случаях выделенный фермент подвергали гель-фильтрации на колонке (1,5×100 см) с сефакрилом S-200 со скоростью 10 мл/ч с применением 25 мМ трис-HCl буфера, рН 7.0, содержащего 0,1 NaCl и 10-4 М ЭГТА. Все операции проводили при 4°. Выход белка контролировали по изменению оптической плотности при длине волны 280 им.

КМ был выделен из мозга быка по методу Gopalakrishna, Anderson [6] с некоторыми модификациями [5]. Активность 5'-НК определяли двумя способами. В первом случает для этого использовали 10 мкл инкубационной среды, содержащей 50 мМ трис-HCl буфер, рН 7,0. 1 мМ MgCl₂, 5'-AMP и [14C]-5'-AMP (0,1 мкКи) или 5'-GMP и [14C] 5'-GMP (0,1 мкКи) в качестве субстрата, и определенное количество фермента элюированных с колонох фракций. Инкубацию проводили при 30° в течение различных промежутков времени. Реакцию останавливали в кипящей водяной бане. Продукты реакции разделяли с помощью ТСХ из силикателе и идентифицировали с применением свидетелей в ультрафиолете. Счет радиоактивности проб определяли с помощью жидкостного сцинтилляционного спектрометра типа «Intertechnique» (Франция).

Во втором случае продукты гидролиза, осуществляемого в инкубационной смеси объемом 100 мкл, разделяли с использованием анионообменной смолы «Амберлит». По окончании ферментативной реакции к пробам добавляли 0,5 мл смолы, суспендированной в воде (1:2). После центрифугирования производили счет радиоактивности супернатанта (8000 об/мин, 5 мии), содержащего [14С] аденозин, не сорбирующийся на смоле, в отличие от 5'-АМР. В первом случае использовали сцинтиллятор ЖС-106, во втором—ЖС-7А. Результаты рассчитывали по количеству гидролизованного субстрата с учетом остаточной радиоактивности проб в отсутствие фермента и уровня неспецифической сорбщии аденозина на понообменнике при полном гидролизе субстрата в присутствии избытка фермента.

Результаты и обсуждение

ИОХ растворимой фракции гипоталамуса быка на колонке с ДЭАЭ TSK выявила наличие двух пиков активности 5'-НК (рис. 1). Эти пики элюпруются при концентрации NaCl в буфере 0,15 и 0,25 M, соответственно. При аффинной хроматографии суммарного элюата пер-

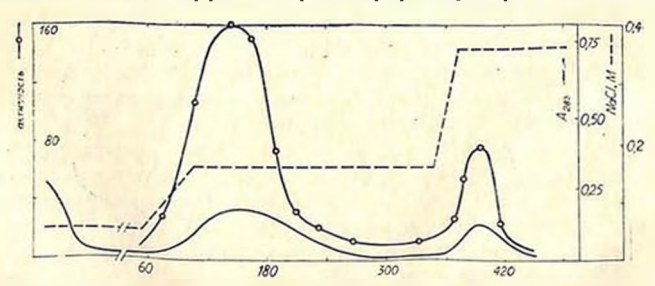


Рис. 1. Хроматография 5'-НК на колонке с ДЭАЭ ТЅК. По оси абсинссобъем элюата в мл; по оси ординат (слева)—базальная активность фермента (имоль 5'-GMP/мин) при концентрации субстрата — 5 мсМ

вого пика на фенил-сефарозе оказалось, что фермент обладает способностью связываться с гидрофобной матрицей при наличии Ca²⁺ (0.1 мМ), в отсутствие которого этого связывания не происходит. Возможность элюпрования связанного фермента с колонки с помощью ЭГТА (0.2 мM), специфично хелатирующего Ca^{2+} , свидетельствует о Ca^{2+} -зависимом взаимодействии 5'-НК с фенил-сефарозой. Можно полагать, что под влиянием Ca^{2+} происходят конформационные изменения молекулы фермента, приводящие к увеличению степени её гидрофобности. С фенил-сефарозы фермент также элюнровался двумя пиками (рис. 2, a). 5'-НК, выделенная в каждом из этих пиков, активировалась при добавлении Ca^{2+} .

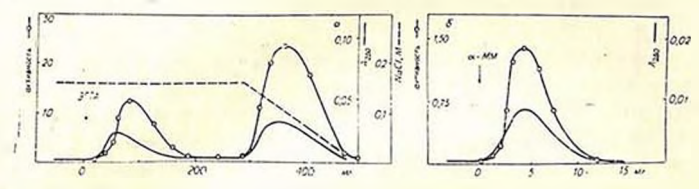


Рис. 2. а—хроматография 5'-НК на колонке с фенил-сефарозой. По оси абецисс—объем элюата в мл; по оси ординат (слева)—активность фермента в присутствии 5: 10-4 М ЭГГА (мюль 5' АМР/мин) при концентрации субстрата—5 мкМ, 6—хроматография 5'-НК на колонке с Со. А-сефарозой. По оси ординат (слева)—активность фермента (мкмоль 5'-АМР/мин при концентрации субстрата—5 мкМ

Далее фермент подвергали аффинной хроматографии на Con A-сефарозе. Оказалось, что 5'-НК, выделенная как в первом, так и во втором пиках с колоики с фенил-сефарозой, связывается в Con A в присутствии Mn^{2+} и Ca^{2+} (1 мМ) и элюируется буфером, содержащим 0,1 М α -ММ (рис. 2, δ). Это, вероятно, свидетельствует о том, что выделенная из растворимой фракции гомогената 5'-НК, подобно ферменту фракции мембран [7], является гликопротеином, имгющим в своем составе α -D-маннопиранозильные остатки. Чувствительность 5'-НК, элюированной с Con A-сефарозы, к активации в присутствии Ca^{2+} сохранялась. Зависимость активности 5'-НК от Ca^{2+} в диапазоне концентраций $10^{-8}-10^{-5}$ М имела сигмоидный характер (рис. 3, a). Полумаксимальная активация наблюдалась при концентрации Ca^{2+} 5· 10^{-7} М, что свидетельствует о высоком сродстве фермента к Ca^{2+} . Максимальный эффект достигался в присутствии 10^{-5} М Ca^{2+} . При дальнейшем попышении концентрации Ca^{2+} степень активации фермента снижалась.

Несомпенный интерес представлял вопрос о возможности регуляции активности 5'-НК под действием КМ. Результаты исследования показали, что 5'-НК, специфично элюпрованиая с Соп А-сефарозы, активируется КМ в присутствии 10⁻⁴ М Са²⁺ (рис. 3, 6). Чувствительностью к активации КМ обладала как первая, так и вторая форма фермента, выделениая с помощью фенил-сефарозы и подвергнутая дальнейшей очистке. При внесении в инкубационную смесь 1 мМ ЭГТА активирующий эффект не проявлялся. Это свидетельствует о том. что стимулирующее действие КМ на активность 5'-НК является Са²⁺-за-

висимым процессом. В большинстве случаев КМ в комплексе с Ca^{2+} активировал фермент приблизительно в 6 раз, кривая зависимости скорости реакции от концентрации КМ, так же как и в случае Ca^{2+} , носила сигмондный характер.

Кинетический анализ показал, что действие КМ выражается в увеличении V; сродство фермента к субстрату при этом не изменяется (Кт для 5'-АМР составляет 5 мкмоль). Отметим при этом, что адениловые нуклеотиды конкурировали с субстратом за активный центр: ADP (50 мкМ) и АТР (250 мкМ) полностью подавляли активность 5'-НК.

Полученные результаты свидетельствуют о том, что 5'-НК гипоталамуса является Са²⁺-зависимым ферментом. Наряду с этим было обнаружено, что термостабильный пептидный фактор-С-модулин, выделенный из состава фракций кардиотропного нейрогормона «С» [3], также способен активировать 5-НК, но Са2+-независимым способом. С-модулин в концентрации 1 мкг/мл стимулировал фермент в. 5-8 раз в отсутствие экзогенного Са2+ (рис. 4). При добавлении в инкубационную смесь 10-4 M CaCl₂ или 10-4 М ЭГТА результат не изменялся. С-модулин проявлял значительно большее сродство к 5'-НК по сравнению с КМ. Можно полагать, что при лимитированных концентрациях Са2+ или КМ в интактной клетке 5'-НК преимущественно регулируется С-модулинподобными пептидами, не требующими присутствия Са2+ для проявления своей активности. При этом нельзя исключить вероятность того, что в коронарорасширяющем влиянии нейрогормона «С» определенную роль играют С-модулины, которые способствуют образованию 5'-АМР из сАМР, а затем и аденозина. При этом необходимо принять во внимание данные, свидетельствующие о нейротрансмиттерных функциях аденозина в ЦНС, опосредованных пуринергическими рецепторами [7], а также о роли аденозина в регуляции сердечно-сосудистой дея-тельности [8].

Нам представляется, что 5'-НК по своим свойствам проявляет значительное сходство с другими КМ-зависимыми ферментами, которые обладают способностью активироваться Ca^{2+} в отсутствие экзогенного КМ. Наиболее характерными примерами этих ферментов могут служить кинаэа фосфорилазы [9] и фосфопротеинфосфатаза (кальцинейрии) [10]. Они могут стимулироваться Ca^{2+} двумя путями. С одной стороны, эффект возникает в результате взаимодействия Ca^{2+} с Ca^{2+} -связывающим белком, входящим в качестве субъединицы в состав фермента (в случае киназы фосфорилазы этим белком является КМ, в случае кальцинейрина—отличный от КМ белок с M_r =19 кД). С другой стороны, стимулирование активности обусловлено наличием у фермента дополнительного КМ-связывающего центра, к которому проявляет сролство комплекс Ca^{2+} -КМ.

Взаимодействие с КМ при минимально возможных в условнях клетки концентрациях Ca^{2+} ($<10^{-7}$ М), недостаточных для насыщения КМ, показано и для Ca^{2+} , Mg^{2+} -ATPазы [11]. Авторами высказано

предположение о том, что KM может быть слабо связанной субъединицей ATPазы. Оказалось, что фермент располагает, по крайней мере, двумя KM-связывающими центрами, а комплекс KM-ATPаза—тремя Ca^{2+} -связывающими центрами.

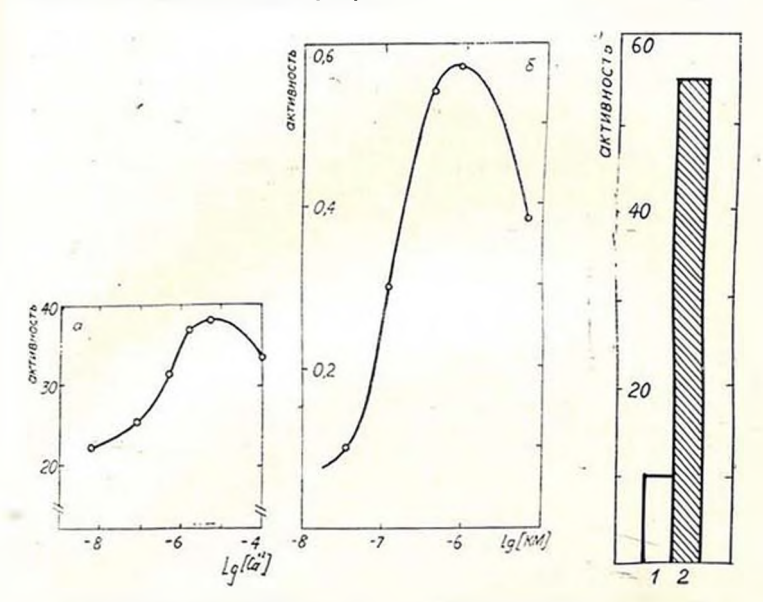


Рис. 3. Активация 5'-НК под действием Са2+ (а) и КМ в присутствии 10-4 М Са2+ (б). По оси ординат — активность фермента (имоль 5'-АМР/мин) при концентрации субстрата 5 мкМ Рис. 4. Активность 5'-НК (в мкмоль 5'-АМР/мин) в отсутствие и в присутствии С-модулина (1 мкг/мл)

По-видимому, и ФДЭ циклических нуклеотидов мозга крысы гакже обладает способностью к образованию прочного комплекса с KM в отсутствие Ca^{2+} . Одна из множественных форм фермента активировалась Ca^{2+} без экзогенного KM [12]. Ранее это свойство было продемонстрировано на ФДЭ легких [13]. Отмечалось, что ФДЭ моэга и сердца быка менее прочно связывает эндогенный KM, который легко отделяется от фермента под действием ЭГТА [14, 15].

В пользу существования промежуточного комплекса КМ ФДЭ, обладающего нивкой активностью, свидетельствует также тот факт, что лиссоциация КМ из тройного активированного комплекса КМ-Са²⁺-ФДЭ под лействием ЭГТА происходит медлению, в то время как инактивация ФДЭ—очень быстрый процесс.

На основании вышенэложенного можно сделать заключение, что наряду с известными Ca^{2+} -связывающими белками, к числу которых

относятся парвальбумины, тропонины-С, кальмодулин, легкие цепи мнозина, белок S-100 и др., роль рецепторов Са²⁺ могут играть ферменты, содержащие эти белки в составе ферментного комплекса. В то же время существует система пептидов в мозгу, оказывающих регулирующее влияние на активность ФДЭ сАМР и 5'-НК без участия Са²⁺ и кальмодулина.

5'-НК является гликопротенном и принадлежит к эктоэизимам во многих тканях, в том числе и в мозгу [17]. Первоначально Naidoo в 1962 г. было высказано мнение, что 5'-НК является миелиновым ферментем [18] и связана главным образом с аксолемой олигодендрогали. Нам же удалось выделить 5'-НК из растворимой фракции гипоталамуса.

Недавно было обнаружено, что выделенная нами 5'-НК гипоталамуса обладает также фосфодиэстеразной активностью (неопубликованные данные). При использовании псследовательных этапов очистки 5'-НК на ДЭАЭ ТЅК, фенил-сефарозе, голубой сефарозе, Соп А-сефарозе, сАМР-силикателе и сефакриле S-200 нами были получены пики активности 5'-НК, которые строго соответствовали пикам активности ФДЭ циклических нуклеотидов. Кроме того, была выявлена взаимосвязь между этими ферментами. Так, при исследовании начальных скоростей 5'-НК показано, что константа скорости реакции первого порядка в 100 раз выше в случае гидролиза 5'-АМР, образующегося из сАМР, по сравнению с гидролизом 5'-АМР, виссенного в пробирку извне. Полученные результаты позволяют предположить существование в гипоталамусе сопряженной системы ФДЭ—5'-НК.

Ca²⁺, CALMODULIN-DEPENDENT 5'-NUCLEOTIDASE FROM BOVINE HYPOTHALAMUS AND ITS REGULATION BY C-MODULIN

GALOYAN A. A., GURVITS B. Y., SHAROVA N. P., ALEXANYAN S. S.
Institute of Biochemistry, Arm. SSR Acad. of Sciences, Yerevan

5'-Nucleotidase has been purified from the soluble fraction of bovine hypothalamus by chromatography on DEAE—TSK, phenyl-and concanavalin A-Sepharose. Complex of calmodulin and calcium (the latter 10⁻¹ M) activates the enzyme more than 6-fold; calmodulin (5×10⁻⁷ M) induces half maximal activation.

In addition to that 5'-nucleotidase is activated by C-modulin—a thermostable Ca²⁺-independent peptide, previously identified in the preparation of neurohormone "C_n. C-modulin exerts a higher affinity to enzyme than calmodulin and activates it in the absence of Ca²⁺.

ANTEPATYPA

- 1. Kretsinger R. H. Ann. Rev. Biochem., v. 45, p. 239-266, 1975.
- 2. Cheung W. Y. Science, v. 207, p. 19-27, 1980.
- 3. Galoyan A. A. Neurochem. Res., v. 11, p. 759-787, 1986.

- 4. Galoyan A. A., Gurvitz B. Ya. Neurochem. Res., v. 10, p. 1467-1481, 1985.
- Бобрускин И. Д., Шайхин С. М., Муратова М. В., Баранова Л. Н., Северин Е. С., Биохимия, т. 52 с. 1344—1351, 1987.
- Gopalakrishna R., Anderson W. B. Biochem. and Biophys. Res. Commun., v. 104, p. 830-836, 1982.
- Nakamura S., Mimori Y., Iijima S., Nagata H., Yamao S., Kameyama M.—In: Physiology and Pharmacology of Adenosine Derivatives (eds. I. W. Daly, Y.-Kuroda, I. W. Phillis, H. Shimizu, M. Ui), p. 21-29, N. Y., Raven Press, 1983.
- 8. Arch J. R. S., Newsholme E. A. Biochem. J., v. 174, p. 965--977, 1978.
- Cohen P., Burchel A., Fculkes J. G., Cohen P. T. W., Vanaman T. C., Nairn A. C. FEBS Lett., v. 92, p. 287-293, 1978.
- Klee C. B., Krinks M. N., Manolan A. S., Cohen P., Stewart A. A. Methods in Enzymol., v. 102, p. 227-244, 1983.
- Alakhov V. Yu., Emelyanenko E. I., Shakhparonov M. I. Biochem. and Biophys. Res. Commun., v. 132, p. 591-697, 1985.
- Strada S. J., Martin M. W., Thompson W. J.—In: Advances in Cyclic Nucleotide and Protein Phosphorylation Res. (eds. S. I. Strada, W. J. Thempson).
 v. 16. p. 13—29, N. Y., Raven Press, 1984.
- Sharma R. K., Wirch E. Biochem. and Biophys. Res. Commun., v. 91, p. 338—344, 1979.
- Sharma R. K., Wang T. A., Wirch E., Wang I. H. J. Biol Chem., v. 255, p. 5916-5923, 1980.
- La Porte D. C., Toscano W. A., Storm D. R. Biochemistry, v. 18, p. 2820— 2825, 1979.
- 16. Галоян А. А. Нейрохимия, т. 6, № 1, с. 3-9, 1987.
- 17. Stefanovic V., Mandel P., Rosenberg A. Biochemistry, v. 18, p. 357-361, 1979.
- 18. Naidoo D. J. Histochem. Cutochem., v. 10, p. 421-434, 1962.
- 19. Mallol J., Bozal J. J. Neurochem., v. 40, p. 1205-1211, 1982.
- Centelles J. J., Franco R., Canela E. J., Bozal J. Neurochem. Res., v. 11. No 4, p. 471-479, 1986.

Поступила 19. V 1987.





T. 6, № 4, 1987

УДК 577.113

СОДЕРЖАНИЕ РАЗЛИЧНЫХ КЛАССОВ РНК В ГОЛОВНОМ МОЗГУ ПРИ ДЕИСТВИИ ПИРИМИДИНОВЫХ ЦИКЛИЧЕСКИХ НУКЛЕОТИДОВ И НУКЛЕОЗИДОВ

А. А., АЛАВЕРДЯН А. А., АЛАВЕРДЯН А. А., АЛАВЕРДЯН А. А., ХАЧАТРЯН В. Г., МИНАСЯНЦ Р. Т., ВАГРАДЯН А. Г., АДАМЯН М. Х.

Филиал ВНИИГИНТОКСа, Ереван

Изучено действие внутришистериально введенных пиримидиновых циклических пуклеотидов и нуклеозидов на генную экспрессию клеток головного мозга. Установлено значительное увеличение содержания я-РНК AU типа (пре-м-РНК), р-РНК и т-РНК в клетках мозга на 30- и 60-й мин после введения сСМР, сUMP, цитидина и уондина в концентрации 50 и 100 мкг/200 г массы животного соответственно. Оффект сСМР и цитидина оказался более значимым. Точкой приложения пиримидиновых циклических нуклеотидов сказались как нейроны, так и глиоциты. Однако активность синтеза исследуемых нукленновых кислот, а следопательно, и содержание различных форм РНК (в пг/клетку) в исйронах значительно выше, чем в глиоцитах. Показана однонаправленность действия сСМР и цитидина, а также сUMP и уридина на нукленновый обмен. Кроме подтверждения пажной биологической роли фосфодиофирной структуры циклических нуклеотидов в генной экспрессии, допускается возможность существования идентичных или близких механизмов в действии сСМР, сUMP и их соответствующих нуклесридов при связывании ими соответствующих реценторов или вовлечении в метаболические пути своими пиримидиновыми конфигурациями. Выдвинута идея о возможном образовании пиримидиновых Циклических нуклеотидов в живой клетке и существовании циклоцитидилат- и циклоуридилатчувствительной трансконпции.

Изучению механизмов синтеза и формирования различных классов РНК в клетках млекопитающих посвящен ряд работ [1—4], однако регуляторные механизмы биогенеза нукленновых кислот остаются недостаточно изученными. Головной мозг высших животных высокодифференцирован, нервные клетки не реплицируются после рождения [5]. Продолжительность жизни мозговой р-РНК колеблется в пределах 6—15 дней, что в два раза больше, чем в других тканях. Скорость синтеза предшественников РНК и их формирование, активность РНК-полимеразы,ядерно-цитоплазматический транспорт рибосом в мозгу значительно ниже, чем в печени [6], но, несмотря на эти особенности, зрелый мозг характеризуется относительной интенсивностью метаболизма РНК и белков [1, 7]. Функциональное состояние ЦНС базируется на рецеп-

торных перестройках и внутриклеточной медиации сигналов информации, в которых участвуют нейрогормоны, нейромедиаторы, пептиды, нуклеозиды, циклические пуклеотиды и другие соединения. За последние годы опубликован ряд работ о биологической роли пуриновых циклических нуклеотидов в генной экспрессии, контроле роста и пролиферации клеток [1, 4, 8, 9], об участии нейромедиаторов в индукции биосинтеза и регуляции уровней сАМР и сСМР посредством специфических циклаз и фосфодиэстераз в различных структурах мозга и других тканей. В клетках животных кроме пуриновых циклических нуклеотидов найден и идентифицирован пиримидиновый циклический нуклеотид 3′,5′-СМР [10], функция которого не выяснена. Не изучен вопрос о наличин в клетках и биологической роли сUMP, сТМР. Недостаточно исследована функция пиримидиновых нуклеозидов в механизме генной экспрессии.

Нами установлено стимулирование биосинтеза различных форм РНК в головном мозгу при внутрицистернальном введении пурциовых циклических нуклеотидов [3, 4]. В частности, показано, что 3'.5'-АМР стимулирует, в ссновнем, биссинтез р-РНК и т-РНК, а 3'.5'-GМР индуцирует снитез ядерной РНК АU тина (пре-м-РНК). 2',3'-АМР, как правило, выступает в качестве ингибитора бносинтеза всех форм РНК мозга. Характеристика различных форм РНК при действии пуриновых и пиримидиновых циклических нуклеотидов по критериям содержания ДНК, увеличения метки с применением [44] UMP в РНК-синтезирующей системе дана в нашей предыдущей публикации [11]. Для выяснения роли пиримидиновых циклических нуклеотидов и нуклеозидов в генной экспрессии клеток головного мозга в данной работе мы изучали содержание различных форм РНК в целом мозгу, нейронах и глиоцитах при действии экзогенно пведенных сСМР, сUMP, цитидина и уридина.

Материалы и методы

Исследования проводили на белых крысах-самцах массой 150—200 г. Первая серия экспериментов служила в качестве контроля. Животным других серий опытов внутрицистернально вводили сАЛР, сUMP, цитидин и уридин («Sigma», США), соответствению в концентрации 50 и 100 мкг/200 г массы животного. Концентрацию вводимых доз применяемых нами активных веществ определяли экспериментальным путем. Через 30 и 60 мин после введения соответствующих доз нуклеотидов или нуклеозидов животных подвергали замораживанию в жидком азоте. В холодильной комнате при 0° у замороженных крыс извлекали головной мозг, стделяли его от оболочек, крупных сосудов, гипофиза и нижележащих отделов. Корковое вещество большого мозга оставляли в холодильной комнате на 1 ч до повышения температуры до 2 и гомогенизировали в 0,25 М сахарозе в течение 2 мин в гомогенизаторе с тефлоновым пестиком. Гомогенат использовали для выделения я-РНК АU и GC типов, р-РНК и т-РНК. Выделение, очистку и количествен-

ное определение различных форм РНК проводили разработанным нами комбинированным методом фенольной экстракции, дифференциальной ультрацентрифугации и гель-фильтрации без предварительного гидролиза с последующей ультрафиолетовой спектроскопией и идентификацией полученных РНК с чистыми РНК («Sigma», США) [4]. Содержание РНК выражали в мкг/г свежей мозговой ткани-

Ядерная РНК. Изолированные при центрифугировании гомогената пои 600 g ядра суспендировали в 10 объемах 0.5 М трис-буфера. 6H 7,6. содержащего 0.003 M CaCl2, и перемешивали на мешалке в течение 3 мин при 600 g. Полученную суспензию центрифугировали в течение 15 мин при 1000 g. ДНК из осадка удаляли смешиванием с 20 объемами 1 M раствора NaCl. Для разрушения образующегося геля смесь интенсивно встряхивали и экстрагировали в течение 16 ч при 2°. Полученный вязкий раствор центрифугировали 15 мин при 40000 g на центрифуге «Spinco L-2-65К», осадок суспендировали в 10 объемах 0.05 М фосфатного буфера (рН 6.85), добавляли равный объем 90%-ного фенола, смесь встряхивали в течение 60 мин при комнатиой температуре и пентрифугировали 30 мин при 1000 д и 2°. В результате образовывалось четыре слоя: водный (РНК+полисахариды), промежуточный (нерастворимые белки), фенольный и осадок (белки+ДНК). В верхнем водном слое находилась я-РНК СС типа. Этот слой отсасывали, а фенольный и промежуточный промывали равным объемом 0,05 М фосфатного буфера, рН 6.85 и центрифугировали 20 мин при 2000 g. Надосадочную жидкость собирали, объединяли с водным слоем и доводили до конечной 2%-ной концентрации.

Получение я-РНК GC типа. я-РНК GC типа осаждали 2 объемами холодного 96° этанола. Осадок отделяли центрифугированием в течение 20 мин при 2000 g и 2°, растворяли в дистиллированной воде и я-РНК GC типа осаждали в водной фазе 2 объемами холодного 96°-ного этанола. После центрифугирования (2000 g, 20 мин, 2°) осадок растворяли в 20 мл дистиллированной воды и наносили на колонку с сефадексом G-200. Для выделения всех форм РНК использовали колонку размерами 18×180 мм с холодильной рубашкой, которую уравновешизали трис-HCl буфером, рН 7,02. После ианесения соответствующего раствора РНК проводили элюцию тем же 0,05 М трис-HCl буфером, рН 7,02, со скоростью 30—35 мл/ч и собирали элюаты по 3,5 мл.

Получение я-РНК АU типа. Объемами смеси этанол-эфир (4:1) и центрифугировали в течение 15 мин при 2000 g и 2°. После повторного центрифугирования к осадку добавляли 10 объемов дистиллированной воды и встряхивали на мешалке в течение 60 мин при комнатной температуре. Полученный экстракт центрифугировали 30 мин и к надосадочной жидкости приливали равный объем 90%-ного фенола и вновь встряхивали в течение 60 мин. После 30-минутного центрифугирования получали четыре слоя. Верхний водный слой, в котором находилась я-РНК АU типа, отсасывали и к нему лобавляли калий-ацетат до конечной

2%-ной концентрации. я-РНК AU типа осаждали добавлением 2 объемов колодного 96-ного этанола. Центрифугировали в течение 20 мин при 1000 g и 2°. Осадок растворяли в дистиллированной воде и наносили на колонку с сефадексом G-200.

Рибосомная РНК. Надосадочную жидкость, содержащую микросомы, центрифугировали на ультрацентрифуге «Spinco L-2-65 К» (ротор 65 т) в течение 60 мин при 2° и 105000 g. Осадок, содержащий микросомы и рибосомы, суспендировали в 3 мл 0.25 М сахарозы и центрифугировали на той же иситрифуге в течение 60 мин при 105000 g и 2°. Надосадочную жидкость и промывные воды, содержащие т-РНК, использовали для определения количества т-РНК, а осадок, содержащий микросомы и рибосомы, суспендировали в среде «А», содержашей 17,1 г сахарозы, 25 мл 0,2 M трис, 3,5 мл HCl, конечный рH 7,6; 5 мл 1 M HCl и 10 мл 0.1 M MgCl2. Перед применением в среду «А» добавляли 33 мл 3%-ного ДОХ-Nа и объем смеси доводили дистиллированной водой до 100 мл. Полученную суспензию центрифугировали в течение 45 мин при 2° и 105000 g. К осадку добавляли среду «В» промывания рибосом следующего состава: 11,7 г сахарозы, 25 MA 0,2 M TPHC, 3,5 MA 1 M HCl, 0,125 MA 1 M KCl, 0,4 MA 0,1 M MgCl2: объем водой доводили до 100 мл. Для депротеннизации полученного эсадка применяли смесь фенол-версен (90%-ный фенол и 10-2 М версен) в соотношении 1:1 из расчета 380 мл фенол-версена/4,0 г сырой мозговой ткани. К осадку (рибосомы) добавляли 10 мл смеси фенол-версен и суспендировали в течение 60 с в гомогенизаторе. Всю смесь переносили в колбу Эрленмейера, куда добавляли 1М бензоат натрия (рН 8,0) до конечной концентрации 0,2 М. Полученную суспензию встряхивали на магнитной мещалке в течение 30 мин при 20°, добавляли хлороформ в соотношении 100:5 и снова встряхивали в течение 30 мин при 20°. Добавление хлороформа способствовало лучшему отделению белков. Полученную суспензию центрифугировали при 2000 g в течение 10 мин при 2°. В результате образовывалось три слоя. В верхнем водном слое находились р-РНК и полисахариды. Большая часть белков растворялась в фенольном слое, часть белков оставалась на границе водной и фенольной фаз (промежуточный слой). Осторожно, не смешивая слои, верхний слой переносили в колбу Эрленмейера и к нему добавляли 90%-ный фенол в соотношении 1:1. Снова встряхивали в течение 20 мин пои 20° на мещалке. К суспензии добавляли хлороформ в соотношении 100:5 и встряхивали в течение 20 мии при 20°. Центрифугировали при 2000 g в течение 10 мин при 2°. Последнюю процедуру повторяли трижды, р-РНК осаждали добавлением к верхнему водному слою 3 объемов 96°-ного этанола при -6°, 20%-ного уксусновислого калия (в соотношении 1:10) и 10%-ного NaCl в тех же пропорциях и оставляли на холоде при -2°, несколько раз помещивая стеклянной налочкой. Затем центрифугировали при 2000 g и 2° в течение 15 мин. Осадок, содержащий р-РНК, растворяли в 40 мл дистиллированной воды. 10 мл этого раствора наносили на колонку с сефадексом G-200.

Транспортная РНК. Надосадочная фракция при 105000 g содержала исключительно т-РНК и се депротеннизация позволяла получить очищенную РНК. К надосадочной фракции добавляли равный объем 90%-ного фенола, встряхивали в течение 60 мин при комнатной температуре, затем центрифугировали при 2500 g в течение 25 мин. В результате образовывалось три слоя. Осторожно, не смешивая слои, верхний водный слой, в котором находилась растворенная т-РНК, отсасывали и к нему добавляли 90%-ный фенол в соотношении 1:1. Вновь встряхивали на мещалке 20 мин, добавляли хлороформ из расчета 5 мл на каждые 100 мл суспензии и встряхивание продолжали еще в течение 20 мин. После центрифугирования при 2500 g в течение 20 мин при 2° верхний слой отсасывали, к нему добавляли 1/10 объема 20%-ного уксуснокислого калия и т-РНК осаждали 2.5 объема холодного 96° этанола. Осадок отделяли центрифугированием, растворяли в 10 мл дистиллированной воды и наносили на колонку с сефадексом G-200.

Выделение нейронов и глиоцитов. Обогащенные фракции нейронов и гани выделяли по методу Blomstrand, Hamberger [12] и Henn [13]. Все процедуры выполняли в холодных условиях. Измельченную ткань коры головного мозга суспендировали в 15 мл среды, содержащей 7,5% поливинилпиролидона, 1%-ного бычьего сывороточного альбумина (БСА). 10 мM CaCl₂, и разрушали протягиванием через тефлоновый шприц (объем 10 мл), конец которого был закрыт нейлоновым ситом (размер пор 1000 мкм). Разрушенную мозговую ткань суспендировали в 35-40 мл среды, содержащей 0.3 М сахарозу, 10 мМ трис-НСІ буфер, рН 7,4, 1 мМ ЭДТА, 2%-ный фикола и 1%-ный БСА. Суспензию клеток последовательно без давления пропускали через нейлоновые сита с уменьшающимися размерами пор (1000, 110, 75, 50 мкм и двойной слой 50 мкм нейлонового сита). Конечную взвесь центрифугировали при 150 g в течение 5 мин и осадок суспендировали в 30%-ном растворе фиколла (конечная концентрация 20%). В 35 мл пробирках последовательно насланвали 5 мл 40%-ной сахарозы, 5 мл 30%-ного фиколла, 15 мл клеточной суспензии, 5 мл 15%-ного фиколла и, 5 мл 10%-ного фиколла, изготовленные в 1%-ном растворе БСА. Клетки разделяли центрифугированием при 54000 g 120 мин в роторе SW 28 на неитонфуге «Весктап L-2-65 К». Нейроны и ганоциты собирали пастеровской пипеткой и промывали 0,32 М сахарозой, содержашей 10 мМ трис-НСІ буфер, рН 7.4 и 1 мМ СаСІ2.

Чистоту изолированных клеточных фракций определяли фазоконтрастной микроскопией при увеличении в 400—1000 раз. Исследовали также препараты, окрашенные 0,1%-ным раствором метиленовой сини. Морфологическую целостность клеток определяли электронномикроскопическим исследованием.

Количество клеток в единице объема измеряли путем подсчета окращенных ядер в камере Горяева. Число ядер определяли в нескольких последовательных разведениях и выводили среднюю величину.

Результаты и обсуждение

Как показывают данные табл. 1. действие пиримидиновых циклических нуклеотидов приводит к значительным сдвигам в содержании исследуемых форм РНК в мозгу как на 30-й, так и на 60-й мин после Οба циклических нуклеотида (сСМР и сИМР) введения. вызывают достоверное повышение содержания р-РНК, т-РНК и я-РНК АU типа в мозгу во все сроки исследования. При этом сСМР выступает в качестве мощного стимулятора активности генетического аппарата неовных клеток и вызывает значительное повышение содержания всех изученных форм РНК. Особо следует отметить факт стимуляции биосинтеза я-РНК АU типа и р-РНК под действием сСМР. Содержание этих форм РНК на 30- и 60-й мин исследования по сравнению с контролем повышается соответственно на 40 и 57% и 37 и 45%. Значительное повышение содержания т-РНК отмечается и при действии cUMP, которое составляет 35 и 46% по сравнению с контролем соответственно в указанные сроки исследования. При этом достоверно повышается и содержание р-РНК и я-РНК АU типа.

В отличие от сСМР сUMР понижает содержание я-РНК GC типа 30-й мин исследования и достоверно повышает ее содержание на 60-й мин эксперимента. Известно, что я-РНК GC типа является предшественником р-РНК. В наших экспериментах уровень р-РНК исключительно высок при действии сСМР и сUMP (1772,70 \pm 14,97 и 1611,34 \pm 14,27 мкг/г соответственно), а уровень я-РНК GC типа при этом значительно ниже.

Данное явление, по-видимому, объясняется тем, что исследуемые циклические нуклеотиды, кроме стимуляции биосинтеза указанной РНК, которая в дальнейшем определяется в составе р-РНК, способствуют ее транспорту из ядра в цитоплазму и уменьшению ее ядерного пула.

Arisaws и соавт. [14] изучали эффект сСМР в переднем гипофизе в опытах in vitro. Было показано, что гипофизарное содержание сСМР по сравнению с другими органами значительно меньше, при стимуляции препаратом LH-RF оно не меняется, тогда как сAMP увеличивается. Это дало основание полагать, что сСМР метаболически инертен и менее активен. В противовес этому Helfman, Kuo [15] обнаружили способность гомогенной сСМР-фосфодизстеразы из печени свиным катализировать гидролиз как пиримидиновых, так и пуриновых циклических 2'.3'- и 3', 5'-нуклеотидов. При этом выявлен следующий ряд скорости гидролиза 2',3'-нуклеотидов: cCMP (100), cUMP (46), cGMP (28), сАМР (2) и циклических 3′, 5′-иуклеотидов—сАМР (25), сGMP (19) соответственно. Все циклические 2',3'-нуклеотиды оказались конкурентными ингибиторами гидролиза 3',5'-СМР. Авторы допускают, что в гидролизе пиримидиновых и пуриновых циклических 2',3'- и 3'.5'-нуклеотидов принимает участие единый центр каталитического участка сСМР. фосфодиэстеразы и данный фермент является первой и уникальной мультифункциональной фосфодизстеразон, способной гидролизовать различные и несходные по своей структуре пиклические нуклеотиды.

Полученные нами данные относительно стимуляции биосинтезаразличных форм РНК в нервной ткани под действием сСМР и сUMP могли быть интерпретированы как результат непосредственного действия этих внутриклеточных медиаторов, способных индуцировать генетический аппарат посредством их вовлечения в соответствующие рецепторы своей фосфодизфирной конфигурацией, или их коферментной активностью в процессе фосфорилирования соответствующих РНК-полимераз [4]. Кроме того, существует возможность их участия в биосинтезе цитидиловых и уридиловых полифосфатов с последующим их вовлечением в биосинтез РНК. При этом не исключается и роль пиримидинового участка структуры испытанных циклических нуклеотидов в индукции генетического аппарата. Для решения последнего вопроса в другой серии опытов мы изучали непосредственное действие пиримидиновых нуклеозидов—цитидина и уридина на процессы генной экспрессии нервных клеток.

приведенных данных (табл. 2) Из видно. что введенные питидин и уридин, в основном, оказывают аналогичное с пиримидиновыми циклическими нуклеотидами действие кислот. Содержание р-РНК, обмен нукленновых я-РНК AU типа значительно повышается во все следования. Сдвиги в содержании этих нукленновых кислот при действии цитидина оказались более выраженными. Изменение в содержании различных классов РНК при действии уридина, за исключением я-РНК GC типа, оказалось также значимым. В отличие от сСМР и сUMP их соответствующие нуклеозиды вызвали понижение содержания я-РНК GC типа. Данное понижение оказалось более выраженным при действии уридина. Подобный эффект в отношении я-РНК СС типа наблюдался и при действии сUMP на 30-ой мин исследования.

Анализ полученных однонаправленных сдвигов в нуклеиновом обмене при действин сСМР и цитидина, с одной стороны, сUMP и уридина—с другой, указывает на возможность существования идентичных механизмов действия пиримидиновых циклических нуклеотидов и соответствующих нуклеозидов на генную экспрессию. По-видимому, как циклические нуклеотиды, так и нуклеозиды занимают одни и те же рецепторы своими пиримидиновыми компонентами. Кроме того, не исключена возможность действия этих нуклеозидов в качестве нейротрансмиттеров в индукции биосинтеза сСМР и сUMP и проявления их эффекта на нуклеиновый обмен посредством увеличения их концентрации в первной ткани.

В пользу нашего предположения о возможном участии цитидина и сСМР в индукции биосинтеза нуклеиновых кислот свидетельствуют некоторые данные литературы по ингибиторному анализу. Показано, что арабинозилцитозин ингибирует полуконсервативный синтез ДНК [16, 17], возможно включаясь в цепь ДНК и оказывая ингибирующее влияние на процессы терминации, либо на конформационные изменения спиральной структуры ДНК [17].

Таблица I
Содержание различных классов РНК в мозгу при действин пиримидиновых
циклических пуклечтилов в мкг/г ткани

N. BUK	V	cCMP	AP.	сИМР	MP
NAGE FIN	Nontpoxe	30 мин	60 мин	30 мин	иим 09»
p-PHK	1232, 10 ± 12,80	1668,6±26.1*	1772,70±14.97*	1560,30±20.80*	1611.34±14.27
T-PHK	284.60±5,79	351,38+4,60+	382,56+6,32*	380,78+6.9,*	415.84+
8-PHK GC THITIA	53.69 ± 2.51	60,32+2,76	84,06+4.02	41,38+2,20*	76,90+
л-РНК АU типа	272,96±8,40	380,28±6,54*	425,26±7,42*	290,44±5,38	320,16士
Эбщая РНК	1843,35	2450.48	2664.58	2337,40	2424,24

Примечание. " р<0.001.

Содержание различных классов РНК в мозгу при действии пиримидиновых нуклеозидов в мкг/г ткани

Таблица ?

N DUK	7	Цитидии	(MIC	Уридии	Aun
NACC FIIN	avedinov	39 мии	60 мин	30 мин	60 мин
p-PHK r-PHK s-PHK GC runa s-PHK AU runa	1262,33±9,75 294,92±8,29 73,10±3,89 295,66±7,57	1618, 28±13, 91* 426, 18±9, 97* 61, 38±3, 81* 554, 36±8, 03*	1690,04±26.73* 462,78±6,41* 58.42±2,77* 582.50±7,64*	1473,08±13,09** 346,04±4,51** 38,52±1,98* 425,8±6,0*	1521,78+13.54* 437.64+5,29* 42,90+2,07* 464,54+7,98*
Общая РНК	1926,01	2660.20	2793,74	2283,40	2466,86

Введенный в организм цитидии, кроме стимуляции активности генетического аппарата в качестве биологически активного вещества, может подвергаться фосфорилированию и переходу в дезоксицитидиифосфат. Показано, что после внутривентрикулярного введения [³Н] цитидина [³Н] дезоксицитидии быстро исчезает из СМЖ и частично из мозга, где около 65% [³Н] дезоксицитидина переходит в [³Н] дезоксицитидинфосфат [18]. Дезоксицитидинуклеотиды образуются из цитидина рибонуклеотидредуктазой или транспортируется из крови в ЦСЖ и мозг специальной глубокой транспортной системой через спинальное сплетение [19]. После гомогенизации и субклеточного фракционирования мозговых срезов и инкубации с [³Н] дезоксицитидином в течение 30 мин увеличивается процентное соотношение [³Н] дезоксицитидиифосфатов и [³Н] ДНК, которые присутствуют в ядерной и митохондриальной фракциях всех отделов мозга.

На основания приведенных литературных и получениях нами данных по значительной индукции бносинтеза различных классов РНК, в особенности я-РНК АU типа и р-РНК, можно сделать вывод о возможности непосредственного участия цитидина и сСМР в процессах синтеза ДНК, в активации цитидинкиназы, ДНК-полимеразы, в механизмах терминации и конформационных изменений ДНК в процессе транскрипции и синтеза различных классов РНК в нервной ткани.

Изучение метаболизма уридина в сетчатке золотистых рыб при повреждении оптического нерва выявило увеличение захвата уридина и аденозина сетчаткой, мечения р-РНК и содержания РНК [20]. Повышение накопления радиоактивности и увеличение захвата уридина из экстрацеллюлярной среды или усиление метаболической ловушки можно было бы объяснить внутриклеточным фосфорилированием уридина. С помощью 5'-дезоксиаденозина показано, что нуклеозиды внутри клетки не фосфорилируются [21] и их поглощение одинаково для нормальной и поврежденной сетчатки. Биохимическая характеристика механизмов индукции биосинтеза РНК по результатам усиления метаболизма уридина в сетчатке при повреждении зрительного нерва могла бы иметь прямое отношение к природе инициации процессов нервной регенерации.

Для изучения процессов индукции генетического аппарата представляет определенный интерес также состояние активности тимидинкиназы в качестве маркера клеточной пролиферации и определяемой тотальной активности ферментов, обеспечивающих внедрение тимидина в ДНК [22]. Ашапкии и соавт. [23] показали усиление внедрения [3H] тимидина в ДНК коры мозга крыс при активном условном рефлексе избегания по сравнению с активным контролем.

В свете полученных по нуклеиновому обмену данных при действии пиримидиновых циклических нуклеотидов и нуклеозидов представляло особый интерес изучение содержания различных форм РНК в нейронах и глиоцитах. Для сохранения функции генома необходимы репаративные процессы, которые могли бы обеспечить функциональную целостность ДНК нейронов и направлены на синтез необходимых форм

Таблина 3

Содержание различных классов РНК в нейронах и глюцитах головного мозга (в мкг/г и иг/клетка) при действии пиримидиновых циклических пуклеотидов

C	Общая РНК	s-PHK GC THIRA	_{р-} РНК _{т-} РНК	PHK B	
рм РНК	нейроп	нейрон глия исйрон глия	нейрон глия пейрон глия	клетки	Виды
1734,75	783.97 945.78	30, 22±0, 79 23, 52±0, 56 102, 12±2, 91 135, 73±3, 98	548, 50±5, 93 654, 25±8, 85 108, 13±1, 74 132, 28±2, 06	же/г	Контроль
67,37	19,37	2,40±0,014 0,80±0,01 6,02±0,16 2,88±0,06	34,90±0,26 11,30±0,20 6,05±0,07 3,02±0,02	нг/клетка	роль
2366.30	1164.97 1201.33	31 33±0,35 38,28±0,09 256,34±3,94 273,67±4,20	680, 50 ± 1, 42 764, 13 ± 1, 65 196, 80 ± 3, 23 125, 25 ± 2, 47	мкт/г	eCMP
95,96	72.25 23.71	2,47±0.013 1.72±0,01* 15,11±0.05* 5.88±0,03*	43,66±0,02* 13,26±0,02 11,01±0,03; 2,85±0,02	, пг/клетка	MP
2218,64	1019,93	28,17+0,14 37,26+0,21 222,96+9,70 313,20+7,13	622,80±2,16 735,25±3,28 136,02±2,08 123,0±1,89	мк/г	U ₂
84,09	60, 68 23, 41	2,23+0,01 1,26+0,01 11,45+0,20* 6,64+0,12*	39,60+0.02* 12,70+0.02 7,70+0.002 2,81+0.02	пг/клетка	cUMP

Примечание. * достоперно по отношению к контролю.

РНК, нейроспецифических белков, ферментов и других веществ, хотя нейроны в моэгу зрелых животных незаменимы и неспособны к редупликации ядерной ДНК, связанной с митозом и образованием новых клеток. В экспериментах с внутрицистернальным введением сСМР и сUMP была выявлена интересная закономерность в распределении и количественных сдвигах различных форм РНК в нейронах и глиоцитах.

Как показывают данные табл. 3, содержание всех форм РНК в контрольных опытах в расчете на 1 г мозговой ткани в глиоцитах больше, чем в нейронах. При этом содержание р-РНК, т-РНК, я-РНК, АU типа в глиоцитах составляет 654.25±8,85: 132,28±2,06: 135,73±3,98 мкг/г против 548.50±5,93; 108.13±1.74; 102,12±2,91 мкг/г соответственно в нейронах. Однако при расчете содержания исследуемых форм РНК на 1 клетку обнаруживается противоположная картина в количественной характеристике изученных форм РНК. В расчете на 1 клетку содержание р-РНК, т-РНК и я-РНК GC и AU типов оказалось в 2—3 раза больше в нейронах, чем в глиоцитах. Оно в нейронах соответственно составляет 34,90±0,26: 6,05±0,07, 2,40±0,014: 6,02±0,16 пг/г клетка против 11.30±0,20; 3,02±0,02: 0,80±0,01 и 2,88±0,06 пг/клетка в глии. Таким образом, в норме содержание различных форм РНК в нейронах значительно больше, чем в глиоцитах. что, по-видимому, связано со специфической функцией генетического аппарата нейронов.

После установления контрольного фона содержания исследуемых форм РНК в непронах и глиопитах было испытано действие сСМР и сUMP, при этом выявлена однонаправленность в их действии на нукленновый обмен как в нелом мозгу, так и в нейронах и глиоцитах с характерными особенностями. Как и в контрольных опытах, при действии сСМР и сUMP содержание различных форм РНК в расчете на мкг/г ткани в глиопитах было больше, чем в нейронах, однако при пересчете на 1 клетку содержание всех форм РНК в нейронах по сравнению с контролем увеличилось почти в два раза. Хотя точкой приложения циклических нуклеотидов оказались как нейроны, так и глиоциты, была выявлена значительная разница в индукции биосинтеза РНК в указанных клеточных структурах. Активность синтеза нуклеиновых кислот в нейронах оказалась значительно интенсивней. Из данных табл. 3 видно, что содержание р-РНК, т-РНК я-РНК АU типа в нейронах при действии сСМР соответственно составляют 43,66±0,002: 11.01 \pm 0.03 и 15.11 \pm 0.05 пг/клетка, а в глии 13.26 \pm 0.02; 2.85 \pm 0.02 и 5,88±0,03 пг/клетка. Аналогичная закономерность отмечается и при действии cUMP. При этом содержание р-РНК, т-РНК и я-РНК AU типа в нейронах составляет 39,60 \pm 0.02; 7,700 \pm 0,002; 11,45 \pm 0,20. а в глиоцитах 12.70±0,02 и 6.64±0.02 пг. Хотя повышение содержания различных форм РНК в нейронах при действии сUMP также было достоверным, уровни исследуемых РНК колебались на сравнительно низких цифрах, чем при действии сСМР, Содержание т-РНК почти не изменялось или даже несколько понижалось в глиоцитах при действии сСМР и сUMP. В отношении содержания я-РНК GC типа в нейронах и глиоцитах была выявлена противоположная картина. В нейронах почти не отмечалось повышения его содержания, в то время как в глиоцитах оно имело место.

Таким образом. экзогенно введенные сСМР и сUMP оказались мощными стимуляторами биосинтеза р-РНК, т-РНК, я-РНК АU типа. Причем эффект применяемых циклических нуклеотидов в нейронах значительно больше, чем в глиоцитах. Интенсивность обмена РНК в нейронах ядер шва мозга крыс по сравнению с глиоцитами в условиях лишения сна показана и другими авторами [24].

На основании полученных нами и литературных данных можно заключить, что не исключается возможность образования в живой клетке пиримидиновых циклических нуклеотидов: подтверждается их важная роль в генной экспрессии и других биохимических механизмах при экзогенном их введении. Какова интенсивность образования сСМР, сUMP и, возможно, сТМР посредством своих специфических циклаз, если таковые имеются, метаболизируются ли они через соответствующие фосфодиэстеразы, каким изменениям подвергаются их уровни в нервной клетке при стимуляции различных рецепторов и выделении соответствующих нейротрансмитторов?—изучение этих вопросов, являющихся важнейшими аспектами современной молекулярной биологии и функциональной иейрохимии, станет задачей специального рассмотрения.

THE EFFECT OF PYRIMIDINE-CONTAINING CYCLIC NUCLEOTIDES ON THE CONTENT OF VARIOUS TYPES OF BRAIN RNA

KHACHATRIAN G. S., GALSTIAN H. G., ANTONIAN A. A., ALAVERDIAN A. A.,
KHACHATRIAN V. G., MINASIANTS R. T., VAHRADIAN H. G.,
ADAMIAN M. K.

An affiliate of VNIIGINTOX, Yerevan

The effect of intracysternally injected pyrimidine-containing cyclic nucleotides and nucleosides on the gene expression in brain cells has been studied. A significant increase in the content of nRNA AU type (pre-mRNA), r-RNA and t-RNA in brain cells 30 and 60 min after injection of cGMP, cUMP, cytidine and uridine in concn. of 50 and 100 mcg/200 g b. w. respectively has been established. The effect of cCMP and cytidine was more significant. Pyrimidine-containing cyclic nucleotides injected affect both neurons and glial cells. However, the activity of nucleic acids' synthesis and therefore the content of various forms of RNA (pg/cell) in neurons was greater than in glial cells. The effect of cCMP and cytidine, on one hand and of cUMP and uridine on the other hand on nucleic acid metabolism has been established. Besides the confirmation of a significant biological role of

phosphodiether structure of cyclic nucleotiJes in gene expression, a possibility of the existence of identical or similar mechanisms of action of cCMP, cUMP and corresponding nucleosides in the occupation of the corresponding receptors or involvement in the metabolic pathways with their pyrimidine moieties is supposed.

An idea about a possible biogenesis of pyrimidine-containing cyclic nucleotides in the living cell and existence of cyclocytidilate and cyclouridilate-sensitive transcription is put forward.

AHTEPATYPA

- 1. Perry R. P. Annu. Rev., v. 45, p. 605-630, 1976.
- Hadjalov A. A.-In subcell. Biochem. (ed. O. B. Roodyn), v. 7, p. 1-80, N. Y., Plenum Press, 1980.
- 3. Хачатрян Г. С.—В кн.: Циклические нуклеотиды, с. 73—78, М., Наука, 1979.
- Хачатрян Г. С. Биохимия нужденновых кислот и высшие функции головного мозга, Ереван. Айастан, 1981.
- Davison A. N., Dobbing J. Appl. Neurocham. (Eds. A. N. Davison, J. Dobbing).
 p. 253-286, Oxford. Blac well Scientific publ. 1968.
- Stoykova A. S., Dudov K. P., Dabeva M. D., Hadjalov A. A. J. Neurachem., v. 41, No 4, p. 942-949, 1983.
- 7. Lajta A., Dunlop D Life Sci., v. 29, p. 755-767. 1981.
- Pastan I. H., Johnson G. S., Anderson W. B. Annu Rev. Biochem., v. 44, p. 491

 522, 1975.
- 9. Goldberg N. D., Haddox M. F. Annu. Rev. Biochem., v. 46, p. 832-896, 1977.
- 10. Bloch A. Biochem. and Biophys. Res. Commun., v. 58, p. 652-659, 1974.
- 11. Галстян Г. Г., Захарян Р. А., Хачатрян Г. С. Пейрохимия, т. 5, с. 413-415, 1986.
- 12. Blomstrand C., Hamberger A. J. Neurochem., v. 16, p. 1401-1407, 1969.
- 13. Henn F. A. Adv. in cell Neurobiol., v. 1, p. 379-403, 1981.
- Arisaws M., Makino T., Lin H., Ohno T., Lizuka R. Endocrinol. Jpn., v. 29, No. 2, p. 241—244, 1982.
- 15. Helfman D. M., Kuo J. F. J. Biol. Chem., v. 257, № 2, p. 1044-1047, 1982.
- Cohen S. S.-In: Progr. Nucleic acid Research and Molecular Biology (eds. J. M. Davidson, W. E. Dohn), v. 5, p. 1-88, New-York, Acad. Press, 1966.
- 17. Hunter T., Francke B. J. Virol., v. 15, p. 759-755, 1975.
- 18. Spector R., Huntoon S. J. Neurochem., v. 40, No 5, p. 1481-1486, 1983.
- 19. Spector R., Huntoon S. J. Neurochem, v. 41, p. 1131-1136, 1983.
- Burell H. R., Dokas L., Agranoff B. W. J. Neurochem., v. 31, p. 289-298, 1978.
- 21. Kessel D. J. Biol. Chem., v. 253, p. 400-403, 1978.
- Ellims P. H., Gan T. E., Cosgrove L. Mol. and Cell. Biochem. v. 45, p. 113-116, 1982.
- Ашапкин В. В., Романов Г. А., Тушмалова Н. А., Ванюшин Б. Ф., Биохимия. т. 48, вып. 3, с. 355—362, 1983.
- 24. Маликов У. М., Панов А. Н. Физнол. жури. СССР, т. 67, № 10, с. 1506—1510, 1981.

Поступила 13. II. 1987



HEUDOXUMUN

т. 6, № 4, 1987

УДК 577.154+577.150.5+578.085.23

ОСОБЕННОСТИ РЕГУЛЯЦИИ АКТИВНОСТИ НЕКОТОРЫХ ГЛИКОЛИТИЧЕСКИХ ФЕРМЕНТОВ ПРИ ВОЗДЕЙСТВИИ ЭСТРАДИОЛА В КУЛЬТУРЕ КЛЕТОК НЕЙРОБЛАСТОМЫ

:НАЗАРЯН К. Б., "ГЕВОРКЯН Э. С., КАГРАМАНЯН М. С., ЕРОЯН Л. Г., МАНУКЯН К. Л., КАЗАРЯН Б. А.

Институт экспериментальной биологии АН АрмССР, *Ереванский госуларственный университет

Изучено действие астрадиола 17 в на активность ряда гликолитических ферментов в культуре клеток мышиной нейробластомы С1300. Установлено активирующее влияние острадиола на гексокиназу, фосфофруктокиназу и пируваткиназу (при отсутствии влияния на активность еполазы и D-фосфотлицеромутазы). В клеточных культурах фибробластов мыши и лимфоцитов человека активация этих ферментов была выражена значительно слабее. Определенной корреляции между процентом делящихся клеток в указанных культурах и повышением активности выявлено не было. Активирующий эффект астраднола на ферменты в клетках нейробластомы, видимо, отражает особенности регуляции гликолиза в нейронах, так как сходную картину воздействия эстраднола наблюдали в нервной ткани ій сіго.

Изучение действия физиологически активных соединений на функции головного мозга затруднено ввиду его морфо-функциональной гетерогенности и разнонаправленности динамики ряда протекающих в нем процессов. В связи с этим становится актуальным использование для нейрохимических исследований клонированных культур различных опухолей мозга нейронального и глиального происхождения. Как объект исследования они обладают рядом преимуществ: гомогенность морфологического состава, стабильность, сохранение ряда свойств, присущих нормальной ткани [1]. Поэтому для изучения воздействия стероидных гормонов, в частности эстрадиола, на нейроны в качестве модели избрали культуру клеток мышиной нейробластомы перевиваемой линии С1300, которая сохраняет целый ряд специфических свойств нейронов: типичная морфология клеток (аксоны, содержащие нейрофиламенты), генерация потенциалов действия, синтез ферментов метаболизма медиаторов, наличие нейроспецифической енолазы и др. [2]. С другой стороны, необходимо учитывать определенную специфику поведения клеток в условиях культивирования in vitro. В связи с этим в качестве

контроля нами были использованы две другие клеточные культуры: мышиных фибробластов (L-929) и суспензионная, в норме неделящаяся, культура лимфоцитов периферической крови человека. При культивировании указанных клеток была изучена активность ряда гликолитических ферментов: гексокиназы (КФ 2.7.1.2), фосфофруктокиназы (КФ 2.7.1.11), пируваткиназы (КФ 2.7.1.40), енолазы (КФ 4.2.1.11), D-дифосфоглицератзависимой D-фосфоглицеромутазы (КФ 5.4.2.1.).

Целью настоящей работы было выявление особенностей регуляторного влияния эстрадиола на гликолиз в клетках нейробластомы по сравнению с культурами других клеток, что может способствовать пониманию специфики энергетического метаболизма в нейронах, поскольку гексокиназа, еполаза и пируваткиназа в головном мозгу представлены, в основном, органоспецифическими формами, целесообразность экспрессии которых остается невыяснениой [3].

Материалы и методы

Условия культивирования клеток. В экспериментах были использованы следующие клеточные линии: клетки мышиной нейробластомы С1300, клон N2a, клетки фибробластов мыши липии L-929, клетки культуры лимфоцитов периферической крови человека. Клетки непробластомы и фибробластов мыши культивировали в модифицированной среде Игла с добавлением 10%-ной сыворотки крови крупного рогатого скота. До эксперимента клетки поддерживались в логарифмической фазе роста несколько генераций, а затем высевались в количестве 3×10° клеток на флакон. Выращивали клетки во флаконах Карреля при 37°. Длительность культивирования для клеток нейробластомы составляла 40. а для фибробластов—24 ч. Клетки дезагрегировали 0.25%-ным раствором трипсина. Культуру лимфоцитов получали из цельной периферической крови человека, которую гепаринизировали из расчета 25 МЕ гепарина на 1 мл крови. Выделение из крови очищенной популящии лимфоцитов. проводили в асептических условиях в градиенте плотности фиколл-верографина. Кровь, смешанную с равным объемом раствора Хенкса наслаивали на градиент в соотношении 3:1. Центрифугировали в течение 35 мин при 400 g при комнатной температурс. Выделенную и отмытую фракцию лимфоцитов переводили в культуру, содержавшую сыворотку крови крупного рогатого скота и модифицированную среду Игла в соотношении 1:3:12. Для стимуляции лимфоцитов к делению в культуру добавляли фитогемагглютинин (ФГА) (ІВЕ, Франция) из расчета 0.2 мл ФГА на 10 мл культуральной смеси. Культивирование проводили в течение 70 ч при 37°.

Обработка эстрадиолом. Эстрадиол 17β («Signia», США) растгоряли в 95%-ном этанолс и добавляли в культуру ех tempore за 3,5 ч до конца культивирования в конечной концентрации 25, 50, 100 мкг/мл. Контролем служила необработанияя, а также обработанияя этанолом культура. Дезагрегированные клетки собирали и дважды отмывали холодным раствором ЭДТА. Суспензию клеток обрабатывали в ультра-звуковом дезинтеграторе в трис-HC! буфере (рН 7.5) при 0° в течение 30 с.

Митотическая активность. Для определения уровня митотической активности используемых культур, а также выяснения возможного ее изменения под действием эстрадиола были получены препараты метафазных хромосом. После инкубации с эстрадиолом во флаконы с клет-ками нейробластомы добавляли свежую среду с добавлением колхицина (0,25 мкг/мл) за 2 ч до фиксации. Гипотоническую обработку проводили 0,55%-ным раствором КСІ при 37° в течение 7 мин. Клетки фиксировали свежеприготовленной охлажденной смесью метанол-ледяная уксусная кислота (3:1). Суспензию клеток наносили на охлажденные предметы стекла и окрашивали азур-эозином в течение 5 мин. Подсчитывали количество митозов на 1000 клеток.

Определение белка и ферментативной активности. Содержание белка в пробах определяли по методу Lowry и соавт. [4]. Активность гексокиназы, фосфофруктокиназы и пируваткиназы определяли спектрофотометрически, при длине волны 340 нм на спектрофотометре «Specord М-40» (Garl Zeiss, ГДР) в непрерывном режиме регистрации. Гексокиназная реакция сопряжена с глюкозо-6-фосфатдегидрогеназной и за ее активностью следили по приросту NADPH. Инкубационная смесь для определения активности гексокиназы содержала: 50 мМ трис-НСІ (pH 7.5), 45 мМ HEPES, 3.7 мМ D-глюкозы, 7.5 мМ MgCl₂ 220 мМ АТР, 25 мг/ма NADP, 1 ед. глюкозо-6-фосфатдегидоогеназы. Активность фосфофруктокиназы определяли по убыли NADP в сопряженной системе, содержавшей 50 мМ Na+-фосфатного буфера (рН 8.0). 1 мМ ЭДТА, 0.02 мМ дитиотрентола, 5 мМ MgCl₂, 25 мМ KCl, 0.5 мМ NH₄Cl, 0,2 мМ NADH, 0,1 мМ фруктозо-6-фосфата. 0,5 мМ ATP. 2 мМ фосфоснолпирувата, 30 мкг/мл дактатдегидрогеназы и 60 мкг/мл пируваткиназы. Пируваткиназиую активность определяли по убыли NADH в сопряженной системе, содержавшей 50 мМ трис-HCl буфера (рН 7,5): 0,8 мМ фосфоенолпирувата, 6 мМ MgCl₂, 3 мМ АДР, 100 мМ КСІ, 0.13 мМ NADH, 1 ед. лактатдегидрогеназы. Активность енолазы определяли по Baranowski [5], а D-фосфоглицерамутазы по Grisolia [6]. Общий объем смеси составлял 0,5 мл. Ферментативные реакции запускали добавлением 100-300 мкг белка в пробе и проводили при температуре 30° в течение 5—15 мин. Активность ферментов выражали в процентах по отношению к контролю. Результаты обрабатывали статистически с использованием 1-критерия Стьюдента [7].

Результаты и обсуждение

Результаты измерения активности фосфофруктокиназы, гексокиназы, пируваткиназы, снолазы и фосфоглицеромутазы показывают (рис. 1). что при инкубации культуры клеток нейробластомы с эстрадиолом имело место статистически достоверное повышение активности для первых трех ферментов. Ключевые гликолитические ферменты, гексокиназа и фосфофруктокиназа, наряду с пируваткиназой, относятся к числу

регуляторных, функционирующих по неравновесному типу [8]. Повышение активности этих ферментов по сравнению с контролем под влиянием эстрадиола имеет важное функциональное значение, так как приводит к активации гликолиза в целом. При 3,5-часовой экспозиции это наиболее отчетливо выражается при воздействии 25 и 50 мкг/мл эстрадиола 17β. Активность же функционирующих по «равновесному» типу двух других ферментов—енолазы и фосфоглицеромутазы оставалась на уровне контрольной. Поскольку енолаза и фосфоглицеромутаза не выявили какой-либо тенденции к изменению активности при воздействии эстрадиола, а в литературе нет указаний на их индуцибельность, дальнейшие исследования проводили только на регуляторных ферментах гликолиза.

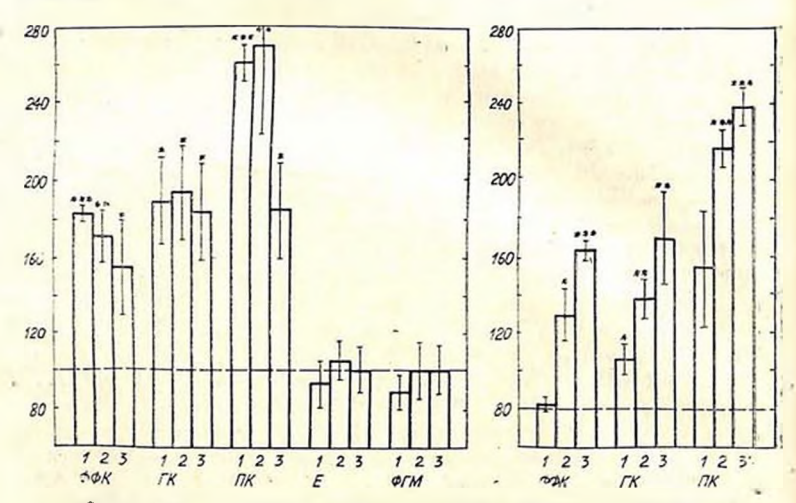


Рис. 1. Действие острадиола 17 β в различных дозах на активность фосфофруктокиназы (ФФК), гексокиназы (ГК), пируваткиназы (ПК), еполазы (Е) и фосфотлицеромутазы (ФГМ) культуры клеток нейробластемы при 3,5-часовой инкубации. По оси ординат—процент ферментативной активности по сравнению с контролем (100%). Концентрации эстрадиола: 1—25 мкг/мл, 2—50 мкг/мл и 3—100 мкг/мл, ° ρ <0.05, ° ρ <0.01, ° ρ <0.01, n=5

Рис. 2. Действие эспрадиола (50 мкг/мл) на активность ФФК, ГК и ПК при различных сроках экспозиции гормова. 1—1 ч, 2—2 ч, 3—3,5 ч. Остальные обозначения, как на рис. 1

Повышение активности атих ферментов при воздействии эстрадиола обнаружено нами в мозгу крысы в условиях in vivo [9]. При этом было показано, что ингибирование биосинтеза белка на стадии траискрипции снимало эффект активации: таким образом, можно допустить, что последняя имела место в результате синтеза исследуемых ферментов de novo. В условиях культуры ткани временная зависимость между

добавлением гормона в среду и ферментативной индукцией может быть иной, чем в опытах *in vivo*, поэтому было изучено действие эстраднола при различных сроках после его добавления (рис. 2). Оказалось, что повышение активности фосфофруктокиназы, гексокиназы и пируваткиназы зависело от продолжительности инкубации культуры клеток с гормоном и достигало максимума при 3—3,5-часовой экспозиции. Такой результат совпадает с литературными даиными, полученными при изучении гормональной индукции ряда ферментов *in vitro* [10]. Следовательно, и по этому параметру культура клеток нейробластомы может служить адекватной моделью нервной ткани.

Другая, интенсивно делящаяся в норме клеточная линия фибробластов китайского хомячка также обнаруживала тенденцию к повышению ферментативной активности фосфофруктокиназы и гексокиназы при воздействии эстрадиола, однако оно оказалось статистически достоверным только в случае гексокиназы при двух концентрациях эстрадиола, но и при этом процент прироста активности был значительно ниже, чем в опытах с нейробластомой (рис. 3, а).

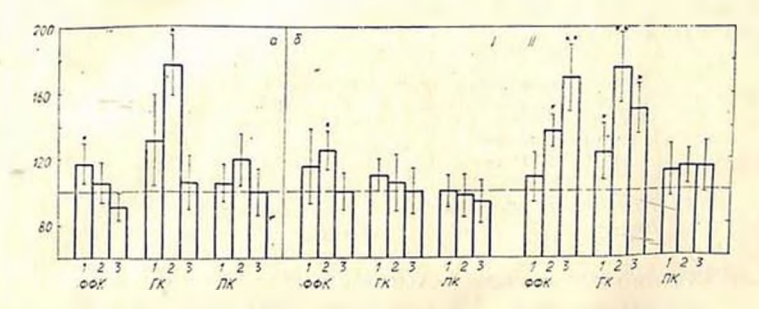


Рис. 3. Действие эстрадиола в различных дозах на активность ФФК. ГК. ПК культуры клеток фибробластов (а) и лимфоцитов (б). I—без стимуляции. II—стимулированные; остальные обозначения, как на рис. 1

Чтобы выявить возможность существования взаимосвязи между способностью клеток к делению и степенью чувствительности регуляторных ферментов гликолиза к эстрадиолу для дальнейшей работы была использована неделящаяся культура клеток лимфоцитов периферической крови человека. Как видно из рис. 3, 6, при тех же воздействиях эстрадиолом активность указанных ферментов статистически достоверно не менялась. Однако, если лимфоциты стимулировать к делению митогеном-ФГА, картина изменялась. Эстраднол достоверно активировал гексокиназу и фосфофруктокиназу, повышая таким образом активность гликолиза в целом. Это наблюдение хорошо согласуется с литературными данными об активации гликолиза и окислительного фосфорилирования в стимулированных лимфоцитах [11]. Тем не менее, надо подчеркнуть, что несмотря на достоверную активацию фосфофруктокиназы и пируваткиназы в стимулированных лимфоцитах и некоторое повышение активности в фибробластах, ни в одном на этих случаев степень повышения активности не доходила до уровня, наблюдаемого в клетках нейробластомы. Интенсивность клеточного деления пои этом не играет существенной роли, о чем свидетельствуют результаты определения митотического индекса для этих клеточных культур (табл.). Установлено, что воздействие эстрадиола в дозе 25 и 50 мкг/мл несколько снижало темп деления в культуре нейробластомы и довольно значительно-в культуре фибробластов, а доза 100 мкг/мл оказалась явно токсичной для них. Таким образом, поскольку эстрадиол в концентрации 25 и 50 мкг/мл при 3-часовой инкубации не оказывал заметного влияния на митотический индекс культуры нейробластомы, вероятно, эти дозы не оказывали выраженного токсического эффекта. Однако при хроническом 4-дневном введении эстрадиол, как и дексаметазон, вызывал весьма сильное токсическое действие уже в дозе 10 мкг/мл [12], что необходимо учитывать при хронических экспериментах. Иначе обстоит ситуация в стимулированных лимфоцитах. Имея значительно меньший митотический индекс, их деление активировалось при дозах эстрадиола 25 и 50 мкг/мл и возвращалось к контрольному уровню при дозе 1000 мкг/ма.

Записимость пеличины митотического индекса от различных

Концентрация эстра- диола, мкг/мл	Контроль		50	100
Митотический индекс	16	20	33	16

Все это свидетельствует о том, что степень активации эстрадиолом регуляторных ферментов гликолиза непосредственно не связана со скоростью деления клеточной популяции. Вероятно, индуцибельность изученных ферментов в клетках нейробластомы—свойство, присущее и нейронам in vivo, которые в норме не делятся. Таким образом, можно с определенной долей вероятности утверждать, что культура клеток нейробластомы по механизму регуляции гликолиза при воздействии стероидных гормонов находится ближе к нейронам in vivo, чем к клеточным культурам фибробластов и делящихся и неделящихся лимфоцитовым культурам фибробластов и делящихся и неделящихся лимфоцитов Дополнительным свидетельством этого является факт значительной активации пируваткиназы, наблюдавшийся только в культуре нейробластомы. так как из литературных данных [13] следует, что только в нервной ткани пируваткиназа обнаруживает некоторые регуляторные свойства.

PECULIARIETIES OF ESTRADIOL EFFECT ON THE ACTIVITY OF SOME GLYCOLYTIC ENZYMES IN NEUROBLASTOMA CELL CULTURE

NAZARYAN K. B., *GEVORKIAN E. S., KAGRAMANYAN M. S., EROYAN L. G., MANUKYAN K. L., KAZARYAN B. A.

> Institute of Experimental Biology, Arm. SSR Acad. Sci., Yerevan *Yerevan State University

Estradiol 176 induces activity of hexokinase, phosphofructokinase and pyruvate kinase in the cell culture of mouse neuroblastoma C 1300 much more pronouncedly than in the culture of mouse fibroblasts and human lymphocytes. No definite correlation between the percent of dividing cells and increase in the enzyme activity has been established in these cell cultures. It is supposed that the drastic activating effect of estradiol 179 on the neuroblastoma enzymes is due to the peculiarities of glycolysis regulation in neurons because a similar pattern of estradiol 178 action is described for nervous tissue in vivo conditions.

λ ИТЕРАТУРА

- 1. Haffke S. G., Seeds N. W. Life Sci., v. 16, No 11, p. 1649-1658, 1975.
- 2. Amano T., Richelson E. Proc. Nat. Acad. Sci. USA. Biol. Sci., v. 69, No 1, p. 258-263, 1972.
- 3. Keller A., Scarns H., Nermet A., Pujol I. -F. J. Neurochem., v. 36, No 4, p. 1389-1397, 1981.
- 4. Lowry O. H., Rosenbrough N. I. J. Biol. Chem., v. 193, No 2, p. 265-275, 1951.
- 5. Baranowski T., Wolna E.-In: Methods in Enzymology, v. 42, p. 335-338, N.-Y. Acad. Press., 1975.
- 6. Grisolia S., Carrerac I.-In: Methods in Enthymology, v. 90, p. 435-450, N.-Y Acad. Press, 1982.
- 7. Лакин Г. Ф. Биометрия, М., Высшая школа, 1973.
- 8. Ньюсхолм Э., Старт К. Регуляция метаболизма, М., Мир. 1977.
- 9. Назарян К. Б., Геворкян Э. С., Костанян А. А., Акопян Н. С., Паносян Г. А. Жури, невропатол, и психнатрии, т. LXXXVII, вып. 6, с. 870-873, 1987.
- 10. Протасова Т. Н. Гормональная регуляция активности ферментов. М., Медицина, 1975.
- 11, Линг Н. Р. Стимуляция лимфоцитов, М., Медицина, 1971.
- Sandquet D., Williams T. H., Sahu S. K. Exper. Cell Res., v. 113, No 2, p. 375-381, 1978.
- 13. Rolleston F. S., Newsholme E. A. Biochem. J., v. 104, No 3, p. 524-533, 1967.

Поступила 17. 11 1987





n 6, № 4, 1987

VAK 576.8.097.2+612.82+616.834

ФИЗИКО-ХИМИЧЕСКАЯ ХАРАКТЕРИСТИКА ВИДОНЕСПЕЦИФИЧЕСКИХ БЕЛКОВЫХ АНТИГЕНОВ МОЗГА, ЯВЛЯЮЩИХСЯ МИШЕНЯМИ АУТОАНТИТЕЛ ПРИ НЕКОТОРЫХ НЕРВНО-ПСИХИЧЕСКИХ ЗАБОЛЕВАНИЯХ ЧЕЛОВЕКА

ПОЛЕТАЕВ А. Б., СЕЛИФАНОВА О. П.

Институт пормальной физиологии им. П. К. Апохина АМН СССР, Москва

С помощью твердофазного иммуноферментного анализа и тест-системы ангигенов (АГ; фракции тритон-мочевшиного экстракта мозга крыс, разделенного на 12 дон отличающихся по значениям об составляющих их белков) в крови больных шизофренкей, эпилепсией и рассеянным склерозом обнаружено наличие «антимозговых» ауто антител (а-АТ), спектры конкретной АГ направленности которых были специфичны для каждой из исследованшихся нозологических форм. Наряду с этим, в крови 75— 80% больных нервно-психическими заболеваниями, независимо от диагноза, выявлялись a-AT к мозгоспецифическим бедкам группы S-100. С помощью иммобилизованных на протени А-сефарозе (ковалентная сшивка) «антимозговых» а-АТ, иммуноаффинно полученных из крови больных шизофренией и эпиленсией, и экстрактов мозга крыс было выделено соответственно 11 и 5 белков, специфически связывающихся «шизофреническими» и «эпилептическими» а-АТ. Получены данные об их значениях р1 и величине Мг. Отмечено, что АГ-мишенями при шизофрении являются, преимущественно, ядорные, а при эпилопени-цитоплазматические белки нервных клеток. Данные иммуносорбции очищенных а-АТ на колонках с белками печеночных экстрактов свидетельствуют о выраженной органной (тканевой) специфичности направленности «антимозговых» а-АТ при шизофрении и эпилепсии.

В свете представлений о наличии «антимозговых» а-АТ в крови больных шизофренией, эпилепсией, многими формами деменций, демиелинизирующими и другими формами нервно-психических заболеваний [1, 2] и появлении экспериментальных данных о возможной патогенетической роли этих а-АТ [3, 4], вопросы о конкретной АГ направленности соответствующих а-АТ становятся весьма актуальными. Очевидно, что от их решения будет зависеть возможность разработки новых инструментальных методов экспресс-диагностики (в том числе «превентивной», доклинической диагностики) и способов лечения нервиопсихических заболеваний, основанных на устранении из кровотока и/или специфическом подавлении синтеза аутоагрессивных а-АТ [1]. Кроме того, физико-химическая и функциональная идентификация отдельных

белков и групп белков нервной ткани, аутоиммунное поражение которых сопровождается развитием определенных психоневрологических симптомов ,будет способствовать пониманию биологической роли соответствующих белков в обеспечении нормального функционирования нейрофизиологических механизмов.

В нашей работе была предпринята попытка определения характеристической $A\Gamma$ направленности «антимоэговых» а- $A\Gamma$, присутствующих в крови больйых шизофренией, эпилепсией и рассеянным склерозом, а также получения сведений о количестве, величине M_Γ и значениях pI видонеспецифических белковых $A\Gamma$ -мишеней «шизофренических» и «эпилептических» а- $A\Gamma$.

Методы исследования

Приготовление тест-системы АГ. Двух наркотизированных взрослых беспородных белых крыс перфузировали транскардиально 150-200 мл 0.15 M NaCl с 5 мМ ЭДТА-Na3, извлекали отмытый головной моэг, гомогенизировали его в 12 мл 6 М денонизованной мочевины с 0,05% тритона X-100, пентрифугировали 15 мин при 20000 g и белки полученного экстракта после 3-кратного разбавления Н2О подвергали ИЭФ в гранулированном геле (2-х мм слой геля «ультродекс» с 3% амфолинов диапазона 3,5—10; «LKB», Швеция) 18 ч при мощности 6 Вт и напряжении 100-2000 В. После завершения фокусировки и промера оН в геле контактным электродом («LKB», Швения) собирали зоны геля, имеющие значения оН: менее 4.0, 4-4.5, 4.5-5, 5-5,5, 5,5-6, 6-6,5, 6,5-7, 7-7,5, 7,5-8, 8-8,5, 8,5-9 и выше 9. Таким образом были получены 12 зон тест-системы. Помимо указанных зон в тест-системы дополнительно включали мозгоспецифические белки группы S-100, полученные, как описано ранее [5], основной белок мнелина и кальмодулин (два последних-коммерческие препараты «Саlbiochem», Швейцария). АГ, разделенные ИЭФ и элюпрованные из геля денонизованной водой, а также водные растворы индивидуальных белков разливали по аликвотам и хранили до использования при -40°.

Проведение твердофазного иммуноферментного анализа. Все АГ раэводили 0,1 M карбонатным буфером pH 9,0 с 0,1%-ным NaN₃ до концентрации белка 10 мкг/мл и вносили в лунки 96-луночных плоскодонных полистироловых планшетов «Dynatech», Швейцария. После 12— 16 ч сорбини при комнатиой температуре лунки отмывали от избытка АГ и вносили в них по 100 мкл проб сывороток крови больных шизофренией (шубобразная параноидная форма), эпилепсией (генерализованная форма с частыми судоржными припадками), рассеянным склерозом или соматически и неврологически здоровых лиц. Все сыворотки использовали в разведениях 1:100 и инкубировали в лунках с АГ 16 ч при комнатной температуре. Затем лунки вновь отмывали и вносили в них по 100 мкл конъюгатов пероксидазы хрена с козьими иммуноглобулинами к IgG человека («La Miranda», США), разведенных 1:1000. Спустя 1 ч лунки отмывали и вносили в них по 100 мкл раствора хромагена (1 мг/мл о-фенилендиамина, «Sigma», США), на 573

0.01 M фосфатном буфере pH 6.5 с 0.01% H_2O_2). Спустя 30 мин инкубации в темноте, интенсивность реакции в лунках регистрировали фотометрически с помощью ридера MP-580 («Dynatech», Швейнария), на длине волны 405 нм. Для разведений иммунореагентов и отмывки лунок применяли 0,15 M раствор NaCl с 0,1% NaN₃ и 0,5% твина-20. Отмывки производили с помощью прибора «Autowash» («Flowlabs», Великобритания) 3-кратно после каждого иммунореагента и 6-кратноперед внесением в лунки хромагена. Постановку реакций повторяли трижды и учитывали средний результат. Всего было проанализировано 50 проб сывороток крови больных шизофренией, 50—больных эпилепсией и 20—больных рассеянным склерозом. Полученные данные сравиивали с усредненными результатами тестирования 55 проб сывороток крови клинически здоровых лиц, подвергавшихся плановым диспансерным обследованиям. Значения реакций каждой пробы сыворотки с кажтест-системы выражали в усл. ед. иммунореактивности (YEP), значение которых определяли в процентах по отношению к среднему уровню реакции данной пробы сыворотки со всеми АГ тест-системы. Расчет производили по формуле:

YEP-N.
$$\frac{15}{\frac{1}{2}(n_1 - n_2 + \cdots + n_{15})} - 100\%$$
,

где П₁, П₂ ...П₁₅—интенсивность реакции (в единицах оптической плотности на 405 нм) данной пробы сыворотки с зонами 1.2... 15 тест-системы, N—интенсивность реакции (в единицах оптической плотности) данной пробы с данной конкретной зоной тест-системы антигенов.

Такой способ представления и анализа данных был припят для устранения возможных артефактных влияний, обусловленных техническими причинами (использованием разных партий планшетов для иммуноферментного анализа, разных партий вторичных антител, меченных пероксидазой, разных партий субстратов и т. п.).

Получение антительных иммуносорбентов; выделение АГ-мишеней, связывающихся а-АТ при шизофрении и эпилепсии. После проведения иммуноферментного анализа объединенные образцы 50 сывороток крови больных шизофренией и 50 больных эпилепсией пропускали через колонки посителей, содержащих по 300 мг суммарных белков мозга крыс. иммобилизованных на CNB-сефарозе («Pharmacia», Швеция), интенсивно отмывали от несвязанного материала 0.15 M NaCl с 0.1% тритона Х-100 (50 объемов) и элюнровали специфически связавшиеся с колсикой «антимозговые» а-АТ с помощью 3 М NaSCN (сразу же освобождая АТ от элюнрующего агента с помощью гель-фильтрации на последовательно подсоединенной колонке сефадекса G-25). Полученные фракции «антимозговых» а-АТ сывороток крови больных шизофренией и эпилепсией концентрировали ультрафильтрацией до 5 мг/мл и иммобилизовывали на протени А-сефарозе («La Miranda», США) в результате рециркуляции а-АТ через колонки указанного сорбента (16 ч при 4°), отмывки колонок от несвязанного материала и ковалентной сшивки а-АТ с протенном А с помощью 0,5%-ного глутаральдегида (1 ч

при комнатной температуре с последующей отмывкой 0,5 M NaCl). Сходным образом были получены антительные сорбенты, содержащие а-АТ к белкам ядер клеток мозга (на основе «антимозговых» а-АТ крови больных шизофренией, выделенных на иммобилизованных белках экстракта субклеточной фракции ядер мозга крыс). Полученные иммуносорбенты (по 2 мл геля) загружали в микроколонки (готовили из пастеровских пипеток), соединяли их последовательно, присоединяли преколонку 10-кратно большего объема, содержащую иммобилизованные нефракционированные у-глобулины сывороток крови здоровых людей и через полученную систему колонок пропускали экстракты мозга 5 перфузированных крыс, приготовленные на 0,1 М фосфатном буфере. pH 7,5 с 0,1% тритона X-100, 2 мМ ЭДТА-Na₃, 0,1 мМ фениаметилсульфанилфторида и 10 мМ йодацетамида. После экстенсивной отмывки тем же буфером колонки расстыковывали и с каждой элюировали сорбированные белки, используя 0,5 мл 3 М NaSCN. Элюпрующий агент устраняли гель-фильтрацией на колонке сефадекса G-25, уравновешенной 0.05 М формиат-аммонийным буфером, рН 7,5. Белки, снятые с колонок, лиофильно высушивали и исследовали их с помощью электрофореза и ИЭФ. Процедурная часть этого раздела работы иллюстрируется на схеме.

Схема получения антимоэговых аутоантител из сывороток крови больных апиленсией и шизофренией (1 этап), их иммобилизации на протеии А-сефарозе (11 этап) и применения антительных сорбентов для выделения АГ-мишеней (111 этап).

BTOU

П этоп

Объединение сывороток Рециркуляция (16 ч., больных впиленсией (ши- 4°) полученных "эпи-

больных эпиленскей (шизофренией)
Пропускание сыворо-

Пропускание сывороток через колонки е иммобилизованиыми суммарными белками экстракта мозга (экстракта
идер мозга)

Отмывка колонок 50 объемями 0.15 М NaCl с 0.1% тритоил X-100

Элюция суммарной фракции антимозговых "впилентических" ("шизофренических") а-АТ
3 М NaSCN

Удаление NaSCN гельфильтрацией на G-25

Концентрирование а — AT ультрафильтрацией на фильтре PSIM ("Millipore Inc.", США)

Рециркуляция (16 ч., 4°) полученных "эпилептических" ("шизофрепических") а-АТ через 2-мл колонки протени А-сефарозы

Отмывка 0,15 М NaCl

Инкубация геля сефароза—протени а-АТ 1 ч с 0,5% глутаральдегида

Отмынка 0,5 M NaCl

III stan

Получение суммарного вкстрачта перфузированного мозга 5 крыс

Пропускание экстракта черса систему последовательно соединенных колонск:

а — преколонка с иммобилизеванными 7-глобулинами сыворотки здоровых людей

6 и в – колонки с иммобилизовоиными "знилептическими" и "шизофреническими" антимозговыми в-АТ

Отмыява системы колонох (0.1 М фосфатиый буфер рН 7,0 с 0,1% тритона X-100, 2 мМ ЭДТА-Na₃ 0,1 мМ ФМСФ, 10 мМ йодацетамида)

Расстыковка колонок.
Раздельная элюции сорбированных белков 3 М NaSCN. Обессоливание; лиофильное высушивание десорбированных АГ-мишеней

Аналитическое ИЭФ и определение величины Мг белковых антигенов с помощью электрофореза в градиенте ПААГ. Полученные белки растворяли в минимальном объеме 6 М денонизованной мочевины с 0,01% тритона X-100. Электрофоретическое разделение материалов вели в градиентном (5—30% сшивки) ПААГ толщиной 1 мМ в нативных условиях при использовании в качестве электродного раствора 0,01 М борат-глицинового буфера, рН 8,5. Гели готовили согласно описанию [6]. ИЭФ материалов проводили на коммерческих ПААГ-пластинах с амфолинами диапазона 3,5—10 («LKB», Швеция) при использовании фитилей, смоченных 1 М NaOH для катода и 0,1 М Н2SO4 для анода. Электрофоретическое разделение и ИЭФ проводили на приборах GE 2/4 («Pharmacia», Швеция) и Multifor («LKB», Швеция) соответственно. В качестве маркеров для определения величины Мги изоэлектрической точки использовали соответствующие наборы белковых свидетелей производства «Pharmacia» (Швеция).

Детектиронание разделенных белков проводили по следующей схеме. Сначала гели с разделенными белками фиксировали 30 мин в 10% ТХУ, отмывали 5 мин проточной водой, окращивали 30 мии 0,5% Кумасси R-250 в 7%-ной уксусной кислоте с 50% этанола, отмывали 5-кратно 7%-ной уксусной кислотой с 50%-ным этанолом и 0,5% CuSO4 (окраску и отмывку вели при 70°), и зарисовывали расположение видимых полос. Затем гели последовательно инкубировали в 15%-ном растворе метанола (30 мин), переносили в 5%-ный раствор глутаральдегида (на 30 мин), 3-кратно отмывали чередованием денонизованной воды и 15% метанола (кикубации по 15 мин) и на 2 ч заливали гели 12 мМ раствором AgNO₃, После ополаскивания в денонизованной воде пластины помещали в проявитель (0,76 M NaOH с 23 мМ NaBH, и 7.5 мл/л 40%-ного формалина) и выдерживали в нем до появления интенсивной черно-коричневой окраски белковых зон. Дальнейшее развитие окраски останавливали помещением гелей в 7%-ную уксусную кислоту с 50% этанола и 0,5% СиSO4. Следует отметить, что предварительная фиксания гелей в ТХУ и окраска их Кумасси в 5-10 раз повышала чувствительность последующей окраски белковых зои нитратом серебра. Описанный метод позволял выявлять зоны, содержащие менее 1 иг белка (по данным детекции стандартных разведений бычьего сывороточного альбумина).

Результаты и обсуждение

Обобщенные результаты иммуноферментного тестирования проб сывороток крови больных шизофренией, эпилепсией и рассеянным склерозом при сравнении их с данными тестирования сывороток здоровых лиц позволяют отметить характерные для каждого из заболеваний зоны видонеспецифичных АГ, к которым наблюдается продукция а-АТ (рисунок). Так. для шизофрении это ряд зон слабокислых белков, фокусирующихся в диапазоне рН 5,0—6,5, для эпилепсии—кислые и уме-

ренно кислые белки (с pl 4—4,5 и 4,5—5), а для рассеянного склероза—слабощелочные белки и белки с резко выраженными катионными свойствами (pl 7—7,5 и pl выше 9.0).

Помимо отмеченных, характерных для каждого из исследованных заболеваний зон повышенной иммунореактивности, обращает на себя внимание наличие повышенных титров а-АТ к глиальным мозгоспецифическим белкам группы S-100, но не основному белку мислина или близкому по свойствам к S-100 кальмодулину, имеющему, преимущественно, нейрональную локализацию [7]. Были выявлены а-АТ такой направленности у 75-80% больных независимо от формы заболевания. Отметим, что данные о наличии а-АТ к белкам S-100 у больных самыми разными нервно-психическими заболеваниями были получены также югославскими исследователями, использовавшими принципиально иной метод детекции-кожно-аллергические пробы [8]. Эти данные позволяют предполагать причинную связь самых разных форм психо- и невропатологии с нарушениями метаболизма белков S-100 и могут рассматриваться как косвенное свидетельство в пользу гипотез о ведущей роли поражений глиальных клеток в патогенезе различных заболеваний мозга [9].

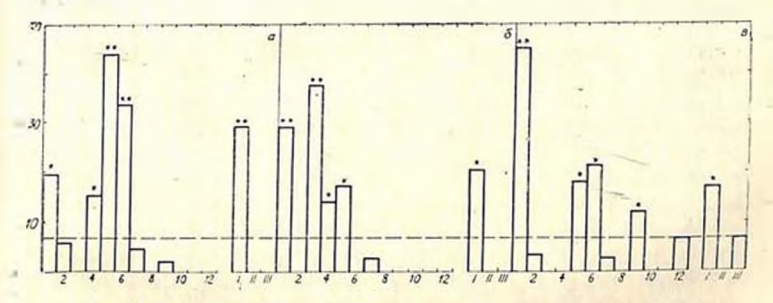


Рис. Спектр антигенной направленности видонеспецифических антимозговых а-АТ, выявляемых в сыворотках крови больных шизофренией (а),
эпилепсияй (б), рассениим склерозом (а). По оси абсцисс—фракция
(аоны) 1—12 белков со значениями р1 соответствению 3.0—9.5, а также
белки S-100 (1), кальмодулин (11), основной белок миелика (111), с которыми проводилось тестирование проб сывороток. По оси ординат—уровень относительной иммунореактивности аутоантител (в усл. ед. иммунореактивности в виде разности между данными анализа проб сывороток
здоровых и больных) с антигенами тест-системы (уровень иммунореактивности здоровых лиц с соответствующими антигенами принят за 0)

С целью выявления индивидуальных АГ-мишеней (помимо S-100) было предпринято их иммуноаффинное выделение из белкового экстракта суммарного мозга крыс и субклеточной фракции ядер. В ходе проведения подготовительного этапа (выделение а-АТ из сывороток крови больных)был обнаружен интересный факт преимущественной сорбции «антимозговых» а-АТ больных шизофренией на колонках с ядерными

АГ: в экспериментах по насыщению аффинных сорбентов на равные по количеству иммобилизованных белков колонки с белками ядер сорбировалось ≈ 10-кратно большее количество а-АТ, чем на колонки с суммарными белками экстракта мозга. В свою очередь, иммобилизованные а-АТ больных шизофренией сорбировали, преимущественно, белки ядерных экстрактов. Подобных феноменов не отмечалось при работе с сыворотками больных эпилепсией и преколонкой, содержащей у-глобулины из крови эдоровых людей. Эти данные подтверждают прежние иммуногистохимические наблюдения об антиядорной направленности «антимозговых» а-АТ при шизофрении [10].

Таблица 1

Изоэлектрические точки белковых антигенев-мишеней аутойнтител крови больных шизофренией и эпиленсией Таблица 2

Ведичины Mr бедковых аптигеновмишеней аутолитител крови больных шизофренией и эпиленсией

Значения р1 элюпруемых белков

Мг влюпруемых белков (в кД)

Носитель с не- имунными ү- глобулипами (преколопка)	Носитель с АТ больных шизофре- нией	Носитель с АТ больных впилепсисй	Носитель с ис- имуниыми у- глобулинами (преколонка)	Носитель е АТ больных шизсфре- нией	Носитель с АТ больных впилспсией
4,30 4,55 5,00 5,15 5,20 5,30 5,75 6,20 6,27 6,95 7,25 7,70 8,17 8,20 8,35	4,30 	5,50 5,65 — 6,20 — 6,55 — 7,60 — 8,05	14 	14 	14 19 23 27

Данные о величине М_г и изоэлектрических точках белковых АГмишеней при шизофрении и эпилепсии, а также о характеристиках белков сорбируемых преколонкой, представлены в табл. 1 и 2. При их анализе обращает на себя внимание общее соответствие между значениями. рі индивидуальных белковых АГ и характерными для шизофрении и эпилепсии зонами повышенной иммунореактивности тест-системы, выявленными с помощью иммуноферментного анализа. Это подтверждает возможность использования данной тест-системы либо ее модификаций в качестве основы для разработки инструментальных экспресс-диагностических методов, пригодных для клинического использования и массовых диспансерных обследований.

Отметим, что среди индивидуальных АГ-мишеней а-АТ больных шизофренией и эпилепсией нам удалось обнаружить соответственно 11 и 5 белков (за вычетом белков, характеристики которых совпадали с сорбировавшимися на преколонку). При этом общий состав АГ-мишеней пои данных заболеваниях был существенно различным, что, вероятно, отражает различия в молекулярных изменениях в мозгу, поиводяши к возникновению или сопровождающих развитие шизфорении и эпилепсии. Помимо физико-химических характеристик АГ-мишеней следует отметить тот факт, что большая часть обнаруженных белков имела признаки органной (тканевой) специфичности. Это заключение было сделано нами на основании экспериментов по изучению сорбщии на иммобилизованных белках экстрактов печени и крови крыс «антимозговых» а-АТ, выделенных из крови больных с использованием колонок с белками мозга, так как было обнаружено, что с сорбентами, содержащими белки печени и крови крыс связывается не более 10-15% а-АТ крови больных шизофренией и эпилепсией, сорбирующихся на колонки с белками мозга, а 85-90% общей популяции а-АТ проходят через сорбент без задержки.

Обнаруженные и описанные 11 и 5 белков, являющихся АГ-мишенями «антимозговых» а-АТ при шизофрении и эпилепсии, вероятно, не исчерпывают всего спектра белков мозга человека, являющихся объектами аутоиммунных процессов при указанных заболеваниях. Это обусловлено тем. что, во-первых, помимо видонеспецифичных АГ-мишеней, общих для мозга человска и других млекопитающих, мишенями а-АТ могут быть и видоспецифичные белки, связанные с молекулярным обеспечением структурно-функциональных особенностей, присущих только мозгу человека. Использованные нами подходы не позволяли детектировать наличие или отсутствие таких видоспецифичных АГ-мишенен; во-вторых. следует иметь в виду, что, используя в качестве основного инструмента иммобилизованные «антимозговыс» а-АТ, выделенные из небольших по объему проб сывороток крови множества больных шизофренией и эпилепсией, мы обнаружили и проанализировали свойства лишь тех видонеспецифических АГ-мишеней, а-АТ к которым присутствовали в крови всех или значительной части больных одной и другой нозологической формой. Выделение отдельных АГ, поражаемых а-АТ лишь у индивидуальных больных, возможно, имело место в наших экспериментах, олнако количество этих белков оказалось за пределами разрешения методов их детекции. Подтвердить или опровергнуть эти предположения смогут дальнейшие углубленные исследования, однако обнаружение

того факта, что мишенями аутоиммунных процессов при шизофрении и эпилепсии являются не сотни или тысячи, а гораздо меньшее числоч белков, внушает оптимизм в плане исследования соответствующих процессов и разработки способов их коррекции.

PHYSICO-CHEMICAL PROPERTIES OF SPECIES-NONSPECIFIC BRAIN PROTEIN ANTIGENS—TARGETS FOR AUTOANTIBODIES-IN SOME NEUROLOGICAL DISORDERS

POLETAYEV A. B., SELIFANOVA O. P.

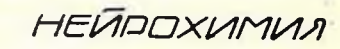
P. K. Anokhin Institute of Normal Physiology, USSR Acad. Mcd. Soi.,

"Anti-brain" autoantibodies (a—AT) specific for each pathology have been detected in the blood of patients suffering from schizophrenia, epilepsy and multiple sclerosis with the aid of solid-phase immunoenzyme analysis and test system of antigens. In addition to them, a—AT to brain-specific S—100 proteins have been detected in the blood of 70—80% of patients with various neurological disorders. With the aid of anti-brain a—AB, immobilized on protein A-Sepharose, proteins specifically binding "schizophrenic" and «Epileptic» a—AB have been isolated from rat brain extracts—11 and 5 proteins respectively. Their M, and pI values have been determined. It's emphasized that in the case of schizophrenia antigen targets are nuclear proteins, whereas in epilepsy—cytoplasmic ones. Immunosorbtion data point to a tissue-specifity of anti-brain a—AB in schizophrenia and epilepsy.

ANTEPATYPA

- Полетаев А. Б., Шерстнев В. В., Далгов О. Н. Вести. Акад. мед. наук СССР, № 2, с. 53—55, 1982.
- 2. Семенов С. Ф., Семенова К. А. Иммунобнологические основы патогенеза первных и исихических заболеваний. М., Медицина, 1984.
- 3. Полстасв А. Б. Изменение биосинтеза макромолекул мозга животных пол влиянием антител к белкам S-100, циркулирующих в общем кровотоке. Ден. ВИНИТИ 26, 03, 1986, № 2074-В.
- Бурбаева Г. Ш., Каменский А. А., Клюшник Т. П., Изнатов С. А., Зайко С. Д. Андросова А. В. Журн. высш. перв. деят-сти, т. 35, № 4, с. 747—752. 1985.
- Беляса С. В., Куприяненко Т. И., Аысова Н. П., Полетасв А. Б. Биохимия, т. 46, № 12. с. 2193—2201, 1981.
- 6. Gol- electrophoresis. Principles and methods. Pharmacia guidebook, Uppsala, 1984.
- Donato R., Battuglia F., Cocchia D. J. Neurochem., v. 47, No 2. p. 350-354, 1986.
- 8. Vernadakis A. Federat. Proc.. 34; No 1, p. 89-95, 1975.
- Jankovic B. D. Jakulic S., Horvat J. Biol. Psychiat., v. 17, No 6, p. 687-698, 1982.
- 10. Heath R. G., Krupp I. M. Arch. Gen. Psychiat., v. 16, № 1, p. 1-9, 1967.

Поступила 12. 1. 1987





т. 6, № 4, 1987

КРАТКИЕ СООБЩЕНИЯ

УДК 612.822.1

ВЫСВОБОЖДЕНИЕ ["С] β-ФЕНИЛЭТИЛАМИНА ПРИ ЛОКАЛЬНОЙ СУПЕРФУЗИИ НЕОСТРИАТУМА ГОЛОВНОГО МОЗГА КРЫС

ЖАРИКОВА А. Д., ГОДУХИН О. В., ЖАРИКОВ С. П. Институт биологической физики АН СССР, Пушино

Амфетаминоподобный симпатомиметик в-фенилэтиламин (в-ФЭА) идентифицирован в головном мозгу животных и человека [1], причем основная часть эндогенного в-ФЭА обнаружена во фракции нервных окончаний [2]. Считается, что эффекты экзогенно введенного в-ФЭА на ЦНС преимущественно связаны с его влиянием на моноаминергические системы головного мозга и в особенности на дофаминергическую систему [3]. В исследованиях іп віво установлено [4], что в-ФЭА может модулировать эффективность дофаминергической нейропередачи... взаимодействуя с пресинаптической [5] и постсинаптической [6] областью дофаминергического синапса. Кроме того, обнаружено, что региональное распределение эндогенного дофамина (ДА) в головном мозгу крыс совпадает с распределением экзогенно введенного в больших дозах в-ФЭА с максимальным накоплением в неостриатуме [7]. Неостриатум обладает значительной активностью декарбоксилазы ароматических амииокислот-фермента, катализирующего синтез в-ФЭА из L-фенилаланина и занимает одно из первых мест среди структур головного мозгапо содержанию эндогенного в-ФЭА [1]. Учитывая вышензложенное. закономерен вопрос, не локализуется ли эндогенный в-ФЭА в дофаминергических, в частности, ингростриатных нейронах, обладающих всеми ферментными системами, необходимыми для синтеза и разрушения б-ФЭА? Одним из подходов к решению этого вопроса является сравнительный анализ высвобождения предварительно апплицированных в неостриатум [3H] ДА и [14C] β-ФЭА в ответ на электрическую стимуляцию сомы дофаминергических нейронов в компактной зоне черной субстанции. В данной статье представлены результаты такого сравнительного анализа.

В работе использована методика локальной суперфузии головного мозга с помощью описанной ранее системы нагнетательно-отсасывающей 581

(push-pull) канюли с одновременной регистрацией элекТрической активности мозга из области суперфузии [8]. Эксперименты проводили в условиях острого опыта на белых крысах-самцах массой 300-400 г, находящихся под нембуталовым наркозом (40 мг/кг, внутонбрюшинно). В ходе предварительной операции животным стереотаксически (по атласу Фифковой и Маршалла) в неостриатум вживляли направляющую трубку с регистрирующим электродом (AP=-1,5; L=2,5; V=5), а в зону черной субстанции - стимулирующие электроды компактичю (AP = +4.5 и 4.3; L = 2; V = 8.5). Методика анализа высвобождения в перфузат предзарительно апплицированного в неостриатум [3H] ДА подробно приведена ранее [9]. В экспериментах с в-ФЭА в область будущей супсрфузии через направляющю трубку с помощью микрошпониа вводили [вС] в-ФЭА (4 мкл, 8-10-9 моль, У. А. 50 мКи/ммоль, «Amersham», Англия). По истечении 30-минутного периода накопления [14С] в-ФЭА в клеточных элементах в неостриатум до уровня кончика perистрирующего электрода погружалась push-pull канюля. Для суперфузии использовали искусственную цереброспинальную жидкость следующего состава (мМ): NaCl—117; КСl—5,4; CaCl₂—1,3; NaH₂PO₄—1,1; MgSO₄—0,6: глюкоза—10 с добавлением NaHCO₃—25: МАО ниаламида (12.5 мкМ). Перед экспериментом перфузионную жидкость насыщали карбогеном (О2:СО2=95:5%) до рН 7,4. Скорость тока перфузионной жидкости составляла 50 мкл/мин, общее время суперфузии около 3,5 ч. Сбор перфузата начинали спустя 100 мин от начала суперфузии. Собранные в счетные флаконы 20-минутные фракции перфузата высущивали при 90°. Оценку суммарной радиоактивности производили в толуольном сцинтилляторе на счетчике SL-4000 фирмы первой 20-минутной «Intertechnique» (Франция). Радиоактивность фракции перфузата принимали за 100% и относительно неё оценивали высвобождение [14С] в-ФЭА в последующие 20-минутные периоды суперфузии. В течение 2- и 4-го 20-минутных периодов суперфузии проводили электрическую стимуляцию компактной зоны черной субстанции в течение 20 мин серийными импульсами длительностью 0,1 мсек, с частотой серии 0,6, частотой внутри серии 5 Гд, длительностью серии 1 с. Достоверность различия уровней высвобождения [4С] в-ФЭА в аналогичные периоды суперфузии у сравниваемых групп животных оценивали по критерию Стыодента. В конце эксперимента осуществляли морфологический контроль положения канюли и электродов.

В проведенных экспериментах установлено, что спустя 100 мин от начала докальной суперфузии неостриатума головного мозга крыс спонтанное высвобождение предварительно апплицированного [14С] β-ФЭА постепенно уменьшается в течение пяти последовательных 20-минутных периодов суперфузии. Результаты экспериментов по анализу высвобождения [14С] β-ФЭА при электрической стимуляции черной субстанции приведены на расунке. Для сравнения на этом же рисунке представлены данные по высвобождению в перфузат предварительно анилицированного в неостриатум [34] ДА. полученные нами ранее [9]. При элек-

трической стимуляции компактной зоны черной субстанции с частотой 5 Гц в течение 2-го 20-минутного периода суперфузии наблюдали достоверное 20%-ное увеличение (р<0.05) высвобождения в перфузат предварительно апплицированного в неостриатум [16С] β-ФЭА. При электрической стимуляции, производимой в течение 4-го 20-минутного периода суперфузии проявлялась лишь тенденция к росту высвобождения [16С] β-ФЭА. Эффекты электрической стимуляции на высвобождение [16С] β-ФЭА зависели от расположения канюли в неостриатуме и стимулярующих электродов в черной субстанции. Как и в слу-

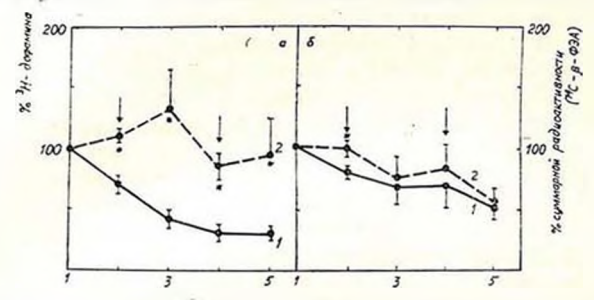


Рис. Влияние электрической стимуляции (частота 5 Гц) компактной зоны черной субстанции головного мозга крыс на высвобождение в перфузат предварительно апплицированных в неостриатум [3Н] ДА (а) и [14С] β-ФЭА (б) 1, 2, 3, 4, 5—20-минутные фракции перфузата, собранные спустя 100 мин от начала перфузии неостриатума: электрическая стимуляция производилась в течение 2-го и 4-го 20-минутных периодов (указано стрелками); "—достоверно различающиеся средние значения уровней высвобождения [3Н] ДА и [14С] β-ФЭА в аналогичные периоды перфузии 2-х сравниваемых групп экспериментов (3—4 опыта. М±тп; р<0,05):прямой линией обозначено споитанное высвобождение. пунктирной—индуцируемое электрической стимуляцией

чае с [3Н] ДА, наибольшее повышение высвобождения в перфузат [14С] β-ФЭА обнаружено при вживлении электродов в ростромедиальную или центральную часть черной субстанции и погружении push-pull канюли в центральную часть головки хвостатого ядра. В том случае. если стимулирующие электроды находились в вентрокаудальной части черной субстанции, а push-pull канюля—в ростро-центральной части хвостатого ядра, стимулируемое высвобождение [14C] β-ФЭА было предварительно апплицированный в неостриатум Хотя [14С] В-ФЭА высвобождается в перфузат при тех же параметрах электрической стимуляции компактной зоны черной субстанции, что и [3Н] ДА, динамика высвобождения у них различна. В экспериментах с [3H] ДА в последующий после электрической стимуляции 20-минутный период суперфузии происходит еще большее упеличение высвобождения в перфузат [3H] ДА, тогда как для [14C] β-ФЭА этого не наблюдается. Причины такого различия могут быть связаны как с равиым механизмом поступления апплицированного [С] в-ФЭА внутрь

нервных окончаний, так и разными возможными механизмами высвобождения соединений из нервных окончаний. Согласно нашим данным [10], β-ФЭА накапливается в нервных окончаниях путем облегченной диффузии. Поэтому доля поступающего в окончания [1-С] в-ФЭА из общего количества апплицированного внутрь неостриатума [14С] в-ФЭА невелика и зависит только от разности концентраций [13C] β-ФЭА снаружи и внутри нервных окончаний. В свою очередь [3Н] ДА накапливается в нервных окончаниях с помощью Na+-зависимого активного транспорта, осуществляемого мембранным переносчиком [11]. Этот механизм транспорта позволяет апплицированному в неостриатум [3Н] ДА накапливаться в дофаминергических нервных окончаниях за короткий промежуток времени в больших количествах. Таким образом, разный исходный уровень [14C] β-ФЭА и [3H] ДА, аккумулированных в неостриатуме перед суперфузией, может объяснить различную динамику высвобождения [14С] β-ФЭА и [3Н] ДА при одних и тех же параметрах электрической стимуляции. Кроме того, при длительной электрической стимуляции внутри нервных окончаний возрастает концентрация Na+, что может иниципровать Na+-зависимое высвобождение ДА, опосредованное мембранным переносчиком. По-видимому, увеличение высвобождения [3H] ДА в последующий после электрической стимуляции период суперфузии связано также с высвобождением [3H] ДА посредством переносчика. В случае [14С] в-ФЭА Na+-зависимый компонент высвобождения, вероятно, отсутствует: было установлено, что функмембранного переносчика для в-ФЭА не зависит от ционирование Na+ [10].

Таким образом, полученные нами данные показывают, что предварительно апплицированный в неостриатум [14C] β-ФЭА высвобождается в перфузат при тех же параметрах электрической стимуляции компактной зоны черной субстанции, что и [3H] ДА. Это подтверждает предположение о локализации эндогениого β-ФЭА в дофаминергических нигростриатных нейронах головного мозга крыс.

RELEASE OF "C-2-PHENYLETHYLAMINE DURING LOCAL SUPERFUSION OF RAT BRAIN NEOSTRIATUM

ZHARIKOVA A. D., GODUKHIN O. V., ZHARIKOV S. I. Institute of Biological Physics, USSR Acad. Sci., Poustchine

Using local superfusion technique of rat brain neostriatum with push-pull cannulae it was demonstrated that preliminary applied [11C]-2-phenylethylamine is released into perfusate under the same conditions of electric stimulation of substantia nigra (5 Hz) as [3H] dopamine. Data obtained confirm the suggestion about localization of endogenous \(\beta\)-phenylethylamine in the dopaminergic nigro-striatal neurons of rat brain.

NHTEPATYPA

- Nakajima T., Kakimoto Y., Sano J. J. Pharmacol. and Exp. Ther., v. 143, No 3, p. 319-325, 1964.
- 2. Boulton A. A., Baker G. B. J. Neurochem., v. 25, No 2, p. 477-481, 1975.
- Sabellt H. C., Borison R. L., Diamond B. J., May J., Havdala H. S.-In: Noncatecholic phenylethylamines. Part I. Phenylethylamine: biological and clinical aspects (eds. A. D. Mosnaim, M. Wolf), p. 345-376. Dekker, New York, Basel, 1978.
- Жарикова А. Д., Голухин О. В. Бюл. эксперим. биол. и мед., т. 10, с. 395—398, 1979.
- Fuxe K., Grebecker H., Jonsson J. Eur. J. Pharmacol., v. 2, № 3, p. 202-207, 1967.
- Antelman S. M., Edwards D. J., Lin M. Broin Res., v. 127, № 2, p. 317-322, 1977.
- 7. Jackson D. M., Smythe D. B. Neuropharmacology, v. 12, 3 7, p. 663-668, 1973.
- 8. Голухин О. В., Жарикова А. Д. Физнол. жури. СССР, т. 65, № 10, с. 141—143
- 9. Жарикова А. Д., Голухии О. В. Физнол, жури. СССР, т. 71. № 1, с. 105—112, 1985.
- Жариков С. И., Жарикова А. А., Буланден А. Ю. Докл. АН СССР, т. 292, № 6. с. .1494—1497, 1987.
- Жариков С. И., Жариковс А. Д., Юричская М. М. Нейрохимия, т. 6, № 3. с. 311—316, 1987.

Поступила 25. 111 1987

HEŪPOXИМИЛ



т. 6, № 4, 1987

УДК 612.821.7+612.822.1

СУЛЬФГИДРИЛЬНЫЕ ГРУППЫ В ОТДЕЛЬНЫХ КЛЕТКАХ СИНЕГО ПЯТНА. СУПРАОПТИЧЕСКОГО ЯДРА И ДОРЗАЛЬНОГО ЯДРА ШВА ГОЛОВНОГО МОЗГА КРЫС ПРИ ЛИШЕНИИ ПАРАДОКСАЛЬНОЙ ФАЗЫ СНА

КРИВЕНКО Н. Е., КЛЕНИКОВА В. А., ДЕМИН Н. Н. Институт физиологии им. И. П. Паплова АН СССР, Ленинград

Ранее было установлено [1], что 24-часовое лишение крыс парадоксальной фазы сна (ПФС) приводит к повышению содержания «свободных» SH-групп в белках нерастворимой (мембранной) фракции гомогената стволовой части головного мозга; в белках растворимой фракции оно не изменялось, так же как и содержание низкомолекулярных SH-компонентов. При этом оказалось [2], что сдвиги содержания SH-групп в структурных белках были связаны лишь с синаптосомной и ядерной субфракциями. Такие изменения в структурных (мембранных) белках были расценены как показатель их сдвигов в сторону денатурации. При микрохимическом исследовании гомогенатов толстых срезов тех участков ствола мозга крыс, в которые входили имеющие отношение к процессам сна ядра шва (пп. raphe dorsalis et pentis), синее пятно и супраоптическое ядро, было показано [3], что лишение ПФС вызывало достоверное повышение содержания SH-групп лишь в дорзальном ядре шва.

В связи со всем сказанным для большего уточнения локализации денатурационных изменений в белках ствола мозга при лишении ПФС казалось желательным провести определения содержания SH-групп именно в отдельных клетках исследуемых ядер.

Крыс-самцов линии Wistar массой 180—210 г подвергали 24-часовому лишению ПФС путем помещения их на площадки размером 45×45 мм, расположенные на уровне 2 мм нал водой [4, 5]. Контролем служили бодретвовавшие животные, находившиеся в условиях свободного поведения. У одной серии подопытиых и контрольных крыс (по 4—5 в каждой группе) определяли содержание SH-групп в телах отдельных перинейрональных глиоцитов и в цитоплазме и клеточных ядрах отдельных нейронов. Эти определения производили на срезах, фиксированных по Бродскому [6], обезвоженных по общепринятой ги-

стологической схеме и залитых в парафин соответствующих проб ткани. Для выявления SH-групп использовали окислительно-восстановительную реакцию с 2.2'-диокси-6,6'-динафтилдисульфидом (ДДД) с последующим окращиванием бис-дназотированным о-днанизидином [7] в применении для нервной ткани. Величину оптической плотности объектов на препаратах измеряли на микроцитофотометре МЦФ-VI при длинах воли 550 и 600 им. С помощью таблиц Mendelsohn [8] находили средние величины оптической плотности, которые пропоршиональны концентрации SH-групп в объекте (в усл. ед.). В нейронах исследовали отдельные участки цитоплазмы, а оптическую плотность в глионитах определяли в этих клетках целиком. После нахождения величии объема объектов, умножая эту величину на величину их оптинаходили содержание SH-групп на 1 клетку плотности. [6]. На срезах, полученных от одной крысы, фотометрировали 10-

Результаты, полученные при определениях объема цитоплазмы нейронов синего пятна, дорзального ядра шва и супраоптического ядра и количественные характеристики белковых SH-групп в ней после 24-часового лишения крыс ПФС, представлены в табл. 1. Они показывают, что единственным достоверным сдвигом, установленным в этих условиях, япилось небольшое снижение концентрации SH-групп в цитоплазме нейронов супраоптического ядра, что было обусловлено повышением ее объема при исизменном содержании SH-групп.

В белках митохондрий суммарного гомогената ствола мозга лишение ПФС не вызывало изменений количества SII-групп [2], так же как и в растворимых белках такого гомогената [1]. Поэтому и результаты настоящей работы можно рассматривать как подтверждение этих прежних данных—24-часовое лишение ПФС не сопровождается денатурационными сдвигами в цитоплазматических белках также в отдельных нейронах синего пятна, дорзального ядра шва и супраоптического ядра.

В табл. 2 представлены данные о содержании на 1 клетку SH-групп в ядрах непронов и в цельных телах глиоцитов тех же исследованных нами структур ствола головного мозга крыс после 24-часового лишения их ПФС. Следует подчеркнуть, что, как показывают эти данные, лишение ПФС достоверно не влияло на содержание белковых SH-групп в глиоцитах ин одного из трех исследованных образований. В то же время при стабильности содержания SH-групп в ядрах непронов синего пятна и супраоптического ядра оказалось, что лишение ПФС вызывало значительное повышение содержания SH-групп в белках ядер непронов дорзального ядра шва.

Как было упомянуто выше, в результате лишения ПФС было неоднократно констатировано [1, 2, 9] существенное увеличение концентрации белковых SH-групп во фракции нерастворимых белков суммарных гомогенатов ствола головного мозга. В то же время и в отдельных клетках спиего пятна, дорзального ядра шва и супраоптического ядра в настоящей работе (причем лишь в ядрах нейронов), и в гомогенатах

Объем цитоплазмы исйронов синего иятна, дарзального ядра шва и супраоптического ядра головного мозга крыс, концентрация и содержание (на 1 клетку) в ней SH-групп после 24-часового лишения парадоксальной фазы сна (объем, в мкм3; концентрация, в усл. ед. оптической илотности; содержачие, в усл. ед. оптической илотности сл. объема 100)

Группа животных	Синее пятно			Дорзальное ядро шпа			Супраентическое ядро		
	объем	концентра- ция	жание содер-	объсм	концентра- ция	жание	объем	концентра- ция	жание
Контроль Опыт Разница, в %	551±45 539±25 2	47±1,5 48±1,5 +2	259±23 259±15 +0	686±31 610±24 -11	99±1,9 111±2,1 +12	679±34 677±30 -2	1450±41 1594±59 ÷10°	58+0.7 53+1.0 -9*	841±27 845±36 ÷1

Примечение. * Здесь и в табл. 2 разница достоверна.

Таблица 2 Содержание (на 1 клетку) SH-групп в ядрах нейронов и в телах перинейрональных глюцитов синего пятна дорзального ядра шва и супраоптического ядра

Синсе пятно Дорзальное ядро шва Суправитическое идро Группа животных ядро нейрона ядре нейрона ядро нейрона глиоцит ТИЦОНКЯ ТИЦІОНАЗ 75±1,7 153+3,5 76+1.1 119±1.3 Контроль 39 +1.5 51+1,5 162+2,6 42+1,3 51于1,5 98 + 2.072 + 1.0 119 ± 1.3 Опыт Разница, в %

головного мозга крые после 24-часового лишения парадоксальной фазы сна (в усл. ед.)

этих ядер [3] после лишения ПФС повышение содержания белковых SH-групп выявлялось только в ткани дорзального ядра шва. Видимо, остается в силе допущение [10, 11], что основной причиной накопления белковых SH-групп в стволовых структурах головного мозга при дишении ПФС служат денатурационные процессы именно в синаптических мембранах нейронов. При этом надо заметить, что изменения именно в этих структурах были недоступными для выявления тем методом. который был использован нами в данной работе. Этот весьма важный вопрос подлежит специальному изучению. Довольно высокое же повышение содержания (около 25%) белковых SH-групп в «ядерной» фракини суммарных гомогенатов ствола мозга при лишении ПФС [2]. возможно, объясняется наличием в этой фракции, кроме ядер, также и других структур с измененным содержанием белковых обрывков SH-povnn.

SULFHYDRYL GROUPS IN SINGLE CELLS OF LOCUS COERULEUS, NN. SUPRAOPTICUS ET RAPHE DORSALIS OF REM-SLEEP DEPRIVED RATS

KRIVENKO N. E., KLENIKOVA V. A., DOEMIN N. N.

1. P. Pavlov Institute of Physiology, USSR Academy of Sciences, Leniggrad

It has been demonstrated that in 24 REM-sleep deprived rats free SH-group content (per cell) changes in the cytoplasm of locus coeruleus, nn. supraopticus et raphe dorsalis neurons. It was not changed in the perineuronal gliocytes, in the cell nuclei of the n. supraopticus and locus coeruleus neurons, while in the n. raphe dorsalis neuronal nuclei it increased by 31 per cent.

ЛИТЕРАТУРА

- 1. Рашенская Д. А. Докл. АН СССР, т. 230, с. 989—991, 1976.
- 2. Демин Н. Н., Рашевская Д. А. Физнол. журн. СССР, т. 65. с. 23-28. 1979.
- 3. Маликов У. М., Шелепина Е. П. Нейрохимия. т. 3. с. 168-171, 1984.
- 4. Pujol J .- F., Mouret J., Jouvet M., Glowinski J. Science, v. 159, p. 112-114. 1968.
- 5. Демин Н. Н.-В ки.: Вопросы биохимии первной и мышечной систем (под ред. В. Н. Чиквандзе), т. 3, с. 155-160, Тбилиси, Мицинереба, 1979.
- 6. Бролский В. Я. Трофика клетки, М., Наука, 1966.
- 7. Barrnett R. J., Seltgman A. M. Science, v. 116, p. 323-327, 1952.
- 8. Агроскин Л. С., Папаян Г. В. Цитофотометрия, Л., Наука. 1977.
- 9. Лемин Н. Н., Шелегина Е. П., Неробкова Л. Н., Крапивин С. В., Воронина Т. А. Физиол. жури. СССР. т. 72, с. 723-728, 1986.
- 10. Демин Н. Н.-В кн.: Цитохимические корреляты торможения непронов (пол ред. Л. З. Певзиера), с. 18-39, Л., Наука, 1978.
- 11. Демин Н. Н. Нейрохимия,т. 1, с. 20-27, 1982.

Поступила 28. IV 1987



HEŪDOXUMUN

т. 6, № 4, 1987

УДК 577.152.277+612.82+612.821.3

ПРОНИЦАЕМОСТЬ МЕМБРАН ЛИЗОСОМ ГОЛОВНОГО МОЗГА ДЛЯ КИСЛОЙ РНКазы ПРИ ОБУЧЕНИИ КРЫС РАЗЛИЧНЫХ ЛИНИЙ

НЕЧАЕВА Г. А., ДОПАТИНА Н. Г.

Институт физиологии им. И. П. Павлова АН СССР, Ленинград

Функциональная активность клеток головного мозга при обучении связана с изменением свойств их мембранных структур и внутриклеточным перемещением ряда высокомолскулярных соединений [1-3]. Одним из факторов, влияющих на состояние мембран, является действие основных белков-гистонов, которые увеличивают проницаемость клеточных мембран [4-6]. Гистоны головного мозга могут мигрировать из клеточных ядер [8, 9] и связываться с анионными группами эндоплазматического ретикулума [8]. Особенно ярко проявляется их действие на мембрану лизосом [6, 7, 10]. Гистоны зобной железы телят в физиологической концентрации (0,5-50 мкг/мл) резко увеличивают проницаемость мембраны лизосом для лизосомных гидролаз, главным образом, для кислой РНКазы [6, 7]. Стимулирующий эффект гистонов на выход кислой РНКазы из лизосом головного мозга зависит от концентрации гистонов и уменьшается при исследовании лизосом животных, подвергающихся выработке условного рефлекса активного избегания (УРАИ) [11].

Целью настоящей работы было выяснить, наблюдается ли корреляция между степенью обученности крыс УРАН и изменением проинцаемости мембран лизосом головного мозга для кислой РНКазы. Для этого сопоставлены результаты, полученные при исследовании двух линий крыс, селектированных из линии Крушинского-Молодкиной по высокому и низкому числу УРАИ. Проведено также сопоставление действия на выход кислой РНКазы из лизосом больших полушарий головного мозга крыс линии Wistar сочетанных (при обучении) и несочетанных (при псевдообучении) раздражителей, что позволило разграничить изменения, возникающие вследствие обучения от изменений, обусловленных воздействием стрессорных, сенсорных и двигательных влияний, сопровождающих выработку УРАИ.

В работе использованы крысы-самцы массой 160-170 г. Выработку УРАИ осуществляли в челночной камере двустороннего активного избегания. У крыс, селектированных из линии Крушинского-Молодкиной по высокой (линия ВЛ) и низкой (линия НЛ) способности к образованию УРАИ [12] выработку условного рефлекса проводили в течение 4 дней, во время 4 сеансов с промежутком в 24 ч. В каждом сеансе животные получали с интервалом в 30 с по 20 сочетаний условного раздражителя (свет) с безусловным (электрический ток силой 1,5 А). Всего животные получали 80 сочетаний условного раздражителя с безусловным. В каждом опыте обучали одновременно 2-х животных-одно линии ВА, другое-линии НА. Крыс линии Wistar обучали в течение одного дия. Животные получали все 80 сочетаний условного раздражителя с безусловным за один сеанс с теми же интервалами между раздражителями, что и при 4-дневном обучении. При этом исследовали одновременно 3-х животных: подвергнутое выработке условного рефлекса (массированное обучение); псевдообученное, которому предъявляли несочетанные условный и безусловный раздражители (активный контроль): интактное (пассивный контроль).

Через 30 мин после окончания обучения животных декапитировали в холодной комнате и все последующие операции проводили на холоду. Из больших полушарий головного мозга готовили гомогенаты (10%) в 0,32 М сахарозе с 0.001 М ЭДТА и 0.01 М трис-HCl буфером, рН 7.4, из которых получали обогащенные лизосомами фракции (ОЛФ) [6. 11]. Гомогенат центрифугировали 10 мин при 1100 g. Из надосадочной жидкости центрифугированием при 12000 g в течение 20 мин получали осадок ОЛФ и промывали его 0.32 М сахарозой с 0.01 М трис-HCl буфером, рН 7.4. В промытом осадке содержалось около 80% всей активности кислой РНКазы и кислой фосфатазы гомогенатов больших полушарий.

Для определения проницаемости мембраны лизосом для кислой РНКазы свежевыделенные осадки ОАФ из больших полушарий головного мозга подопытных и контрольных крыс суспендировали в 0,25 М сахарозе с рН 7,4. Пробы (1 мг белка в 1 мл) инкубировали в водяном термостате при 25° в течение 30 мин в 0,25 М сахарозе с 0.01 М трис-НСІ буфером, р.Н 7.4, с добавлением ядерного гистона тимуса Н2, и без добавления. Затем пробы охлаждали и центрифугированием при 12000 g в течение 20 мин отделяли осадок (ОЛФ). В надосадочной жидкости определяли активность кислой РНКазы, как описано ранее [6, 11], по величине которой судили о выходе фермента на дизосом. Активность РНКазы выражали в Д А260/мг белка. Величину выхода кислой РНКазы из лизосом рассчитывали также в % от суммарной активности датентной кислой РНКазы, взятой для инкубации суспензии ОЛФ. Латентную РНКазу в осадке ОЛФ определяли с добавлением 0.1%-ного тритона Х-100 [6, 11]. Белок определяли методом Lowry и соавт. [13].

Результаты определения величины выхода кислой РНКазы из ли-

зосом, выделенных из больших полушарий головного мозга обученных. псевдообученных и интактных крыс линии Wistar, приведены в табл. 1. Из таблицы видно, что ОЛФ интактных крыс (пассивный контроль) устойчивы в 0,25 M сахарозе, рН 7,4: при их инкубации (25°, 30 мин) наблюдается лишь незначительный (около 6% от всей активности фермента в суспензии ОЛФ) спонтанный выход кислой РНКазы из лизосом. При добавлении в инкубируемую суспензию ОЛФ ядерных гистонов (H_{23} 20 мкг/мл) проницаемость лизосомных мембран для кислой РНКазы повышалась примерно на 100%. Из таблицы видно также, что спонтанный выход кислой РНКазы из лизосом у крыс, подвергав-

Tal.nuga 1

Влияние 1-дневного обучения (80 сочетаний, 10—15 условных рефлексов) и псевдообучения на выход кислой РНКазы (1— Δ Λ_{260} мг белка, 2—в % эт общей активности кислой РНКазы ОЛФ) из лизосом больших полушарий головного мозга крыс линии Wistar при инкубации суспензии ОЛФ в 0,25 М сахарозе с добавлением 20 мкг/мл гистона H_{20} и без него (n=8)

Состояние животных	Активность РНКазы	Спонтанный выход в 0.25 М сахарозе	Выхсд в 0.25 М сахарозе с гистоном 11	Стимулирус- мый гистоном выход 11—1
Пассивный контроль	1 2	0.726±0,008 6.49±0,14	1,594±3,090 13,30±0,01	0.714±0,082 6.91±0.65
Активный контроль	ĩ	1,186+0,089	1,352±0.085	0,135+0,110 p, 0.01
(псевдообучение)	2	10.15±0.76 P1<0.001	12,53+0.75 p ₁ < 0.05	1,11±1,02 p. 0.01
Обучение	1	1.002±0.099 p.>0.05	1,366±0,085 P= 0.05	0,550+0,125 p ₂ 0.05
	2	9,28±0,72 p ₂ >0,05	12,07±0,72 p ₂ >.0,05	3,48±1,91 p ₂ >0,05

Примечание. Приведена достоверность изменений при сопоставлении рядев: p₁—активный жентроль/пассивный контроль, p₂—обучение/исевдообучение (активный контроль).

шихся массированному обучению и псевдообучению, был выше, чем у интактиых животных, а стимулирующий эффект гистона у этих животных, по сравнению с интактиыми, уменьшался. При этом у обученных животных, по сравнению с псевдообученными, достоверных изменений спонтанного и стимулируемого гистонами выхода не обнаружено. Результаты опытов с исследованием выхода кислой РНКазы из лизосом после 4-дневного обучения крыс линии ВЛ (80 сочетаний, 30—40 УР) и линии НЛ (80 сочетаний, 1—10 УР) представлены в табл. 2. Из этих даиных видно, что величина спонтанного выхода кислой РНКазы из лизосом у крыс НЛ была выше, чем у крыс ВЛ, и примерно такой же, как у псевдообученных крыс линии Wistar. В то же время выход кислой РНКазы из лизосом в присутствии гистона у крыс с высокой способностью к образованию УРАИ (ВЛ) был меньше, чем у крыс с низкой споссбностью к образованию УРАИ (ВЛ) был меньше, чем у крыс с низкой споссбностью к образованию УРАИ (ВЛ) был меньше. чем у крыс с низкой споссбностью к образованию УРАИ (ВЛ) был меньше.

Влияние 4-дневного обучения (80 сочетаний) на выход кислой РНКазы из лизосом больших полушарий головного мозга крые 2-х линий с высокой (линия ВЛ) и инахой (линия НЛ) способностью к выработке УРАИ при инкубации суспензни ОЛФ в 0,25 М сахарозе с добавлением гистона (H_{2a} 20 мкг/мл) и без него. Активность РНКазы: $1-\Delta$ Δ_{260} /мг белка, 2-в % от активности РНКазы: в ОЛФ (n=5)

Ания крыс	Активность РНКвзы	Спонтапный выход в 0,25 М сахарозе	Выход с гистоном П	Стимулируе- мый гистоном выход III
Крысы ВА	1 2	0,861±0,028	1,306±0,012	0,445±0.019
80 сечетаний, 30—40 ус-		6,93±0,15	10,52±0,31	3,41±0,38
ловных рефлексов	1	1,131±0,052	1.690±0.025	0,561±0,115
Крысы НА		p<0.01	p<0.01	p>0,05
80 сочетаний, 1—10 ус-	2	9,51+0.15	14.24+0.14	4.74±0.11
ловных рефлексов		p<0,01	p<0.01	p>0.05

При выработке условного рефлекса активного избегания в течение 4 дней, как и при массированном 1-дневном обучении, животяме получали одинаковое число (80) сочетаний условного раздражителя с безусловным. При этом выявлялась различная способность к выработке условного рефлекса у крыс линий ВА и НА. Число условных рефлексов за весь период обучения у крыс линии ВЛ достигало 30—40, а у крыс линии НЛ только 1—10. Во время массированного обучения у крыс линии Wistar наблюдалось от 10 до 15 условных реакции. После массированного обучения и псевдообучения, а также 4-дневного обучения крыс линии НЛ отмечалось увеличение спонтанного выхода кислой РНКазы из лизосом больших полушарий при никубации суспензия ОЛФ в 0,25 М сахарозе, которое не зависело от степени обученности крыс и было обусловлено, вероятно, воздействием стрессорных факторов, сопровождающих выработку УРАИ. Такое предположение подтверждается результатами, полученными нами при исследовании промицаемости мембраны диаосом коры головного мозга после частичного и полного лишения крыс сна. Под влиянием 6 и 48 ч лишения крыс парадоксальной фазы сна и после полного дишения сна имело место увеличение спонтанного, а также достоверное уменьшение стимулируемого гистоном На выхода кислой РНКазы по сравнению с контрольным уровнем выхода этого фермента из лизосом [14].

При рассмотрении данных, полученных при изучении влияния гистона на пропицаемость мембраны дизосом обращает внимание то обстоятельство, что у животных линии ВЛ наблюдается некоторое уменьшение, по сравнению с крысами линии НЛ, чувствительности мембраны дизосом к действию гистона (табл. 2, II) и снижение стимулирующего эффекта гистона.

В заключение необходимо отметить, что ситуация псевдообусловливания, несмотря на все отличие от ситуации выработки условного реф-

лекса, в той или иной мере может включать элементы выработки условной связи [1]. Эту возможность нельзя исключить. С другой стороны, исследование анионных групп липидов и фосфатных групп белков, с которыми могут взаимодействовать гистоны, могло бы представить количественную оценку изменения состояния мембраны лизосом при обучении и псевдообучении. Известно, что обучение может сопровождаться увеличением фосфорилирования белков ионных каналов [15], что приводит к изменению проницаемости мембраны.

PERMEABILITY OF BRAIN LYSOSOMAL MEMBRANES FOR ACID RNAse IN RATS OF DIFFERENT LINES UNDER TRAINING AND PSEUDOTRAINING

NECHAEWA G. A., LOPATINA N. G.

I. P. Pavlov Institute of Physiology, USSR Acad. of Sci., Leningrad

Massive one-day training of animals (80 matchings 5-10 conditional reflexes of active avoidance) and pseudotraining lead to 1,5-2 fold increase in a spontaneous release of acid RNAse from big cerebral hemispheres' lysosomes, whereas histone H_{2a} -stimulated release of this enzyme from lysosomes decreases. After 4-day long elaboration of conditioned reflex (80 matchings) in rats with low ability to training the spontaneous release of acid RNAse from lysosomes was higher for 30% than in animals with high ability to training. Data obtained indicate that both functional load in training and unmatched irritations in pseudotraining induce changes in lysosomal membrane that lead to an increase in spontaneous release of acid RNAse in vitro conditions but are not coupled with the process of training per se.

ΛΗΤΕΡΑΤΥΡΑ

- 1. Кругликов Р. И. Нейрохимические механизмы обучения и памяти, М., Наука, 1981.
- Matthies H., Pohle W., Popov N., Lössner B., Rüthrich H. L., Jork R., Ott T.— In: Neural and neurohumoral organization of motivated behavior (ed. K. Lissak), p. 85-105. Bp: Akad. Kiado, 1978.
- 3. Mark R.—In: Brain mechanisms in memory and learning: From the single nouron to man (ed. M. A. B. Brazier), p. 217-225, N.-Y. Ravon Press, 1979.
- 4. Ryser H. J. P. Proc. of the Fourth intern. Congress in Pharmacology, v. 8, p. 95, Basel, 1970.
- 5. Boscs R., Mendez F., Mendez L., Anigston R. Exp. Cell Res., v. 76, p. 441, 1973.
 - 6. Ненасва Г. А., Демин Н. Н., Ашмарин И. П. Докл. АН СССР, т. 202. № 1. с. 232—234, 1972.
- 7. Ашмарин И. П., Гойло Т. А., Гончарова В. П., Нечасва Г. А., Степанова И. С. Биохимия, т. 40. в. 2. с. 331—337, 1975.
- 8. McIlwain H. Chemical exploration of the brain, N.-Y., 1963.

- Браун А. Д. Тез. докл. научи .конф. Институт питологии АН СССР, с. 16, Л., 1972.
- Демин Н. Н., Нечасва Г. А. Вопросы бнохими мозга, т. 9, с. 171—176, Ереван, Изд-по АН АрмССР, 1974.
- Ашмарин И. П., Демин Н. Н., Лопатина Н. Г., Нечаева Г. А. Физнол. жури. СССР, т. 38, № 4, с. 489—494, 1977.
- 12. Рыжова Л. Ю., Кулагин Д. А., Лопатина Н. Г. Генетика, т. 19. с. 121—125, 1983.
- Loury O. H., Rosebrough N. J., Farr A. L., Randall R. J. J. Biol. Chem., v. 193. No. 1, p. 265-275.
- Демин Н. Н., Нечасва Г. А. VII Всесоюзи, нейрохимическая конф., тезисы научи, сообщений, с. 100—101, Л., 1976.
- Neary J. T. Acosta-Urquidi J. Alkon D. L. J. Neurochem, v. 44, suppl. s. 13, 1985.

Поступила 17. XII 1986

ИЗДАТЕЛЬСТВО «МИР» ПРЕДЛАГАЕТ:

Иммунологические методы исследования (под ред. И. Лефковитса, Б. Перниса), перевод с англ., 1988, 38 л.

Книга представляет собой перевод III тома серии: «Иммунологические методы». Переводы двух первых томов выпушены издательством «Мир» в 1981 и 1983 гг. В данный том вошли последние, наиболее актуальные методические разработки в области молекулярной и клеточной иммунологии.

Для иммунологов, специалистов по молекулярной биологии, цитологов, врачей, лаборантов научно-исследовательских институтов, аспирантов и студентов биологических специальностей.

Иммобилизованные клетки и ферменты (под ред. Дж. Вудворла), перевод с англ., 1988, 14 д.

Книга международного коллектива авторов (главным образом англинских) представляет собой сборник современных методов, рекомендуемых для получения стабилизированных препаратов клеток и ферментов и их использования в практических целях. Подробно описаны приемы адсорбционной и ковалентной иммобилизации ферментов, иммобилизация включением в гель, комплексообразованием с металлами, микрокапсулированием, а также применение стабилизированных биологических препаратов для создания электродов и датчиков, проведения электрохимических процессов, модификации стероидов, анализа гормонов и других целей.

Для специалистов в области биотехнологии, биохимиков, химиков.



HEUDOXUMUN

т. 6, № 4, 1987

УДК 612.822 1.017.1

ОЧИСТКА И НЕКОТОРЫЕ СВОИСТВА АМИНОПЕПТИДАЗЫ МИЕЛИНА

ХРУСТАЛЕВА Н. А., БАСКАЕВА Т. С., ХОХЛОВ А. П.

I Московский ордена Ленина и ордена Трудового Краснего Знамени медицинский институт им. И. М. Сеченова

Работа посвящена выделению аминопептидазы миелина и изучению ее некоторых физико-химических характеристик.

Установлено, что аминопептидаза находится в миелине в связаниом состоянии и проявляет активность только после предварительной обработки. Активность фермента колеблется от 10 до 24 ед./мг белка.

Показано, что аминопептидаза мислина имеет величину $M_{\rm f}$ 62,3 \pm 3,7 кД, оптимум рН 9,6—9,8, ИЭТ при р1 8,92

Спектр ферментов мислина до настоящего времени не выяснен и является предметом обсуждения [1]. Что касается протеолитических анзимов, то сведения о них крайне ограничены и зачастую противоречивы. Исследованиями D' Monte и соавт. [2] показано присутствие в мислине кислых и нейтральных протеаз с низкой величиной У. А. 0,1 до 0,62 ммоль/ч на 1 г белка и аминопептидазы с У. А. 24 ммоль/ч на 1 г белка, что соответствует прежнему представлению о мислине как инертной биологической структуре. Однако полученные в дальнейшем данные [3] о высокой скорости обновления белков мислина (период полужизни основного белка мислина мозга крысы составил 20—30 дией) позволили предположить присутствие в мислине протеолитических ферментов с высокой величиной У. А.

Целью настоящей работы явилась очистка и изучение иекоторых свойств обнаруженной нами высокоактивной аминопептидазы миелина мозга.

В работе были использованы кролики породы шиншилла. После декапитации головной мозг немедленно извлекали и обрабатывали. Миелин выделяли по методу Norion, Podusio [4] в некоторой модификации. 1,5 г ткани мозга гомогенизировали в 10 мл 0,32 М раствора сахарозы (I стадия). Гомогенат наслаивали в равном объеме на 0.85 М раствор сахарозы в 0.1 М трис-буфере рН 7.4 и центрифуги-

ровали в центрифуге VAC-602 на бакет-роторе 30 мин при 75000g (П стадия). Промежуточный слой, содержащий миелин, осторожно отсасывали, смешивали с 15 мл дистиллированной воды и центрифугировали 15 мин при 75000 g (П стадия). Осадок суспендировали в 8 мл дистилированной воды и вновь наслаивали на 0,85 M раствор сахарозы. Пробы центрифугировали 30 мин при 75000g на бакет-роторе (IV стадия). Промежуточный слой суспендировали в 8 мл физиологического раствора и центрифугировали при 20000 g (V стадия). Осадок, суспендированный в физиологическом растворе в соотношении 1:7, использовали для выделения фермента.

Активность фермента определяли по методу Hashen, Farr [5]. Велок определяли по Lowry и соавт. [6]. Величину У. А. выражали в мкмоль гидразина, образующегося в мин/мг белка. Для выявления субстратной специфичности использовали другие субстраты L-лейцинамид [7]. L-лейцин-п-нитроанилид. В последнем случае определение активности фермента проводили по методу Nagel и соавт. [8]

Гомогенность выделенного фермента и величину М_г определяли методом электрофореза в ПААГ. В качестве маркеров применяли набор стандартных белков («Pharmacia», Швеция).

Оптимальный для фермента диапазон рН выявляли с помощью 0.1 М глицинового буферного раствора (рН от 8.0 до 10,0).

Изоэлектрическую точку определяли методом изохроматофокусирования, предложенного Slyterman и соавт. [9]. В качестве ионообменной твердой фазы использовали гель РВЕ 118 («Pharmacia», Швеция), уравновешенный 0.025 М триэтиламиновым буфером, рН 11,0. Элюцию пробы проводили фармалитом в разведении 1:45, рН 8,0—10,5. Фракцию собирали, используя коллектор Ultrarak («LKB», Швеция). Проверку образцов проводили спектроскопически, применяя проточный спектрофотометр Uvicord III («LKB», Швеция). Одновременно в пробах проводили определение активности фермента. Образцы, имеющие активность фермента, отбирали и измеряли рН при помощи прецизионного рН-метра («Огіоп», США) с микроэлектродами («LKB», Швеция). соответствующими их изоэлектрической точке.

Ранее в биологических жидкостях больных демиелинизирующими заболеваниями нами обнаружен протеолитический фермент миелина в комплексе с ингибитором, имеющим высокое сродство к декстранам [10]. Последнее обстоятельство значительно облегчает процесс выделения фермента. Для этого исследуемую биологическую жидкость пропускают через колонку с сефадексом G-75 и многократно промывают сорбированиый фермент физиологическим раствором. Сефадекс на колонке слегка подсушивают кратковременным центрифугированием и оставляют при температуре 0—5° на 4—5 дней. За это время (видимо вследствие аутоокисления) разрушается химическая связь между ферментом и связывающим агентом и становится возможным элюирование растворами слабой понной силы. Однако при использовании в качестве источника фермента суспензии миелина метод оказался недостаточно

эффективным (активность фермента колебалась в пределах 2—6 ед/мг белка) и вследствие этого был модифицирован.

Выделение фермента из мислина проводили следующим образом: на колонку размером 10×1.5 см с приспособлением для центрифугирования, наполненную набухшим сефадексом G-75, наносили суспензию миелина (6—8 мг белка) и центрифугировали при 700 g 1 мин. Балластные белки смывали сначала 20—25 мл физиологического раствора, затем 10 мл 3%-ного раствора формальдегида, содержимое колонки центрифугировали при 700 g 1 мин, после чего фермент элюпровали 5 мл 7%-ного раствора формальдегида в 0.01 М трис-HCI буфере рН 7,4 с повторным центрифугированием в тех же условиях.

Вся процедура выделения занимала не более 1,5 ч и была проведена при комнатной температуре. Лиофилизированный препарат фермента накапливали (в течение месяца фермент терял не более 5% активности) и использовали для исследования.

Величина У. А. выделенного фермента находилась в пределах 10— 24 ед/мг белка, тогда как исходная активность аминопептидазы мислина колебалась от 0,01 до 0.03 ед/мг белка.

Сравнительное исследование величины У. А. фермента на различных стадиях очистки мнелина показало, что ферментативная активность не является примесью других фракций мозга. В то же время попытка выделить фермент из неочищенных гомогенатов мозга вышеописанным способом была неудачной.

Электрофоретическое исследование препарата в присутствии $\mathcal{A}\mathcal{A}\text{C-Na}$ показало, что фермент очищен до состояния, близкого к гомогенному (рисунок). Изучение его электрофоретической подвижности в сравнении со стандартными белками позволило установить M_r основной белковой полосы, равную 62.3 ± 3.7 к \mathcal{A} . и минорной полосы, равную, 14.4 ± 1.2 к \mathcal{A} .

Для проверки специфической активности обнаруженных фракций столбик геля извлекали из трубочек, разрезали в поперечном направлении по 2 мм и каждый кусочек элюировали $0.05\,\mathrm{M}$ веронал-мединаловым буфером рН 8.6. содержащим $2.5\,\%$ -ный КСІ, в присутствии которого ДДС-Na осаждается. Надосадочную жидкость анализировали на наличие активности. Установлено, что $95\,\%$ аминопептидазной активности (субстрат лейцингидразид) сбладал участок геля, соответствующий фракции с $\mathrm{M_r}$ $62.3\pm3.7\,$ кД и лишь $5\,\%$ активности фермента было обнаружено в зоне, соответствующей $\mathrm{M_r}$ $14.4\pm1.2\,$ кД.

В опытах с использованием различных субстратов установлено, что очищенный фермент имеет определенную субстратную специфичность и с одинаковой скоростью гидролизует лейцингидразид. лейцинамид и совершению не расщепляет классический ариламидазный субстрат лейцин-п-иитроанилил, который исследователи часто используют для определения протеазной активности миелина [11].

Оптимальная область рН выделенного фермента соответствует значениям 9.6—9.8. тогда как другие протеолитические ферменты миелина проявляли наибольшую активность при нейтральных значениях рН. [12].

Анализ препарата фермента методом изохроматофокусирования показал присутствие 2 белков с различными изоточками (рисунок). Точки рН изофокусирования обнаруженных пиков соответствуют p1 8.92 и рН 7,76, при этом активность фермента с изоточкой p1 8.92 в три раза превосходила активность другой фракции фермента.

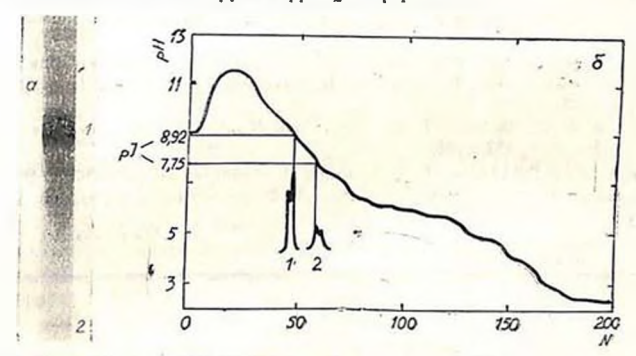


Рис. Электрофорсз в ПААГ- (а) и изофомусирование (б) препарата фермента. выделенного из мислина: I—фракция с M_e 62.3 кД; 2—фракция с M_e 14.4 кД

Таким образом, в мислине ЦНС животных впервые обнаружен протеолитический фермент с высокой активностью, который обладает определенной субстратной специфичностью и имеет рН в щелочной среде с изоточкой рН 8,92.

PURIFICATION AND PROPERTIES OF AMINOPEPTIDASE FROM MYELIN

KHRYSTALYEVA N. A., BASKAEVA T. S., KHOKHLOV A. P.

I. M. Sechenov Ist Medical School, Moscow

Purification scheme and some physico-chemical properties of aminopeptidase from myelin are reported. It has been established that enzyme exists in myeline in a membrane bound form and is released only after pretreatment. The specific activity of enzyme is 10-24 U/mg of protein, M_r is 62.3 ± 3.7 kDa, pH optimum-9.6, pl value-8.92.

AHTEPATYPA

- Lees M. B., Sapirstein V. S. Myelin-associated enzymes Dept. Biochem. Eunice Kennedy Shriver Center Mental Retardartation, Waltman. Handbook Neurochem. New-York, v. 4, p. 435-460, 1983.
- 2. D'Monte B., Mela P., Parks N. Eur. J. Biochem. v. 23, No 2, p. 355-365, 1971.
- 3. Agrawul H. C., Fujimoto K., Eurton R. M. Trans Amer. Soc. Nourochem., v. 6, p. 127, 1975.

- 4. Norton W. T., Poduslo S. E. J. Neurochem., v. 21, p. 749-759-1973.
- Hashen R. J., Farr D. Z. Klin. Chem. and Klin. Biochem., v. 6, p. 11-12, 1968.
 Lowry O. H., Rosengrough N. J., Farr A. L., Randal R. J. J. Biol. Chem. v. 193, p. 265-275, 1951.
- 7. Spackman D. H., Smith E. L., Brown D. M. J. Biol. Chem., v. 212, p. 255-269,
- 8. Nagel W. F., Willing F., Schmidt F. H. Klin. Wochenschrift, v. 42, p. 447, 1964.
- Styterman L. A. E., Wijdenes J.-In: Proc. Int. Symp. Electrofocusing and Isotachophoresis, (eds. B. J. Radola, D. Graesslin.), p. 463-466, de Gruyter, Berlin, 1977.
- Хохлов А. П., Баскасва Т. С., Хрусталева Н. А. Бюл. эксперим: биол: и мед., т. 10, с. 430—432, 1986.
- 11. Rinne U. K., Riekkinen P. J. Acta neurol. scand., v. 44, p. 156-167, 1968.
- 12. Riekkinen P. J., Clausen J., Arstila A. U. Brain Res. v. 19, p. 213-227, 1970:

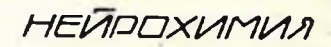
Поступила 30. VII 1987

В ИЗДАТЕЛЬСТВЕ «НАУКА»

готовится к печати в 1988 г. (II квартал) монография Тарановой Н. П. «Липиды центральной системы при повреждающих воздействиях» 12 а.л.

Настоящая работа является первой попыткой систематического изучения Закономерностей повреждающего действия различных патогенных факторов на мембранные структуры ЦНС путем всестороннего исследования состава и обмена различных липидов головного й спинного мозга. Специально разработанный методический подход позволил получить новые факты, раскрывающие некоторые, ранее неизвестные стороны патогенеза поражений ЦНС при острой и хронической интоксикации фосфорорганическими соединениями, при аллергической демиелинизации и при остром дучевом поражении. Впервые показано, что при действии различных повреждающих факторов в ЦНС развиваются как специфические, так и неспецифические изменения в составе и обмене липидов. Получен экспериментальный материал, вскрывающий ряд особенностей состава и обмена липидов спинного мозга, заслуживающих дальнейшего исследова ния. На основе всестороннего анализа экспериментальных данных и сведений антературы впервые выдвигается и обосновывается положение 🖑 том, что в основе различных повреждений структуры и функции нервной системы лежат нарушения в составе и обмене липидных компонентов и/или глиальных мембран. В книге представлены данные, характеризуюшие направленность и глубину нарушений обмена различных липидов при указанных повреждениях, а также общие закономерности метаболического ответа нервной ткани на ряд повреждающих воздействий, независимо от природы патогенного фактора.

Книга представляет интерес для специалистов, работающих в области нейрохимии, невропатологии, токсикологии.





т. 6, № 4, 1987

УДК 577.1:591.481:615.221

ПОВЫШЕНИЕ АНТИОКИСЛИТЕЛЬНОЙ АКТИВНОСТИ ЛИПИДОВ ГОЛОВНОГО МОЗГА КРЫС ПОСЛЕ ВВЕДЕНИЯ ФЕНАЗЕПАМА

(к вопросу о механизме антистрессорного действия бензодназепинов)

МОЛОЧКИНА Е. М., ПАПИН А. А., КАИПОВА Г. Д., КОРОТКИНА Р. Н., "БУРЛАКОВА Е. Б., КАРЕЛИН А. А.

"Институт химической физики АН СССР, Институт хирургин им. А. В. Вишиевского АМИ СССР, Москва

В последнее время в клинике широко применяют отечественный транквилизатор 1,4-бензодиазепинового ряда феназепам [1]. Основной целью его назначения в предоперациенном периоде хирургическим больных является обеспечение адекватного антистрессорного эффекта, то есть подавление (устранение) психоэмоционального напряжения.

Имеющиеся в литературе данные свидетельствуют о важной роли интенсификации перекисного окисления липидов (ПОЛ) клеточных мембран в механизме развития эмоционально-болевого и эмоционального стоесса у животных и человека [2—10]. В плане изучения механизма антистрессорного действия феназепама важно установить, как влияет этот препарат на интенсивность ПОЛ в головном мозгу у животных. Постановка такой задачи является необходимой и потому, что ранее были получены данные, казалось бы, противоречащие проявляющемуся по клиническим показателям антистрессорному действию феназепама, то есть было обнаружено его прооксидантное действие в модельной системе и усиление ПОЛ в печени крыс после внутрибрюшивного введения препарата [11].

Объектом исследования были 90 самцов белых крыс со средней массой тела 200 г, содержавшихся на обычном рационе вивария. Раствор феназепама готовили из сухого порошка путем солюбилизации его в 0,9%-ном растворе NaCl с помощью твина-80. Препарат вводили внутри-брюшинно в количествах 0,5 и 5,0 мг на кг массы тела животного. Крысам контрольной группы вводили 3%-ный раствор твина-80 в 0,9%-ном растворе NaCl. Одной из групп животных одновременно с феназепамом внутрибрюшинно вводили таламонал (2,0 мл/кг), содержащий 2,5 мг дроперидола и 0,05 мг фентанила. Крыс забивали через 1, 4, 6, 24, 48 и 72 ч после введения феназепама или 0,9%-ного раствора NaCl. Мозг

после этого быстро извлекали, промывали холодным 0.9%-ным раствором NaCl, измельчали в микроизмельчителе ткани. Экстракцию липидов из ткани мозга проводили смесью хлороформа и метанола по методике Кейтса [12]. Об уровне ПОЛ судили по антиокислительной активности (АОА) липидов, которую определяли на метилолеатной модели [3]. На рисунке каждая точка на кривых соответствует 2—4 определениям АОА. У каждой точки обозначены границы доверительного интервала величины Δ AOA (в % от AOA контр., ρ =0.05). Число групп контрольных животных, у которых определяли АОА липидов мозга, было 16. На рисунке заштрихована область значений Δ AOA (в %), значимо не отличающихся от 0 (в пределах ρ =0.05).

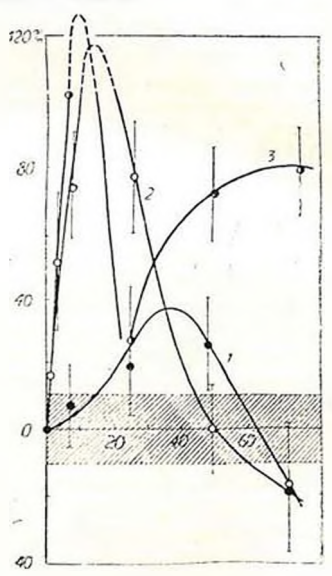


Рис. Изменение антиохислительной активности (АОА) липидов головного мозга крыс после пведения феказепама. По оси абсцисс—времи после внутрибрюшимного введения препаратов животным (ч): по оси ординат—наменение АОА в $\binom{\Delta}{N}$ $\binom{\Delta OA}{N}$ (опыт-хонтр.) после введения $\binom{\Delta OA}{N}$ миру (1). 0,5 мг/кг (2) феназепама и соместного введения (3) феназепама (5 мг/кг) с таламоналом (2 мл/кг)

На рисунке представлены изменения АОА липидов головного мозга крыс (в % по отношению к абсолютной величине исходной АОА) после однократного введения феназепама в дозах 0.5 и 5.0 мг/кг. Видно, что феназепам существенно повышает АОА липидов мозга, то есть подавляет ПОЛ В обоих случаях (как при высокой, так и при инзкой дозах) после

введения феназспама характер кривых изменения АОА липидов аналогичен, то есть спачала отмечается подъем, затем возвращение к исходному уровню, за которым следует исбольшое понижение АОА по сравнению с нормой. Выраженное и продолжительное увеличение АОА липидов головного мозга под действием феназепама позволяет предположить, что способность феназепама повышать АОА липидов мозга вносит значимый вклад в защитный антистрессорный эффект, оказываемый этим веществом на животных и человека.

Поскольку в схему премедикации хирургических больных помимо феназепама (основного компонента) входит также таламонал, представлялось важным изучить совместное влияние феназепама и таламонала на АОА липидов мозга Кривая 3 на рисунке демонстрирует изменения АОА липидов мозга крыс после одновременного введения феназепама и таламонала. Во все сроки наблюдения АОА существенно повышена по сравнению с исходным уровнем, и намного выше (кроме срока 24 ч), чем АОА липидов при введении одного феназепама. Если понижение АОА через 72 ч после введения феназепама связано с некоторым его повреждающим действием (как это показано для гепатоцитов [11]), можию предположить, что таламонал способствует снятию этого повреждающего эффекта. Более выраженное увеличение АОА липидов мозга после совместного пведения феназепама и таламонала является, на наш взгляд, обоснованием щелесообразности включения последнего в комбинации с бензодназепинами при введении их в организм с антистрессорной целью.

Возвращаясь к действию феназепама, хочется отметить тот факт, что прирост АОА при введении малой дозы феназепама существенно больше такового, вызванного высокой дозой. Этот, на первый взгляд, парадоксальный результат можно, по нашему мнению, объяснить двойственным влиянием препарата на клеточный метаболизм: с одной стороны, его прооксидантным действием при включении в липиды [11], с другой повышение АОА вследствие рецепторного связывания феназепама нервими окончаниями [13]. Учитывая, что в печени или нет бензодиазепиновых рецепторов или их очень мало по сравнению с мозгом, с этах же позиций можно объяснить и разницу в действии феназепама (5 мг/кг) на АОА липилов мозга и печени (повышение в первом и понижение [11] во втором случае). Разумеется, мы не исключаем и другие возможности объяснения описанных экспериментальных фактов.

INCREASED RAT BRAIN LIPID ANTIOXIDATIVE ACTIVITY AFTER PHENAZEPAM INJECTION

(concerning the mechanism of stressprotective action of Lenzodiazepines)

MOLOCHKINA Ye. M., PAPIN A. A., KAYIPOVA G. D., KOROTKINA R. N., *BURLAKOVA Ye. B., KARELIN A. A.

*Institute of Chemical Physics, USSR Academy of Sciences, Moscow A. V. Vishnevsky Institute of Surgery, USSR Academy of Medical Sciences, Moscow

Intraperitoneal injections of phenazepam have been found to result in a marked and prolonged increase in rat brain lipid antioxidative activity (AOA).

Since lipid peroxidation intensification (and AOA decrease) are one of the essential features of stress injuries, it is quite reasonable to believe that it is the phenazepam capacity to raise rat brain lipid AOA that contributes markedly to the stressprotective effect of the drug in human beings and animals. A more pronounced AOA increase after joint administration of phenazepam and thalamonal indicates the expediency of tandem administration of thalamonal with benzodiazepines in stress conditions.

ЛИТЕРАТУРА

- 1. Феназепам (под ред. А. В. Богатского), Киев "Наукова думка, 1982.
- 2. Богданова Е. Д., Катан В. Е., Кулиев И. Я. и др. Иммунология, № 2. с. 65—66 1981.
- Бурлакова Е. Б., Алесенко А. В., Молочкина Е. М. и др. Биоантиоксиданты в лучевом поражении и элокачественном росте. М., Наука, 1975.
- 4. Меерсон Ф. З., Коган В. Е., Прилипко Л. Л., Ромицкая И. И. Бюл. эксперим. 6нол. и мед., т. 87, № 1, с. 404—406, 1979.
- Прилипко Л. Л. Роль процессов перекисного окисления липидов в повреждении мембранных структур мозга при стрессе и гипероксии. Автореф. доку. дисс.. М., 1983.
- 6. Прилипко Л. Л., Ор.108 О. М., Ноанова Е. М. Докл. АН СССР, т. 265. № 4, с. 1010—1014, 1982.
- 7. Шэсдоаа А. А., Казан В. Е., Кулиев И. М. Бюл, эксперим, биол, п мед. т. 93. № 4, с. 24—25, 1982.
- 8. Меерсон Ф. З., Казан В. Е., Прилипко А. А., Рожицкая И. И. Бюл. эксперимбиол. и мед., т. 90, № 12, с. 661—663, 1980.
- 9. Месреон Ф. З., Павлова В. И., Коробейнихова Э. Н. Вопр. мел. химии. т. 26. № 6, с. 827—832, 1980.
- Молодаемин Т. Н., Поюровский М. В. Бюл. эксперим. биол. и мед., т. 100, № 7.
 с. 36—38, 1985.
- Молочкина Е. М., Кашпова Г. Д., Короткина Р. Н., Карелин А. А., Папин А. А. Вопр. мед. химин, т. 31, № 3, с. 17--21, 1985.
- 12. Кейтс М. Техника липидологии, М., Мир. 1975.
- Каипова Г. А. Ваняние модификаторов ГАМК-ергической системы на липиды клеточных мембран. Автереф. канд. дисс. М., 1986.

Поступила 23. IV 1987



HEUDOXUMUN

т. 6, № 4, 1987

письма в редакцию

УДК 547.95

НЕПРИМЕНИМОСТЬ ХИНУКЛИДИНИЛЬЕНЗИЛАТА ДЛЯ ЭКСПЕРИМЕНТОВ С МУСКАРИНОВЫМ РЕЦЕПТОРОМ В РАВНОВЕСНЫХ УСЛОВИЯХ

ЭЛЛЕР М. Х., КЫЙВ А. Х., ЛАНГЕЛ Ю. Л., РИНКЕН А. А.,

Тартуский государственный университет

Исследованием равновесного связывания исрадноактивного и меченного тритисм препарата хинуклидинилбензилата с мембраниям мускариновым холинорецептором коры больших полушарий мозга крыс $(25^\circ, 0.05\ \mathrm{M})$ фосфативій буфор, рН 7,4) показано, что истипная величина K_{d} рецептор-лигандного комплекса так мала что не может быть точно опредслена обыкновенными методами радиолигандного анализа. Получаемые же этим методом зависимости специфического связывания от концептрации лиганда являются, по существу, кривыми титрования рецептора, что объясняет зависимость определяемых по этим данным величин K_{d} от концентрации рецептора в реакционной системе. Сделан вывод, что $[^{3}H]$ хинуклидинилбензилат не может быть применим в качестве радиоактивного лиганда при исследовании вранмоденствия неградиоактивных лигандав с мускариновым рецептором в равновесных условиях

Биохимическое исследование мускаринового холинорецептора центральной и периферической нервной системы стало возможным в связи с появлением специфических радиоактивных лигандов, позволяющих определить низкие концентрации этого белка. Одним из первых среди таких веществ был хинуклидинилбензилат [1], который остался до настоящего времени наиболее широко применимым мускариновым лигандом. Это объясияется высокой эффективностью связывания [3H] хинуклидинилбензилата с рецептором, что обеспечивает низкий уровень иеспецифического связывания [1]. Немаловажное эначение имеет также коммерческая доступность меченного тритием до высокой удельной радиоактивности препаратов этого вещества [2].

Обратимость связывания [3H] хинуклидинилбензилата с мускариновым рецептором подтверждается вытеснением этого радиоактивного
лиганда из комплекса избытком других мускариновых лигандов [1, 3,
4]. Кроме того, экспериментальные данные по связыванию [3H] хинуклидинилбензилата описываются, как правило, уравнением изотермы связывания для одноцентровой модели рецептора. Тем не менес, полученные из этих кривых связывания лиганда значения Ка рецептор-лигандного комплекса оказались неодинаковыми. Так, например, для мускари-

нового рецептера мозга крыс были получены значения— K_d в интервале от $9.1\cdot 10^{-12}\,\mathrm{M}$ [5] до $5.7\cdot 10^{-10}\,\mathrm{M}$ [6], хотя эксперименты в этих работах проводились в близких условиях. Кроме того, кажущиеся величины K_d в значительной степени зависят от концентрации рецепторизго белка в реакционной смеси [7, 8], что невозможно объяснить, исходя из простых равновесных схем связывания. Все это заставляло нас вновь обратиться к вопросу определения «истинной» K_d комплекса хинуклидинилбензилата с мускариновым рецептором. С этой целью нами применены подходы с определением в условиях равновесного комплексообразования как свободного рецептора, так и рецептор-лигандного комплекса

Матерхалы и методы

Мембранцый препарат мускаринового холинорецептора коры больших полушарий мозга крыс в 0,05 М К⁺-фосфатном буфере (рН 7,4) получен, как описано раньше [9]. В качестве радиолиганда использовали препарат L-[3H] хинуклидинилбензилата («Ашегѕһани», Англия) с удельной радиоактивностью 38 Ки/ммоль. D, L-хинуклидинилбензилат был синтезирован в лаборатории проф. Н. Н. Годовикова (Институт элементоорганических соединений АН СССР) и любезно был предоставлен для проведения измерений. Концентрацию активного компонента в растворах этого препарата рассчитывали из навески, учитывая, что в условиях изучения его связывания с холинорецептором активным является только один из изомеров в рацемической смеси [10, 11].

Определение рецептора по связыванию радиоактивного лиганда проводили методом фильтрации проб на стекловолокнистых фильтрах GF/B («Whatman», Англия). Использованные реактивы, методика обработки фильтров и измерения связанной с ними радиоактивности описаны раньше [9].

Хинуклидинилбензилат инкубировали с мембранным препаратом рецептора в зависимости от условий опыта от 3 до 24 ч (25°). Отдельно было показано, что этого достаточно для завершения реакции комплексообразования при всех использованных концентрациях рецептора и лиганда. В течение этого времени спонтанной инактивацией рецептора можно пренебречь [9].

Специфическое связывание L4[3H] хинуклидинилбензилата с мембранными препаратами холинорецептора определяли и по разнице общего и неспецифического связывания лиганда. Последнюю величину определяли в присутствии 10 мкМ атропинсульфата («Мегск», ФРГ); она не превышала 3% от общего связывания в использованном интервале концентрации L-[3H] хинуклидинилбензилата.

Радиохимическую чистоту препарата L-[3 H] хинуклидинилбензилата определяли методом ТСХ на пластинках «Силуфол» (ЧССР), используя в качестве элюента смесь хлороформ-метанол-вода (10:7:1). В пике с R_t =0,33, соответствующей L-[3 H] хинуклидинилбензилату, оказалось $85\pm2\%$ радиоактивности (среднее из 3-х определений).

Концентрацию L-[3H] хинуклидинилбензилата определяли также титрованием мембранным препаратом рецептора. Количество рецепторных участков в мембранных препаратах было определено по специфическому связыванию большого избытка (10 нм) L-[3H] хинуклидинил-бензилата.

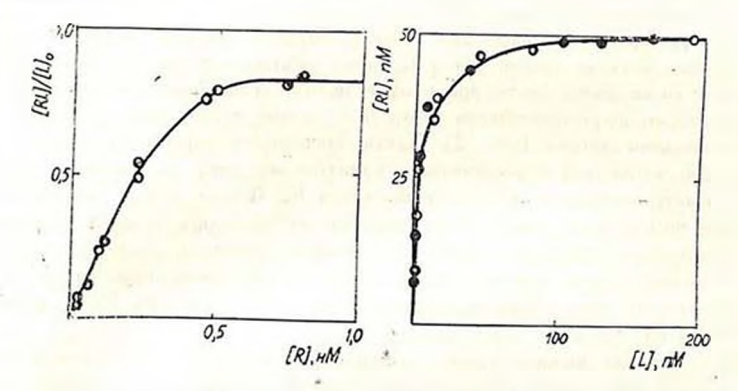


Рис. 1. Титрование препарата L-[3H] хинуклидинилбензилата мускариновым рецептором в 0.05 М фосфатиом буфере рН 7.4. 25°. Приведены средние значения трех определений

Рис. 2. Специфическое связывание препаратов 1.-[3H]хинуклидинилбенан лата (○) и D, L-[3H] хинуклидинилбенанлата (●) с мембранами мозга хрыс в 0.05 М фосфатном буфере, pH 7.4, 25° в зависимости от концентрации L-изомера свободного лиганда. Приведены средние значения трех определений

Проводя затем реакцию комплексообразования при разных концентрациях рецептора и одинаковой концентрации радиолиганда (0,29 им), было найдено, что максимальное количество образующегося комплекса соответствует $84\pm4\%$ радиоактивного лиганда в реакционной среде (рис. 1). Полученное этим методом содержание активного вещества в препарате L-[3H] хинуклидинилбензилата хорошо совпадает с данными хроматографического анализа.

Результаты и обсуждение

Зависимости концентрации рецептор-дигандного комплекса от концентрации свободного лиганда для хинуклидинилбенэилата были получены двумя разными методами.

В первом случае определяли непосредственно специфическое связывание радиоактивного лиганда с мембранами (рис. 2). При этом была учтена концентрация активного лиганда в препарате, найденная методом ТСХ или титрования рецептором.

В случае нерадиоактивного лиганда определяли количество свободного рецептора после завершения реакции связывания, используя 10-кратный избыток радиоактивного лиганда (1.5 нМ). Применение такой методики возможно в связи с низкой скоростью диссоциации комплекса хинуклидинилбензилата с мускариновым рецептором [3]. Рассчитанная по результатам этих опытов зависимость концентрации RL-комплекса от концентрации свободного L-изомера лиганда в растворе также показана на рис. 2.

Даниме, полученные для обоих препаратов хинуклидинилбензилата. свидетельствуют о том, что в условиях избытка рецептора в реакционной смеси имеет место практически полное связывание лиганда с рецептором до эквивалентной точки и в системе практически отсутствует свободный лиганд (рис. 2). Такая зависимость характерна для случаев, когда рецептор-лигандный комплекс является необратимым или характеризуется очень низким значением Ка. Факты о том, что хинуклидинилбензилат может быть вытесиен из комплекса с мускариновым рецептором избытком других мускариновых лигандов, свидетельствуют в пользу вторей возможности. При этом данные, приведенные на рис. 2, позволяют дать только приблизительную оценку величины Ка в пределах 1 пМ или ниже.

Так как нижний предел концентрации рецептора, определяемый в опытах связывания радиоактивных веществ, зависит от удельной радиоактивности этих лигандов, можно заключить, что точную величину эпределить коммерчески доступными препаратами Ка невозможно L-[3H] хинуклидинилбензилата. Приведенные в то же время в литературе значения Ка не имеют присванваемого им физического содержания. поскольку вместо кривой равновесного связывания хинуклидинилбензилата, очевидис, получают кривую «титрования» активных центров рецептора. В таком случае обнаруженная в нескольких работах зависимость Ка от концентрации рецепторного белка в реакционной среде [7. 8] приобретает конкретное содержание. Кроме того, можно понять. что тенденция понижения приведенных в литературе значений Ка по мере увеличения У.А. используемого препарата L-[3H] хинуклидинилбензилата определяется возможностью проведения экспериментов при более низкой концентрации рецептора.

Показано, что при низких и умеренных концентрациях хинуклидинилбензилата кинетику реакции образования комплекса с рецептором описывает двухстадийная реакционная схема [12]:

$$R+L \xrightarrow{K_L} RL \xrightarrow{k_2} RL^*$$

в которой за быстрым наступлением равновесия следует медлениая стадия изомеризации комплекса RL в RL*. Так как экспериментальному определению поддаются значения K_L , k_π и k_{-2} , по этим величинам можно вычислить константу диссоциации K_d [12]:

$$K_d = K_L \cdot \frac{k_{-2}}{k_2}$$

Используя приведенные в работе Силларда и соавт. [3] результаты кинетического анализа (K_L =1.3 нМ, k_{-2} =2·10⁻³ c⁻¹, k_2 =1,2·10⁻² e⁻¹), получим K_d =2,1 пМ. Эта величина значительно ниже всех предложенных до сих пор значений K_d и согласуется с вышеприведенными представлениями об исключительно эффективном связывании хинуклидинилбензилата с мускариновым рецептором.

Таким образом, можно говорить о двух факторах, определяющих кажущуюся необратимость связывания хинуклидинилбензилата с мускариновым рецептором. Во-первых, этот комплекс характеризуется исключительно низкой Ка, вероятно, в пределах 1—2 пМ или ниже. Во-вторых, этот комплекс диссоциирует медленно, с временем полупревращения при 25° до 10 ч [3, 4], что уже сравнимо с временем полупревращения для процесса спонтанной инактивации свободного рецептора [9]. Оба эти фактора делают хинуклидинилбензилат удобным лигандом для определения концептрации рецепторных участков, но практически непригодиым для проведения измерений в равновесных условиях. Этот вывод относится прежде всего к результатам определения Ка для нерадиоактивных агопистов и антагонистов методом вытеснения, хотя основная масса обсуждаемых в литературе данных по мускариновым литандам получена именно таким путем.

QUINUCLIDINYL BENZILATE CAN'T BE USED AS A LIGAND IN EQUILIBRIUM BINDING STUDIES WITH MUSCARINIC RECEPTOR

ELLER M. H., KOIV A. H., LANGEL U. L., RINKEN A. A., TAHEPOLD L. J., JARV J. L.

State University, Tartu

The binding of tritium-labelled and unlabelled quinuclidinyl benzilate to the muscarinic receptor of rat brain membranes (25 C; 0,05 M Na, K-phosphate buffer, pH 7,4) has been studied. It has been found that the real dissociation constant (K_d) of the receptor-ligand complex is very small and cannot be determined by the usual method of equilibrium radioligand analysis. For this reason the experimentally obtained dependences of the specific binding of the ligand upon its concentration are, in fact, the titration curves of the receptor. Taking them for the equilibrium binding curves one can observe dependences between the artificial K_d-value and the receptor concentration. A conclusion is made that [3H]-quinuclidinyl benzilate cannot be used in equilibrium binding studies to get meaningful binding data for unlabelled ligands.

AHTEPATYPA

- Yamamura H. I., Snyder S. H. Proc. Nat. Acad. Sci. USA. Biol. Sci., v. 71, p. 1725-1729, 1974.
- Research products 1985 86, Amersham, London: Amersham International ple., p. 159, 1985.
- Силлара Р. Г., Яра Я. Л., Бартфай Т. Биологические мембраны, т. 3, с. 426—432, 1985.
- 4. Luthin G. R., Wolfe B. B. Mol. Pharmacol., v. 26, p. 164-169, 1984.
- Hruska R. E., Ludmer L. M., Pert A., Bunney W. E. Jr., J. Neurosci. Res., v. 11, p. 171-177, 1984.
- Moingeon Ph., Bidart J. M., Alberiet G. F., Boudene C., Bohuon C. Toxicology, v. 31, p. 135-142, 1984.
- 7. Hedlund B., Bartfai T. Mol. Pharmacol., v. 15, p. 531-544, 1979.
- 8. Ludford J. M., Talamo B. R. J. Biol. Chem., v. 255, p. 4619-4627, 1980.
- 9. Лангел Ю. А., Ринкен А. А., Тяхепыл.; Л. Я., Ярв Я. Л. Нейрохимия. т. 1. с. 343—351, 1982.
- Gaginella T. S., Rimele T. J., O'Dorisio T. M., Dorff R. J. Life Sci., v. 26, p. 1599-1608, 1980.
- Rimele T. J., O'Dortsio M. S., Gaginella T. S. J. Pharmacol. Exp. Ther., v. 218, p. 426-434, 1981.
- 12. Jarv J., Hedlund B., Bartfai T. J. Biol. Chem., v. 254, p. 5595-5598, 1979.

Поступила 11. VIII 1986

Психофармакология человека. т. Критерии и методы.

Human Psychopharmacology, v. 1. Measures and Methods (Eds. I. Hindmarch, P. D. Stonier), I. Wiley and Sons, Ltd., Baffins Lane, England, 256 p. 1987.

В книге обсуждаются проблемы использования и развития тестсистем, ключевых направлений исследований, практических вопросов экспериментов на человекс, применения экспериментальных достижений в
терапии, соотношения между риском и пользой и принятия соответствующих критериев эффективности и безопасности современных психофармацевтических препаратов.

Авторами отдельных глав являются проф. М. Hamilton, А. G. P. Sims, D. M. Warburton (Великобритания), проф. S. R. Wittenborn (США), а-р R. Pinder (Голландия) и др.

Книга предназначена для психофармакологов, психиатров, неврологов, клинических фармакологов, исследователей-психологов.



HEUDOXUMUN

т. 6, № 4, 1987

обзоры

УДК 615.322:547.447.5

МОЛЕКУЛЯРНЫЕ МЕХАНИЗМЫ НЕЙРОМЕДИАТОРНЫХ ЭФФЕКТОВ АЦЕТИЛХОЛИНА

ДОЛГО-САБУРОВ В. Б.

Институт токсикологии МЗ СССР, Ленинград

В обэоре приведены современные представления о молекулярных механизмах сопряжения мускариночувствительных холинорецепторов (м-ХР) с 5нохимическими системами эффекторных клеток. Обсуждена проблема гетеротенности м-ХР и сиязи ихподтинов с циклазными и фосфолнозитидной системами генерации вторичных мессенджеров. Подробно рассмотрена роль GTP-связывающих белков (N-белки) в регуляции сродства м-ХР к холинергическим лигандам и образования вторичных мессенджефов—циклических пуклеотидов, диацилглицерина и инозитолфосфатов.

Представления Langley [1, 2] о химической передаче нервного импульса явились выдающимся вкладом в развитие концепции регуляторно-трофической функции нервной системы. Постулированиая им гипотеза о существовании на поверхности эффекторной клетки «рецептивной субстанции» и секретируемого нервными окончаниями специфического сигнального вещества послужила основой для последующего создания весьма плодотворной теории, объясняющей физиологические эффекты нейромедиаторов.

Следующим чрезвычайно важным шагом на пути, ведущем к пониманию механизмов воздействия нервной импульсации на эффекторные системы, явились исследования Dale [3], обнаружившего сходство эффектов стимуляции парасимпатических нервов с действием эфиров холина и мускарина, а затем и Loewi [4], который продемонстрировал медиаторную роль АХ.

К настоящему времени оказались достаточно хорошо изученными характер взаимодействия АХ с мускарино- и никотиночувствительными холинорецепторами, структура их активной поверхности, локализация в ЦНС и периферических органах. Подробно исследованы особенности метаболизма АХ, его энзимология, связь с передачей нервного импульса и физиологическими эффектами. Однако, если вклад АХ в регуляторные механизмы парасимпатического отдела вегетативной первной системы в целом достаточно ясеи, то события, разыгрывающиеся в процессе взаимодействия этого испромедиатора с активной поверхностью

соответствующего рецептора, регуляция этого взаимодействия и его связь с системами, определяющими физиологический статус эффекторной клетки, требуют дальнейшего углубленного анализа.

Существенный прогресс в изучении холинорецепторов, в частности м-ХР, являющихся основным объектом нашего рассмотрения, был достигнут в 60-70 годы как результат разработки метода радиолигандного анализа позволившего охарактеризовать кинтринк всильна интринка дилания дилания дилания интринктивности и подволившего охарактеризовать кинтринка дилания и подволившего охарактеризовать и подволивш с ними специфических агентов, меченных радиоактивными изотопами. С помощью этого подхода была получена информация о локализации м-ХР в отделах мозга и внутренних органах, о характере связывания с ними агонистов и антагонистов и влиянии на эти процессы различных по структуре и фармакологической активности лигандов [5-9].

Обращает на себя внимание то обстоятельство, что полученные с помощью радиолигандного анализа результаты, отражающие содержание м-ХР в определенных органах и их сродство к холинолитикам и холиномиметикам, наиболее четко согласуются с данными, полученными в физиологических экспериментах, в том случае, когда оценивалось связывание с м-ХР меченых антагонистов или их конкурентное вытеснение из комплекса с рецептором немечеными агонистами. Что же касается связывания с м-XP in vitro меченых агонистов, то получаемая таким образом информация не полностью согласчется с тем, что удается наблюдать в экспериментах in vivo. Если взаимодействие ацтагонистов с м-ХР, оцениваемое с применением различных вариантов радиолигандного анализа, характеризуется относительной «кинетической простотой», то в случае агонистов оно не может быть корректно описано только лишь с помощью константы сродства одного типа. Сложность процесса связывания агонистов с м-ХР находиф отражение в значительном многообразни взаимоотношений, выраженных в координатах доза-эффект, регистрируемых биохимическими и традиционными физиологическими методами на одном и том же биообъекте и представляющих собой спектр ответов эффекторной клетки на холинергическое возбуждение [10—12].

Изложенные факты и соображения послужили основанием гипотезы о существовании гетерогенных подтипов м-ХР, различающихся по сродству к лигандам и, вероятно, по вкладу в холинергическую регуляцию физиологических функций. В 70-е годы в связи с появлением широкого спектра новых и оригинальных по структуре соединений холинолитичсского и холиномиметического типов действия концепция гетерогенности представлениями [13—16]. В настоящее м-ХР обогатилась новыми время рассматриваются по крайней мере три возможных предпосылки неоднородности м-ХР:

1. Непосредственно взаимодействующий с нейромедиатором участок присутствует во всех типах м-ХР, однако различия в мембраином окружении обусловливают особенности связывания с ним холинергических лигандов.

2. Неоднородность обусловлена особенностями структуры отдельных типов м-ХР (различия в первичной структуре рецепторного белка и его посттрансляционной модификации и др.). 612

3. Гетерогенность м-ХР определяется связью с различными эффекторными биохимическими системами.

В последнее время показана возможность существования подтипов м-ХР в растворе детергентов (дигитонии, холат) после экстракции из клеточных мембран мнокарда [17] и мозга [18] свиньи, коры больших полушарий мозга крысы [19] и кролика [20]. При этом изолированные рецепторные комплексы сохраняли, в целом, свойственные им особенности взаимодействия с лигандами. Это убедительно свидетельствует о том, что гетербгенность м-ХР не обусловлена исключительно влиянием мембранного окружения или иных факторов, а отражает реальность существования их подтипов. В пользу справедливости этих представлений свидетельствуют полученные в опытах in vivo и in vitro данные о том, что необратимый блокатор м-XP N-этоксикарбонил-2-этокси-1, 1-дигидрохиновии (ЭЭДХ) преимущественно связывался с мі-подтипом ХР мозга комсы [21, 22]. В связи с тем, что существенную роль в необратимом холиноблокирующем эффекте ЭЭДХ играет активация пептидных карбоксильных групп с образованием смешанного карбангидрола, способного к взаимодействию с прилегающими саминогруппами, избирательпость по отношению к определенному подтипу м-ХР связана, по-видимому, с большей доступностью карбоксильных групп этого рецепторного белка. Не исключено также, что доступность некоторых нуклеофильных радикалов, способных к взаимодействию с активированными этим реагентом карбоксильными группами, у гетерогенных подтипов м-ХР различна. Так или иначе, эти данные вносят важный вклад в представление о существовании подтипов м-ХР как индивидуальных структур.

Принципиально важные данные относительно гетерогенности м-ХР были получены в экспериментах с использованием [3H]пирензепина—трициклического холинолитика, обладающего существенно большим сродством к м-ХР различных отделов мозга (кора больших полушарий, полосатое тело, гиппокамп), чем к м-ХР миокарда и гладких мышц [23—25]. Было обнаружено, что этот истрадиционный лиганд связывается с высоким сродством с м1-подтипом ХР (по терминологии Натшег и соавт. [23]), выявленных с помощью принятого метода связывания [3H] (—)-хинуклидинилбензилата. Существенно менее эффективно пирензепин взаимодействует с м-ХР, преобладающими в миокарде, мозжечке, подвэдошной кишке и относимым к м2-подтипу [24—26].

С использованием меченых лигандов, [3H] пирензепина, [3H] оксотреморина и [3H] (—)-хинуклидинилбензилата методом автораднографии в светооптическом варианте обнаружены существенные различия в локализации различных подтипов м-ХР в структурах мозга лабораторных животных. Так, у крыс мі-ХР присутствуют главным образом в телэнцефалических образованиях (1 и II слои коры больших полушарий), зубчатой извилине, базолатеральных ядрах миндалины и обонятельном бугорке, а м2-ХР преобладают в холинергических ядрах ствола мозга, гипоталамуса, ядрах переднего мозга, III и V слоях коры больших полушарий [27—30]. В ходе постнатального развития соотношение

м1- и м2-XP в отделах мозга определенным образом изменяется [31]. При исследовании локализации различных типов м-XP в мозгу человека (секционный материал) было обнаружено присутствие м1-XP в базальных ганглиях, гиппокампе, миндалине и черной субстанции, а м2-XP—в стволе мозга, мозжечке и зрительном бугре. В коре больших полушарий и гипоталамусе содержание обоих подтипов м-XP было практически одинаковым. При ряде заболеваний ЦНС (паркинсонизм, болезнь Альцгеймера) соотношение подтипов м-XP оставалось неизменным [32].

Разработка представлений о гетерогенности м-ХР явилась важным шагом на пути изучения механизмов нейромедиаторных эффектов АХ. Существенный вклад в понимание процессов взаимодействия АХ с м-ХР и их регуляции вносят представления о сопряжении рецепторных структур плазматических мембран с GTP-связывающими белками (G- или N-белки), во многом определяющими как характер взаимодействия лигандов с соответствующими рецепторами, так и с эффекториыми системами клетки-мишени [33, 34]. Уместно кратко напомнить (более подробно этот вопрос будет рассмотрен далее), что N-белки играют чрезвычайно важную роль в реализации связи между рецепторами и биохимическими механизмами клетки и, будучи сопряженными с циклазами и фосфатидилинозитолфосфодизстеразой (фосфолипаза С), преобразуют гормональные и нейромедиаторные сигналы. Функционируя в неразрывном единстве с гуаниловыми нуклеотидами, эти белки играют в клетке роль принципнально важной модулирующей системы-интегрального компонента механизма восприятия рецептором поступающей информаини [35—40].

В середине 70-х годов в трех различных лабораториях практически независимо было продемонстрировано, что GTP или его негидролизуемый
GTРазой аналог Gpp(NH)р заметно снижают сродство м-ХР предсердия крысы к карбахолину, но не влияют на его взаимодействие с атропином [41—43]. Концентрация GTP и его аналога, при которой удавалось наблюдать полумаксимальный эффект ингибирования связывания
агониста с м-ХР, составляла 200 и 5 мкМ соответственно. Обращает
на себя внимание, что ноны 2-валентных металлов, главным образом
Мп²⁺ и Co²⁺, влияют на связывание холинергических агонистов противоположно тому, как это имеет место в присутствии GTP или его аналогов. По-видимому, взаимодействие АХ с м-ХР находится под двойным контролем—нонов металлов и GTP [44], возможность которого
обусловлена существованием в м-ХР специализированных участков связывания этих лигандов.

Эффектам гуаниловых нуклеотидов свойствениа достаточно выраженная ткансвая специфичность. Так, максимальное торможение связывания [3H]AX с м-XP коры больших полушарий, ствола моэга и мно-карда крыс составляло в присутствии Gpp(NH)р 32, 67 и 90% соответственно [45]. В равной мере это относится и к действию ионов металлов—в концентрации 2 мМ Ni²⁺, Co²⁺ и Mn²⁺ в средием вдвое уве-

личивали связывание [3H]AX с мембранными препаратами гиппокампа, коры и полосатого тела и минимально влияли на его взаимодействие с м-XP гипоталамуса, ствола мозга, мозжечка и предсердия [45, 46].

Проведенные в последние годы исследования свидетельствуют э том, что роль гуаниловых нуклеотидов, по-видимому, не ограничена влиянием на связывание агонистов, и их вклад в функционирование м-ХР более сложен. Удалось, в частности, показать, что в присутствии Gpp(HN)р происходит не только торможение связывания оксотреморина с м-ХР мискарда, но и усиление связывания холиноблокатора [3H] (—)-хинухлидинилобензилата [47]. Предполагается, что реципрокность эффектов гуаниловых нуклеотидов отражает гетерогенность м-ХР, различающихся сродством к холинергическим лигандам и находящихся в состоянии равновесия. Роль же гуаниловых нуклеотидов сводится к переводу м-ХР с высоким сродством к агонистам в форму, отличающуюся низким сродством к ним [46].

Зависимость процесса взаимодействия АХ с м-ХР от гуаниловых нуклеотидов наиболее выражена в тканях, обогащенных высокоаффинными участками связывания (ствол мозга, мозжечок). Характерно, что торможение связывания АХ в присутствии этих агентов сопровождается минимальными изменениями величины равновесной константы Ка, отражающей сродство м-ХР к лиганду [45]. Это хорошо согласуется с ранее обнаруженными фактами, полученными при анализе кривых, отражающих конкурентное взаимодействие [3H] антагониста с немеченым агонистом на активной поверхности м-ХР в присутствии гуаниловых нуклеотидов или без них [48, 49].

Таким образом, следует считать, что м-ХР, выявляемые в различных мембранных препаратах по связыванию [3H]АХ, могут быть разделены на GTP-чувствительные и GTP-нечувствительные, первые из которых относятся к м-ХР, обратимо сопряженным с N-белками [45, 50].

Механизмы обратимого перехода высокоаффинных форм м-ХР в низкоаффинные, индупируемого гуаниловыми нуклеотидами, остаются в значительной мере неясными. В настоящее время обсуждается роль тиолдисульфидных переходов в этих процессах. Так, обнаружена возможность превращения низкоаффинных м-ХР в нечувствительные к гуаниловым нуклеотидам высокоаффинные формы обработкой фракции мембран коры больших полушарий или ствола мозга Сп2+, модифицирующими тиоловые группы [51] рецепторного белка или сопряженных с ним N-белков. Не исключено также, что существующие различия в эффектах гуаниловых нуклеотидов в отношении м-ХР различной локализации (например, величина 150 для ингибирования связывания АХ колеблется от 0,3 мкМ для м-ХР мнокарда до 1-6 мкМ-для м-ХР раздичных областей мозга [45]) обусловлены гетерогенностью N-белков. В частности, Си-нуклеотидсвязывающие белки м-ХР миокарда по ряду характеристик отличаются от N-белков группы Go, сопряженных с м-ХР мозга [52].

Совершенно очевидно, что взаимодействие АХ с м-ХР является лишь первым эвеном в цепи событий, ведущих к изменению функционального состояния органа в ответ на нервный импульс. Большой интерес вызывает анализ механизмов, сопрягающих м-ХР с исполнительными биохимическими системами клетки-мишени. На рисунке приведена схема, отражающая современный уровень представлений о последовательности и взаимосвязи молекулярных процессов, инициируемых возбуждением м-XP. Vicroy и соавт. [53], по-видимому, одними из первых обобщив имеющиеся собственные и литературные материалы, пришли к заключению, что мь-ХР, локализованные преимущественно в головном мозгу и ганглиях и характеризующиеся высоким сродством к пирензепину и холиномиметикам McN-A-343 (4-[м-хлорфенилкарбамонлокси]-2бутинилтриметиламмоний хлорид) и АНК-602, опосредуют гидролиз фосфолниваой С фосфонновитидов («фосфонновитидный ответ») и последующую мобилизацию Ca2+. В то же время м2-XP, характеризующиеся низким сродством к пирензепину и локализованные главным образом в миокарде и гладкой мускулатуре кишечника. стимуляцией гуанилатинклазы и ингибированием аденилатинклазы.

По современным представлениям, стимуляцию ферментативного распада мембранных фосфатидилинозитолфосфатов с накоплением «вторичных мессенджеров»—инозитолтрифосфатов и диацилглицерина и последующим освобождением Са²⁺ из внутриклеточных депо [54—59], а также изменения метаболизма циклических иуклеотидов [60—62] следуст рассматривать как решающие для регуляции обмена веществ клетки биохимические события, обусловленные активацией м-ХР (рис.). Сложность и многостадийность процессов, возникающих при возбуждении м-ХР, объясняют более медленное развитие физиологического ответа, чем при стимуляции никотиночувствительных ХР [63, 64].

Удобной моделью для анализа механизмов сопряжения м-ХР с исполнительными системами является сердечная мышца. При взаимодействии АХ и других холинергических агонистов с м-ХР миокарда удается наблюдать накопление сGMP, снижение образования сАМР и распад фосфоинозитидов. Инкубация переживающих срезов сердца мыши в присутствии карбамилхолина вызывала резкое увеличение накопления инозитол-1-фосфата (по методическим причинам наиболее часто определяемого в качестве индикатора «фосфоинозитидного ответа» инозитолфосфата), предотвращаемое атропином [65, 66]. Аналогичные данные были получены на мнокардноцитах куриного эмбриона и фрагментах околоушной слюнной железы мыши. Обращает внимание то обстоятельство, что холиномиметики стимулировали распад фосфоннозитидов значительно медлениее, чем сопутствующее торможение синтеза сАМР, стимулированного изопротеренолом. Представляется важимм, что значения ЕД до для ингибирования стимулированного адреномиметиком синтеза сАМР и для накопления инозитолфосфатов различались в средчнем на 2 порядка, составляя 0,2 и 20 мкМ соответственно. По-видимому, тобе эти реакции отражают оккупацию м-ХР, по не находятся в причинно-следственных отношениях.

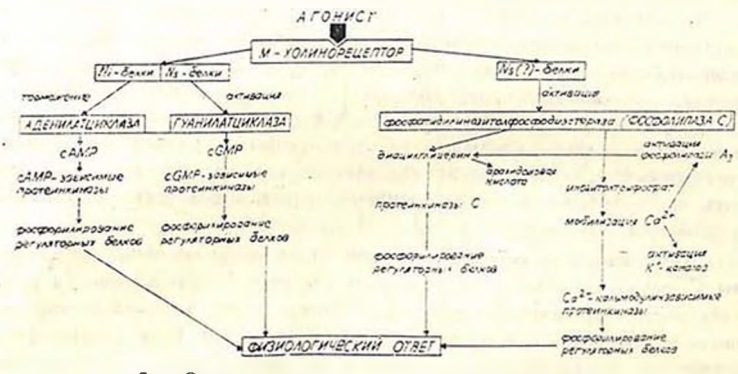


Рис. Основные пути реализации возбуждения м-ХР

Существенным следствием образования инозитолфосфатов, вызванного активацией м-ХР, служит накопление внутриклеточного Ca²⁺ (наиболее значимым в этом отношении является инозитол-1, 4, 5-трифосфат). Возникающие при этом сдвиги функционального состояния клетки имеют в основе не только активацию Ca²⁺-кальмодулинзависимых протеннкиназ (рис.), но также и активацию K⁺-каналов с последующим развитием гиперполяризации [67]. Мобилизация Ca²⁺ приводит кроме того и к повышению активности фосфолипазы A₂, ведущей к освобождению арахидоновой кислоты из диацилглицерина (рис.) и появлению биологически активных продуктов ее метаболизма в циклооксигеназной и липоксигеназной системах [68, 59], однако эта проблема является предметом специального рассмотрения.

Вполне закономерен вопрос, существуют ли особенности в сопряжении отдельных типов м-XP с «фосфоинозитидным ответом» и циклазны-«вторичных мессенджеров»? ми системами-основными генераторами В экспериментах на мнокардиоцитах куриного эмбриона было обнаружено, что карбамилхолин и оксотремории равноэффективно ингибировали образование сАМР, но только первый из них вызывал распад фосфоннозитидов в сопоставимых концентрациях. Интересно отметить, что при конкурентном вытесненин [°H](—)-хинуклидинилбензилата карбамилходином в интактных клетках выявлялось 2 участка связывания диганда-с высоким и низким сродством, в то время как оксотреморином удавалось продемонстрировать наличие только лишь участков с высоким сродством [69]. Эти факты позволили предположить существование особенностей связи выявляемых подтипов м-ХР с системами обмена фосфоинозитидов и сАМР. Баизкие по смыслу результаты были получены при изучении влияния холинергических агоинстов на м-ХР синаптосом [70], подтверждающие существование высокоаффинного участка связывания, сопряженного с торможением аденилатциклазы, и ниэкоаффинного—с гидролизом фосфоинозитидов.

Чрезвычайно важный вклад в реализацию взаимодействия м-ХР с системами генерации «вторичных мессенджеров» вносят GTP-связывающие белки, участие которых в функционировании рецепторных механизмов обсуждено в ряде обзоров [71, 72]. О роли этих белков в реализации эффектов возбуждения м-ХР свидетельствует, в частности, способность токсина коклюша, катализирующего ADP-рибозилирование ингибиторного Ni-белка аденилатциклазной системы миокарда, блокировать кардиотропное действие холиномиметиков и препятствовать торможению ими этого фермента [73—75].

В транссинаптической регуляции аденилатциклазы и фосфолипазы С. осуществляемой с непременным участием N-белков, удается отметить достаточно много общих черт. Прежде всего, взаимодействие агониста с рецептором сопровождается диссоциацией этих регуляторных белков на функционально и структурно гетерогенные субъединицы. протекающей при участии GTP. В том случае, когда м-XP сопояжен с аденилатциклазой, по-видимому, взаимодействие её каталитического участка с соответствующей субъедининей М-белка приводит к торможению фермента. Однако уместно напомнить, что на некоторых линиях астроинтомы удалось показать, что определенное значение для снижения накопления сАМР после стимуляции м-ХР агонистами имеет сопутствующая активация фосфодизстеразы сАМР [76]. Вклад определенного типа N-белков (по-видимому, N -белка) показан также и для системы регуляции активности фосфолипазы С с участием м-ХР, но до сих пор они охарактеризованы недостаточно полно [77, 78]. Ясно лишь, что N₂-белки, сопряженные со стимуляцией гуанилатциклазы, п N. -белки (рис.), вызывающие активацию фосфолипазы C, не идентичны. Важно еще раз подчеркнуть, что во всех случаях активация м-ХР приводит к GTP-зависимой диссоциации N-белков на субъединицы, модулирующие активность соответствующего эффектора, участвующего в образовании «вторичных мессенджеров», — аденилатциклазы или фосфолипазы С. Одновременно с этим (и это также представляется чрезвычайно важным) сродство самого м-ХР к агонисту снижается, что следует рассматривать как проявление функционирования механизма обратной связи в транссинаптической регуляции биохимических систем клетки.

Исходя из представлений о гетерогенности м-ХР, можно предположить, что его подтипы с участием разных N-белков сопряжены с индивидуальными эффекторами—циклазами и фосфолипазой С. Результаты фармакологического анализа, проведенного на культуре нервных клеток NG-108-15 и 1321-N-1 [72, 79], подтверждают гипотезу о том, что м1-ХР связан с системой аденилатциклазы, а м2-ХР—с системами аденилатциклазы и фосфолипазы С. Естественно, что для признания её универсальности необходимы данные, полученные на целом ряде других

объектов. Однако уже сейчас можно утверждать, что характер и особенности взаимодействия подтипов м-ХР с различными N-белками в конечном счете и обусловливают природу их гетерогенности и играют определяющую роль в их вкладе в регуляцию функциональной активности клеток-мишеней.

Таким образом, к настоящему времени достаточно четко определилась последовательность молекулярных событий, индуцируемых взаимодействием АХ с рецепторными структурами и направленных к изменению функционирования клетки. В этом отношении наиболее существенным представляется идентификация основных эффекторов, сопряженных с м-ХР—циклаз и фосфолипазы С. Углубление знаний молекулярных основ транссинаптического влияния АХ на физиологические системы дает основания рассчитывать на перспективность разработки принципиально новых и эффективных подходов к фармакологическому воздействию на них.

MOLECULAR MECHANISMS OF NEUROTRANSMMITTER EFFECTS OF ACETYLCHOLINE

V. B. DOLGO-SABUROV

Institute of Toxicology, USSR Ministry of Health, Leningrad

Modern views on the molecular mechanisms of muscarinic cholinoreceptors (m-ChR) coupling with biochemical systems of effector cells are presented. Problems of heterogeneity of m-ChR and connections of their subtypes with cyclases and phosphoinositide systems of the second messenger generation are discussed. Special reference is made to the role of GTP-binding proteins (N-proteins) in the regulation of the affinity of m-ChR to cholinergic ligands and the formation of second messengers (cyclic nucleotides, diacylglycerol and inositolphosphates).

АИТЕРАТУРА

- 1. Langley J. N. J. Physiol (Gr. Brit.), v. 1, p. 339-369, 1878.
- 2. Langley J. N. J. Physiol. (Gr. Brit.), v. 36, p. 347-384, 1907.
- 3. Dale H. H. J. Pharmacol. and Exp. Ther., v. 6. p. 147-190, 1914.
- 4. Locust O. Pflugers Arch. ges. Physiol., v. 214, p. 678, 1921.
- 5. Farrow J. T., O'Brien R. D. Mol. Pharmacol., v. 9, p. 33-40, 1973.
- 6. Schleifer L. I., Eldefrawl M. E. Neuropharmacol., v. 13, p. 415-445, 1974.
- 7. Richelson E., El-Fakahany E. Biochem. Pharmacol., v. 30, p. 2887-2891, 1981.
- 8. Dunlap J., Morrow L., Brown J. Federat. Proc., v. 41, p. 6189, 1982.
- 9. Долго-Сабуров В. Б. Фармакология и токсикология. № 6, с. 5—10, 1985.
- 10. Bolton T. B .- In: Drug Receptors, p. 87-104, N.-Y., 1973.
- 11. Jafferji S. S., Michell R. H. Biochem. J., v. 154, p. 653-658, 1976.
- 12. Burgen A. S., Spero L. Brit. J. Pharmacol., v. 71, p. 362, 1980.
- 13. Caulfield M. P., Straughan D. W. Trends Neurosci., v. 6. p. 73-75, 1983.
- 14. Birdsall N. J. M., Hulme E. C. Trends Pharmacol. Sci., v. 4, p. 459-463, 1983.

- 15. Hammer R., Giuchetti A. Trends Pharmacol. Sci., v. 5, p. 18-20, 1983.
- Birdsall N. J. M., Hulme E. C., Stockton J. M. Trends Pharmacol. Sci., suppl., p. 4-8, 1984.
- Peterson G. L., Herron B. S., Yumaki M., Fullerton D. S., Schimerlik M. I. Proc. Nat. Acad. Sci., USA, Biol. Sci., v. 81, p. 4993-4997, 1984.
- Berrie C. P., Birdsall N. J. M., Dadi H. K., Hulme E. C., Morris R. J., Stockton J. M., Wheatley M. Trans. Biochem. Soc., v. 13, p. 1101-1103, 1985.
- 19. Haga K., Haga T. J. Biol. Chem., v. 260, p. 7927-7935, 1985.
- 20. Flynn D. D., Potter L. T. Trends Pharmacol. Sci., suppl., p. 78, 1986.
- Chang K.- J., Moran J. F., Triggl D. J. Pharmacol. Res. Commun., v. 2, p. 63-66, 1976.
- 22. Norman A. B., Creese I. Mol. Pharmacol., v. 30, p. 96-103, 1986.
- Hummer R., Berrie C. P., Birdsall N. J. M., Burgen A. S. V., Hulme E. C. Nature, v. 283, p. 90-92, 1989.
- 24. Watson M., Roesuc W., Yamamura H. I. Life Sci., v. 31, p. 2019-2023, 1982.
- 25. Watson M., Yamamura H. I., Roccue W. R. Life Sci., v. 32, p. 3001-3011, 1983.
- Watson M., Vickroy T. W., Roeske W. R., Yamamura H. I. Trends Pharmacol Sci., suppl., p. 9-11, 1984.
- 27. Luthin G. R., Wolfe B. B. Mol. Pharmacol., v. 26, p. 164-169, 1984.
- Watson M., Vickroy T. W., Roesue W. R., Yamamuru H. I.-!n: Progr. in Neuropsychopharm. Biol. Psychiatry, (ed. Hirst M.), Pergamon Press, Oxford, 1985.
- Watson M., Roesue W. R., Vickroy T. W., Smith T. L., Akiyama K., Gulya K., Duckles S. P., Serra M., Adem A., Nordberg A., Gehlert D. R., Wamsley J. K., Yamamura H. I. Trends Pharmacol. Sci., suppl., p. 46-55, 1986.
- 30. Horvath E., Traber J., Spencer D. G. Trends Pharmacol. Sci., suppl., p. 93, 1986.
- 31. Nastuk M. A., Graybiel A. M. Trends Pharmacol. Sci., suppl., p. 92-93, 1986.
- Palacios J. M., Cortes R., Probst A., Karobath M. Trends Pharmacol Sci., suppl., p. 56-60, 1986.
- Rodbell M., Birnbaum L., Pohl S. L., Krans S. H. J. Biol. Chem., v. 246, p. 1877— 1882, 1971.
- 34. Восйков В. А.—В ки.: Сопряжение рецепторов гормонов и нейромедиаторов с адепилатциклазой, ВИНИТИ, Итоги науки и техники, сер. Биоорг. химия, т. 2, с. 14—17, 1984.
- 35. Cassel D., Selinger Z. Biochim. et biophys. acta, v. 452. p. 538-551, 1976.
- Maguire M. E., Weklund R. A., Anderson H. J., Gilman A. G. J. Biol. Chem., v. 251, p. 1221-1231, 1976.
- 37. Cassel D., Selinger Z. Proc. Nat. Acad. Sci. USA, v. 75, p. 4155-4159, 1978.
- Iyengar R., Birnbaum L. Proc. Nat. Acad. Sci. USA, Biol. Sci. v. 76, p. 3189—3193, 1979.
- Восйков В. Л. Тезисы дока. V Всесоюзи биохим. съезда, Киев. т. 1, с. 66—67.
 1986.
- 40. Восйков В. Л., Липкин В. М. Тезисы докл. V Всесоюзн. биохим. съезда Киев, т. 1. с. 166—167, 1986.
- Berry C. P., Birdsall N. J. M., Burgen A. S. V., Hulme E. C. Biochem Biophys. Res. Commun., v. 27, p. 1000-1004, 1979.
- Rosenberg L. B., Roesue W. R., Yamamura H. I. Eur. J. Pharmacol., v. 56p. 179-183, 1979.
- 43 Wei J.- W., Sulakhe P. V. Eur. J. Pharmacol., v. 58, p. 91 -92, 1979.
- 44. Wei J. W., Sulakhe P. V. Eur. J. Pharmacol., v. 62, p. 345 349, 1980.
- 45. Gurwitz D., Kloog Y., Sokolovsky M. Mol. Pharmacol., v. 28. p. 297-305, 1935.
- 46. Bevan F. Eur. J. Pharmacol., v. 101-110, 1984.
- Burgisser E. De Lean A., Lefkowitz R. J. Proc. Nat. Acad. Sci. USA. Biol. Sci. v. 79, p. 1732-1736, 1982.
- 48. Scholovsky M. Int. kev. Neurobiol., v. 25, p. 139-183, 1984.

- 49. Harden T. K. Trends Pharmacol. Sci., suppl. 2. p. 14-18, 1986.
- Kurosc H., Katada T., Amano T., Ut M. J. Biol. Chem., v. 258, p. 4870-48755 1983.
- Gurmitz D., Baron B. Sokolovsky M. Biochem. Biophys. Res. Commun., v. 120, p. 271-277, 1984.
- 52. Florio V. A., Sternweis P. C. J. Biol. Chem., v. 26, p. 3477-3483, 1985.
- Vickroy T., Watson M., Yamamura H. I., Roesue W. R. Federat. Proc., v. 43, p. 2785-2790, 1984.
- 54. Michell R. H. Biochim, et biophys. acta, v. 415, p. 81-147, 1975.
- 55. Berridge M. J. Mol. Cell. Endocrinol., v. 24, p. 115-140, 1981,
- 56. Michell R. H., Kirk C. J. Trends Pharmacol. Sci., v. 2, p. 86-89, 1981.
- 57. Голиков С. Н., Долго-Сабуров В. Б., Еласо Н. Р., Кулешов В. И.—В ки., Холипергическая регуляция биохимических систем клетки, М., Медицика, с. 116— 124, 1985.
- 58. Долго-Сабуров В. Б. Нейрохимия, т. 5, с. 306-313, 1986.
- 59. Abdel-Latif A. A. Pharmacol., Rev., v. 38, p. 227-272, 1986.
- Michell R. H., Kirk C. J., Jones L. M., Downes C. P., Creba J. A. Philos. Trans. R. Soc. Lond., Biol. Sci., v. 296, p. 123-137, 1981.
- 61. Richelson E., El-Fakahany E. Biochem. Pharmacol., v. 30, p. 2887-2891, 1981.
- Masters S. B., Harden T. K., Brown J. H. Mol. Pharmacol., v. 26, p. 149-155, 1984.
- 63. Polt L., Pusch H. Pflugers Arch., v. 385, P. 75-77, 1979.
- Purves R.-In: Cell membrane receptors for drugs and hormones (ed. L. Bolis), N.-Y., Raven Press, p. 69-79, 1978.
- 65. Brown S. L., Brown J. H. Mol. Pharmacol., v. 24, p. 351-356, 1983.
- 66. Brown J. H., Masters S. B. Federat. Proc., v. 43, p. 2613-2617, 1984.
- 67. Peterson O., Maruyama Y. Nature, v. 307, p. 693-696, 1984.
- 68. Lapetina E., Siess W. Life Sci., v. 33, p. 1011-1018, 1983.
- 69. Brown J. H., Brown S. L. J. Biol. Chem., v. 259, p. 3777-3781, 1984.
- Fisher S. K., Klinger P. O., Agranoff B. W. J. Biol. Chem., v. 258, p. 7358-, 7363, 1983.
- 71. Taylor C. W., Merritt J. E. Trends Pharmacol. Sci., June, p. 238-242, 1986.
- 72. Harden T. K., Tanner M. W., Murtin M. W., Nakahata N., Huges A. R., Hepler J. R., Evans T., Masters S. B., Brown J. H. Trends Pharmacol. Sci., Feb., p. 14-18, suppl., 1936.
- 73. Jacquemin C., Thibout H., Lambert B., Correze C. Nature, p. 182-184, 1986.
- 74. Boyer J. L., Martinez-Carcamo M., Monroy-Sanchez A., Juarez-Ayala J., Pastelin G., Posadas C., Garcia-Suinz J. A. Life Sci., v. 39, p. 603-610, 1986.
- De Wildt D. J., De Jong J., Nijkamp F. P., Kreeftenberg J. G. Eur. J. Pharmacol., v. 127, p. 205-210, 1986.
- 76. Gross R. A., Clark R. B. Mol. Pharmacol., v. 13, p. 242-250, 1977.
- 77. Cockeroft S., Gomperts B. D. Nature, v. 314, p. 534-536, 1985.
- 78, Litosch I., Wallis C., Fain J. N. J. Biol. Chem., v. 260, p. 5464-5471, 1985.
- 79. Evans T., Smith M. Mol. Pharmacol., v. 26, p. 395-405, 1984.

Поступила 8, V 1987



HEUDDXNMNN

T. 6, № 4, 1987

хроника

КОНСТАНТИН ГРИГОРЬЕВИЧ КАРАГЕЗЯН (к 60-летию со дия рождения)

Исполнилось 60 лет со для рождения и 35 лет научной, научно-организационной и общественной деятельности члена-корреспондента АН АрмССР, доктора биологических наук, профессора, директора Института экспериментальной биологии АН АрмССР, заведующего лабораторией биохимии липидов Карагезяна Константина Григорьевича.

Проф. К. Г. Карагезян родился 29 сентября 1927 года в Ереване в семье служащего. Еще со студенческой скамьи он проявлял живой интерес к биохимии и под руководством акад. Г. Х. Бунятяна активно участвовал в работе студенческого научного общества медицинского института.

В период становления К. Г. Карагезяна как молодого специалистабиохимика им впервые был установлен факт условнорефлекторных изменений процесса гемокоагуляции, что и стало предметом его кандилатской
диссертации, успешно защищенной в 1954 году. После окончания аспирантуры К. Г. Карагезян поступает на работу в Сектор биохимии Института физиологии АН АрмССР в качестве младшего научного сотрудника, а затем занимает должность ученого секретаря.

Развивая материалистическое учение И. П. Павлова о высшей нервной деятельности, биохимикам Армении под руководством акад. Г. Х. Бунятяна удалось выдвинуть концепцию о том, что условный рефлекс торможения является активным процессом, характеризующимся развитием противоположных сдвигов в динамике многочисленных биохимических показателей. Этот интересный феномен был продемонстрирован и в исследованиях К. Г. Карагезяна по свертыванию крови, что явилось основой для дальнейших поисков истинных механизмов регуляции этогопроцесса. Работа в этом направлении позволила ему показать регуляторную роль различных липидов в активности ферментов гемокоагуляции. Была выявлена про- и ингибирующая роль различных фосфолипидов на активность тромбопластинов, что представляет существенный интерес в объяснении многих нарушений процесса свертывания крови при ряде патологических состояний организма (инфаркт мнокарда, сахарный днабет, стрессорные реакции). Результаты этих исследований были обобщены в докторской диссертации «Фосфолипиды головного мозга, церебреспинальной жидкости, крови и печени при различных функциональных состояниях организма», защищенной в 1968 году, а в последующем—в монографии «Роль фосфолипидов в жизнедеятельности организма» (Издательство «Айастан», 1972). Исследования в области липидологии и мембранологии позволили К. Г. Карагезяну установить липидзависимость ряда ферментов: лактатдегидрогеназы, креатинкиназы, глицерокиназы и глицерофосфатдегидрогеназы. Вместе с тем, им продемонстрировано ингибирующее действие липидных перекисей на активность этих ферментов, что наглядно дроявляется при таких патологиях, как инфаркт миохарда, острый панкреатит, сахарный диабет. На основании этих результатов К. Г. Карагезяном предложен метод комбинированной антиоксидантотерапии в виде сочетанных применений—токоферола и витамина С, характеризующийся эффективностью и перспективностью в клинике отмеченных патологий.

Проф. К. Г. Карагезян является автором более 300 печатных научных трудов, под его руководством защищены 24 кандидатские и 1 док-

торская диссертации.

Он входит в состав Сенции нейрохимии Научного совета АН СССР по проблемам биохимии животных и человека. Всесоюзного центра по проведению научно-исследовательских работ в области алкоголизма и наркомании Министерства здравоохранения СССР и республиканского межведомственного совета по физико-химической биологии и биотехнологии, а также является участником Всесоюзной программы «Антиоксидант» АН СССР. К. Г. Карагезян является также членом редакционных коллегий журнала «Нейрохимия» (АН СССР и АН АрмССР) и «Биологического журнала Армении» АН АрмССР.

Проф. К. Г. Карагезян—участник многих Всесоюзных и Международных научных собраний по биохимии, нейрохимии, липидологии и мембранологии, активный пропагандист достижений советской биологиче-

ской науки за рубежом.

Редколлегия сердечно поздравляет Константина Григорьевича Карагезяна со славным юбилеем и желает ему крепкого здоровья и новых творческих успехов.

РЕДКОЛЛЕГИЯ

УКАЗАТЕЛЬ АВТОРОВ СТАТЕЙ, ОПУБЛИКОВАННЫХ В ТОМЕ 6, 1987 г.

Абутидзе К. Д. 89 (1), 418 (3) Аврова Н. Ф. 347 (3) Агаджанян A. X. 384 (3) Адамян М. Х. 552 (4) Азарян А. В. 125 (1), 284 (2) Аколян А. Р. 227 (2) Аксентьева М. С. 471 (4) Алавердян А. А. 552 (4) Алексанян С. С. 544 (4) Андреев Б. В. 503 (4) Антонян А. А. 552 (4) Априкян Г. В. 325 (3), 71 (1) Аракелян Л. Н. 193 (2) Арменян А. Р. 193 (2) Арутюнян А. В. 133 (1), 384 (3) Аругюнян А. А. 464 (3) Асинна В. В. 322 (3) Ахвердян Э. С. 71 (1) Ашмарин И. П. 23 (1)

Базян А. С. 488 (4) Балашова Е. К. 303 (2) Барам Г. И. 43 (1) Бархударян Н. А. 458 (3) Баснаева Т. С. 596 (4) Беленький М. А. 28 (1) Болье Ж. 249 (2) Березии В. А. 77 (1), 442 (3) Березов Т. Т. 298 (2) Боровков А. А. 43 (1) Боултон А. А. 9 (1) Брусов О. С. 43 (1) Буданцев А. Ю. 263 (2) Бунятян Г. Г. 77 (1) Бурлакова Е. Б. 601 (4) Бурчинский С. Г. 269 (2)

Ваградян А. Г. 552 (4) Вартанян А. А. 325 (3) Векшина Н. А. 510 (4) Венерандо Б. 102 (1) Веревкина И. В. 332 (3) Викторов И. В. 231 (2) Витвицкий В. Н. 231 (2)

Галоян А.А. 3 (1), 125 (1), 193 (2), 206 (2), 227 (2), 544 (4), Галстян Г. Г. 552 (4) Гайдар Л. И. 443 (3) 624

Галфаян В. Т. 206 (2) Гамалея Н. Б. 510 (4) Гасанов Г. Г. 435 (3) Геворкян Э. С. 565 (4) Гегелашвили Г. К. 17 (1) Гекчян К. Г. 325 (3) Герштейн А. М. 51 (1) Глебов Р. Н. 317 (3), 517 (4) Глущенко Т. С. 254 (2) Годухин О. В. 581 (4) Головина Т. Н. 95 (1) Гомазков О. А. 368 (3) Горкин В. З. 332 (3) Грачев М. А. 43 (1) Гуляева Н. В. 259 (2) Гурвиц Б. Я. 544 (4)

Давыдов В. В. 214 (2) Данилова О. А. 28 (1) Демия Н. Н. 95 (1), 237 (2), 340-(3), 586 (4) Двш Т. Н. 199 (2) Доведова Е. А. 57 (1) Дубинский В. З. 439 (3) Думлер И. А. 82 (1)

Ероян Л. Г. 565 (4) Ефимова М. Г. 406 (3)

Жариков С. И. 311 (3), 581 (4) Жарикова А. Д. 311 (3), 581 (4) Жули В. В. 471 (4)

Захарян Р. А. 431 (3) Зиматкин С. М. 304 (2)

Ибрагимов Р. Ш. 435 (3) Иванов В. А. 390 (3) Игнатов Ю. Б. 503 (4)

Каграманян М. С. 565 (4) Казарян Б. А. 431 (3), 565 (4) Казарян Т. И. 144 (1) Канпова Г. Д. 601 (4) Каламкаров Г. Р. 413 (3) Калинин Е. В. 531 (4) Карагелян К. Г. 138 (1) Карапетян Р. О. 193, 227 (2) Карслин А. А. 601 (4) Карпова О. Б. 347 (3) Карпумина И. Ю. 422 (3)

Киракосопа А. С. 206 (2) Кленикова В. А. 254 (2), 586 (4), Клименко А. П. 133 (1) Кнарян В. А. 71 (1) Кобаев В. Ф. 43 (1) Коналев В. Ю. 234 (2), 340 (3) Ковач Г. 435 (3) Комиссарова Н. В. 368 (3) Короткина Р. Н. 601 (4) Коротков К. О. 471 (4). Ко:штоянц О. Х. 199 (2) Кривенко Н. Е. 426 (3). 586 (4) Кругликов Р. И. 199 (2), 488 (4) Крыжановский Г. Н. 317 (3) Кудрякова Т. Б. 43 (1) Куэнецова Т. В. 302 (2) Куликов А. В. 186 (2) Куликова О. Г. 350 (3) Кумарев В. П. 43 (1) Кучмеровская Т. М. 133 (1), 495 (4) Кыйв А. Х. 605 (4)

Лангел Ю. Л. 605 (4) Асонтьев В. Б. 360 (3) Аники В. М. 82 (1) Аншко В. К. 17 (1) Аншиевская Е. Б. 350 (3) Аопатина Н. Г. 590 (4) Аиходий Ст. С. 439 (3) Анходий С. Ст. 439 (3) Аучаксаа О. С. 219 (2)

Манукян И. II. 384 (3) Манухян К. Л. 565 (4) Манукян К. Г. 144 (1) Маклецова М. Г. 422 (3) Маликов У. М. 426 (3) Маркарова M. Ю. 199 (2) Машковский M. Д. 332 (3) Мельиик В. И. 317 (3), 517 (4) Менджерицкий А. М. 422 (3) Микеладзе Д. Г. 89 (1), 180 (2), 418 (3) Минасянц Р. Т. 552 (4) Михалева И. И. 57 (1) Мкртчян M. E. 138 (1) Мовсесии 14. О. 133 (1) Молочина Е. М. 601 (4) Мурадов Х. Г. 82 (1)

Назарян К. Б. 431 (3), 565 (4) Недзвецкий В. С. 77 (1) Нечасва Г. А. 376 (3), 590 (4)

Обидии А. Б. 259 (2) Овакимии С. С. 133 (1) Орлов Н. Я 531 (4) Орлова Т. Г. 531 (4) Остапенко И. А. 406 (3) Островский М. А. 413 (3)

Панов А. Н. 426 (3)
Панфилоп А. Д. 368 (3)
Панченко Л. Ф. 298 (2)
Пак Д. Ф. 186 (2)
Папин А. А. 601 (4)
Парсаданян Г. К. 288 (2), 295 (2)
Парфенова Е. В. 173 (2)
Пашенко А. Е. 465 (3)
Пархомец П. К. 133 (1), 495 (4)
Плотников В. В. 43 (1)
Полетаев А. Л. 28 (1)
Полетаев А. Б. 572 (4)
Попопа Н. К. 186 (2)
Пузырева Т. Г. 199 (2)

Разумовская Н. И. 350 (3) Ребрік Т. Н. 413 (3) Рейтарова Т. Е. 301 (2) Ринкен А. А. (4) Розанов В. А. 301 (2) Россигарт В. И. 303 (2) Ростока А. М. 465 (3) Роте Т. 481 (4) Рустамова Ф. Н. 360 (3) Развекий К. С. 284 (2)

Cado Ass. 435 (3) Саакян С. А. 193 (2) Свакян Ф. М. 193 (2) Садыков А. А. 360 (3) Сантмуратова О. Х. 360 (3) Сарибекян Г. А. 206 (2) Сартання Н. А. 89 (1) Селифанова О. П. 572 (4) Семенова Н. А. 439 (3) Сибельдика Л. А. 439 (3) Симонян А. А. 249 (2), 464 (3) Симонян Р. А. 464 (3) Симс В. Э. 116 (1) Скобелева Н. А. 431 (3) Скурыгия В. П. 214 (2) Собчинская Н. М. 180 (2) Соломония Р. О. 130 (2), 418 (3). Срапионян Р. М. 109 (1), 193 (2). 227 (2) Степанян А. А. 144 (1)

Таранова Н. П. 219 (2) Телегдн Г. 435 (3) Тенчева Ц. 254 (2) Терлецкая Я. Т. 17 (1) Теттаманти Г. 102 (1) Тигранян Р. А. 63 (1), 237 (2), 340 (3) Титов С. Ю. 317 (3) Тоцкий В. Н. 301 (2) Туряница И. М. 465 (3) Туряница С. М. 465 (3) Тяхеныад Л. Я. 605 (4)

Упарова Т. М. 302 (2) Унттакер В. П. 161 (2)

Федоров Н. А. 298 (2) Федорович Т. М. 465 (3) Фиориали А. 102 (1) Фрейдии А. А. 531 (4) Фролькис М. В. 269 (2)

Хаглид К. Т. 249 (2) Хайдарлиу С. Х. 293 (2) Халанский А. С. 77 (1) Халмурадов А. Г. 133 (1), 495 (4) Хачатрян В. Г. 552 (4) Хачатрян Г. С. 552 (4) Ханим Дж. 33 (1) Хватова Е. М. 57 (1) "Хедер Г. 116 (1) Хоничева Н. М. 259 (2) Хохлов А. П. (4) Хрусталеве Н. А. 596 (4)

Цинзераниг В. А. 347 (3)

Шагинян В. А. 71 (1) Парова Н. П. 544 (4) Пашкопа Н. А. 231 (2) Перестобитов О. Е. 303 (2) Шакбс Р. 481(4) Шортанова Т. Х. 95 (1) Шукалова Т. Ф. 317 (3) Пукалов И. Н. 510 (4)

Эллер М. Х. 605 (4) Эме П. 116 (1) Эмирбеков Э. З. 244 (2) Этингоф Р. Н. 82 (1), 406 (3)

Юринская М. М. 311 (3)

Яковлев А. Г. 43 (1) Якушев В. С. 214 (2) Ярв Я. А. 605 (4)

СОДЕРЖАНИЕ

Советская нейрохимия—к 70-летию Великой Октябрьской социалистической	
революции	471
Коротков К. О., Аксентьева М. С., Жулин В. В. Изменение параметров связы-	
вания [31-1] диазепама с синаптическими мембранами коры больших полу-	
шарий мозга крыс при обучении	474
Шлибс Р., Роте Т. Постнатальное развитие рецепторов глутамата, бензодиазе-	
пина и ГАМК в зрительной системе крысы (сравнительное исследование)	481
Базян А. С., Кругликов Р. И. Зависимость активности аутоэдренорецепторов от	
интенсивности секреции норадреналина	488
Халмуралов А. Г., Кучмеровская Т. М., Пархомец П. К. Действие NAD+ на вы-	
свобождение дофамина и серотонина из синаптосом головного мозга крыс	495
Изнатов Ю. Д., Андреев Б. В. О роли ГАМК в изменении болевой чувствитель-	-
ности при хропическом ноцицептивном воздействии	503
Гамался Н. Б., Векшина Н. А., Шумайлов И. Н. Влияние острого стрессорного	
воздействия на поведение и некоторые биохимические показатели у мышей	
инбредных линий C57BL/6 и DBA/2 с различным потреблением алкоголя	=10
в условиях свободного выбора. Мельник В. И., Глебов Р. Н. Н÷-АТРаза мембран синаптических пузырьков моз-	510
га: идентификация и характерные свойства системы транспорта Н+	517
га: идентирикация и характерные сооиства системы транспорта III	317
содержания фосфодизстеразы циклического 3',5'-гуанозиимонофосфата в	
наружных сегментах фоторецепторов сетчатки суслика	531
Галоян А. А., Гурвиц Б. Я., Шарова Н. П., Алексанян С. С. Са ²⁺ -кальмодулин-	
рависимая 5'-нуклеотидара гипоталамуса крупного рогатого скота и ее регу-	
ляция С-модулином	544
Хачетрин Г. С., Галетян Г. Г., Антонян А. А., Алаверлян А. А., Хачатрян В. Г.,	
Минасянц Р. Т., Ваградян А. Г., Адамян М. Х. Содержание различных	
классов РНК в головном мозгу при действии пиримидиновых цихлических	
	552
Назарян К. Б., Геворкян Э. С., Катраманян М. С., Ероян Л. Г., Манукян К. Л.,	
Казарян Б. А. Особенности регуляции активности некоторых гликолити-	
ческих ферментов при воздействии эстрадиола в культуре клеток неи-	565
робластомы — Полетись А. Б., Селифанова О. П. Физико-химическая характеристика видоне-	נטנ
Подетась А. Б., Селифанова О. П. Сризико-химиствая зарактеристика вадоне- специфических белковых антигенов мозга, являющихся мишенями ауто-	
	572.
актител при велоторым портав	
Краткие сообщения	
Жарикова А. Д., Голухин О. В., Жариков С. И. Высвобождение [14С] В-фенил-	
докальной суперфузии неостриатума головного мозга крыс .	185
Камания Н. Е. Касинкова В. А., Демин Н. Н. Сульфиндрильные группы в от-	
дельных клетках сичего пятна, супраоптического ядра и дорзального ядра	.07
	86
Нечасва Г. А., Лопатина Н. Г. Проницаемость мембран дизосом головного мозга	90
	,0
Хрусталева Н. А., Баскаева Т. С., Хохлов А. П. Очистка и некоторые свойства	96
аминопелтидазы мислина	

Молочкина Е. М., Папин А. А., Каипова Г. Д., Короткина Р. Н., Бурлакова Е. Б., Карелин А. А. Повышение антиокислительной активности липидов головного мозга крыс после введения феназепама (к вопросу о механизме антистрессорного действия бензодивзепинов).	601
erpeccopilato generana acasagaasanaan,	
Письма в редакцию	
Эллер М. Х., Кыйв А. Х., Лангел Ю. Л., Ринкен А. А., Тяхепылд Л. Я., Ярв Я. Л. Неприменимость хинуклидинилбензилата для экспериментов с мускариновым рецептором в равновесных условиях	605
Долго-Сабуров В. Б. Молекулярные механизмы нейромедиаторных эффектов ацетилхолина	611
Хроника	
Константин Григорьевич Карагезян (к 60-летию со дия рождения)	622

CONTENTS

oviet Neurochemistry-to the 70th anniversary of Great October Revolution	471
Korotkov K. O., Aksenticua M. S., Zhulin V. V. Learning alters [3H] diazepam binding to the synaptosomal membranes of the rat neocortex	474
Schliebs R., Rothe T. Development of glutamate, benzodiazepine, and GABA	7/4
binding sites in rut visual system. A comparative study	481
Buzyan A. S., Kruglikov R. I. Dependence of autoadrenoreceptors activity from the intensivity of noradrenaline secretion	488
Khalmuradov A. G., Kuchmerovskaya T. M., Parkhomets P. K. Effect of NAD	408
on dopamine and 5-hydroxytriptamine release from rat brain synaptoso-	
mes	495
Ignatov Yu. D. Andreev B. V. GABA participation in modulation of pain sen-	***
sitivity under the conditions of prolonged nociceptive influences	59 3
stress on behavior and biochemical parameters in inbred lines of mice	
C57 BL/6 and DBA/2 with different free choice alcohol consumption	510
Melnik V. I., Glebov R. N. H+-ATPase of brain synaptic vesicle membranes.	
Identification and characterization of an H+ transport system	517
Kalinin E. V., Orlova T. G., Freidin A. A., Orlov N. J. Cyclic 3', 5'-guano- sinemonophosphate phosphodiesterase content in the ground squirrel re-	
tinal photorecentors outer segments	531
Galoyan A. A., Gurvits B. Y., Sharova N. P., Alexanyan S. S. Ca2+, calmo-	
dulin-dependent 5-nucleotidase from bovine hypothalamus and its regula-	
tion by C-modulin	544
chatrian V. G., Minasiants R. T., Vahradian H. G., Adamtan M. K.	
Possible role of pyrimidine-containing cyclic nucleotides and nucleosides	
in the gene expression of brain cells	552
Nazaryan K. B., Gevorkian E. S., Kagramanyan M. S., Eroyan L G., Ma-	
nukyan K. L., Kazuryan B. A. Peculiarieties of estradiol effect on the activity of some glycolytic enzymes in neuroblastoma cell culture	565
Poleturen A. B. Selitanova O. P. Physica-chemical properties of species-non-	
specific brain protein antigens targets for autoantibodies in some neuro-	
logical disorders	572
Short communications	
Zharikova A. A. D., Godukhin O. V., Zarikov S. I. Relesse of 14C-1-phenylet-	
bulaming during local superfusion of rat brain neostriatum	581
Krivenko N. E., Klenikova V. A., Doemin N. N. Sulfhydryl groups in single cells of locus coeruleus, nn. supraopticus et raphe dorsalis of REM-sleep	
deprived rats	586
Machania C. A. Langting N. G. Permeability of brain lysosomal membranes	200
for acid RNAse in rats of different lines under training and pseudotrai-	
ning	590
Khrustalyeva N. A., Baskaeva T. S., Khokhlov A. P. Purification and properties of aminopeptidase from myelin	596
perties of aminopepticlase from myelin	270
kova Ve. B., Karelin A. A. Increased rat brain lipid antioxidative acti-	
vity after phenazepam injection	601
11 604	

Letters to Editor

J. L. Quinuclidinyl benzilate can't be used as a ligandin equilibrium binding studies with muscarinic receptor	605
Reviews	
Dolgo-Saburov V. B. Molecular mechanisms of neurotransmitter effects of ace-tilcholine	611
Chronicles	
Karagoayyan K. G. (On his 60 th Rirthday)	612

ПРАВИЛА ДЛЯ АВТОРОВ

1. В журнале публикуются оригинальные статыи, содержащие результаты экспериментальных исследований по биохимии нервной системы, обзоры по важнейшим вопросам современной нейрохимии, рецензии на новые издания и актуальная научная хроника.

Объем руконием (включая резюме, список литературы и иллюстрации) не должен превышать 15 с., напечатанных на манинике через 2 интернала. Объем обзоров не должен превышать 20 с., кратких сообщений, рецензий и хроники—4 с., а писем в редакцию—2 с.

Рукониев статын должна подписываться всеми авторами (2 экз.) и сопровождаться актом экспертизм (2 экз.) и направлением от учреждения.

2. Ко всем статьям и сообщениям прилагается на отдельном листе резюме на английском языке, которое должно быть озаглавлено, в нем указываются авторы и название учреждения, в котором выполнена работа. Резюме на русском языке для экспериментальных статей и обзоров должно быть напечатано на машнике через 1,5 интервала и расположено в начале статьи, непосредствению под заголовком. Резюме для кратких сообщений следует приложить на отдельном листе.

Экспериментальные статын, являющиеся основным публикуемым материалом в журнале, должны быть построены по следующему плану: резюме на русском языке, праткое введение с указанием цели работы, материалы и методы, результаты и обсуждение, резюме на англяйском языке, литература. Вверху справа от названия статы указывается пидке универсальной десятичной классификации (УДК), под фамилиями авторов приводится полное название учреждения, в котором выполнена работа.

3. Таблины должны иметь заголовки, нумерацию и не превышать размера нечатной страницы. Каждая таблина нечатается на отдельном листе. Сокращение слов, за неключением общенринятых, в таблицах не разрешается. Необходимо указать достоверность данных.

4. Рисунки, отчетливо выполнениые тупнью на плотной белой бумаге или кальке, представляются в конверте в двух, а фотографии в трех экземилярах. На обороте каждого рисунка карапданном следует указать фамилии авторов, сокращенное паланиие статьи и порядковый помер, для фотографий (на глянцевой бумаге) следует указать ее верх и инд. Поданея к рисункам и фотографиям представляются на отдельном листе. Замена фотовляюстраций электрофоретических исследований рисованными схемами не допускается. Количество излюстративного материала (таблицы и рисунки) не должно превышать в статьях 8, в кратких сообщениях—2.

5. формулы и индексы должны быть винсаны четко черными черинлами или пастой, обязательно выделяя курсив (подчеркнуть волинстой линией) и различая провисные и строчные буквы, мало отличающиеся по своему написанию двумя черточками спизу или сверху, буквы греческого алфавита подчеркиваются красным карандациом.

фамилии иностранных авторов даются в тексте на языке оригинала,

б. Свисок литературы составляется в порядке цитирования, его объем—до 25 названий для статей, до 80—для обзоров и до 15—для кратких сообщений. В тексте семлки даются в киздратимх скобках, Цитируемая литература в списке приводится в следующем порядке: порядковый помер, фамилия и инициалы авторов на языке органиала, название журнала, том, номер или выпуск, страницы, год издания. В случае сплоиной пумерации страниц тома помер выпуска не указывать. При цитировании книги указывается также, под чьей редакцией она издана, название издательства и место издания.

СОДЕРЖАНИЕ

журнала «Нейрохимия», том 6, 1987 год

Выпуск 1

Галоян А. А. Гликопептидные гормоны гипоталамуса в регуляции метаболизма	
Са2+, циклических нуклеотидов и катехоламинов	3
Боулгон А. А. Следовые амины как нейротрансмиттеры и нейромодуляторы Лишко В. К., Терлецкая Я. Т., Гезелашвили Г. К. Бесклеточная модель нейро-	9
	17
секреции Ашмарин И. П. Гипотеза о существовании новой высшей категории в нерархии	17
	23
регуляторных пептидов	25
следование локализации некоторых пентидных исйрогормонов в гипоталамо-	28
гилофизариом комплексе позвоночных	33
Хашим Дж. А. Белки, пептиды и аутонимунные поражения миелина	22
Брусов О. С., Яковлев А. Г., Плотников В. В., Барам Г. И., Грачев М. А., Ку-	
марся В. П., Кудрякова Т. Б., Боровков А. А., Кобзев В. Ф. Понек эндо-	
генных пептидных лигандов бензодназениновых рецепторов: выделение и	
молекулярно-генетические исследования	43
Герштейн Л. М. Нейрохимические и нейрофизиологические перестройки в струк-	
турах мозга при воздействии некоторых нейропентидов	51
Хватова Е. М., Довелова Е. Л., Михалева И. И. Метаболическая эффективность	
пентила дельта-сна при стрессорных состояниях организма 🥒 🕟 .	57
Тигранян Р. А. Реакция опиондной системы головного мозга на стресс и се за-	
висимость от состояния катехоламинергической системы	63
Априкян Г. В., Кнарян В. А., Шагинян В. А., Ахвердян Э. С. Роль N-ацетил-	
L-аспарагиновой кислоты в механизме действия нейромедиаторных ами-	
вокислот	71
Березин В. А., Шевченко Г. М., Бунятян Г. Г., Халанский А. С., Недзвец-	
кий В. С. Специфический белок промежуточных филаментов в нервной	
ткани и опухолях	77
Липкин В. М., Муралов Х. Г., Думлер И. Л., Этингоф Р. Н. Структура и функ-	
ция специфического белка сетчатки быка-ингибитора 3'.5'-сСМР-фос-	
фодиастеразы	82
Микелалзе Д. Г., Абугилье К. Д., Сартания Н. А. Рецепторы непролептиков	
и их связь с протеникиназными реакциями	89
Демин Н. Н., Шорганова Т. Х., Головина Т. Н. Количественные сдвиги бел-	
ков и РНК в клетках ядер ствола головного мозга в динамике зимней спяч-	
ки сусликов	95
Геттаманти Г., Фиорилли А., Венеракдо Б. Взаимодействие ганглиозидов с фер	
толовного мозга на примере цитозольной сналидазы	102
С	109
Сима В. Э., Хелер Г., Эме И. Взаимоденствие пещества Р и ангиотензипирев-	
converge discovery at the converge of the conv	116
Алекти А. В. Голови А. А. Пручение акаопентидарной активности катененна	
В и сполифичности катепсина D и высокомолекулярной аспартильной про-	
теазы головного мозга с помощью хромофорных и вазоантивных нептидов	125

тюнян А. В., Мовсесян Н. О. Влияние аналогов NAD на его связы синаптическими мембранами коры больших полушарий голопного	квание
	133
тарателян к. г., мукртиян м. Е., Оданиян С. С. Анендальней половеого модга, регулирующих гемокозгуляцию. Менукян К. Г., Степенян А. А., Каларян Т. И. О белковом и липидиом и неите протеолипилов разных субклегочных образований головного	. 138 комп о -
крысы	
Выпуск 2	
Ушттакер В. П. Модельная холинергическая система: прошлые достижения и	и пер-
Парфенова Е. В. ГАМК-рецепторы синаптических мембран и их эпдогенив	. 161 ne ρε-
	177
линорецентора мускаринового типа мозга при импринтинге у цыплят Пак Д. Ф., Куликов А. В., Попова Н. К. Серотониновые реценторы голо	. 180
The state of the s	. 186
пов «Г» и «К» на пысвобождение и захват [3H] порадреналина в сина:	птосо-
мах гипоталамуса Кругликов Р. И., Диш Т. Н., Коштоянц О. Х., Маркарова М. Ю., Пуз Т. Г. О некоторых механизмах действия пейропептидов и их ана	ырева
на процессы обучения и памяти	199
ингибиторах и активаторах фосфодизстераз циклических иуклеотид гиноталамуса крупного рогатого скота \mathcal{A} аавылов В. В., Скурыник В. П., Якушев В. С. Транспорт Ca^{2+} в синапто	ов из
мозга крыс с некрозом миокарда	214
Таранова Н. П., Лучакова О. С. Иммунологическая реактивность антител лактоцереброзидам миелина с различными по липидному составу	анти-
генами	. 219
Краткие сообщения	
Акопян А. Р., Срапионян Р. М., Карапстян Р. О., Галоян А. А. Влияние	кар-
диотропных пейрогормонов гипоталамуса на Ca2токи в непрона- мембране	
мембране Витопункий В. Н., Викторов И. В., Шашкова Н. А. Влияние пептидных фак- мозго на включение предшественникой в ДНК и белок культивиру	remon
мервиой ткани	231 negu-
фических компонентов в различных отделах головного мозга крыс стрессорных воздействиях. 1. Иммобилизационный стресс	лрн 237
Эмирбсков Э. З. Нейромеднаториые аминокислоты и пептиды и метаболизм ков при гипотермии и зимней спячке	
Симонян Л. А., Больс Ж., Хаглид К. Т. Влияние иепроспецифического (S-100 на АТРазную активность мозга	белка 349
Кленикова В. А., Глущенко Т. С., Тениева Ц. Влияние пирамема на метабо ядерных белков нейронов и глиоцитов некоторых структур головного з	MERKA
комсы и порме и при лишении парадокральной фазы ска	. 234
Гулиева Н. В.: Хомичева Н. М., Обилин А. Б. Супероксидлисмутазизя а ность и уровень молонового диальдегияз в мозгу крыс «способкой» и	eHe-
Topique Company of the Company of the Company	- 429

Методы исследований

Буданцен А. Ю. Использование додецилсульфата катрия для солюбилизации пе-	
реживающих срезоз мозга . Обзоры	263
\mathcal{B} урчинский С. Г., Фролькис М. В. Нейдопептиль: при стерении	269
Хроника	
Виктор Иосифович Розенгарт (к 75-летию со дия рождения)	282
Распекци К. С., Азарян А. Е. VI Конгресс Европейского общества нейрохими- ков (Прага, ЧССР, сентябрь, 1986 г.)	284
Парсаданян Г. К. Нейрскимия ва XVII Конференции ФЕБО (Зап. Берлии,	
август, 1986 г.)	288
Рецензин	
Хайларлиц С. Х. Н. М. Полякова, Я. В. Белик, И. Н. Власенко Александр	
Владимирович Палладии. Документы. Фотографии»	293
Парсаланян Г. К. Ф. Хучо «Нейрохимия. Основы и принципы»	295
Березов Т. Т., Панченко А. Ф., Федоров Н. А. К. И. Погодаев В Эпилентология	298
и патохимия мозга (и теории этиологии, патогенеза и лечения эпиленени)»	290
Рефераты статей, направленных	
на депонирование в ВИНИТИ	
Рейтарова Т. Е., Розанов В. А., Тоцкий В. Н. Соотношение эндогенной связаний и спободной ГАМК и кинетика связывания [14C] ГАМК в гомогена-	
TAX OTACAON FOAOMIOFO MODEL KRIME	301
Ународа Т. М., Кузнецова Т. В. Вамяние внутриутробной гипексии на состав белков головного мозга крыс	302
Балашона Е. К., Розенгарт В. И., Шерстобитов О. Е. Метолы определения со-	302
держания карбаматол и обратимых ингибиторов холиизстераз в мозгу мышей.	303
Виматкин С. М. Топографическая связь альдегиддегидрогеназы с моноаминерги-	303
	304
Выпуск 3	
Асанник В. И., Комжановский Г. Н., Шикалова Т. Ф., Титов С. Ю., Г.ac.	311
бов Р. Н. Торможение конвульсантами активного транспорта протонов в мембранах синаптических пузырьков мозга: блокада анионного канала	317
поиквы Г. В. Гекиви К. Г. Вартанян А. А. Саз записимое высвобождение	
нейромедиаторных аминокислот из нервных охончаний головного мозга бе-	
THE POUC HON CTACOUNT	125
госянина И. В. Аснина В. В., Горкин В. З., Машковский М. Д. Избирательное	
ингибирование пиравидолом моноаминоксидары типа А в головном мозгу	32
крысы и челопека	
финеских компонентов в различных отделах головного мозга крыс при	
стассорных воздействиях. И. Вращение в барабане и эмоциональный	
стоесс короекиня стрессорных явлений феназепамом	40
ишиевская Е. Б., Куликова О. Г., Разумовская Н. И. Действие антифеннов	50

Саитмуратова О. Х., Рустамова О. Н., Салыков А. А., Асонтьса В. Б. Действие	
некоторых психо- и нейротронных препаратов на кинстику биосинтеза	
ядерных гликопротеннов нейронов	360
Панфилов А. Д., Гомазков О. А., Комиссарова Н. В. Влияние лигиотензина 11	2/0
и антисыворотки к нему на агрессивное поведение у крыс	368
Нечасва Г. А. Очистка связанной щелочной РНКазы цитозоля и ее специфи-	376
ческого белкового ингибитора из растворимой фракции головного мозга крыс Манукян И. П., Азаджанян А. Х., Аругюнян А. В. Ферменты биосинтеза проли-	370
на и регуляция их активности в мозгу крыс	384
Нванов В. А. Синтез ДНК в неокортексе развивающихся крыс	390
Карпова О. Б., Аврова Н. Ф., Цинзерлинг В. А. Изучение ганглиозидов голоп-	370
ного мозга и сосудистых сплетений при менингоэнцефалитах различной	
	39 7 ′
этиологии	
ного окисления липидов в тканях сетчатки и мозга крыс с наследственной	
дегенерацией сетчатки	406
P_{c} брик T . H ., $K_{a,1a,3}$ жаров Γ . P ., Островский M . A . Ваняние перекисного окис-	
ления липидов на проводимость фоторецепторной мембраны диска	413-
Краткие сообщения	
Абутилзе К. Д., Соломония Р. О., Микслалзе Д. Г. Изучение опнатной рецентор-	
ной системы в обогашенных фракциях глии и нейронов	418.
Менажерицкий А. М., Макленова М. Г., Карпухина И. Ю. Влияние дельта-сон	
индуцирующего пентида на содержание ГАМК, глутамата и активность	
глутаматлека обоксилазы в отделах мозга крыс	422
Кривсико Н. Е., Маликов У. М., Панов А. Н. Белки и РНК в нейронах и глио-	
цитах дорзального ядра шва головного мозга крысы при сне и дантельном	
его лишении в цилиндрическом третбане	426
Скобелева Н. А., Захарян Р. А., Назарян К. Б., Казарян Б. А. Получение кло-	
нотеки рекомбинантных ДНК (банка клонов), содержащих пуклеотидные	121
последовательности мРНК, специфичные к белку NSE из мозга крысы	431
Гасанов Г. Г., Ибразимов Р. Ш., Ковач Г., Сабо Дж., Телстли Г. Эффект окситоцина, микроинъецированного в гиппоками при формировании влечения	
к героину.	435-
Методы исследований	
Лихолий С. Ст., Семенова Н. А., Дубинский В. З., Лихолий Ст. С., Сибельли-	
на Л. А. Об уровнях фосфорсодержащих метаболитов в мозгу крыс по	
данным 31Р-ЯМР	439
Обзоры	
Березин В. А., Гайлар Л. И. Специфические гликопротенны нервной ткани	442.
Хроника	
Выдающийся биохимик и организатор науки (к 80-летию академика	
Г. Х. Буилтяна)	456-
Борхударян Н. А. О засслании Секции нейрохимии (17-18 февраля 1987 г.,	
Ленинград)	458
Рефераты статей, направленных	
на депонирование в ВИНИТИ	
Аругюнян Л. А. Симонян Р. А., Симонян А. А. Нуклеотидный контроль актип-	
ности NAD-зависимой изоцитратдегидрогеназы в митохондриях мозга кур	464
Туряница И. М., Пащенко А. Е., Федорович Т. М., Туряница С. М., Ростока	
А. М. Адаптивная перестройка резервов свободных аминокислот в ткани	
головного мозга белых крыс после парентерального введения отдельных	
аминокислот и смеси альвезии «повый»	465-

Выпуск 4

Советская пепрохимия—к 70-летию Великой Октябрьской социалистической	
революции	471
революции	,,,,
вания [3H] диазепама с синаптическими мембранами коры больших полу-	
шарий мозга крыс при обучении .	474
Шлибс Р. Роте Т. Постнатальное развитие рецепторов глутамата, бензодназе-	4/4
панис Р., готе 1. Постнатальное развитие реценторов глутамата, оснаодназе-	
пина и FAMK в зрительной системе крысы (сравнительное исследование)	481
Базян А. С., Кругликов Р. И. Зависимость активности аутоадренорецепторов от	
интенениности секреции порадреналина	488
Халмуралов А. Г., Кучмеровская Т. М., Пархомец П. К. Действие NAD+ на вы-	
свобождение дофамина и серотонина из синаптосом головного мозга крыс	495
Изнатов Ю. Д., Андреса Б. В. О роли ГАМК в изменении болевой чувствитель-	
ности при хропическом ноцицептивном воздействии	503
Гамался Н. Б., Векшина Н. Л., Шумайлов И. Н. Влияние острого стрессорного	
воздействия на поведение и некоторые биохимические показатели у мышей	
инбредных линий C57BL/6 и DBA/2 с различным потреблением алкоголя	
в условиях свободного выбора	510
Мельник В. И., Глебов Р. Н. H+-ATPаза мембран синаптических пузырьков моз-	
га: идентификация и характерные спойства системы транспорта HI+	517
Калинин Е. В., Орлова Т. Г., Фрейлин А. А., Орлов Н. Я. Характеристики и	
содержание фосфодизстеразы циклического 3',5'-гуанознимонофосфата в	
содержание фосфодивстеразы циклического э.э-гуанозиняюнофосфата и	531
наружных сегментах фоторецепторов сетчатки суслика	771
Галоян А. А., Гурвиц Б. Я., Шарова Н. П., Алексанян С. С. Са ² †-кальмодулин-	
зависимая 5'-нуклеотидаза гипоталамуса крупного рогатого скота и ее регу-	
ляция С-модулином	544
Хачатрян Г. С., Галстян Г. Г., Антонян А. А., Алаверлян А. А., Хачатрян В. Г.,	
Минасянц Р. Т., Вагралян А. Г., Аламян М. Х. Содержание различных	
классов РНК в головном мозгу при действии пиримидиновых циклических	
нуклеотидов и нуклеозидов	552
Назарян К. Б., Геворкян Э. С., Каграманян М. С., Ероян Л. Г., Манукян К. Л.,	
Казарян Б. А. Особенности регуляции активности некоторых гликолити-	
ческих ферментов при воздействии эстрадиола в культуре клеток ней-	
DOUAL LOWDI	565
Полетаса А. Б., Селифанова О. П. Физико-химическая характеристика видоне-	
специфических белковых антигенов мозга, являющихся мишенями ауто-	
антител при некоторых первно-психических заболеваниях человека 5	72
Краткие сообщения	
**	
Жарикова А. Д., Голухин О. В., Жариков С. И. Высвобождение [14C] β-фенил-	
	81
Кривенко Н. Е., Кленикова В. А., Демин Н. Н. Сульфгидрильные группы в от-	
дельных клетках синего пятна, суправитического ядра и дорзального ядра	
	86
ния головного мозга на Г. Проницасмость мембран лизосом головного мозга	
для кислой РНКазы при обучении крыс различных линий	90
для кислон РГПсазы при обучении крые различных хинии. Крусталева Н. А., Баскаева Т. С., Хохлов А. П. Очистка и некоторые свойства	
Крусталена Н. А., Васкасна Г. С., Лохлов А. П. Очистка и некоторые своиства	06
10лочкина Е. М., Папин А. А., Каипова Г. Д., Короткина Р. Н., Бурлакова Е. Б.	
Карслин А. А. Повышение антнокислительной активности липидов голов-	
пого мозга крыс после впедения феназепама (к вопросу о механизме анти-	1
егоесеорного действия бензолиазенинов)	1

Письма в редакцию

Ялаер М. А., Кыйв А. А., Лангел Ю. А., Ринкен А. А., Тяхенылд Л. Я., Ярв Я. Л. Неприменимость хинукандинилбензильта для ыкспериментов	
с мускариновым рецептором в равновесных условиях	605
Обзоры	
Долго-Сабуров В. Б. Молекулярные механизмы исйромоднаторных эффектов	
ацетилхолина	611
Хроника	
KONSTRUM FORESCRIPTING KINDERSON (N. 60) NOTHING SO THE CONTRAINED	622

Ст. редактор Э. А. Хачатурова Лит. сотрудник Г. Р. Григорян Тех. редактор Л. Л. Азизбекян

Сдано в набор 6. 10. 1987 г. Подписано к печати 7. 12. 1987 г. ВФ 03904. Бумаѓа № 1,70×108¹/₁₆. Высокая печати, п. л. 10.0. Усл. печ. лист. 14,0. Учет. изд. 12,74. Тираж: 590. Заказ 694. Издат. 7252. Адрес редакции: 375014, Ереван.44, ул. П. Севака 5/1, т. 28-17-70, 28-16-52. Издательство АН АрмССР, Ереван, 375019, пр. Маршала Баграмяна, 24 г. Типография Издательства Академии наук АрмССР, Ереван-19. пр. Маршала Баграмяна, 24.